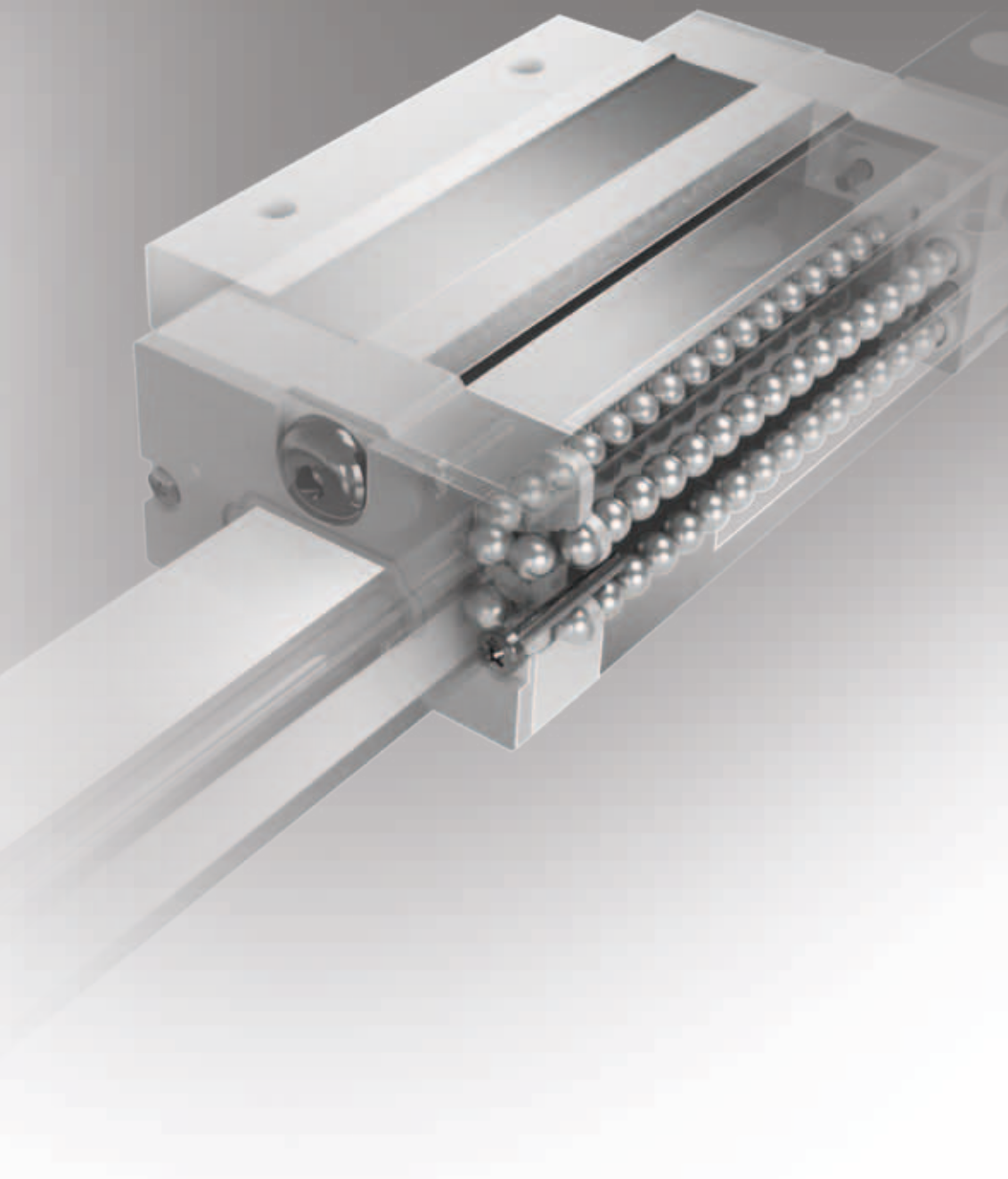


INTELLIGENCE IN MOTION

# LINEÁRNÍ VEDENÍ

**HIWIN**<sup>®</sup>  
Motion Control & Systems



01

[WWW.HIWIN.CZ](http://WWW.HIWIN.CZ)

# LINEÁRNÍ VEDENÍ

---

Přehled produktů **4/5**

---

Všeobecné informace **6/25**

---

Řada HG/QH **26/44**

---

Řada EG/QE **45/60**

---

Řada CG **61/78**

---

Řada WE/QW **79/91**

---

Řada MG **92/104**

---

Řada RG/QR **105/122**

---

Řada CRG **123/139**

---

Řada PG **140/149**

---

Příslušenství **150/155**

# 01

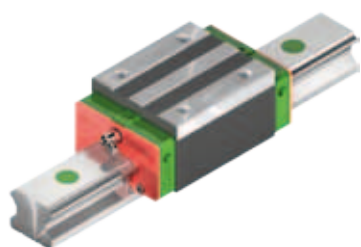
# Obsah

1. Přehled produktů
2. Všeobecné informace
  - 2.1 Vlastnosti a výhody
  - 2.2 Zásady výběru
  - 2.3 Únosnosti
  - 2.4 Výpočet životnosti
  - 2.5 Provozní zatížení
  - 2.6 Tření a mazání
  - 2.7 Montážní poloha
  - 2.8 Montáž
  - 2.9 Systémy těsnění
  - 2.10 Technologie SynchMotion™
  - 2.11 Lineární vedení pro vyšší teploty
  - 2.12 Ochranné měchy
  - 2.13 Povlakování HIWIN
3. Lineární vedení
  - 3.1 Řada HG a QH
  - 3.2 Řada EG a QE
  - 3.3 Řada CG
  - 3.4 Řada WE a QW
  - 3.5 Řada MG
  - 3.6 Řada RG a QR
  - 3.7 Řada CRG
  - 3.8 Řada PG
4. Příslušenství
  - 4.1 Mazání
  - 4.2 Mazací lisy HIWIN a maziva

# Lineární vedení

## Přehled produktů

### 1. Přehled



Lineární vedení, řada HG a QH

[Kapitola 3.1](#)

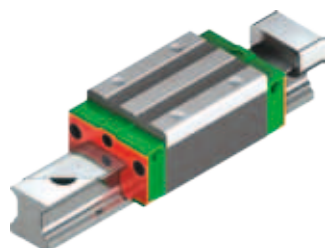
- Čtyřřadé kuličkové lineární vedení
- Kontaktní úhel 45°
- Vysoká únosnost ve všech montážních polohách
- Vysoká tuhost
- Vozík s technologií SynchMotion™ (řada QH)



Lineární vedení, řada EG a QE

[Kapitola 3.2](#)

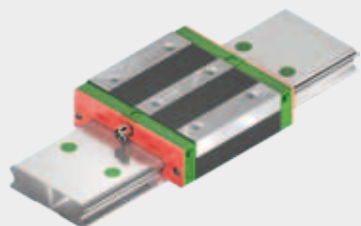
- Čtyřřadé kuličkové lineární vedení
- Kontaktní úhel 45°
- Vysoká únosnost ve všech montážních polohách
- Nízká instalační výška
- Vozík s technologií SynchMotion™ (řada QE)



Lineární vedení, řada CG

[Kapitola 3.3](#)

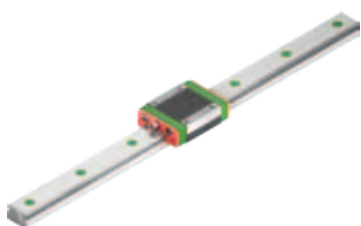
- Čtyřřadé kuličkové lineární vedení
- Kruhové uspořádání s kontaktním úhlem 45°
- Vysoké momentové únosnosti
- Volitelně: krycí pásek kolejniče



Lineární vedení, řada WE a QW

[Kapitola 3.4](#)

- Čtyřřadé kuličkové lineární vedení
- Kontaktní úhel 45°
- Vysoké momentové únosnosti
- Nízká instalační výška
- Vozík s technologií SynchMotion™ (řada QW)



Lineární vedení, řada MG

[Kapitola 3.5](#)

- Dvouřadé kuličkové lineární vedení
- Kontaktní úhel 45°
- Kompaktní konstrukce
- Úzké a široké provedení

# Lineární vedení

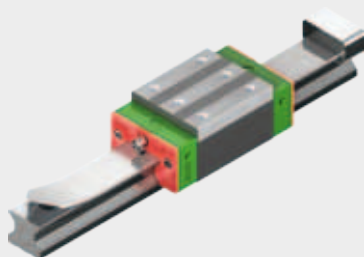
## Přehled produktů



### Lineární vedení, řada RG a QR

[Kapitola 3.6](#)

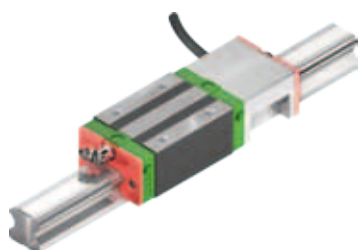
- Čtyřradé válečkové lineární vedení
- Kontaktní úhel 45°
- Velmi vysoká únosnost
- Velmi vysoká tuhost
- Vozík s technologií SynchMotion™ (řada QR)



### Lineární vedení, řada CRG

[Kapitola 3.7](#)

- Čtyřradé válečkové lineární vedení
- Kontaktní úhel 45°
- Velmi vysoká únosnost
- Velmi vysoká tuhost
- Krycí pásek kolejniče



### Lineární vedení, řada PG

[Kapitola 3.8](#)

- Řada HG, QH a CG s integrovaným odměřovacím systémem
- Bezkontaktní měření vzdálenosti
- Jednoduché připojení a montáž
- Signální výstup v reálném čase

### Příslušenství

[Kapitola 4](#)

- Maznice a adaptéry
- Nástrčná šroubení
- Mazací lisý a maziva

# Lineární vedení

## Všeobecné informace

### 2. Všeobecné informace

#### 2.1 Vlastnosti a výhody

##### 1. Vysoká přesnost polohování

Vozík lineárního vedení musí překonávat jen valivé tření. Rozdíl mezi statickým a dynamickým valivým třením je velmi malý, takže síla odtržení je jen o málo vyšší než síla pohybu. K zaseknutí – prokluzu nedochází.

##### 2. Dlouhá životnost a velmi přesný pohyb

V případě kluzného vedení může rozdílná tloušťka mazací vrstvy vést k nepřesnostem. Kluzné tření a nedostatečné mazání způsobují nadměrné opotřebení a ztrátu přesnosti. Naopak valivé tření lineárního vedení je velmi nízké, proto je opotřebení tohoto vedení velmi malé. Přesnost vedení zůstává během celé jeho životnosti v podstatě stejná.

##### 3. Vysoká rychlost a nízká hnací síla

Nízký třecí koeficient znamená nízkou potřebnou hnací sílu. I při zpětném pohybu je potřebná síla nízká.

##### 4. Stejně vysoká únosnost ve všech směrech pohybu

Díky své konstrukci dokáže lineární vedení absorbovat síly působící jak ve svislém, tak ve vodorovném směru.

##### 5. Jednoduchá instalace a zaměnitelnost

Montáž lineárního vedení je jednoduchý proces. V případě dodržení montážních pokynů se dosahuje vysokých přesností při frézované i broušené montážní ploše. Standardní kluzná vedení vyžadují z důvodu otěru kluzných ploch mnohem vyšší přesnost při montáži. Jednotlivé součásti nelze měnit bez jejich zaškrabání. Naopak lineární vedení lze měnit jen s nepatrným úsilím.

##### 6. Jednoduché mazání

Nedostatečné mazání kluzných ploch může kluzná vedení zničit. U kluzných vedení je nutno mazat řadou mazacích bodů. Lineární vedení potřebuje jen minimální mazání jednoduchým přívodem maziva k vozíku. Společnost HIWIN dodává také vozíky s integrovanou mazací jednotkou a výměnnou olejovou nádržkou pro dlouhodobé mazání.

##### 7. Ochrana proti korozi

Pro dosažení optimální ochrany proti korozi lze vozíky a kolejnice dodávat s různými ochrannými povlaky. Vybrané postupy antikorozi ochrany závisí na způsobu použití. Optimální výběr ochranného povlaku závisí na podmínkách prostředí a korozivních látkách, kterým bude vedení vystaveno. Miniaturní lineární vedení MG je vyrobeno z nerezové oceli.

# Lineární vedení

## Všeobecné informace

### 2.2 Zásady výběru

#### Stanovení podmínek výběru

- Základna stroje
- Max. instalační prostor
- Požadovaná přesnost
- Požadovaná tuhost
- Typ zatěžování
- Délka posuvu
- Rychlost posuvu a zrychlení
- Četnost použití
- Životnost
- Podmínky prostředí

#### Výběr řady

- Řada HG a CG – brusky, frézky a vrtačky, soustruhy, obráběcí stroje, dřevozpracující stroje
- Řada EG – automatizace, vysokorychlostní doprava, polovodiče, přesné měřicí přístroje
- Řada WE – jednoosé stroje s vysokým kroutícím zatížením  $M_x$
- Řada MG – Miniaturní technologie, polovodiče, lékařská technika
- Řada RG – obráběcí stroje, vstříkovací lisy, vysokotuhostní stroje a systémy

#### Volba třídy přesnosti

- Třída C, H, P, SP, UP podle požadované přesnosti zařízení

#### Definování rozměrů a počtu vozíků

- Podle empirických hodnot
- Podle typu zátěže
- V případě použití kuličkového šroubu by měl být jmenovitý rozměr šroubu a lineárního vedení zhruba stejný, např. 32 kuličkový šroub a 35 kolejnice

#### Výpočet maximálního zatížení vozíku

- Maximální zatížení vypočítejte podle vzorových výpočtů (viz kapitola 2.5). Je třeba, aby statická konstrukční bezpečnost vybraného lineárního vedení byla vyšší než odpovídající hodnota v tabulce statických konstrukčních bezpečností.

#### Určování předepnutí

- Předepnutí závisí na požadavcích na tuhost a přesnosti montážní plochy.

#### Určování tuhosti

- Podle tabulky tuhosti vypočítejte deformaci  $\delta$ . Tuhost se zvyšuje s předepnutím a rozměrem vedení.

#### Výpočet životnosti

- Stanovte požadovanou životnost podle rychlých a četnosti posuvů, vycházejte ze vzorových výpočtů (viz kapitola 2.4).

#### Výběr typu mazání

- Prostřednictvím maznice
- Olejem pomocí centrálního mazání nebo přídavného olejového zásobníku

#### Výběr dokončen

# Lineární vedení

## Všeobecné informace

### 2.3 Únosnost

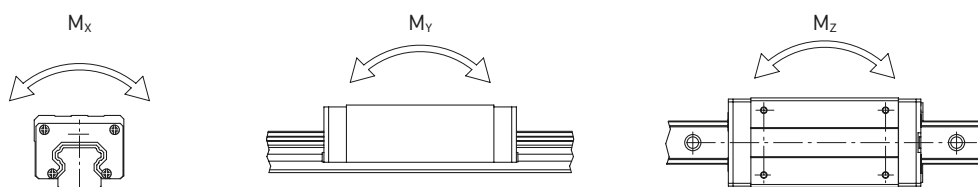
#### 2.3.1 Maximální statická únosnost $C_0$

Pokud bude lineární vedení předmětem nepřiměřeného zatěžování nebo nárazů během pohybu nebo stání, bude docházet k místní trvalé deformaci mezi vozíkem a kuličkami. Jakmile tato trvalá deformace překročí určitou míru, bude se vedení hůře pohybovat. V zásadě hodnota statické únosnosti odpovídá statickému zatížení způsobujícímu

trvalou deformaci o hodnotě 0,0001 x průměr kuličky v místě kontaktu, který je nejvíce zatěžován. Hodnoty jsou pro každý typ a velikost lineárního vedení uvedeny v tabulkách. Tyto tabulky lze použít pro výběr vhodného lineárního vedení. Maximální statické zatížení, kterému bude lineární vedení vystaveno, nesmí překročit hodnotu statické únosnosti.

#### 2.3.2 Přípustný statický moment $M_0$

Přípustný statický moment je moment odpovídající největšímu možnému zatížení pohyblivých součástí silou odpovídající statické únosnosti ve stanoveném směru. Přípustný statický moment je definován ve třech směrech ( $M_x$ ,  $M_y$  a  $M_z$ ) pro systémy lineárního posuvu.



#### 2.3.3 Statická konstrukční bezpečnost

Pro vodící systémy v klidu nebo při pomalém pohybu je nutno brát v úvahu statickou konstrukční bezpečnost, která závisí na prostředí a provozních podmínkách. Zvýšená konstrukční bezpečnosti je důležitá pro lineární vedení vystavovaná rázům, viz tabulka 2.1. Statickou konstrukční bezpečnost lze vypočítat podle vzorce F 2.1.

#### F 2.1

$$f_{SL} = \frac{C_0}{P} ; f_{SM} = \frac{M_0}{M}$$

- $f_{SL}$  Statická konstrukční bezpečnost
- $f_{SM}$  Faktor statické bezpečnosti pro zatěžování krutem
- $C_0$  Statická únosnost [N]
- $M_0$  Přípustný statický moment [Nm]
- $P$  Ekvivalentní statické pracovní zatížení [N]
- $M$  Ekvivalentní statický moment [Nm]

**Upozornění:** Únosnost lineárního vedení je často omezena ne jeho tuhostí pod zatížením, ale šroubovými spoji. Proto doporučujeme kontrolovat maximální přípustnou únosnost šroubových spojů podle normy VDI 2230.

Tabulka 2.1 Statická konstrukční bezpečnost

| Zatížení           | $f_{SL} \cdot f_{SM}$ [min.] |
|--------------------|------------------------------|
| Normální zatížení  | 1.25 – 3.00                  |
| S rázy a vibracemi | 3.00 – 5.00                  |

#### 2.3.4 Maximální dynamická únosnost $C_{dyn}$

Dynamická únosnost je stanovené zatížení (síla a směr), při němž lineární vedení dosahuje jmenovité životnosti rovnající se ujeté dráze v součtové délce 50 km<sup>11</sup> (HG, QH, EG, QE, CG, WE, QW, MG) nebo 100 km<sup>11</sup> (RG). Hodnoty dynamické únosnosti jsou pro každý typ a velikost lineárního vedení uvedeny v tabulkách. Lze je použít pro výpočet životnosti konkrétního vedení.

<sup>11</sup> Poznámka

Maximální dynamická únosnost lineárního vedení je výrobci uváděna jako životnost rovnající se celkové dráze pojezdu 50 nebo 100 km. Pro převod dynamické únosnosti lze použít následující faktory.

$$C_{dyn} 50 \text{ km} = 1,26 \times C_{dyn} 100 \text{ km (řada HG, QH, EG, QE, CG, WE, QW, MG)}$$

$$C_{dyn} 50 \text{ km} = 1,23 \times C_{dyn} 100 \text{ km (řada RG)}$$

# Lineární vedení

## Všeobecné informace

### 2.4 Výpočet životnosti

#### 2.4.1 Definice životnosti

Trvalé a opakované zatěžování kolejnic a kuliček lineárního vedení způsobuje únavu materiálu povrchu kolejnic. Ve výsledku to může vést k tzv. pittingu. Životnost lineárního vedení je definována jako celková ujetá vzdálenost do počátku tvorby pittingu na povrchu kolejnic nebo kuliček.

#### 2.4.2 Jmenovitá životnost (L)

Životnost lineárního vedení se může značně lišit, i když bude lineární vedení vyrobeno stejným způsobem a používáno za stejných podmínek. Jmenovitá životnost je proto být uvažována za hrubý odhad skutečné životnosti lineárního vedení. Jmenovitá životnost odpovídá celkové vzdálenosti, kterou ujedou posuvy 90 % totožných lineárních vedení za stejných podmínek bez výpadků.

##### 2.4.2.1 Výpočet jmenovité životnosti

Jmenovitou životnost lineárního vedení ovlivňuje jeho skutečné zatížení. Jmenovitou životnost lze vypočítat podle vzorce F 2.2 a F 2.3 pomocí tabulkové dynamické únosnosti a ekvivalentního dynamického zatížení.

#### Vzorce pro výpočet jmenovité životnosti (L)

Řada HG, QH, EG, QE, WE, QW, MG:

$$F 2.2 \quad L = \left( \frac{C_{dyn}}{P} \right)^3 \times 50 \text{ km}$$

Řada RG, QR:

$$F 2.3 \quad L = \left( \frac{C_{dyn}}{P} \right)^{10/3} \times 100 \text{ km}$$

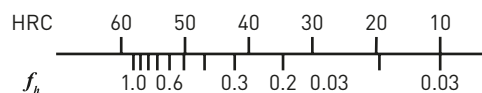
L Jmenovitá životnost [km]  
 $C_{dyn}$  Dynamická únosnost [N]  
 P Ekvivalentní dynamické zatížení [N]

#### 2.4.2.2 Faktory ovlivňující jmenovitou životnost

Na jmenovitou životnost mají podstatný vliv druh zatížení, tvrdost kolejnice a teplota vedení. Vzorce F 2.4 a F 2.5 ukazují vztah mezi těmito faktory.

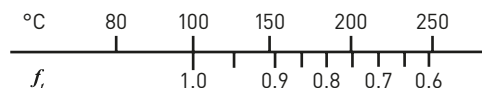
#### Tvrdost ( $f_h$ )

Tvrdost kolejnice lineárního vedení je 58 HRC. Používá se faktor tvrdosti 1,0. Pokud se tvrdost bude lišit od této hodnoty, je třeba použít faktor tvrdosti z tabulky vpravo. Pokud uvedené tvrdosti nebude dosaženo, musí být sníženo povolené zatížení. V takovém případě musí být dynamická a statická únosnost vynásobena faktorem tvrdosti.



#### Teplota ( $f_t$ )

Standardní kolejnice lze použít v rozsahu teplot prostředí -10 až 80 °C. Při teplotě okolí do 150 °C se musí použít lineární vedení s kovovým zakončením (Označení kódem typu s příponou "SE"). Krátkodobé výkyvy teploty okolí do 180 °C jsou přípustné. Avšak pro ověření doporučujeme kontaktovat náš tým technické podpory. Pokud teplota lineárního vedení překročí 100 °C, sníží se nosnost a životnost vedení. Pak je nutno dynamickou a statickou únosnost vynásobit faktorem teploty.



# Lineární vedení

## Všeobecné informace

### Faktor zatížení ( $f_w$ )

Ekvivalentní dynamické zatížení se vynásobí faktorem zatížení podle tabulky 2.2. Tím vezmeme v úvahu externí vlivy na životnost kolejničky, které nejsou přímo zahrnuty ve výpočtu (jako jsou vibrace, rázy a vysoké rychlosti).

Tabulka 2.2 Faktor zatížení

| Druh zátěže          | Rychlost posuvu       | $f_w$     |
|----------------------|-----------------------|-----------|
| Žádné rázy a vibrace | do 15 m/min           | 1.0 – 1.2 |
| Normální zátěž       | 15 m/min až 60 m/min  | 1.2 – 1.5 |
| Mírné rázy           | 60 m/min až 120 m/min | 1.5 – 2.0 |
| Rázy a vibrace       | víc než 120 m/min     | 2.0 – 3.5 |

### Vzorec pro výpočet jmenovité životnosti (se započítáním faktorů)

Řada HG, QH, EG, QE, CG, WE, QW, MG:

F 2.4

$$L = \left( \frac{f_h \times f_t \times C_{dyn}}{f_w \times P} \right)^3 \times 50 \text{ km}$$

L Jmenovitá životnost [km]  
 $f_h$  Faktor tvrdosti  
 $C_{dyn}$  Dynamická únosnost [N]  
 $f_t$  Teplotní faktor  
 P Ekvivalentní dynamické zatížení [N]  
 $f_w$  Zátěžový faktor

Řada RG, QR:

F 2.5

$$L = \left( \frac{f_h \times f_t \times C_{dyn}}{f_w \times P} \right)^{10/3} \times 100 \text{ km}$$

### 2.4.3 Výpočet životnosti ( $L_h$ )

Pro výpočet odchylky skutečné životnosti od jmenovité v hodinách se využívá údaj o rychlosti a četnosti posuvů.

### Vzorec pro výpočet životnosti ( $L_h$ )

Řada HG, QH, EG, QE, CG, WE, QW, MG:

F 2.6

$$L_h = \frac{L}{v \times 60} = \frac{\left( \frac{C_{dyn}}{P} \right)^3 \times 50,000}{v \times 60}$$

$L_h$  Životnost [h]  
 L Jmenovitá životnost [m]  
 v Rychlost [m/min]  
 $C_{dyn}/P$  Poměr únosnosti k zatížení

Řada RG, QR:

F 2.7

$$L_h = \frac{L}{v \times 60} = \frac{\left( \frac{C_{dyn}}{P} \right)^{10/3} \times 100,000}{v \times 60}$$

# Lineární vedení

## Všeobecné informace

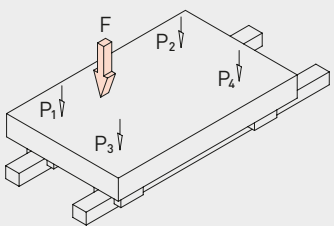
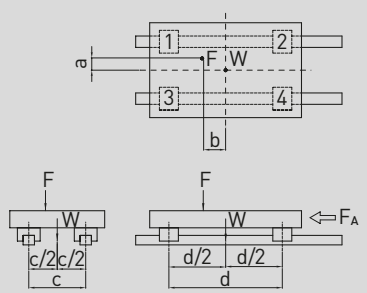
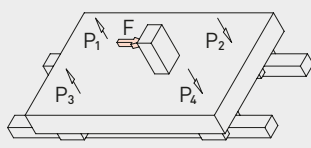
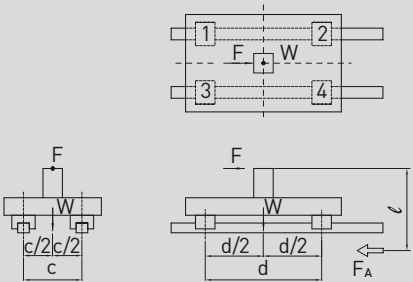
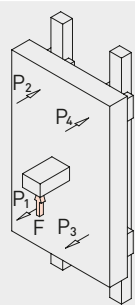
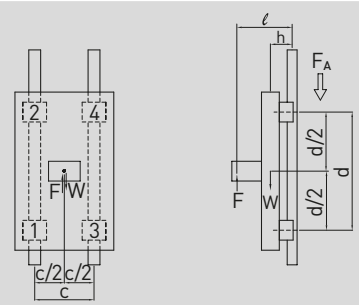
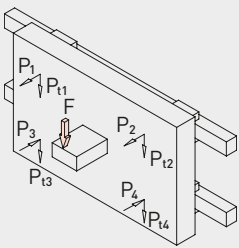
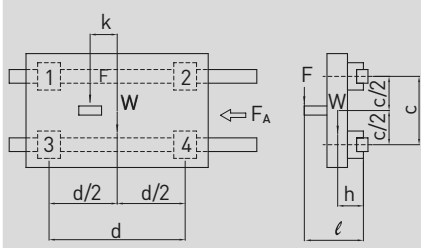
### 2.5 Provozní zatížení

#### 2.5.1 Provozní zatížení

Při výpočtu zatížení působícího na lineární vedení je nutno vzít v úvahu různé faktory, jako je těžiště zátěží, bod působení pohybové síly a setrvačnost hmoty na začátku a na konci pohybu. Pro získání správné hodnoty musí být započítány všechny parametry.

#### Zatížení jednoho vozíku

Tabulka 2.3 Zatížení jednoho vozíku (příklady výpočtu zatížení vozíku)

| Typické příklady  | Rozmístění zátěže  | Zatížení vozíku   |
|---|--|---|
|    |     | $P_1 = \frac{W}{4} + \frac{F}{4} + \frac{F \times a}{2c} + \frac{F \times b}{2d}$ $P_2 = \frac{W}{4} + \frac{F}{4} + \frac{F \times a}{2c} + \frac{F \times b}{2d}$ $P_3 = \frac{W}{4} + \frac{F}{4} + \frac{F \times a}{2c} + \frac{F \times b}{2d}$ $P_4 = \frac{W}{4} + \frac{F}{4} + \frac{F \times a}{2c} + \frac{F \times b}{2d}$ |
|  |  | $P_1 = P_3 = \frac{W}{4} - \frac{F \times l}{2d}$ $P_2 = P_4 = \frac{W}{4} + \frac{F \times l}{2d}$   |
|  |   | $P_1 = P_2 = P_3 = P_4 = -\frac{W \times h}{2d} + \frac{F \times l}{2d}$  |
|  |  | $P_1 \dots P_4 = \frac{W \times h}{2c} + \frac{F \times l}{2c}$ $P_{t1} = P_{t3} = \frac{W}{4} + \frac{F}{4} + \frac{F \times k}{2d}$ $P_{t2} = P_{t4} = \frac{W}{4} + \frac{F}{4} + \frac{F \times k}{2d}$   |

$P_1 \dots P_4$  Zatížení jednotlivého vozíku  
 W Hmotnost zátěží  
 F Pohybová síla; jiné síly  
 $F_A$  Reakční síla  
 l Vzdálenost zdroje síly od vozíku

c Rozteč kolejnic  
 d Rozteč vozíků  
 a, b, k Vzdálenost od těžiště  
 h Vzdálenost těžiště od pohonu

# Lineární vedení

## Všeobecné informace

### Setrvačnost zatížení a hmoty

Tabulka 2.4 Setrvačnost zatížení a hmoty (příklady výpočtu)

| Zvážení zrychlení a zpomalení | Zatížení 1 vozíku   |
|-------------------------------|---|
|                               | <ul style="list-style-type: none"> <li>Konstantní rychlost</li> </ul> $P_1 \dots P_4 = \frac{W}{4}$ <ul style="list-style-type: none"> <li>Zrychlení</li> </ul> $P_1 = P_3 = \frac{W}{4} + \frac{1}{2} \times \frac{W}{g} \times \frac{v_c}{t_1} \times \frac{l}{d}$ $P_2 = P_4 = \frac{W}{4} - \frac{1}{2} \times \frac{W}{g} \times \frac{v_c}{t_1} \times \frac{l}{d}$ <ul style="list-style-type: none"> <li>Zpomalení</li> </ul> $P_1 = P_3 = \frac{W}{4} - \frac{1}{2} \times \frac{W}{g} \times \frac{v_c}{t_3} \times \frac{l}{d}$ $P_2 = P_4 = \frac{W}{4} + \frac{1}{2} \times \frac{W}{g} \times \frac{v_c}{t_3} \times \frac{l}{d}$ |

- $P_1 \dots P_4$  Zatížení 1 vozíku
- $W$  Hmotnost zátěže
- $F$  Pohybová síla
- $F_A$  Reakční síla
- $g$  Gravitační zrychlení [m/s<sup>2</sup>]

- $v_c$  Rychlost [m/s]
- $t_1$  Doba zrychlení [s]
- $t_2$  Doba stálé rychlosti [s]
- $t_3$  Doba zpomalení [s]
- $c$  Rozteč kolejnic [m]
- $d$  Rozteč vozíků [m]
- $l$  Vzdálenost těžiště a vozíku [m]

### 2.5.2 Výpočet ekvivalentní zátěže během změny zatížení

Pokud by se zatížení lineárního vedení výrazně měnilo, musí se pro výpočet životnosti použít ekvivalentní zátěž. Ta je definována jako zátěž způsobující stejné opotřebení ložisek jako měnící se zatížení. Výpočet podle tabulky 2.5.

Tabulka 2.5 Příklady výpočtu ekvivalentního zatížení ( $P_m$ )

| Stupňovitá změna   | Stálá změna                                      | Sínusová změna              |
|--|--|-----------------------------|
|  |  |                             |
| $P_m = \sqrt[3]{\frac{1}{L} (P_1^3 \times L_1 + P_2^3 \times L_2 + \dots + P_n^3 \times L_n)}$ | $P_m = \frac{1}{3} (P_{min} + 2 \times P_{max})$ | $P_m = 0.65 \times P_{max}$ |

- $P_m$  Ekvivalentní zátěž
- $P_n$  Měnící se zátěž
- $P_{min}$  Minimální zátěž
- $P_{max}$  Maximální zátěž
- $L$  Celková vzdálenost posuvu
- $L_n$  Posuv pod zátěží  $P_n$

# Lineární vedení

## Všeobecné informace

### 2.6 Tření a mazání

#### 2.6.1 Třecí odpor

Použití valivých elementů v lineárním vedení především redukuje celkové tření na valivé tření při pohybu válečků. To výrazně snižuje třecí koeficient lineárního vedení na jednu padesátinu tření běžných kluzných vedení. Obecně má třecí koeficient hodnotu

kolem 0,004, podle řady. Pokud je zatížení jen 10 % dynamické únosnosti nebo méně, je většina třecího odporu způsobena stěračem a mazivem a třením mezi válečky. Pokud je provozní zatížení vyšší než 10 % dynamické únosnosti, představuje většinu třecího odporu zátěž.

#### F 2.8

$$F = \mu \times W + S$$

|       |                  |
|-------|------------------|
| F     | Třecí síla [N]   |
| S     | Třecí odpor [N]  |
| $\mu$ | Třecí koeficient |
| W     | Zátěž [N]        |

#### 2.6.2 Mazání

Jako každé valivé uložení potřebuje i lineární vedení dostatečnou zásobu maziva. Na mazání lze použít jak olej, tak vazelinu. Mazivo je navrhováno při návrhu stroje. Maziva snižují opotřebení, chrání před kontaminací, snižují korozi a jejich vlastnosti

prodlužují životnost mazaného zařízení. Na nechráněných kolejnicích se mohou usazovat nečistoty. Ty je nutno pravidelně odstraňovat.

Společnost HIWIN poskytuje maziva pro různé aplikace:

- HIWIN G01: aplikace s vysokým zatížením
- HIWIN G02: aplikace do čistých prostor a vakua
- HIWIN G03: vysokorychlostní aplikace do čistých prostor a vakua
- HIWIN G04: vysokorychlostní aplikace
- HIWIN G05: standardní aplikace
- HIWIN PLO-05: standardní aplikace

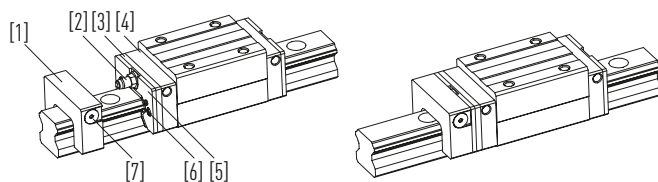
Informace o mazivech a příslušenství HIWIN naleznete v kapitole 4. Podrobnosti o mazivech HIWIN a mazání lineárních vedení naleznete také v „**Montážních pokynech HIWIN pro lineární vedení**“, které jsou k dispozici na adrese [www.hiwin.cz](http://www.hiwin.cz).

#### 2.6.3 Olejová mazací jednotka E2

Olejová mazací jednotka E2 se skládá z mazací jednotky mezi systémem deflektoru a koncovým těsněním a vyměnitelné olejové nádrčky. Pro výměnu olejové nádrčky není třeba vozík demontovat. Mazivo protéká z olejové nádrčky spojovacím vedením do mazací jednotky, která pak maže kolejnice vedení. Kvůli specifickému designu olejové

nádrčky lze vozík montovat v jakékoliv poloze bez vlivu na účinky mazání. Olejovou mazací jednotku E2 lze použít pro teploty okolí od -10 °C do +60 °C. Interval výměny závisí především na zátěži a podmínkách prostředí. Vlivy jako nadměrná zátěž, vibrace a nečistoty interval výměny maziva zkracují.

Olejová mazací jednotka E2 se používá pro řady HG, EG a RG. Příslušné rozměry, objemy maziva a intervaly výměny maziva naleznete v kapitolách o jednotlivých sériích.



- [1] Olejový zásobník
- [2] Spojovací vedení
- [3] Mazací jednotka
- [4] Deflektor
- [5] Koncové těsnění
- [6] Šroub
- [7] Těsnící zátka

#### Použití

- Obráběcí stroje
- Výrobní stroje, vstřikovací stroje, papírenské stroje, textilní stroje, potravinářské a dřevoobráběcí stroje
- Elektronika, polovodiče, robotické technologie a stoly, měřicí a testovací technika
- Další oblasti, lékařské přístroje, automatizace, průmyslová manipulace

# Lineární vedení

## Všeobecné informace

### 2.7 Montážní polohy

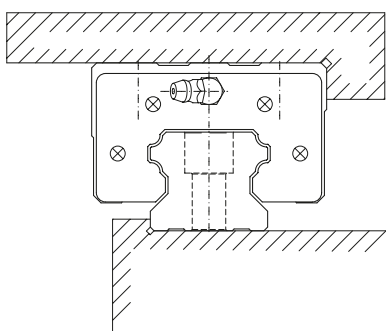
#### 2.7.1 Příklady typických montážních poloh

Lineární vedení dokáže absorbovat zatížení seshora, zespoda, zleva a zprava. Montážní poloha závisí na požadavcích stroje a směru zatížení. Přesnost kolejnic je určena rovinností instalační plochy, protože kolejnice je k ní upevněna šrouby. Profilové kolejnice, které nejsou upevněny k instalační ploše, mohou mít větší odchylky přímosti. Níže jsou

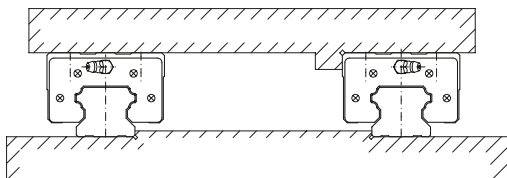
vedeny typické montážní situace. Podrobné údaje o povolených odchylkách montáže jsou uvedeny v kapitolách o jednotlivých sériích.

#### Kolejnice na referenční hraně:

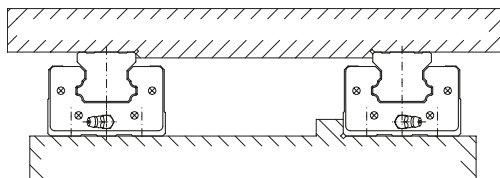
Referenční hrana je označena šípkami nahoře na kolejnici. U velmi krátkých kolejnic je označení umístěno na přední straně.



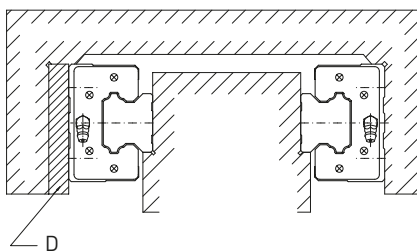
#### Dvě kolejnice a pohyblivý vozík:



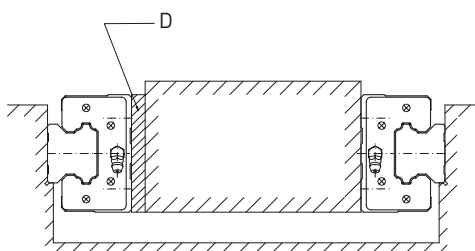
#### Dvě kolejnice a pevný vozík:



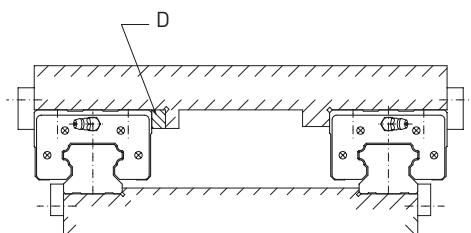
#### Dva vnější vozíky:



#### Dva vnitřní vozíky:



#### Sestava s pevnou plochou:



#### Vozík HGW..C s různými směry montáže:



D Rozpěrka

# Lineární vedení

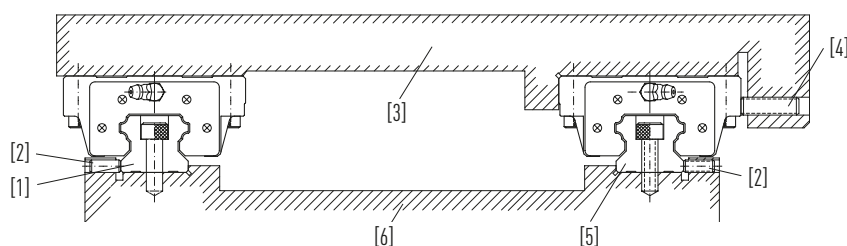
## Všeobecné informace

### 2.8 Montáž

Podle požadované přesnosti a rázů a vibrací, kterým bude lineární vedení vystaveno, se doporučují tyto tři typy montáže.

#### 2.8.1 Montáž kolejnic s referenční hranou a přitlačným šroubem

Bude-li stroj vystaven silným vibracím, rázům nebo bočním silám, mohou se vedení a vozíky hýbat. Pro zamezení tomuto problému a dosažení vysoké tuhosti a přesnosti vedení doporučujeme montovat lineární vedení s referenčními hranami a přitlačnými šrouby na obou stranách.

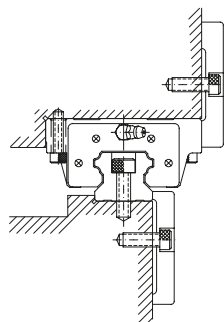


- [1] Protilehlá hrana
- [2] Přitlačný šroub kolejnice
- [3] Vozík
- [4] Přitlačný šroub vozíku
- [5] Referenční hrana
- [6] Lože stroje

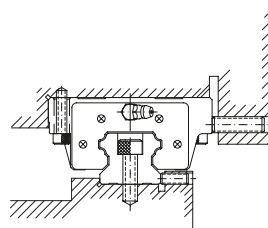
#### 2.8.1.1 Typy připojení

Doporučují se tyto čtyři typy připojení.

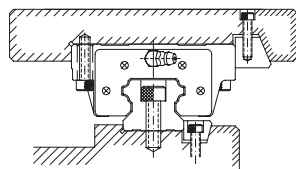
##### Montáž přitlačnými deskami:



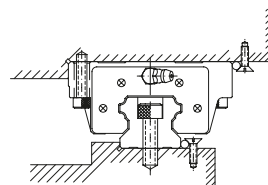
##### Montáž přitlačnými šrouby:



##### Montáž přitlačnými lištami:



##### Montáž přitlačnými válečky:

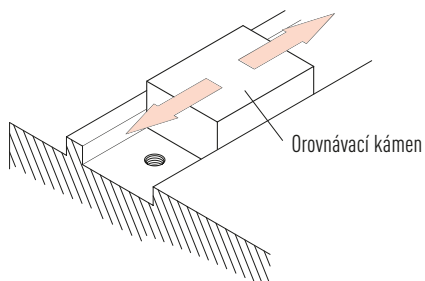


# Lineární vedení

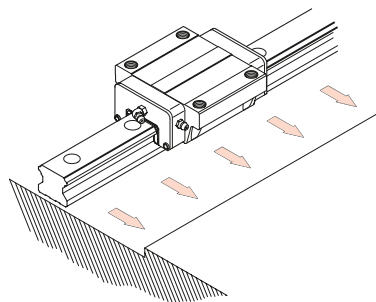
## Všeobecné informace

### 2.8.1.2 Montáž kolejnic

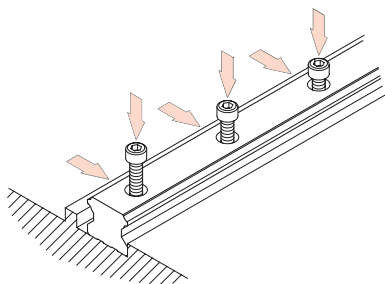
1) Než s montáží začnete, odstraňte z povrchu stroje všechny nečistoty



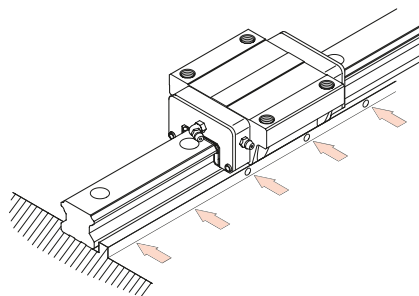
2) Kolejnic pečlivě uložte na lože a vyrovnejte podle referenční hrany



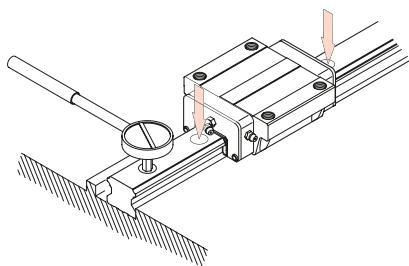
3) Při rovnání kolejnice na loži zkontrolujte, zda šrouby odpovídají svými rozměry závitům



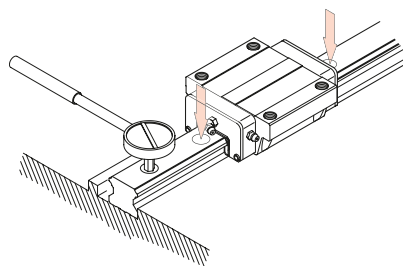
4) Utáhněte přitlačné šrouby jeden po druhém, aby byl zajištěn kontakt mezi kolejnicí a referenční hranou



5) Utáhněte montážní šrouby kolejnice ve třech fázích pomocí momentového klíče tak, aby bylo dosaženo požadovaného utážení

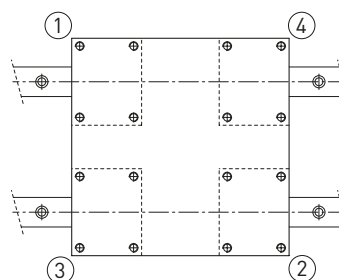


6) Namontujte druhou kolejnici stejným postupem jako první



### 2.8.1.3 Montáž vozíků

- Opatrně položte saně na vozíky. Pak provizorně utáhněte montážní šrouby vozíků.
- Přitlačte vozíky na referenční hranu saně a zarovnejte utahováním přitlačných šroubů.
- Pro rovnoměrné dotažení utahujte montážní šrouby na referenční hraně a na protilehlé hraně ve čtyřech fázích na každé straně.

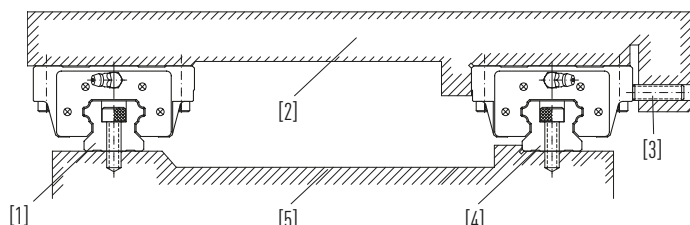


# Lineární vedení

## Všeobecné informace

### 2.8.2 Montáž kolejnic s referenční hranou bez přitlačných šroubů

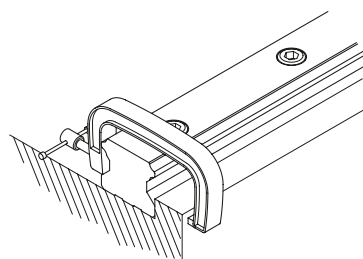
Pro zajištění rovnoběžnosti referenční a protilehlé hrany bez použití přitlačných šroubů doporučujeme následující způsoby montáže. Vozík je instalován, jak je popsáno výše.



- [1] Protilehlá hrana
- [2] Vozík
- [3] Přitlačný šroub vozíku
- [4] Referenční hrana
- [5] Lože stroje

#### 2.8.2.1 Montáž kolejnice na referenční straně

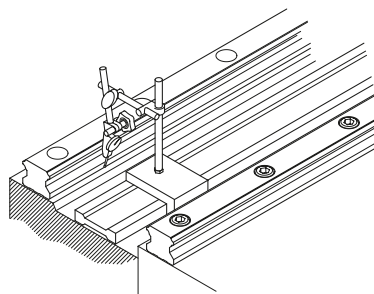
Položte vedení na montážní plochu lože stroje. Utáhněte trochu montážní šrouby a pomocí svěráku přitlačte vedení na referenční hranu lože stroje. Pak utáhněte montážní šrouby na stanovený moment momentovým klíčem.



#### 2.8.2.2 Montáž vedení na protilehlé straně

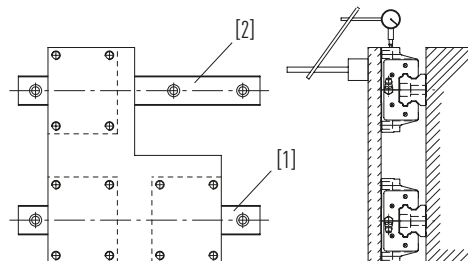
##### Vyrovnání podle pravítka:

Položte mezi kolejnice pravítko rovnoběžně s referenční hranou pomocí číselníkového úchylkoměru. Jakmile bude vedení na protilehlé straně rovnoběžné s referenční stranou, utáhněte montážní šrouby od jednoho konce vedení na druhý.



##### Použití destičky:

Položte desku na dva vozíky na referenční kolejnici. Na protilehlé kolejnici volně zajistěte vozík na desce. Neutahujte. Pak nasadte číselníkový úchylkoměr na desku a do kontaktu s vozíkem protilehlé kolejnice. Pak posuňte desku z jednoho konce na druhý a protilehlou kolejnici zarovnejte tak, aby byla rovnoběžná s referenční kolejnicí. Pak utáhněte postupně jednotlivé montážní šrouby.



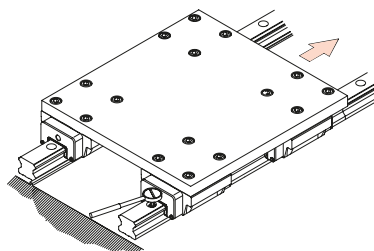
- [1] Referenční kolejnice
- [2] Protilehlá kolejnice

# Lineární vedení

## Všeobecné informace

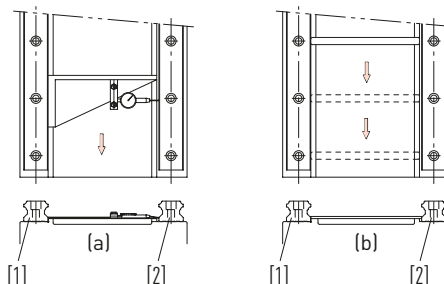
### Zarovnání podle referenční kolejničky:

Až bude referenční kolejnička správně instalována, upevněte desku na dva vozíky referenční kolejničky a jeden z obou vozíků na protilehlé kolejničce. Pak posuňte destičku z jednoho konce kolejničky na druhý a na protilehlé kolejničce utáhněte montážní šrouby.



### Měřidlo:

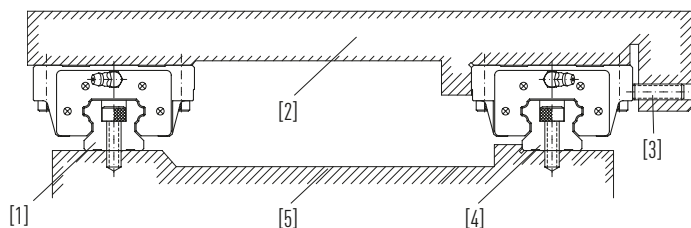
S použitím speciálního měřidla určete polohu protilehlé kolejničky a utáhněte montážní šrouby na stanovený moment.



- [1] Referenční kolejnička
- [2] Protilehlá kolejnička

### 2.8.3 Montáž kolejničky bez referenční hrany a bez přitlačných šroubů

Aby referenční a protilehlá kolejničky byly rovnoběžné i bez referenční hrany na referenční straně, doporučujeme následující typ montáže. Vozíky se instalují, jak je popsáno výše.

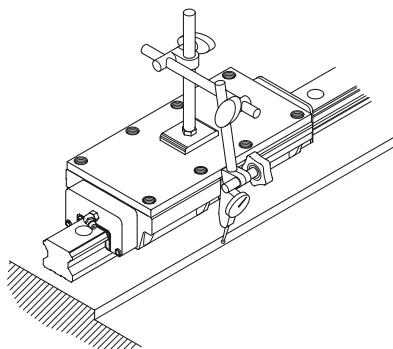


- [1] Protilehlá hrana
- [2] Vozík
- [3] Přitlačný šroub vozíku
- [4] Protilehlá hrana
- [5] Lože stroje

#### 2.8.3.1 Montáž kolejničky na referenční stranu

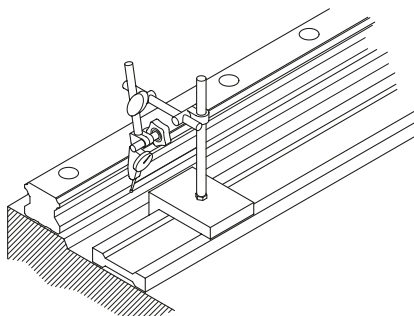
##### Zarovnání podle dočasné referenční hrany:

Pevně spojte dva vozíky destičkou. Pomocí hrany lože stroje srovnajte celou délku kolejničky. Pro kontrolu posuňte vozík a postupně utáhněte montážní šrouby předepsaným momentem.



##### Zarovnání podle pravítka:

Pomocí číselníkového úchylkoměru na pravítku zarovnejte celou délku kolejničky. Dbejte na postupné utažení montážních šroubů. Protilehlá kolejnička se montuje podle popisu v bodě 2.8.2.2, „Montáž kolejničky na protilehlé straně“.



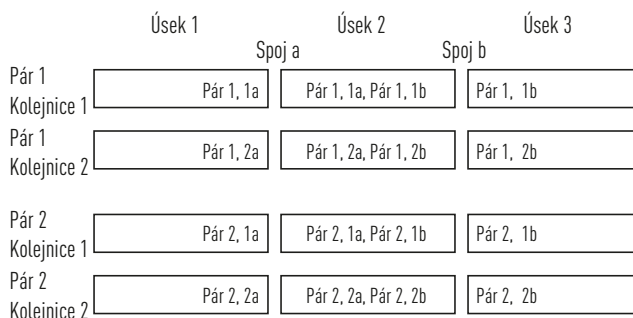
# Lineární vedení

## Všeobecné informace

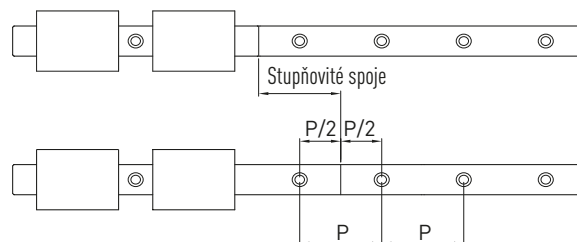
### 2.8.4 Napojované kolejničky

Napojované (vícedílné) kolejničky se montují podle značek, které jsou na nich umístěny. Jednotlivé spoje jsou označeny písmeny podle abecedy a čísly párů, aby byl každý úsek jednoznačně určen.

Každý spoj je označen na vršku kolejničky. To pomáhá při první montáži a označení lze po montáži vhodným čisticím prostředkem (například metylovým lihem) odstranit. Pro párové vícedílné kolejničky musí být díly kromě čísla kolejničky označeny také slovem „pár“.



V případě párových vícedílných kolejniček musí být spoje stupňovité.



### 2.8.5 Utahovací momenty montážních šroubů

Nedostatečné utahení montážních šroubů silně ovlivňuje přesnost lineárního vedení, proto se pro příslušné velikosti šroubů doporučují následující utahovací momenty.

Tabulka 2.6 Utahovací momenty montážních šroubů podle normy ISO 4762-12.9

| Rozměr šroubu | Moment [Nm] | Rozměr šroubu | Moment [Nm] |
|---------------|-------------|---------------|-------------|
| M2            | 0.6         | M8            | 30          |
| M3            | 2.0         | M10           | 70          |
| M4            | 4.0         | M12           | 120         |
| M5            | 9.0         | M14           | 160         |
| M6            | 13.0        | M16           | 200         |

# Lineární vedení

## Všeobecné informace

### 2.9 Těsnicí systémy

#### 2.9.1 Těsnicí systémy SS, ZZ, DD, KK

Koncová těsnění HIWIN především zamezují průniku cizích látek, jako jsou prachové částice, piliny nebo kapaliny, mezi kuličky vozíku, a za druhé snižují ztráty maziva. Společnost HIWIN nabízí různé těsnicí systémy pro různé podmínky prostředí vaší aplikace. Účinnost těsnění má zásadní vliv na životnost lineárního vedení a proto je třeba je definovat už v návrhové fázi a zvolit podle podmínek prostředí vaší aplikace.

#### SS (standard):

Koncové těsnění se spodní těsnící lištou

- Pro čisté a neprašné aplikace
- Jen minimální zvýšení výtlačných sil

#### ZZ:

Koncové těsnění se spodní těsnící lištou a plechovým stěračem

- Pro aplikace s výskytem horkých třísek nebo ostrohranných částic
- Plechový stěrač chrání koncové těsnění před poškozením

#### DD:

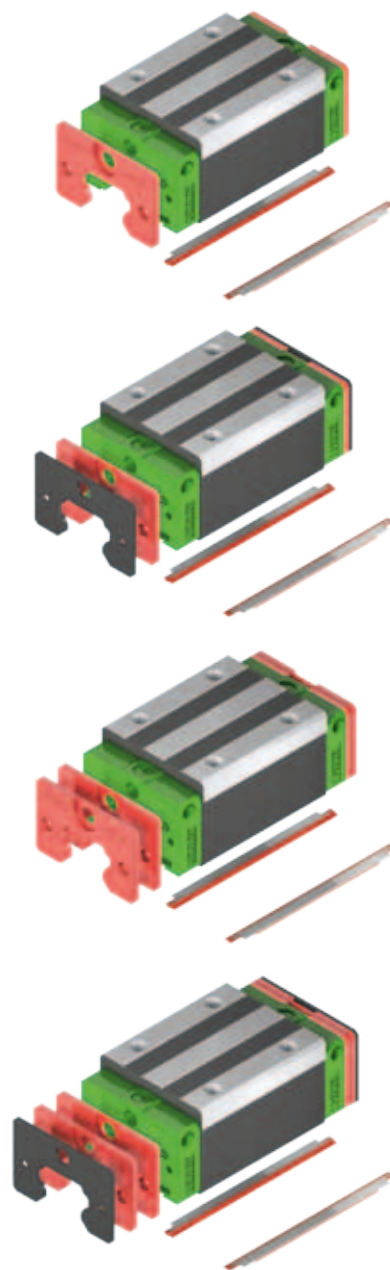
Dvojité koncové těsnění se spodní těsnící lištou

- Pro prašné aplikace a znečištěné prostředí
- Dvojité těsnění účinně brání průniku nečistot do vozíku

#### KK:

Kombinované dvojité koncové těsnění se spodní těsnící lištou a plechovým stěračem

- Pro prašné aplikace, znečištěné prostředí, horké třísky a ostrohranné částice
- Plechový stěrač chrání koncové těsnění před poškozením



#### Dostupnost těsnících systémů SS, ZZ, DD a KK:

Těsnicí systémy SS, ZZ, DD a KK jsou k dispozici pro všechny rozměry a typy vedení.

Výjimkou je řada MG, pro niž je k dispozici pouze standardní těsnicí systém SS.

# Lineární vedení

## Všeobecné informace

### 2.9.2 Těsnící systémy SW a ZWX pro optimální ochranu proti prachu

Těsnící systémy SW a ZWX umožňují použití lineárních vedení HIWIN i v prostorách se silným znečištěním. Tyto těsnící systémy nabízejí optimální ochranu před průnikem nečistot, prachu a kapalin. Koncové těsnění je odolné proti olejům a mastnotám a velmi odolné proti opotřebení.

**Vlastnosti:**

- Koncové těsnění s dvojitým stěračem
- Optimalizované spodní těsnění
- Přídavné hlavové těsnění
- Optimalizovaný nerezový stěrač (ZWX)

**SW:**

Koncové těsnění s dvojitým břitem, optimalizované spodní těsnění a přídavné hlavové těsnění

- Optimální ochrana proti prachu
- Přídavné hlavové těsnění brání vnikání prachu přes horní část kolejnice
- Optimalizovaná spodní těsnicí lišta proti vniknutí nečistot

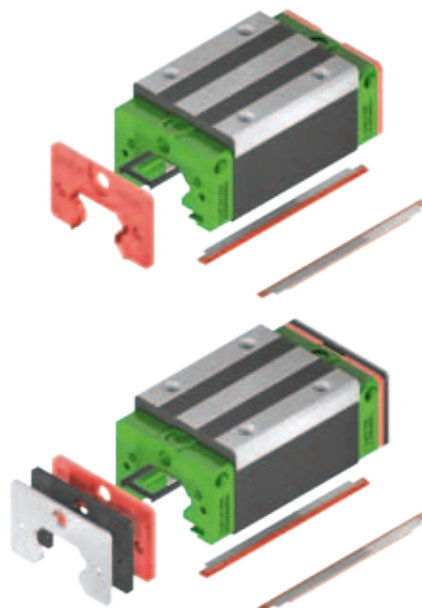
**ZWX:**

Koncové těsnění s dvojitým břitem, optimalizované spodní těsnění, přídavné hlavové těsnění a nerezový stěrač

- Optimální ochrana proti prachu
- Přídavné horní těsnění brání vnikání prachu vrškem kolejnice
- Optimalizovaná spodní těsnicí lišta proti vniknutí nečistot
- Optimalizovaný nerezový stěrač chrání před prachovými částicemi > 0,2 mm v průměru a také před poškozením koncového těsnění

**Výhody:**

- Optimální ochrana proti prachu
- Desetinásobné prodloužení životnosti
- Delší mazací intervaly
- Nižší náklady na údržbu

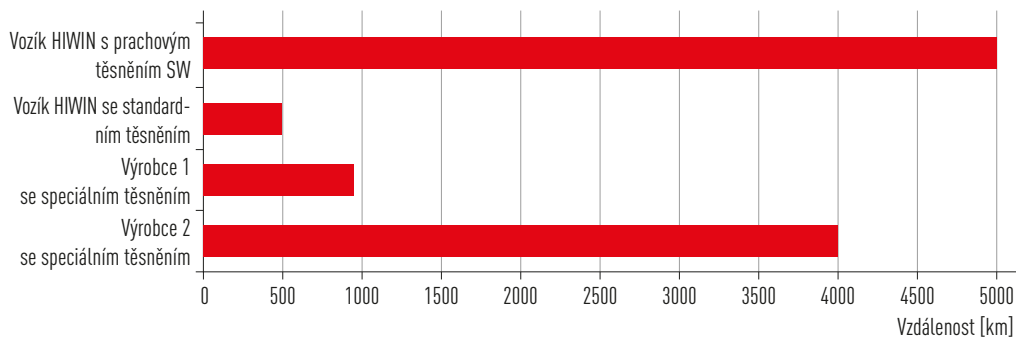


**Prachový test těsnících systémů SW a ZWX**

Prachový test ukázal, že těsnící systémy SW a ZWX v prашném prostředí prodlužují životnost zařízení desetkrát déle oproti standardnímu těsnění.

**Podmínky testu:**

- Těsný uzavřený prostor s vířeným prachem
- v = 1,3 m/s
- Mazání tukem



Tabulka 2.7 Dostupnost těsnících systémů SW a ZWX

| Řada | Rozměry |     |     |     |     |     |     |     |
|------|---------|-----|-----|-----|-----|-----|-----|-----|
|      | 15      | 20  | 25  | 30  | 35  | 45  | 55  | 65  |
| HG   | ●       | ● ■ | ● ■ | ● ■ | ● ■ | ● ■ | ● ■ | ● ■ |
| CG   | ● ■     | ● ■ | ● ■ | ● ■ | ● ■ | ● ■ |     |     |
| RG   | —       | —   | —   | —   | —   | ● ■ | ● ■ | ● ■ |

- Těsnící systém SW
- Těsnící systém ZWX

# Lineární vedení

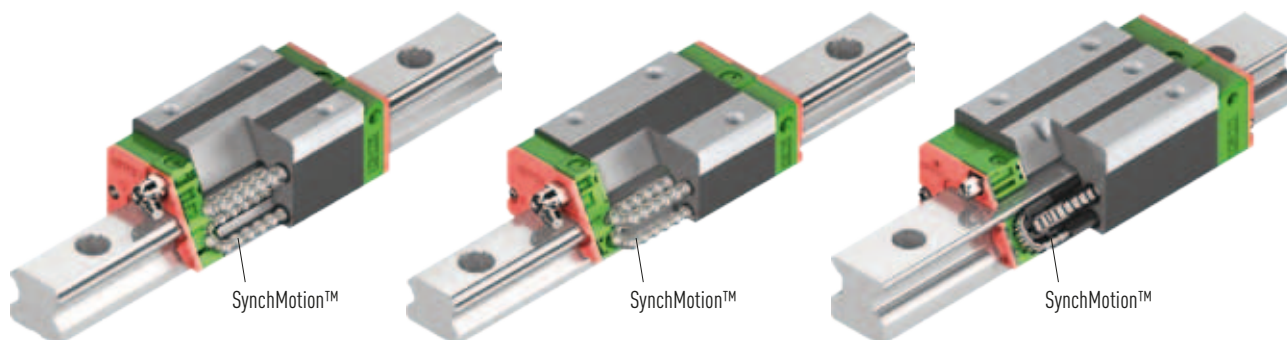
## Všeobecné informace

### 2.10 Technologie SynchMotion™

Inovační technologie SynchMotion™ zmenšuje kontaktní plochu mezi válečky a vozíkem. Podobně jako klec standardního kuličkového ložiska jsou válečky udržovány v definované vzájemné vzdálenosti technologií SynchMotion™. Protiběžné tření vytvářené standardním lineárním vedením je eliminováno a smykové pohyby jsou značně sníženy. Nenastává neřízený pohyb kuliček, a to ani při vysokých rychlostech. Technologie SynchMotion™ také zlepšuje transport a ukládání maziva uvnitř vozíku.

#### Výhody:

- Lepší valivé vlastnosti
- Optimální pro rychlý posuv
- Lepší mazací vlastnosti
- Snížená hlučnost
- Většího dynamické zatížení



Řada QH

Řada QE

Řada QR

Tabulka 2.8 Dostupnost technologie SynchMotion™ pro lineární vedení HIWIN

| Řada | Rozměry |    |    |    |    |    |    |    |    |    |
|------|---------|----|----|----|----|----|----|----|----|----|
|      | 15      | 20 | 21 | 25 | 27 | 30 | 35 | 45 | 55 | 65 |
| QH   | ●       | ●  | –  | ●  | –  | ●  | ●  | ●  | –  | –  |
| QE   | ●       | ●  | –  | ●  | –  | ●  | ●  | –  | –  | –  |
| QW   | –       | –  | ●  | –  | ●  | –  | ●  | –  | –  | –  |
| QR   | –       | –  | –  | ●  | –  | ●  | ●  | ●  | –  | –  |

Vozíky s technologií SynchMotion™ jsou rozměrově identické s vozíky HG, EG, WE a RG, jsou určeny pro standardní kolejnice a jsou velmi snadno vyměnitelné.

# Lineární vedení

## Všeobecné informace

### 2.11 Lineární vedení pro vyšší teploty

Vozíky bez plastových částí s kovovým vratným systémem jsou určeny pro permanentní použití při teplotách přesahujících 100 °C. Standardní těsnění je nahrazeno tepelně odolným těsněním a plastové zátky v kolejnici zátkami mosaznými nebo ocelovými.

#### Vlastnosti:

- Dobrá odolnost proti vysokým teplotám
- Pracovní teplota do 150 °C
- Krátkodobá teplota do 180 °C

#### Oblasti použití:

- Zařízení pro tepelné zpracování
- Svařovací zařízení
- Sklářské stroje
- Zařízení pro použití ve vakuu



Tabulka 2.9 Dostupnost systémů pro vyšší teploty u lineárního vedení HIWIN

| Řada | Velikost       |
|------|----------------|
| HG   | 15, 20, 25, 30 |

Poznámka:

Provedení pro vyšší teploty nelze kombinovat s jinými těsnícími systémy.

Příklad objednacího kódu:

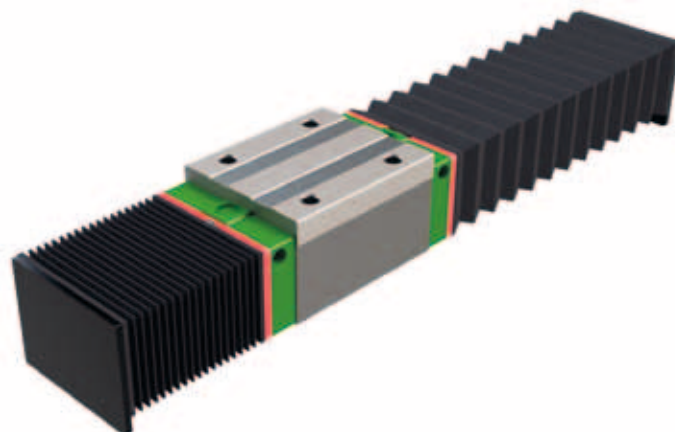
**HG** **W** **25** **C** **C** **ZO** **H** **SE**

### 2.12 Ochranné měchy

Pro aplikace pracující ve znečištěném prostředí nabízíme krytování kolejníc pomocí krycích měchů. Materiál krycích měchů je vhodný hlavně pro prашné prostředí, při malém dopadu chladicí kapaliny a oleje a je odolný proti kyselinám. Materiály s jinými vlastnostmi na poptávku.

#### Vlastnosti:

- Materiál: třívrstvý PVC - Poylester - PVC
- Teplotní odolnost krátkodobá: 100 °C
- Teplotní odolnost trvalá: -30 °C / +70 °C



Tabulka 2.10 Dostupnost krycích měchů pro lineární vedení HIWIN

| Řada | Velikost           |
|------|--------------------|
| HG   | 20, 25, 30, 35, 45 |
| RG   | 20, 25, 30, 35, 45 |

Poznámka:

U velikostí 25, 30, 35 a 45 rozměry krycího měchu nepřesahují obrysy vozíku.

# Lineární vedení

## Všeobecné informace

### 2.13 Povlakování HIWIN

#### 2.13.1 Povlakování HIWIN HICOAT CZS

##### Charakteristiky

HICOAT CZS je velmi tenký zinkový povlak, který poskytuje velmi dobrou ochranu proti korozi i pro rádiusy a zkosení. Menší volné součásti jsou chráněny katodovou protikorozní ochranou. Tyto součásti mají proto výrazně delší životnost než součásti, které tuto ochranu nemají. Povlakování CZS je k dispozici pro řadu HG, EG a WE.

##### Zvláštní vlastnosti:

- Velmi dobrá protikorozní ochrana
- Neobsahuje Cr (VI)
- Případnou interakci mezi povlakem, médiem a mazivem je nutno vyzkoušet případ od případu

##### Technická data:

|   |     |
|---|-----|
| Test solným postřikem podle DIN EN ISO 9227 [h] <sup>1)</sup> | 300 |
| Maximální délka kolejničky (jednoho kusu) [m]                 | 4,0 |

<sup>1)</sup> Nezatížená kolejnička

##### Označování:



#### Korozní test kolejniček s povlakem CZS ve srovnání kolejničkami bez povlakování



Obr. 1: Nová kolejnička s povlakem CZS



Obr. 2: Kolejnička s povlakem CZS – po 6 měsících skladování ve venkovním prostoru



Obr. 3: Kolejnička s povlakem CZS – po 99 hodinách testu solným postřikem (podle normy DIN EN ISO 9227)



Obr. 4: Kolejnička bez povlaku – po 4 hodinách testu solným postřikem

Tabulka 2.11 HICOAT CZS, vlastnosti

|  |                            |
|--|----------------------------|
| Vrstva   | Zinek                      |
| Tloušťka [µm]  | 4 - 6                      |
| Tvrdość [HV]   | 300                        |
| Barva  | stříbrná duhově lesklá     |
| Primární funkce                                      | protikorozní ochrana ***** |
| Protikorozní ochrana podle normy DIN EN ISO 9227 [h] | *****<br>50 - 300          |
| Max. délka povlaku [mm]                              | 4000                       |
| Vlastnosti   | katodová ochrana           |
| Vhodný pro použití ve styku s potravinami            | ne                         |
| Cenová hladina                                       | nízká                      |

# Lineární vedení

## Všeobecné informace

### 2.13.2 Povlak HIWIN HICOAT 2

#### Charakteristika

HICOAT 2 je tenkovrstvý chromový povlak poskytující dobrou ochranu proti korozi a velmi dobrou ochranu před opotřebením. Tuto ochranu proti opotřebení zajišťuje mimořádná tvrdost povlaku. Povlak HICOAT 2 neobsahuje Cr (VI) a je vhodný pro potravinářství.

#### Technická data:

|   |     |
|---|-----|
| Test solným postřikem podle normy DIN EN ISO 9227 [h] <sup>1)</sup> | 96  |
| Maximální délka kolejničky (jeden kus) [m]                          | 4,0 |

<sup>1)</sup> Nezatížená kolejnička

#### Korozní test montážních sestav kolejniček s povlakem HICOAT 2 ve srovnání kolejničkami bez povlaku



Obr. 1: Nová kolejnička s povlakem HICOAT 2



Obr. 2: Kolejnička s povlakem HICOAT 2 – po měsíci skladování ve venkovním prostoru



Obr. 3: Kolejnička s povlakem HICOAT 2 – po 22 hodinách testu solným postřikem (podle normy DIN EN ISO 9227)



Obr. 4: Kolejnička bez povlaku – po 4 hodinách testu solným postřikem

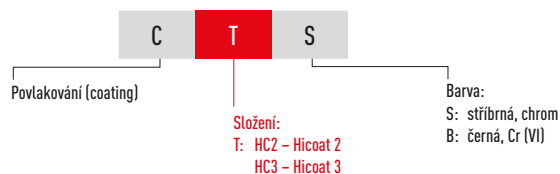
Tabulka 2.12 HICOAT 2, charakteristiky

|   |                              |
|---|------------------------------|
| Vrstva  | Chrom                        |
| Tloušťka [μm]                                       | 2 - 4                        |
| Tvrdost [HV]  | 900 - 1300                   |
| Barva   | stříbrošedá matná            |
| Primární funkce                                     | ochrana proti opotřebením ** |
| Protikorozi ochrana podle normy DIN EN ISO 9227 [h] | **<br>22 - 96                |
| Max. délka povlaku [mm]                             | 4000                         |
| Vlastnosti  | velmi tvrdý                  |
| Vhodný pro použití ve styku s potravinami           | ano                          |
| Cenová hladina                                      | vysoká                       |

#### Zvláštní vlastnosti:

- Velmi dobrá ochrana před opotřebením
- Dobrá ochrana proti korozi
- Neobsahuje Cr (VI)
- Vhodný pro potravinářství

#### Označování:



# Řada HG/QH

Řada HG (standardní) a QH (s technologií SynchMotion™) s čtyřmi kuličkovými řadami pro vysokou tuhost a vysoké zatížení.

# 01

# Lineární vedení

## Řada HG/QH

### 3. Lineární vedení

#### 3.1 Řada HG a QH

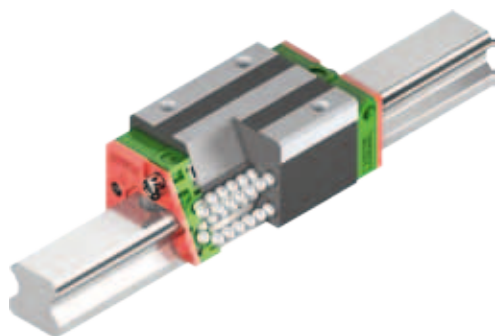
##### 3.1.1 Vlastnosti lineárního vedení, řada HG a QH

Lineární vedení HIWIN řady HG se čtyřmi řadami kuliček je určeno pro vysoká zatížení a vysoké tuhosti. Díky 45° uspořádání kuličkových řad dokáže řada HG absorbovat zatížení ze všech směrů. Další vlastnosti řady HG zahrnují nízké rozjezdové síly a vysokou účinnost. Přídržné lišty brání kuličkám ve vypadnutí při sundání z kolejnice.

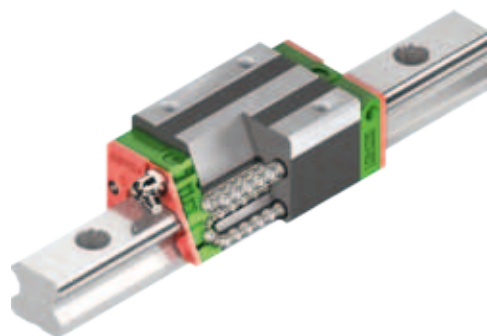
Vozíky řady QH s technologií SynchMotion™ poskytují veškeré výhody standardní řady HG. Řízený pohyb kuliček o definovanou vzdálenost zlepšuje synchronizaci, zvyšuje spolehlivost posuvu i při vyšších rychlostech, prodlužuje mazací intervaly a snižuje hlučnost chodu. Připojovací rozměry vozíků QH jsou totožné s rozměry vozíků HG, nasazují se na standardní kolejnice HGR a lze je proto snadno vyměnit.

##### 3.1.2 Konstrukce řady HG/QH

- Čtyřřadé kuličkové lineární vedení
- Dotykový úhel 45°
- Přídržné lišty brání kuličkám ve vypadnutí při demontáži
- Varianty těsnění závisí na konkrétní aplikaci
- 6 možností připojení maznice nebo mazacího nástavce
- Technologie SynchMotion™ (řada QH)



Konstrukce řady HG



Konstrukce řady QH

##### Výhody:

- Nulová vůle
- Zaměnitelnost
- Vysoká přesnost
- Vysoká únosnost ve všech směrech zatížení
- Nízké třecí ztráty díky optimalizovaným kuličkovým drahám a 2-bodovému kontaktu

##### Další výhody řady QH:

- Lepší synchronizace
- Optimalizace pro vyšší rychlosti posuvu
- Delší mazací intervaly
- Nižší hlučnost provozu
- Vyšší dynamická únosnost

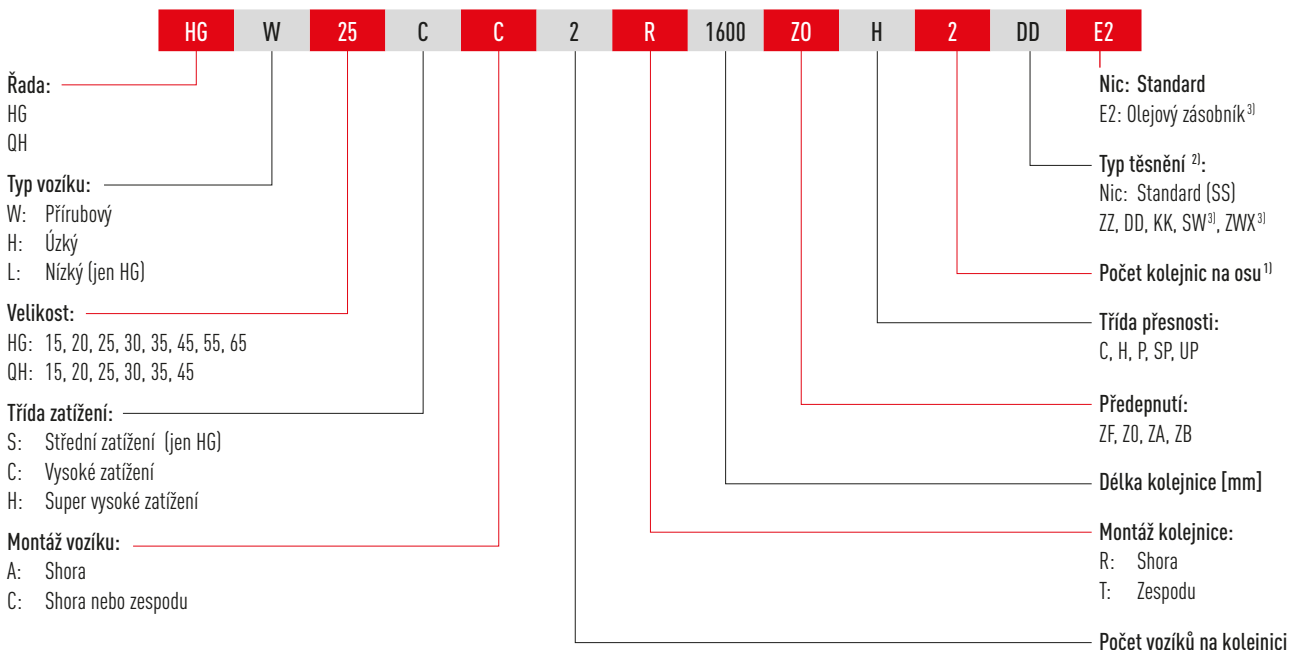
##### 3.1.3 Objednací kódy pro řadu HG/QH

V případě lineárního vedení HG/QH se rozlišuje mezi lineárním systémem a nesmontovaným provedením. Rozměry obou typů jsou stejné. Hlavní rozdíl je v tom, že vozík a kolejnice nesmontovaného provedení mohou být libovolně zaměňovány. Vozík a kolejnici lze objednat samostatně a smontovat si je může zákazník.

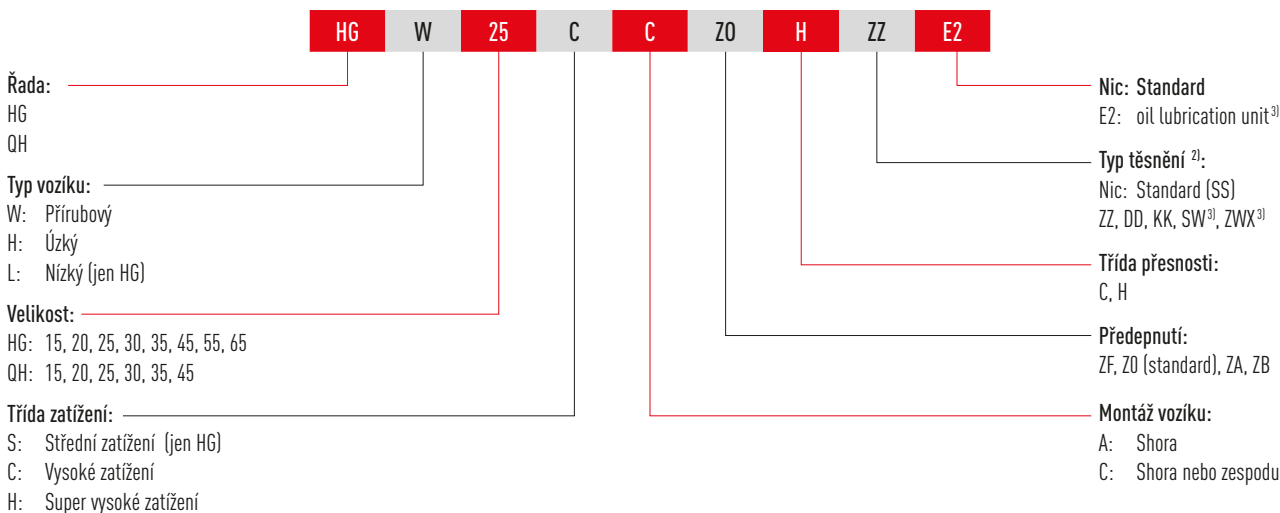
# Lineární vedení

## Řada HG/QH

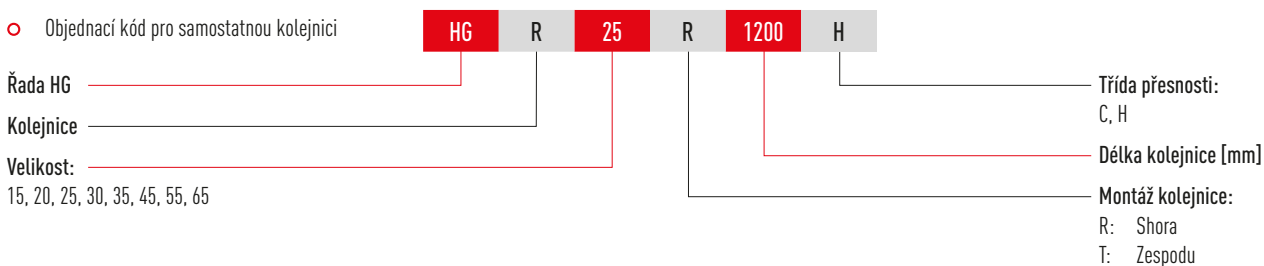
○ Objednací kód pro lineární systém (vozik namontovaný na kolejnici)



○ Objednací kód pro samostatný vozík



○ Objednací kód pro samostatnou kolejnici



Poznámka:

<sup>1)</sup> Číslo 2 ukazuje také množství, tj. jedna položka výše zmíněného výrobku obsahuje dvojici kolejnič.

<sup>2)</sup> Přehled jednotlivých systémů těsnění je uveden v kapitole 2.9

<sup>3)</sup> Pouze pro řadu HG

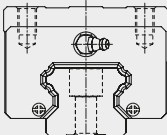
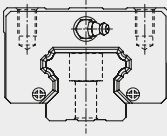
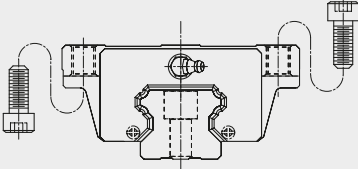
# Lineární vedení

## Řada HG/QH

### 3.1.4 Typy vozíků

Společnost HIWIN nabízí pro lineární vedení úzké a přírubové vozíky. Přírubové vozíky jsou díky své nízké výšce a větší montážní ploše vhodnější pro větší zatížení.

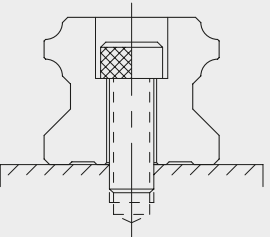
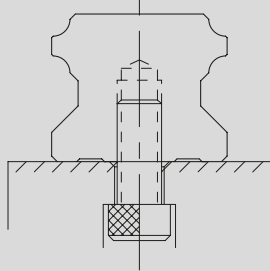
Tabulka 3.1 Typy vozíků

| Provedení        | Typ              | Konstrukce   | Výška [mm] | Typické použití   |
|------------------|------------------|--|------------|---|
| Úzký vozík       | HGH-CA<br>HGH-HA |   | 28 – 90    | <ul style="list-style-type: none"> <li>○ Obráběcí stroje</li> <li>○ NC soustruhy</li> <li>○ Brusky</li> <li>○ Přesné frézky</li> <li>○ Výkonné řezačky</li> <li>○ Automatizace</li> <li>○ Dopravní technika</li> <li>○ Měřicí přístroje</li> <li>○ Stroje a zařízení s vysokou přesností</li> </ul> |
| Úzký nízký vozík | HGL-CA<br>HGL-HA |   | 24 – 70    |   |
| Přírubový vozík  | HGW-CC<br>HGW-HC |  | 24 – 90    |   |

### 3.1.5 Typy kolejnic

Kromě kolejnic se standardním upevněním shora nabízí společnost HIWIN také kolejnice pro upevnění zespodu.

Tabulka 3.2 Typy kolejnic

| Upevnění shora  | Upevnění zespodu   |
|---|--|
|  |  |
| HGR_R   | HGR_T  |

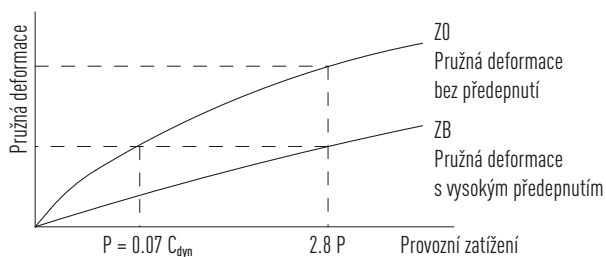
# Lineární vedení

## Řada HG/QH

### 3.1.6 Předepnutí

#### Definice

Každý vozík lze předepnout kuličkami. Křivka ukazuje, jak se při vyšším předepnutí tuhost zdvojnásobuje. Řada HG/QH se dodává ve třech standardních třídách předepnutí pro různé použití a podmínky.



#### Označení předepnutí

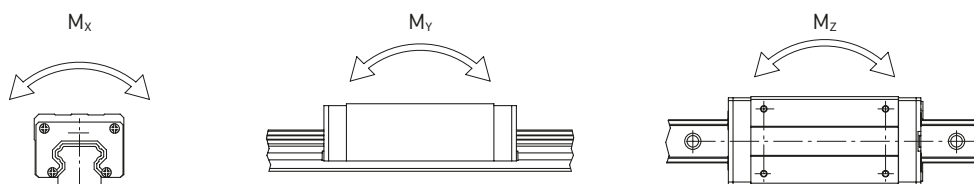
Tabulka 3.3 Označení předepnutí

| Označení | Předepnutí                       |                       | Použití  | Vzorové aplikace  |
|----------|----------------------------------|-----------------------|--|---|
| Z0       | Lehké předepnutí (vymezená vůle) | $0 - 0.02 C_{dyn}$    | Stálý směr zatížení, nízké vibrace, stačí nižší přesnost   | <ul style="list-style-type: none"> <li>○ Dopravní technika</li> <li>○ Automatické balicí stroje</li> <li>○ Osy X-Y v průmyslových strojích</li> <li>○ Svařovačky</li> </ul>   |
| ZA       | Střední předepnutí               | $0.05 - 0.07 C_{dyn}$ | Požaduje se vysoká přesnost                                | <ul style="list-style-type: none"> <li>○ Obráběcí centra</li> <li>○ Osa Z v průmyslových strojích</li> <li>○ Erozivní stroje</li> <li>○ Soustruhy NC</li> <li>○ Přesné stoly X-Y</li> <li>○ Měřicí přístroje</li> </ul> |
| ZB       | Vysoké předepnutí                | nad $0.1 C_{dyn}$     | Požaduje se vysoká tuhost, odolnost proti vibracím a rázům | <ul style="list-style-type: none"> <li>○ Obráběcí centra</li> <li>○ Brusky</li> <li>○ Soustruhy NC</li> <li>○ Horizontální a vertikální frézky</li> <li>○ Osa Z obráběcích strojů</li> <li>○ Výkonné řezačky</li> </ul> |

# Lineární vedení

## Řada HG/QH

### 3.1.7 Únosnosti a momenty



Tabulka 3.4 Únosnosti a momenty pro řadu HG/QH

| Řada/rozměr | Dynamická únosnost<br>$C_{dyn}$ [N] <sup>1)</sup> | Statická únosnost<br>$C_0$ [N] | Dynamický moment [Nm] |       |       | Statický moment [Nm] |          |          |
|-------------|---|--------------------------------|-----------------------|-------|-------|----------------------|----------|----------|
|             |   |                                | $M_x$                 | $M_y$ | $M_z$ | $M_{0x}$             | $M_{0y}$ | $M_{0z}$ |
| HG_15C      | 11,380  | 16,970                         | 76                    | 67    | 67    | 120                  | 100      | 100      |
| QH_15C      | 13,880  | 14,360                         | 90                    | 84    | 84    | 100                  | 80       | 80       |
| HG_20S      | 12,190  | 16,110                         | 99                    | 61    | 61    | 130                  | 80       | 80       |
| HG_20C      | 17,750  | 27,760                         | 178                   | 126   | 126   | 270                  | 200      | 200      |
| QH_20C      | 23,080  | 25,630                         | 231                   | 171   | 171   | 260                  | 190      | 190      |
| HG_20H      | 21,180  | 35,900                         | 208                   | 203   | 203   | 350                  | 350      | 350      |
| QH_20H      | 27,530  | 31,670                         | 268                   | 230   | 230   | 310                  | 270      | 270      |
| HG_25C      | 26,480  | 36,490                         | 301                   | 240   | 240   | 420                  | 330      | 330      |
| QH_25C      | 31,780  | 33,680                         | 361                   | 294   | 294   | 390                  | 310      | 310      |
| HG_25H      | 32,750  | 49,440                         | 374                   | 379   | 379   | 560                  | 570      | 570      |
| QH_25H      | 39,300  | 43,620                         | 451                   | 410   | 410   | 500                  | 450      | 450      |
| HG_30C      | 38,740  | 52,190                         | 494                   | 396   | 396   | 660                  | 530      | 530      |
| QH_30C      | 46,490  | 48,170                         | 588                   | 491   | 491   | 600                  | 500      | 500      |
| HG_30H      | 47,270  | 69,160                         | 600                   | 630   | 630   | 880                  | 920      | 920      |
| QH_30H      | 56,720  | 65,090                         | 722                   | 623   | 623   | 830                  | 890      | 890      |
| HG_35C      | 49,520  | 69,160                         | 832                   | 577   | 577   | 1,160                | 810      | 810      |
| QH_35C      | 60,520  | 63,840                         | 1,019                 | 720   | 720   | 1,070                | 760      | 760      |
| HG_35H      | 60,210  | 91,630                         | 1,011                 | 918   | 918   | 1,540                | 1,400    | 1,400    |
| QH_35H      | 73,590  | 86,240                         | 1,233                 | 1,135 | 1,135 | 1,450                | 1,330    | 1,330    |
| HG_45C      | 77,570  | 102,710                        | 1,497                 | 1,169 | 1,169 | 1,980                | 1,550    | 1,550    |
| QH_45C      | 89,210  | 94,810                         | 1,723                 | 1,295 | 1,295 | 1,830                | 1,380    | 1,380    |
| HG_45H      | 94,540  | 136,460                        | 1,825                 | 1,857 | 1,857 | 2,630                | 2,680    | 2,680    |
| QH_45H      | 108,720   | 128,430                        | 2,097                 | 2,041 | 2,041 | 2,470                | 2,410    | 2,410    |
| HG_55C      | 114,440   | 148,330                        | 2,843                 | 2,039 | 2,039 | 3,690                | 2,640    | 2,640    |
| HG_55H      | 139,350   | 196,200                        | 3,464                 | 3,242 | 3,242 | 4,880                | 4,570    | 4,570    |
| HG_65C      | 163,630   | 215,330                        | 5,049                 | 3,245 | 3,245 | 6,650                | 4,270    | 4,270    |
| HG_65H      | 208,360   | 303,130                        | 6,449                 | 5,068 | 5,068 | 9,380                | 7,380    | 7,380    |

<sup>1)</sup> Dynamická únosnost pro celkovou ujetou dráhu 50 km

# Lineární vedení

## Řada HG/QH

### 3.1.8 Tuhost

Tuhost závisí na předepnutí. Vzorec F 3.1 se používá pro výpočet deformace v závislosti na tuhosti.

#### F 3.1

$$\delta = \frac{P}{k}$$

$\delta$  Deformace [ $\mu\text{m}$ ]  
 $P$  Provozní zatížení [N]  
 $k$  Tuhost [N/ $\mu\text{m}$ ]

Tabulka 3.5 Radiální tuhost pro řadu HG/QH

| Druh zatížení    | Řada/<br>rozměr       | Tuhost v závislosti na předepnutí |       |       |
|------------------|-----------------------|-----------------------------------|-------|-------|
|                  |                       | Z0                                | ZA    | ZB    |
| Střední zatížení | HG_20S                | 130                               | 170   | 190   |
| Vysoké zatížení  | HG_15C                | 200                               | 260   | 290   |
|                  | QH_15C                | 180                               | 230   | 260   |
|                  | HG_20C                | 250                               | 320   | 360   |
|                  | QH_20C                | 230                               | 290   | 320   |
|                  | HG_25C                | 300                               | 390   | 440   |
|                  | QH_25C                | 270                               | 350   | 400   |
|                  | HG_30C                | 370                               | 480   | 550   |
|                  | QH_30C                | 330                               | 430   | 500   |
|                  | HG_35C                | 410                               | 530   | 610   |
|                  | QH_35C                | 370                               | 480   | 550   |
|                  | HG_45C                | 510                               | 660   | 750   |
|                  | QH_45C                | 460                               | 590   | 680   |
|                  | HG_55C                | 620                               | 800   | 910   |
|                  | HG_65C                | 760                               | 980   | 1,120 |
|                  | Super vysoké zatížení | HG_20H                            | 310   | 400   |
| QH_20H           |                       | 280                               | 360   | 410   |
| HG_25H           |                       | 390                               | 510   | 580   |
| QH_25H           |                       | 350                               | 460   | 520   |
| HG_30H           |                       | 480                               | 620   | 710   |
| QH_30H           |                       | 430                               | 560   | 640   |
| HG_35H           |                       | 530                               | 690   | 790   |
| QH_35H           |                       | 480                               | 620   | 710   |
| HG_45H           |                       | 650                               | 850   | 970   |
| QH_45H           |                       | 590                               | 770   | 870   |
| HG_55H           |                       | 790                               | 1,030 | 1,180 |
| HG_65H           |                       | 1,030                             | 1,330 | 1,520 |

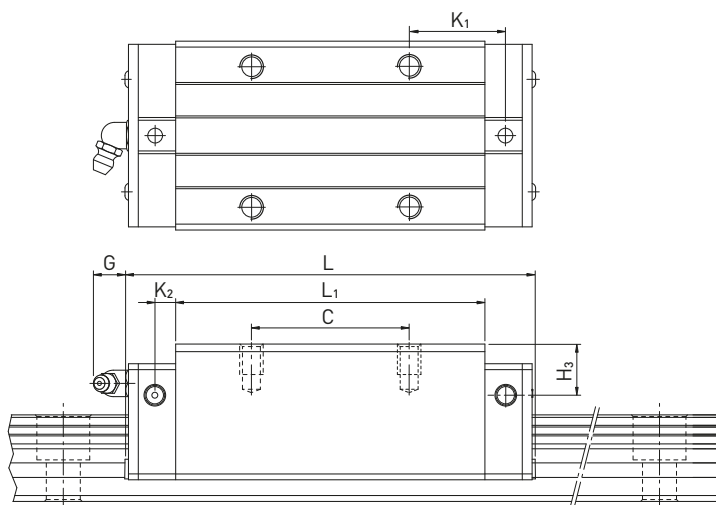
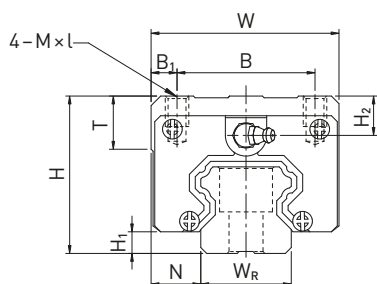
Jednotka: N/ $\mu\text{m}$

# Lineární vedení

## Řada HG/QH

### 3.1.9 Rozměry vozíků HG/QH

#### 3.1.9.1 HGH/QHH



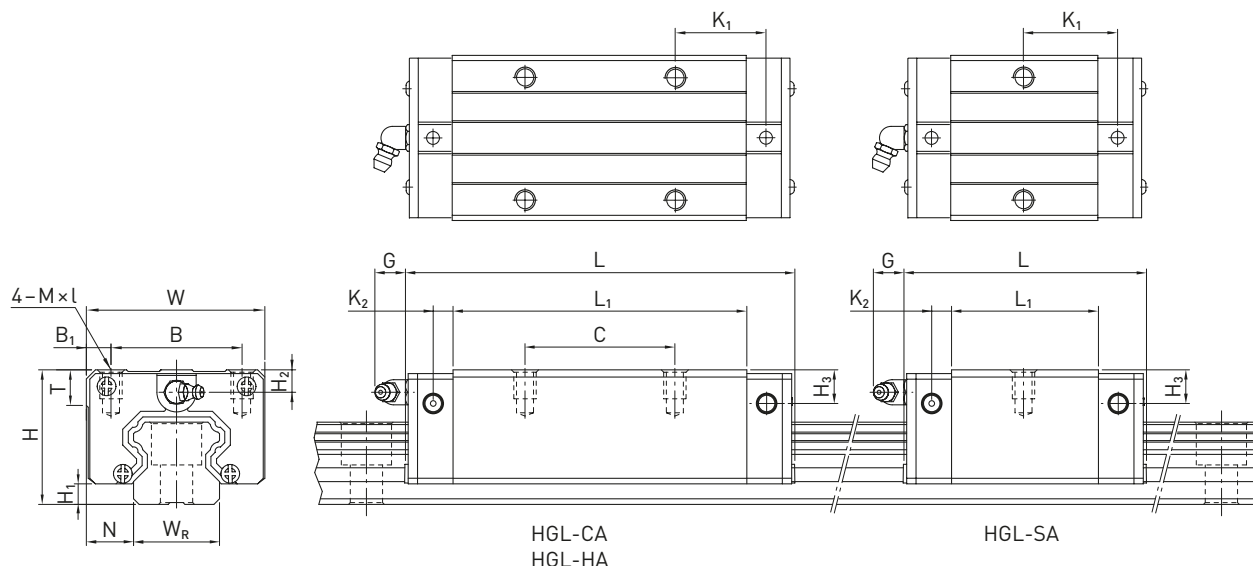
Tabulka 3.6 Rozměry vozíku

| Řada/<br>rozměr | Montážní rozměry [mm] |                |      | Rozměry vozíku [mm] |    |                |     |                |       |                |                |      |          |      |                |                | Únosnosti [N]    |                | Hmotnost [kg] |
|-----------------|-----------------------|----------------|------|---------------------|----|----------------|-----|----------------|-------|----------------|----------------|------|----------|------|----------------|----------------|------------------|----------------|---------------|
|                 | H                     | H <sub>1</sub> | N    | W                   | B  | B <sub>1</sub> | C   | L <sub>1</sub> | L     | K <sub>1</sub> | K <sub>2</sub> | G    | M × l    | T    | H <sub>2</sub> | H <sub>3</sub> | C <sub>dyn</sub> | C <sub>0</sub> |               |
| HGH15CA         | 28                    | 4.3            | 9.5  | 34                  | 26 | 4.0            | 26  | 39.4           | 61.4  | 10.00          | 4.85           | 5.3  | M4 × 5   | 6.0  | 7.95           | 7.7            | 11,380           | 16,970         | 0.18          |
| QHH15CA         | 28                    | 4.0            | 9.5  | 34                  | 26 | 4.0            | 26  | 39.4           | 61.4  | 10.00          | 5.00           | 5.3  | M4 × 5   | 6.0  | 7.95           | 8.2            | 13,880           | 14,360         | 0.18          |
| HGH20CA         | 30                    | 4.6            | 12.0 | 44                  | 32 | 6.0            | 36  | 50.5           | 77.5  | 12.25          | 6.00           | 12.0 | M5 × 6   | 8.0  | 6.00           | 6.0            | 17,750           | 27,760         | 0.30          |
| HGH20HA         |                       |                |      |                     |    |                | 50  | 65.2           | 92.2  | 12.60          |                |      |          |      |                |                | 21,180           | 35,900         | 0.39          |
| QHH20CA         | 30                    | 4.6            | 12.0 | 44                  | 32 | 6.0            | 36  | 50.5           | 76.7  | 11.75          | 6.00           | 12.0 | M5 × 6   | 8.0  | 6.00           | 6.0            | 23,080           | 25,630         | 0.29          |
| QHH20HA         |                       |                |      |                     |    |                | 50  | 65.2           | 91.4  | 12.10          |                |      |          |      |                |                | 27,530           | 31,670         | 0.38          |
| HGH25CA         | 40                    | 5.5            | 12.5 | 48                  | 35 | 6.5            | 35  | 58.0           | 84.0  | 15.70          | 6.00           | 12.0 | M6 × 8   | 8.0  | 10.00          | 9.0            | 26,480           | 36,490         | 0.51          |
| HGH25HA         |                       |                |      |                     |    |                | 50  | 78.6           | 104.6 | 18.50          |                |      |          |      |                |                | 32,750           | 49,440         | 0.69          |
| QHH25CA         | 40                    | 5.5            | 12.5 | 48                  | 35 | 6.5            | 35  | 58.0           | 83.4  | 15.70          | 6.00           | 12.0 | M6 × 8   | 8.0  | 10.00          | 9.0            | 31,780           | 33,680         | 0.50          |
| QHH25HA         |                       |                |      |                     |    |                | 50  | 78.6           | 104.0 | 18.50          |                |      |          |      |                |                | 39,300           | 43,620         | 0.68          |
| HGH30CA         | 45                    | 6.0            | 16.0 | 60                  | 40 | 10.0           | 40  | 70.0           | 97.4  | 20.25          | 6.00           | 12.0 | M8 × 10  | 8.5  | 9.50           | 13.8           | 38,740           | 52,190         | 0.88          |
| HGH30HA         |                       |                |      |                     |    |                | 60  | 93.0           | 120.4 | 21.75          |                |      |          |      |                |                | 47,270           | 69,160         | 1.16          |
| QHH30CA         | 45                    | 6.0            | 16.0 | 60                  | 40 | 10.0           | 40  | 70.0           | 97.4  | 19.50          | 6.25           | 12.0 | M8 × 10  | 8.5  | 9.50           | 9.0            | 46,490           | 48,170         | 0.87          |
| QHH30HA         |                       |                |      |                     |    |                | 60  | 93.0           | 120.4 | 21.75          |                |      |          |      |                |                | 56,720           | 65,090         | 1.15          |
| HGH35CA         | 55                    | 7.5            | 18.0 | 70                  | 50 | 10.0           | 50  | 80.0           | 112.4 | 20.60          | 7.00           | 12.0 | M8 × 12  | 10.2 | 16.00          | 19.6           | 49,520           | 69,160         | 1.45          |
| HGH35HA         |                       |                |      |                     |    |                | 72  | 105.8          | 138.2 | 22.50          |                |      |          |      |                |                | 60,210           | 91,630         | 1.92          |
| QHH35CA         | 55                    | 7.5            | 18.0 | 70                  | 50 | 10.0           | 50  | 80.0           | 113.6 | 19.00          | 7.50           | 12.0 | M8 × 12  | 10.2 | 15.50          | 13.5           | 60,520           | 63,840         | 1.44          |
| QHH35HA         |                       |                |      |                     |    |                | 72  | 105.8          | 139.4 | 20.90          |                |      |          |      |                |                | 73,590           | 86,240         | 1.90          |
| HGH45CA         | 70                    | 9.5            | 20.5 | 86                  | 60 | 13.0           | 60  | 97.0           | 139.4 | 23.00          | 10.00          | 12.9 | M10 × 17 | 16.0 | 18.50          | 30.5           | 77,570           | 102,710        | 2.73          |
| HGH45HA         |                       |                |      |                     |    |                | 80  | 128.8          | 171.2 | 28.90          |                |      |          |      |                |                | 94,540           | 136,460        | 3.61          |
| QHH45CA         | 70                    | 9.2            | 20.5 | 86                  | 60 | 13.0           | 60  | 97.0           | 139.4 | 23.00          | 10.00          | 12.9 | M10 × 17 | 16.0 | 18.50          | 20.0           | 89,210           | 94,810         | 2.72          |
| QHH45HA         |                       |                |      |                     |    |                | 80  | 128.8          | 171.2 | 29.09          |                |      |          |      |                |                | 108,720          | 128,430        | 3.59          |
| HGH55CA         | 80                    | 13.0           | 23.5 | 100                 | 75 | 12.5           | 75  | 117.7          | 166.7 | 27.35          | 11.00          | 12.9 | M12 × 18 | 17.5 | 22.00          | 29.0           | 114,440          | 148,330        | 4.17          |
| HGH55HA         |                       |                |      |                     |    |                | 95  | 155.8          | 204.8 | 36.40          |                |      |          |      |                |                | 139,350          | 196,200        | 5.49          |
| HGH65CA         | 90                    | 15.0           | 31.5 | 126                 | 76 | 25.0           | 70  | 144.2          | 200.2 | 43.10          | 14.00          | 12.9 | M16 × 20 | 25.0 | 15.00          | 15.0           | 163,630          | 215,330        | 7.00          |
| HGH65HA         |                       |                |      |                     |    |                | 120 | 203.6          | 259.6 | 47.80          |                |      |          |      |                |                | 208,360          | 303,130        | 9.82          |

Rozměry kolejničky viz kapitola 3.1.10, standardní a volitelné maznice a adaptéry viz kapitola 4.1.

# Lineární vedení Řada HG/QH

## 3.1.9.2 HGL



Tabulka 3.7 Rozměry vozíku

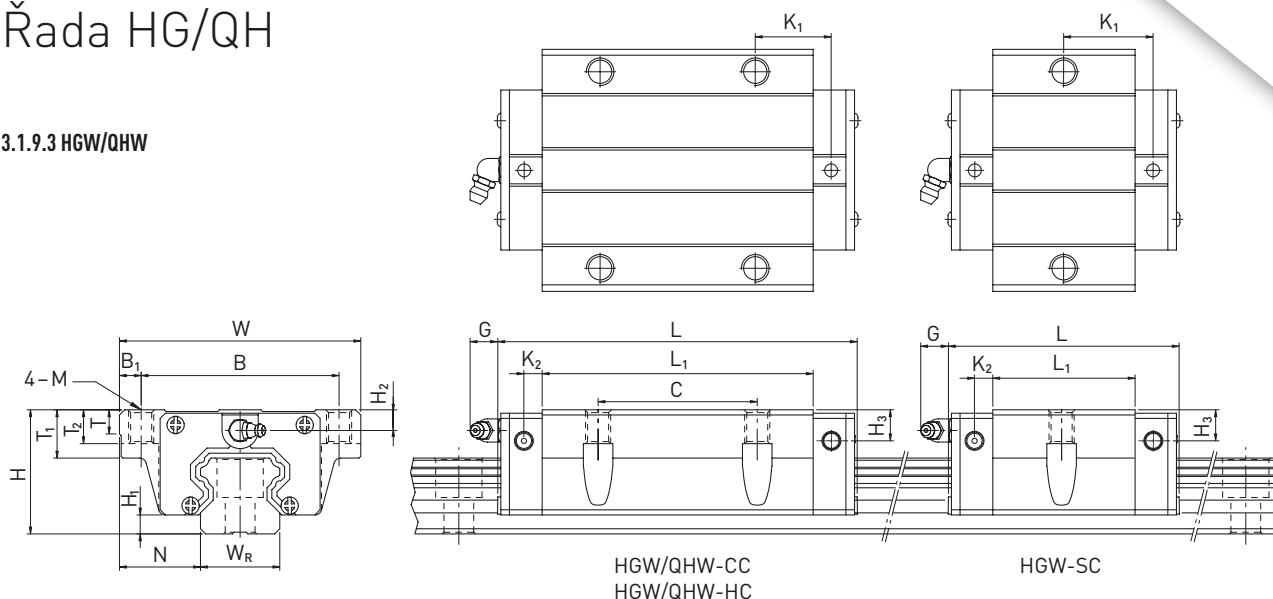
| Řada/<br>rozměr | Montážní rozměry<br>[mm] |                |      | Rozměry vozíku [mm] |    |                |    |                |       |                |                |      |          |      |                |                |                  | Únosnosti [N]  |      | Hmot-<br>nost<br>[kg] |
|-----------------|--------------------------|----------------|------|---------------------|----|----------------|----|----------------|-------|----------------|----------------|------|----------|------|----------------|----------------|------------------|----------------|------|-----------------------|
|                 | H                        | H <sub>1</sub> | N    | W                   | B  | B <sub>1</sub> | C  | L <sub>1</sub> | L     | K <sub>1</sub> | K <sub>2</sub> | G    | M × l    | T    | H <sub>2</sub> | H <sub>3</sub> | C <sub>dyn</sub> | C <sub>0</sub> |      |                       |
| HGL15CA         | 24                       | 4.3            | 9.5  | 34                  | 26 | 4.0            | 26 | 39.4           | 61.4  | 10.00          | 4.85           | 5.3  | M4 × 4   | 6.0  | 3.95           | 3.7            | 11,380           | 16,970         | 0.14 |                       |
| HGL25SA         | 36                       | 5.5            | 12.5 | 48                  | 35 | 6.5            | —  | 38.2           | 64.2  | 23.20          | 6.00           | 12.0 | M6 × 6   | 8.0  | 6.00           | 5.0            | 18,650           | 24,290         | 0.32 |                       |
| HGL25CA         |                          |                |      |                     |    |                | 35 | 58.0           | 84.0  | 15.70          |                |      |          |      |                |                | 26,480           | 36,490         | 0.42 |                       |
| HGL25HA         |                          |                |      |                     |    |                | 50 | 78.6           | 104.6 | 18.50          |                |      |          |      |                |                | 32,750           | 49,440         | 0.57 |                       |
| HGL30CA         | 42                       | 6.0            | 16.0 | 60                  | 40 | 10.0           | 40 | 70.0           | 97.4  | 20.25          | 6.00           | 12.0 | M8 × 10  | 8.5  | 6.50           | 10.8           | 38,740           | 52,190         | 0.78 |                       |
| HGL30HA         |                          |                |      |                     |    |                | 60 | 93.0           | 120.4 | 21.75          |                |      |          |      |                |                | 47,270           | 69,160         | 1.03 |                       |
| HGL35CA         | 48                       | 7.5            | 18.0 | 70                  | 50 | 10.0           | 50 | 80.0           | 112.4 | 20.60          | 7.00           | 12.0 | M8 × 12  | 10.2 | 9.00           | 12.6           | 49,520           | 69,160         | 1.14 |                       |
| HGL35HA         |                          |                |      |                     |    |                | 72 | 105.8          | 138.2 | 22.50          |                |      |          |      |                |                | 60,210           | 91,630         | 1.52 |                       |
| HGL45CA         | 60                       | 9.5            | 20.5 | 86                  | 60 | 13.0           | 60 | 97.0           | 139.4 | 23.00          | 10.00          | 12.9 | M10 × 17 | 16.0 | 8.50           | 20.5           | 77,570           | 102,710        | 2.08 |                       |
| HGL45HA         |                          |                |      |                     |    |                | 80 | 128.8          | 171.2 | 28.90          |                |      |          |      |                |                | 94,540           | 136,460        | 2.75 |                       |
| HGL55CA         | 70                       | 13.0           | 23.5 | 100                 | 75 | 12.5           | 75 | 117.7          | 166.7 | 27.35          | 11.00          | 12.9 | M12 × 18 | 17.5 | 12.00          | 19.0           | 114,440          | 148,330        | 3.25 |                       |
| HGL55HA         |                          |                |      |                     |    |                | 95 | 155.8          | 204.8 | 36.40          |                |      |          |      |                |                | 139,350          | 196,200        | 4.27 |                       |

Rozměry kolejnice viz kapitola 3.1.10, standardní a volitelné maznice a adaptéry viz kapitola 4.1.

# Lineární vedení

## Řada HG/QH

### 3.1.9.3 HGW/QHW



Tabulka 3.8 Rozměry vozíku

| Řada/<br>rozměr | Montážní rozměry<br>[mm] |                |      | Rozměry vozíku [mm] |     |                |     |                |       |                |                |     |      |      |                |                |                |                | Únosnosti [N]    |                | Hmot-<br>nost [kg] |  |        |        |        |         |
|-----------------|--------------------------|----------------|------|---------------------|-----|----------------|-----|----------------|-------|----------------|----------------|-----|------|------|----------------|----------------|----------------|----------------|------------------|----------------|--------------------|--|--------|--------|--------|---------|
|                 | H                        | H <sub>1</sub> | N    | W                   | B   | B <sub>1</sub> | C   | L <sub>1</sub> | L     | K <sub>1</sub> | K <sub>2</sub> | M   | G    | T    | T <sub>1</sub> | T <sub>2</sub> | H <sub>2</sub> | H <sub>3</sub> | C <sub>dyn</sub> | C <sub>0</sub> |                    |  |        |        |        |         |
| HGW15CC         | 24                       | 4.3            | 16.0 | 47                  | 38  | 4.5            | 30  | 39.4           | 61.4  | 8.00           | 4.85           | M5  | 5.3  | 6.0  | 8.9            | 7.0            | 3.95           | 3.7            | 11,380           | 16,970         | 0.17               |  |        |        |        |         |
| QHW15CC         | 24                       | 4.0            | 16.0 | 47                  | 38  | 4.5            | 30  | 39.4           | 61.4  | 8.00           | 5.00           | M5  | 5.3  | 6.0  | 8.9            | 7.0            | 3.95           | 4.2            | 13,880           | 14,360         | 0.17               |  |        |        |        |         |
| HGW20SC         | 30                       | 4.6            | 21.5 | 63                  | 53  | 5.0            | —   | 29.5           | 54.3  | 19.65          | 6.00           | M6  | 12.0 | 8.0  | 10.0           | 9.5            | 6.00           | 6.0            | 12,190           | 16,110         | 0.28               |  |        |        |        |         |
| HGW20CC         |                          |                |      |                     |     |                | 40  | 50.5           | 77.5  | 10.25          |                |     |      |      |                |                |                |                |                  |                |                    |  | 17,750 | 27,760 | 0.40   |         |
| HGW20HC         |                          |                |      |                     |     |                |     | 65.2           | 92.2  | 17.60          |                |     |      |      |                |                |                |                |                  |                |                    |  |        | 21,180 | 35,900 | 0.52    |
| QHW20CC         | 30                       | 4.6            | 21.5 | 63                  | 53  | 5.0            | 40  | 50.5           | 76.7  | 9.75           | 6.00           | M6  | 12.0 | 8.0  | 10.0           | 9.5            | 6.00           | 6.0            | 23,080           | 25,630         | 0.40               |  |        |        |        |         |
| QHW20HC         |                          |                |      |                     |     |                |     | 65.2           | 91.4  | 17.10          |                |     |      |      |                |                |                |                |                  |                |                    |  |        | 27,530 | 31,670 | 0.52    |
| HGW25SC         | 36                       | 5.5            | 23.5 | 70                  | 57  | 6.5            | —   | 38.2           | 64.2  | 23.20          | 6.00           | M8  | 12.0 | 8.0  | 14.0           | 10.0           | 6.00           | 5.0            | 18,650           | 24,290         | 0.42               |  |        |        |        |         |
| HGW25CC         |                          |                |      |                     |     |                | 45  | 58.0           | 84.0  | 10.70          |                |     |      |      |                |                |                |                |                  |                |                    |  |        | 26,480 | 36,490 | 0.59    |
| HGW25HC         |                          |                |      |                     |     |                |     | 78.6           | 104.6 | 21.00          |                |     |      |      |                |                |                |                |                  |                |                    |  |        |        | 32,750 | 49,440  |
| QHW25CC         | 36                       | 5.5            | 23.5 | 70                  | 57  | 6.5            | 45  | 58.0           | 83.4  | 10.70          | 6.00           | M8  | 12.0 | 8.0  | 14.0           | 10.0           | 6.00           | 5.0            | 31,780           | 33,680         | 0.59               |  |        |        |        |         |
| QHW25HC         |                          |                |      |                     |     |                |     | 78.6           | 104.0 | 21.00          |                |     |      |      |                |                |                |                |                  |                |                    |  |        |        | 39,300 | 43,620  |
| HGW30CC         | 42                       | 6.0            | 31.0 | 90                  | 72  | 9.0            | 52  | 70.0           | 97.4  | 14.25          | 6.00           | M10 | 12.0 | 8.5  | 16.0           | 10.0           | 6.50           | 10.8           | 38,740           | 52,190         | 1.09               |  |        |        |        |         |
| HGW30HC         |                          |                |      |                     |     |                |     |                | 93.0  | 120.4          | 25.75          |     |      |      |                |                |                |                |                  |                |                    |  |        |        |        | 47,270  |
| QHW30CC         | 42                       | 6.0            | 31.0 | 90                  | 72  | 9.0            | 52  | 70.0           | 97.4  | 13.50          | 6.25           | M10 | 12.0 | 8.5  | 16.0           | 10.0           | 6.50           | 6.0            | 46,490           | 48,170         | 1.09               |  |        |        |        |         |
| QHW30HC         |                          |                |      |                     |     |                |     |                | 93.0  | 120.4          | 25.75          |     |      |      |                |                |                |                |                  |                |                    |  |        |        |        | 56,720  |
| HGW35CC         | 48                       | 7.5            | 33.0 | 100                 | 82  | 9.0            | 62  | 80.0           | 112.4 | 14.60          | 7.00           | M10 | 12.0 | 10.1 | 18.0           | 13.0           | 9.00           | 12.6           | 49,520           | 69,160         | 1.56               |  |        |        |        |         |
| HGW35HC         |                          |                |      |                     |     |                |     |                | 105.8 | 138.2          | 27.50          |     |      |      |                |                |                |                |                  |                |                    |  |        |        |        | 60,210  |
| QHW35CC         | 48                       | 7.5            | 33.0 | 100                 | 82  | 9.0            | 62  | 80.0           | 113.6 | 13.00          | 7.50           | M10 | 12.0 | 10.1 | 18.0           | 13.0           | 8.50           | 6.5            | 60,520           | 63,840         | 1.56               |  |        |        |        |         |
| QHW35HC         |                          |                |      |                     |     |                |     |                | 105.8 | 139.4          | 25.90          |     |      |      |                |                |                |                |                  |                |                    |  |        |        |        | 73,590  |
| HGW45CC         | 60                       | 9.5            | 37.5 | 120                 | 100 | 10.0           | 80  | 97.0           | 139.4 | 13.00          | 10.00          | M12 | 12.9 | 15.1 | 22.0           | 15.0           | 8.50           | 20.5           | 77,570           | 102,710        | 2.79               |  |        |        |        |         |
| HGW45HC         |                          |                |      |                     |     |                |     |                | 128.8 | 171.2          | 28.90          |     |      |      |                |                |                |                |                  |                |                    |  |        |        |        | 94,540  |
| QHW45CC         | 60                       | 9.2            | 37.5 | 120                 | 100 | 10.0           | 80  | 97.0           | 139.4 | 13.00          | 10.00          | M12 | 12.9 | 15.1 | 22.0           | 15.0           | 8.50           | 10.0           | 89,210           | 94,810         | 2.79               |  |        |        |        |         |
| QHW45HC         |                          |                |      |                     |     |                |     |                | 128.8 | 171.2          | 28.90          |     |      |      |                |                |                |                |                  |                |                    |  |        |        |        | 108,720 |
| HGW55CC         | 70                       | 13.0           | 43.5 | 140                 | 116 | 12.0           | 95  | 117.7          | 166.7 | 17.35          | 11.00          | M14 | 12.9 | 17.5 | 26.5           | 17.0           | 12.00          | 19.0           | 114,440          | 148,330        | 4.52               |  |        |        |        |         |
| HGW55HC         |                          |                |      |                     |     |                |     |                | 155.8 | 204.8          | 36.40          |     |      |      |                |                |                |                |                  |                |                    |  |        |        |        | 139,350 |
| HGW65CC         | 90                       | 15.0           | 53.5 | 170                 | 142 | 14.0           | 110 | 144.2          | 200.2 | 23.10          | 14.00          | M16 | 12.9 | 25   | 37.5           | 23.0           | 15.00          | 15.0           | 163,630          | 215,330        | 9.17               |  |        |        |        |         |
| HGW65HC         |                          |                |      |                     |     |                |     |                | 203.6 | 259.6          | 52.80          |     |      |      |                |                |                |                |                  |                |                    |  |        |        |        | 208,360 |

Rozměry kolejnice viz kapitola 3.1.10, standardní a volitelné maznice a adaptéry viz kapitola 4.1.

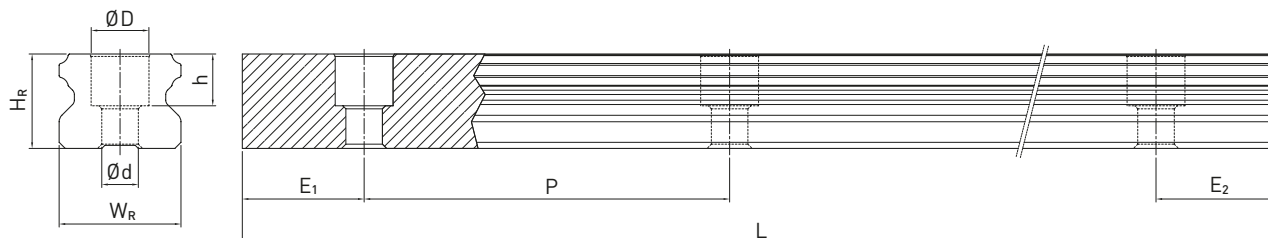
# Lineární vedení

## Řada HG/QH

### 3.1.10 Rozměry kolejnice HGR

Kolejnice HGR se používají jak pro vozíky řady HG, tak pro vozíky řady QH.

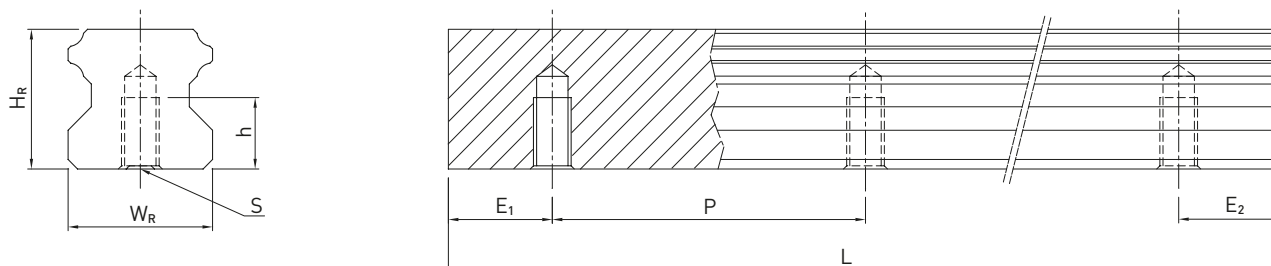
#### 3.1.10.1 Rozměry HGR\_R



Tabulka 3.9 Rozměry kolejnice HGR\_R

| Řada/<br>rozměr | Montážní šrouby<br>pro kolejnici [mm] | Rozměry kolejnice [mm] |                |      |      |      |     | Max. délka<br>[mm] | Max. délka<br>E <sub>1</sub> = E <sub>2</sub> [mm] | Min. délka<br>[mm] | E <sub>1/2</sub> min<br>[mm] | E <sub>1/2</sub> max<br>[mm] | Hmotnost<br>[kg/m] |
|-----------------|---------------------------------------|------------------------|----------------|------|------|------|-----|--------------------|--|--------------------|------------------------------|------------------------------|--------------------|
|                 |                                       | W <sub>R</sub>         | H <sub>R</sub> | D    | h    | d    | p   |                    |  |                    |                              |                              |                    |
| HGR15R          | M4 × 20                               | 15                     | 15.0           | 7.5  | 5.3  | 4.5  | 60  | 4.000              | 3.900  | 132                | 6                            | 54                           | 1.45               |
| HGR20R          | M5 × 20                               | 20                     | 17.5           | 9.5  | 8.5  | 6.0  | 60  | 4.000              | 3.900  | 134                | 7                            | 53                           | 2.21               |
| HGR25R          | M6 × 25                               | 23                     | 22.0           | 11.0 | 9.0  | 7.0  | 60  | 4.000              | 3.900  | 136                | 8                            | 52                           | 3.21               |
| HGR30R          | M8 × 30                               | 28                     | 26.0           | 14.0 | 12.0 | 9.0  | 80  | 4.000              | 3.920  | 178                | 9                            | 71                           | 4.47               |
| HGR35R          | M8 × 35                               | 34                     | 29.0           | 14.0 | 12.0 | 9.0  | 80  | 4.000              | 3.920  | 178                | 9                            | 71                           | 6.30               |
| HGR45R          | M12 × 45                              | 45                     | 38.0           | 20.0 | 17.0 | 14.0 | 105 | 4.000              | 3.885  | 234                | 12                           | 93                           | 10.41              |
| HGR55R          | M14 × 55                              | 53                     | 44.0           | 23.0 | 20.0 | 16.0 | 120 | 4.000              | 3.840  | 268                | 14                           | 106                          | 15.08              |
| HGR65R          | M16 × 65                              | 63                     | 53.0           | 26.0 | 22.0 | 18.0 | 150 | 4.000              | 3.750  | 330                | 15                           | 135                          | 21.18              |

#### 3.1.10.2 Rozměry HGR\_T



Tabulka 3.10 Rozměry kolejnice HGR\_T

| Řada/<br>rozměr | Rozměry kolejnice [mm] |                |                   |    |     | Max. délka<br>[mm] | Max. délka<br>E <sub>1</sub> = E <sub>2</sub> [mm] | Min. délka<br>[mm] | E <sub>1/2</sub> min<br>[mm] | E <sub>1/2</sub> max<br>[mm] | Hmotnost<br>[kg/m] |
|-----------------|------------------------|----------------|-------------------|----|-----|--------------------|--|--------------------|------------------------------|------------------------------|--------------------|
|                 | W <sub>R</sub>         | H <sub>R</sub> | S                 | h  | p   |                    |  |                    |                              |                              |                    |
| HGR15T          | 15                     | 15.0           | M5                | 8  | 60  | 4.000              | 3.900  | 132                | 6                            | 54                           | 1.48               |
| HGR20T          | 20                     | 17.5           | M6                | 10 | 60  | 4.000              | 3.900  | 134                | 7                            | 53                           | 2.29               |
| HGR25T          | 23                     | 22.0           | M6                | 12 | 60  | 4.000              | 3.900  | 136                | 8                            | 52                           | 3.35               |
| HGR30T          | 28                     | 26.0           | M8                | 15 | 80  | 4.000              | 3.920  | 178                | 9                            | 71                           | 4.67               |
| HGR35T          | 34                     | 29.0           | M8                | 17 | 80  | 4.000              | 3.920  | 178                | 9                            | 71                           | 6.51               |
| HGR45T          | 45                     | 38.0           | M12               | 24 | 105 | 4.000              | 3.885  | 234                | 12                           | 93                           | 10.87              |
| HGR55T          | 53                     | 44.0           | M14               | 24 | 120 | 4.000              | 3.840  | 268                | 14                           | 106                          | 15.67              |
| HGR65T          | 63                     | 53.0           | M20 <sup>1)</sup> | 30 | 150 | 4.000              | 3.750  | 330                | 15                           | 135                          | 21.73              |

<sup>1)</sup> Odchylka od normy DIN 645

Poznámka:

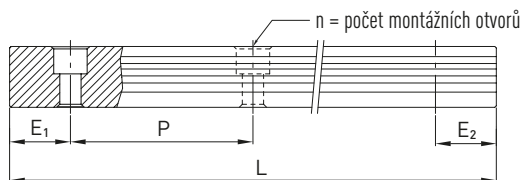
1. Tolerance pro E je +0,5 až -1 mm pro standardní kolejnice a 0 až -0,3 mm pro spoje.
2. Pokud rozměry E<sub>1/2</sub> nejsou uvedeny, bude určen maximální počet montážních otvorů pro minimální rozměr E<sub>1/2</sub>.
3. Kolejnice se zkracují na požadovanou délku. Pokud rozměry E<sub>1/2</sub> nejsou uvedeny, provádí se zkracování symetricky.

# Lineární vedení

## Řada HG/QH

### 3.1.10.3 Výpočet délky kolejnice

Společnost HIWIN nabízí kolejnice v individuálních délkách. Aby nevzniklo riziko nestability konce kolejnice, nesmí hodnota E překročit polovinu vzdálenosti mezi montážními otvory (P). Současně musí hodnota  $E_{1/2}$  být v rozmezí  $E_{1/2}$  min až  $E_{1/2}$  max., aby montážní otvor nepraskl.



#### F.3.2

$$L = (n - 1) \times P + E_1 + E_2$$

- L Celková délka kolejnice [mm]
- n Počet montážních otvorů
- P Vzdálenost mezi dvěma montážními otvory [mm]
- $E_{1/2}$  Vzdálenost od středu posledního montážního otvoru po konec kolejnice [mm]

### 3.1.10.4 Utahovací momenty pro montážní šrouby

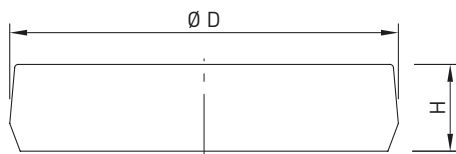
Nedostatečné utahení montážních šroubů významně snižuje přesnost lineárního vedení. Proto se pro příslušné rozměry šroubů doporučují níže uvedené utahovací momenty.

Tabulka 3.11 Utahovací momenty pro montážní šrouby podle normy ISO 4762-12.9

| Řada/rozměr | Rozměr šroubu | Utahovací moment [Nm] | Řada/rozměr | Rozměr šroubu | Utahovací moment [Nm] |
|-------------|---------------|-----------------------|-------------|---------------|-----------------------|
| HG_15       | M4 × 20       | 4                     | HG_35       | M8 × 35       | 31                    |
| HG_20       | M5 × 20       | 9                     | HG_35       | M10           | 70                    |
| HG_25       | M6 × 25       | 14                    | HG_45       | M12 × 45      | 120                   |
| HG_30       | M8 × 30       | 31                    | HG_55       | M14 × 55      | 160                   |
| HG_30       | M10           | 70                    | HG_65       | M16 × 65      | 200                   |

### 3.1.10.5 Zátky montážních otvorů kolejnic

Zátky montážních otvorů kolejnic se používají na ochranu otvorů před prachem a úlomky. Kolejnice jsou vybaveny standardními zátkami. Jiné typy zátek se musí objednat zvlášť.



Tabulka 3.12 Zátky montážních otvorů kolejnic

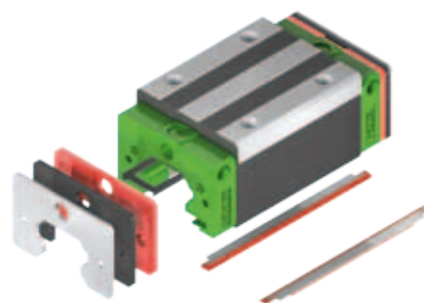
| Kolejnice | Šroub | Označení         |       |        | Ø D [mm] | Výška H [mm] |
|-----------|-------|------------------|-------|--------|----------|--------------|
|           |       | Plast (standard) | Mosaz | Ocel   |          |              |
| HGR15R    | M4    | C4               | C4-M  | —      | 7.5      | 1.1          |
| HGR20R    | M5    | C5               | C5-M  | C5-ST  | 9.5      | 2.2          |
| HGR25R    | M6    | C6               | C6-M  | C6-ST  | 11.0     | 2.5          |
| HGR30R    | M8    | C8               | C8-M  | C8-ST  | 14.0     | 3.3          |
| HGR35R    | M8    | C8               | C8-M  | C8-ST  | 14.0     | 3.3          |
| HGR45R    | M12   | C12              | C12-M | C12-ST | 20.0     | 4.6          |
| HGR55R    | M14   | C14              | C14-M | C14-ST | 23.0     | 5.5          |
| HGR65R    | M16   | C16              | C16-M | C16-ST | 26.0     | 5.5          |

# Lineární vedení

## Řada HG/QH

### 3.1.11 Těsnící systémy

Pro vedení HIWIN jsou k dispozici různé těsnící systémy. Jejich přehled najdete v kapitole 2.9. Tabulka níže obsahuje celkové délky vozíků s různými těsnícími systémy.



Tabulka 3.13 Celková délka vozíku s různými těsnícími systémy

| Řada/<br>rozměr | Celková délka L |       |       |       |       |       |
|-----------------|-----------------|-------|-------|-------|-------|-------|
|                 | SS              | DD    | ZZ    | KK    | SW    | ZWX   |
| HG_15C          | 61.4            | 68.0  | 69.0  | 75.6  | 63.2  | —     |
| QH_15C          | 61.4            | 68.0  | 68.4  | 75.0  | —     | —     |
| HG_20S          | 56.5            | 59.5  | 57.5  | 62.5  | 57.5  | 61.3  |
| HG_20C          | 77.5            | 82.5  | 82.5  | 87.5  | 78.5  | 82.3  |
| QH_20C          | 76.7            | 81.7  | 81.9  | 86.9  | —     | —     |
| HG_20H          | 92.2            | 97.5  | 97.2  | 102.2 | 93.2  | 97.0  |
| QH_20H          | 91.4            | 96.4  | 96.6  | 101.6 | —     | —     |
| HG_25C          | 84.0            | 89.0  | 89.0  | 94.0  | 85.0  | 91.8  |
| QH_25C          | 83.4            | 88.4  | 89.4  | 94.4  | —     | —     |
| HG_25H          | 104.6           | 109.6 | 109.6 | 114.6 | 105.6 | 112.4 |
| QH_25H          | 104.4           | 109.0 | 110.0 | 115.0 | —     | —     |
| HG_30C          | 97.4            | 104.8 | 105.4 | 112.8 | 99.0  | 105.8 |
| QH_30C          | 97.4            | 104.8 | 104.8 | 112.2 | —     | —     |
| HG_30H          | 120.4           | 127.8 | 128.4 | 135.8 | 122.0 | 128.8 |
| QH_30H          | 120.4           | 127.8 | 127.8 | 135.2 | —     | —     |
| HG_35C          | 112.4           | 119.8 | 120.4 | 127.8 | 115.2 | 122.4 |
| QH_35C          | 113.6           | 118.6 | 119.0 | 124.0 | —     | —     |
| HG_35H          | 138.2           | 145.6 | 146.2 | 153.6 | 141.0 | 148.2 |
| QH_35H          | 139.4           | 144.4 | 144.8 | 149.8 | —     | —     |
| HG_45C          | 139.4           | 149.4 | 150.0 | 160.0 | 140.0 | 144.8 |
| QH_45C          | 139.4           | 146.6 | 147.2 | 154.4 | —     | —     |
| HG_45H          | 171.2           | 181.2 | 181.8 | 191.8 | 171.8 | 176.6 |
| QH_45H          | 171.2           | 178.4 | 179.0 | 186.2 | —     | —     |
| HG_55C          | 166.7           | 177.1 | 177.1 | 187.5 | 163.7 | 172.9 |
| HG_55H          | 204.8           | 215.2 | 215.2 | 225.5 | 201.8 | 211.0 |
| HG_65C          | 200.2           | 209.2 | 208.2 | 217.2 | 196.2 | 203.4 |
| HG_65H          | 259.6           | 268.6 | 267.6 | 276.6 | 255.6 | 262.8 |

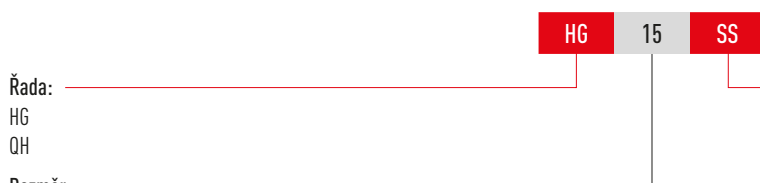
Jednotka: mm

# Lineární vedení

## Řada HG/QH

### 3.1.11.1 Označení těsnění

Sady těsnění se vždy dodávají s montážním materiálem.



Řada:

HG

QH

Rozměr:

HG: 15, 20, 25, 30, 35, 45, 55, 65

QH: 15, 20, 25, 30, 35, 45

Označení těsnění:

SS: Standardní těsnění

ZZ: Koncové těsnění s plechovým stěračem

DD: Dvojitě těsnění

KK: Dvojitě těsnění s plechovým stěračem

SW: Těsnění s dvojitým břitem

ZWX: Koncové těsnění s dvojitým břitem a nerezovým stěračem

### 3.1.12 Tření

Tabulka ukazuje maximální třecí odpor jednotlivých koncových těsnění. Podle typu těsnění (SS, DD, ZZ, KK) se tyto hodnoty mohou násobit. Uvedené hodnoty se vztahují na vozíky na kolejnicích bez povtlaku. V případě povtlakování je tření vyšší.

Tabulka 3.14 Třecí odpor těsnění s jedním břitem

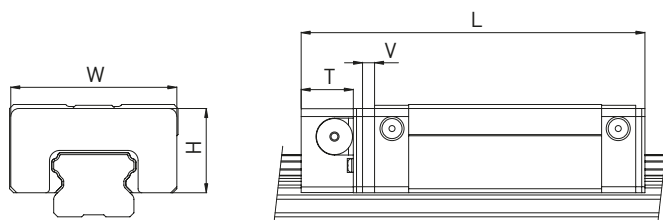
| Řada/rozměr | Třecí síla [N] | Řada/rozměr | Třecí síla [N] |
|-------------|----------------|-------------|----------------|
| HG/QH_15    | 1.2            | HG_45       | 3.9            |
| HG/QH_20    | 1.6            | QH_45       | 5.3            |
| HG/QH_25    | 2.0            | HG_55       | 4.7            |
| HG/QH_30    | 2.7            | HG_65       | 5.8            |
| HG/QH_35    | 3.1            |             |                |

# Lineární vedení

## Řada HG/QH

### 3.1.13 Mazací jednotka E2

Další informace o mazací jednotce naleznete v kapitole 2.6.3.



Tabulka 3.15 Rozměry vedení s mazací jednotkou E2

| Typ    | Rozměry vozíku [mm] |      |      |     |                               |                               |                               |                               | Množství oleje [cm <sup>3</sup> ] | Vzdálenost <sup>2)</sup> [km] |
|--------|---------------------|------|------|-----|-------------------------------|-------------------------------|-------------------------------|-------------------------------|-----------------------------------|-------------------------------|
|        | W                   | H    | T    | V   | L <sub>SS</sub> <sup>1)</sup> | L <sub>ZZ</sub> <sup>1)</sup> | L <sub>DD</sub> <sup>1)</sup> | L <sub>KK</sub> <sup>1)</sup> |                                   |                               |
| HG_15C | 32.4                | 19.5 | 12.5 | 3.0 | 75.4                          | 80.5                          | 82.0                          | 87.1                          | 1.6                               | 2,000                         |
| HG_20S | 43.0                | 24.4 | 13.5 | 3.5 | 70.9                          | 73.0                          | 75.0                          | 78.0                          | 3.9                               | 4,000                         |
| HG_20C | 43.0                | 24.4 | 13.5 | 3.5 | 93.5                          | 95.6                          | 97.5                          | 100.6                         | 3.9                               | 4,000                         |
| HG_20H | 43.0                | 24.4 | 13.5 | 3.5 | 108.2                         | 110.2                         | 112.2                         | 115.2                         | 3.9                               | 4,000                         |
| HG_25C | 46.4                | 29.5 | 13.5 | 3.5 | 100.0                         | 102.0                         | 104.0                         | 107.0                         | 5.1                               | 6,000                         |
| HG_25H | 46.4                | 29.5 | 13.5 | 3.5 | 120.6                         | 122.6                         | 124.6                         | 127.6                         | 5.1                               | 6,000                         |
| HG_30C | 58.0                | 35.0 | 13.5 | 3.5 | 112.9                         | 118.0                         | 119.9                         | 125.0                         | 7.8                               | 8,000                         |
| HG_30H | 58.0                | 35.0 | 13.5 | 3.5 | 135.9                         | 141.0                         | 142.9                         | 148.0                         | 7.8                               | 8,000                         |
| HG_35C | 68.0                | 38.5 | 13.5 | 3.5 | 127.9                         | 133.4                         | 135.3                         | 140.8                         | 9.8                               | 10,000                        |
| HG_35H | 68.0                | 38.5 | 13.5 | 3.5 | 153.7                         | 159.2                         | 161.1                         | 166.6                         | 9.8                               | 10,000                        |
| HG_45C | 82.0                | 49.0 | 16.0 | 4.5 | 157.2                         | 162.1                         | 166.1                         | 171.7                         | 18.5                              | 20,000                        |
| HG_45H | 82.0                | 49.0 | 16.0 | 4.5 | 189.0                         | 193.9                         | 197.9                         | 203.5                         | 18.5                              | 20,000                        |
| HG_55C | 97.0                | 55.5 | 16.0 | 4.5 | 183.9                         | 189.6                         | 193.8                         | 200.0                         | 25.9                              | 30,000                        |
| HG_55H | 97.0                | 55.5 | 16.0 | 4.5 | 222.0                         | 227.7                         | 231.9                         | 238.1                         | 25.9                              | 30,000                        |
| HG_65C | 121.0               | 69.0 | 16.0 | 4.5 | 219.2                         | 220.7                         | 226.7                         | 229.7                         | 50.8                              | 40,000                        |
| HG_65H | 121.0               | 69.0 | 16.0 | 4.5 | 278.6                         | 280.1                         | 286.1                         | 289.1                         | 50.8                              | 40,000                        |

<sup>1)</sup> Celková délka závisí na zvoleném těsnění. SS = Standardní těsnění

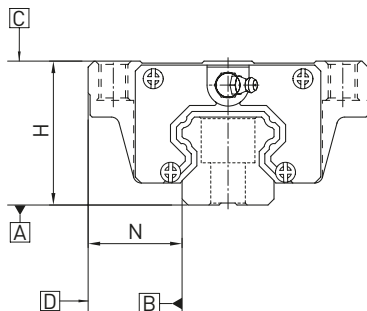
<sup>2)</sup> Vzdálenost, po níž je nejpozději nutno zkontrolovat hladinu oleje v nádržce

# Lineární vedení

## Řada HG/QH

### 3.1.14 Tolerance v závislosti na třídě přesnosti

Lineární vedení řady HG a QH je rozděleno do pěti tříd přesnosti podle rovnoběžnosti mezi vozíkem a kolejnicí a přesnosti rozměrů H a N. Volba třídy přesnosti je dána požadavky na přesnost stroje.



#### 3.1.14.1 Rovnoběžnost

Rovnoběžnost dorazových ploch kolejnice B a vozíku D a rovnoběžnost horní plochy vozíku C vůči montážní ploše kolejnice A. Předpokládá se ideální montáž lineárního vedení a měření ve středu vozíku.

Tabulka 3.16 Tolerance rovnoběžnosti vozíku vůči kolejnici

| Délka kolejnice [mm] | Třída přesnosti |    |    |    |    |
|----------------------|-----------------|----|----|----|----|
|                      | C               | H  | P  | SP | UP |
| - 100                | 12              | 7  | 3  | 2  | 2  |
| 100 - 200            | 14              | 9  | 4  | 2  | 2  |
| 200 - 300            | 15              | 10 | 5  | 3  | 2  |
| 300 - 500            | 17              | 12 | 6  | 3  | 2  |
| 500 - 700            | 20              | 13 | 7  | 4  | 2  |
| 700 - 900            | 22              | 15 | 8  | 5  | 3  |
| 900 - 1100           | 24              | 16 | 9  | 6  | 3  |
| 1100 - 1500          | 26              | 18 | 11 | 7  | 4  |
| 1500 - 1900          | 28              | 20 | 13 | 8  | 4  |
| 1900 - 2500          | 31              | 22 | 15 | 10 | 5  |
| 2500 - 3100          | 33              | 25 | 18 | 11 | 6  |
| 3100 - 3600          | 36              | 27 | 20 | 14 | 7  |
| 3600 - 4000          | 37              | 28 | 21 | 15 | 7  |

Jednotka:  $\mu\text{m}$

# Lineární vedení

## Řada HG/QH

### 3.1.14.2 Přesnost – výška a šířka

#### Výšková tolerance H

Tolerance výšky H měřené od středu plochy vozíku C po spodní stranu kolejnice A s vozíkem na libovolné pozici na kolejnici.

#### Rozptyl hodnot rozměru H

Povolený rozptyl hodnot výšky H mezi jednotlivými vozíky na jedné kolejnici měřeno ve stejné poloze na kolejnici.

#### Šířková tolerance N

Tolerance šířky N, měřeno mezi středem dorazové plochy vozíku D a referenční hranou kolejnice B na libovolné pozici na kolejnici.

#### Rozptyl hodnot rozměru N

Povolený rozptyl hodnot šířky N mezi jednotlivými vozíky na jedné kolejnici měřeno ve stejné poloze na kolejnici.

Tabulka 3.17 Tolerance výšky a šířky u nezaměnitelných typů

| Řada/rozměr                    | Třída přesnosti   | Tolerance výšky H | Tolerance šířky N | Rozptyl hodnot výšky H | Rozptyl hodnot šířky N |
|--------------------------------|-------------------|-------------------|-------------------|------------------------|------------------------|
| HG_15, 20<br>QH_15, 20         | C (Normální)      | ± 0.1             | ± 0.1             | 0.02                   | 0.02                   |
|                                | H (Vysoká)        | ± 0.03            | ± 0.03            | 0.01                   | 0.01                   |
|                                | P (Přesná)        | 0<br>- 0.03       | 0<br>- 0.03       | 0.006                  | 0.006                  |
|                                | SP (Super přesná) | 0<br>- 0.015      | 0<br>- 0.015      | 0.004                  | 0.004                  |
|                                | UP (Ultra přesná) | 0<br>- 0.008      | 0<br>- 0.008      | 0.003                  | 0.003                  |
| HG_25, 30, 35<br>QH_25, 30, 35 | C (Normální)      | ± 0.1             | ± 0.1             | 0.02                   | 0.03                   |
|                                | H (Vysoká)        | ± 0.04            | ± 0.04            | 0.015                  | 0.015                  |
|                                | P (Přesná)        | 0<br>- 0.04       | 0<br>- 0.04       | 0.007                  | 0.007                  |
|                                | SP (Super přesná) | 0<br>- 0.02       | 0<br>- 0.02       | 0.005                  | 0.005                  |
|                                | UP (Ultra přesná) | 0<br>- 0.01       | 0<br>- 0.01       | 0.003                  | 0.003                  |
| HG_45, 55<br>QH_45             | C (Normální)      | ± 0.1             | ± 0.1             | 0.03                   | 0.03                   |
|                                | H (Vysoká)        | ± 0.05            | ± 0.05            | 0.015                  | 0.02                   |
|                                | P (Přesná)        | 0<br>- 0.05       | 0<br>- 0.05       | 0.007                  | 0.01                   |
|                                | SP (Super přesná) | 0<br>- 0.03       | 0<br>- 0.03       | 0.005                  | 0.007                  |
|                                | UP (Ultra přesná) | 0<br>- 0.02       | 0<br>- 0.02       | 0.003                  | 0.005                  |
| HG_65                          | C (Normální)      | ± 0.1             | ± 0.1             | 0.03                   | 0.03                   |
|                                | H (Vysoká)        | ± 0.07            | ± 0.07            | 0.02                   | 0.025                  |
|                                | P (Přesná)        | 0<br>- 0.07       | 0<br>- 0.07       | 0.01                   | 0.015                  |
|                                | SP (Super přesná) | 0<br>- 0.05       | 0<br>- 0.05       | 0.007                  | 0.01                   |
|                                | UP (Ultra přesná) | 0<br>- 0.03       | 0<br>- 0.03       | 0.005                  | 0.007                  |

Jednotka: mm

# Lineární vedení

## Řada HG/QH

Tabulka 3.18 Tolerance výšky a šířky u zaměnitelných typů

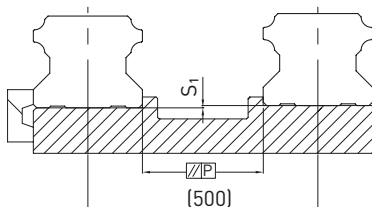
| Řada/rozměr                    | Třída přesnosti | Tolerance výšky H | Tolerance šířky N | Rozptyl hodnot výšky H | Rozptyl hodnot šířky N |
|--------------------------------|-----------------|-------------------|-------------------|------------------------|------------------------|
| HG_15, 20<br>QH_15, 20         | C (Normální)    | ± 0.1             | ± 0.1             | 0.02                   | 0.02                   |
|                                | H (Vysoká)      | ± 0.03            | ± 0.03            | 0.01                   | 0.01                   |
|                                | P (Přesná)      | ± 0.015           | ± 0.015           | 0.006                  | 0.006                  |
| HG_25, 30, 35<br>QH_25, 30, 35 | C (Normální)    | ± 0.1             | ± 0.1             | 0.02                   | 0.03                   |
|                                | H (Vysoká)      | ± 0.04            | ± 0.04            | 0.015                  | 0.015                  |
|                                | P (Přesná)      | ± 0.02            | ± 0.02            | 0.007                  | 0.007                  |
| HG_45, 55<br>QH_45             | C (Normální)    | ± 0.1             | ± 0.1             | 0.03                   | 0.03                   |
|                                | H (Vysoká)      | ± 0.05            | ± 0.05            | 0.015                  | 0.02                   |
|                                | P (Přesná)      | ± 0.025           | ± 0.025           | 0.007                  | 0.01                   |
| HG_65                          | C (Normální)    | ± 0.1             | ± 0.1             | 0.03                   | 0.03                   |
|                                | H (Vysoká)      | ± 0.07            | ± 0.07            | 0.02                   | 0.025                  |
|                                | P (Přesná)      | ± 0.035           | ± 0.035           | 0.01                   | 0.015                  |

Jednotka: mm

### 3.1.14.3 Povolené nepřesnosti montážních ploch

Splnění požadavků na přesnost montážních ploch umožní dosáhnout plných hodnot přesnosti, tuhosti a životnosti lineárních vedení řady HG a QH.

#### Rovnoběžnost referenční plochy (P):



Tabulka 3.19 Maximální tolerance rovnoběžnosti (P)

| Řada/rozměr | Třída předepnutí |    |    |
|-------------|------------------|----|----|
|             | Z0               | ZA | ZB |
| HG/QH_15    | 25               | 18 | —  |
| HG/QH_20    | 25               | 20 | 18 |
| HG/QH_25    | 30               | 22 | 20 |
| HG/QH_30    | 40               | 30 | 27 |
| HG/QH_35    | 50               | 35 | 30 |
| HG/QH_45    | 60               | 40 | 35 |
| HG_55       | 70               | 50 | 45 |
| HG_65       | 80               | 60 | 55 |

Jednotka: μm

# Lineární vedení

## Řada HG/QH

### Maximální tolerance výšky referenční plochy ( $S_1$ )

F 3.3

$$S_1 = a \times K$$

- $S_1$  Max. výšková tolerance [mm]
- $a$  Vzdálenost mezi kolejnicemi [mm]
- $K$  Koefficient tolerance výšky

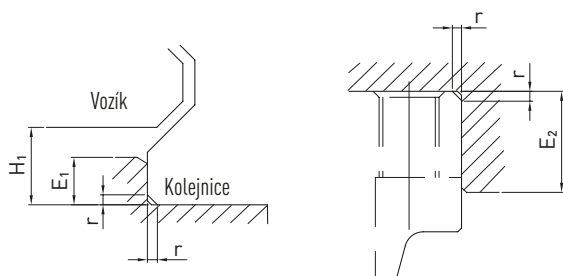
Tabulka 3.20 Koefficient tolerance výšky (K)

| Řada/rozměr | Třída předepnutí     |                      |                      |
|-------------|----------------------|----------------------|----------------------|
|             | Z0                   | ZA                   | ZB                   |
| HG/QH_15    | $2.6 \times 10^{-4}$ | $1.7 \times 10^{-4}$ | —                    |
| HG/QH_20    | $2.6 \times 10^{-4}$ | $1.7 \times 10^{-4}$ | $1.0 \times 10^{-4}$ |
| HG/QH_25    | $2.6 \times 10^{-4}$ | $1.7 \times 10^{-4}$ | $1.4 \times 10^{-4}$ |
| HG/QH_30    | $3.4 \times 10^{-4}$ | $2.2 \times 10^{-4}$ | $1.8 \times 10^{-4}$ |
| HG/QH_35    | $4.2 \times 10^{-4}$ | $3.0 \times 10^{-4}$ | $2.4 \times 10^{-4}$ |
| HG/QH_45    | $5.0 \times 10^{-4}$ | $3.4 \times 10^{-4}$ | $2.8 \times 10^{-4}$ |
| HG_55       | $6.0 \times 10^{-4}$ | $4.2 \times 10^{-4}$ | $3.4 \times 10^{-4}$ |
| HG_65       | $7.0 \times 10^{-4}$ | $5.0 \times 10^{-4}$ | $4.0 \times 10^{-4}$ |

Jednotka:  $\mu\text{m}$

### 3.1.15 Výška osazení a drážky

Nepřesnosti ve výšce osazení a drážkách montážních ploch ovlivňují přesnost a mohou vést ke kolizím mezi profilem vozíku a kolejnicí. Pro zamezení problémů při montáži je nutno dodržovat následující výšky osazení a koncových profilů.



Tabulka 3.21 Výška osazení a drážky

| Řada/rozměr | Max. poloměr hrany $r$ | Výška osazení referenční hrany kolejnice $E_1$ | Výška osazení referenční hrany vozíku $E_2$ | Světlá výška pod vozíkem $H_1$ |
|-------------|------------------------|--|---|--------------------------------|
| HG_15       | 0.5                    | 3.0  | 4.0   | 4.3                            |
| QH_15       | 0.5                    | 3.0  | 4.0   | 4.0                            |
| HG/QH_20    | 0.5                    | 3.5  | 5.0   | 4.6                            |
| HG/QH_25    | 1.0                    | 5.0  | 5.0   | 5.5                            |
| HG/QH_30    | 1.0                    | 5.0  | 5.0   | 6.0                            |
| HG/QH_35    | 1.0                    | 6.0  | 6.0   | 7.5                            |
| HG/QH_45    | 1.0                    | 8.0  | 8.0   | 9.5                            |
| HG_55       | 1.5                    | 10.0   | 10.0  | 13.0                           |
| HG_65       | 1.5                    | 10.0   | 10.0  | 15.0                           |

Jednotka: mm

# Řada EG/QE

Řada EG (standardní) a QE (s technologií SynchMotion™) s čtyřmi kuličkovými drahami má nízkou zástavbovou výšku a je proto ideální pro aplikace s nízkým instalačním prostorem.

# 01

# Lineární vedení

## Řada EG/QE

### 3.2 Řada EG a QE

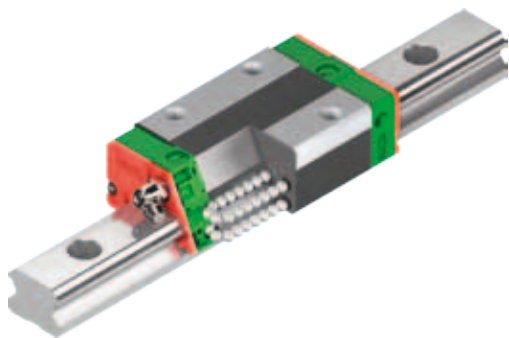
#### 3.2.1 Vlastnosti lineárního vedení, řada EG a QE

Lineární vedení HIWIN řada EG se čtyřmi kuličkovými řadami má nízkou zástavbovou, a je proto ideální pro aplikace s omezeným prostorem. Přesto má řada EG stejné vlastnosti jako řada HG - dobrou únosnost, nízké posuvné síly a vysokou účinnost. Přídržné lišty brání kuličkám ve vypadnutí při sundání z kolejničky.

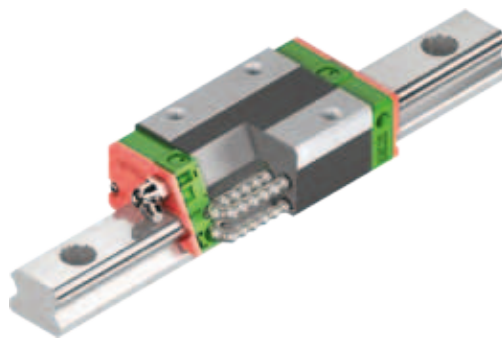
Vozíky řady QE s technologií SynchMotion™ poskytují veškeré výhody standardní řady EG. Řízený pohyb kuliček o definovanou vzdálenost zlepšuje synchronizaci, zvyšuje spolehlivost posuvu i při vyšších rychlostech, prodlužuje mazací intervaly a snižuje hlučnost chodu. Připojovací rozměry vozíků QE jsou totožné s rozměry vozíků EG, nasazují se na standardní kolejničky EGR a lze je proto snadno vyměnit.

#### 3.2.2 Konstrukce řady EG/QE

- Čtyřřadé kuličkové vedení
- Dotykový úhel 45°
- Přídržné lišty brání kuličkám ve vypadnutí při demontáži
- Varianty těsnění závisí na praktické aplikaci
- 6 možností připojení maznice nebo mazacího nástavce
- Technologie SynchMotion™ (řada QE)



Konstrukce řady EG



Konstrukce řady QE

#### Výhody:

- Nulová vůle
- Zaměnitelnost
- Vysoká přesnost
- Vysoká únosnost ve všech směrech zatížení
- Nízké třecí ztráty díky optimalizovaným kuličkovým drahám a 2-bodovému kontaktu

#### Další výhody řady QE:

- Lepší synchronizace
- Optimalizace pro vyšší rychlosti posuvu
- Delší mazací intervaly
- Nižší hlučnost provozu
- Vyšší dynamická únosnost

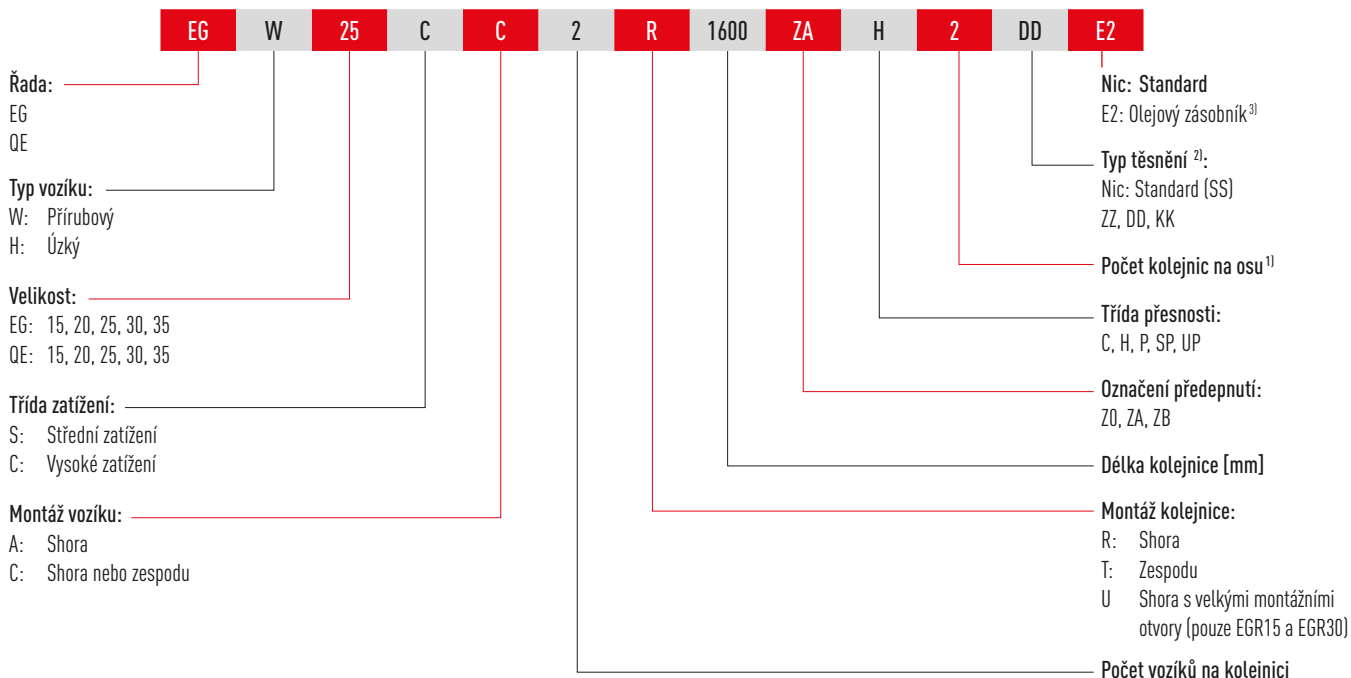
#### 3.2.3 Objednací kódy pro řada EG/QE

V případě lineárního vedení EG/QE se rozlišuje mezi lineárním systémem a nesmontovaným provedením. Rozměry obou typů jsou stejné. Hlavní rozdíl je v tom, že vozík a kolejničky nesmontovaného provedení mohou být libovolně zaměňovány. Vozík a kolejničky lze objednat samostatně a smontovat si je může zákazník.

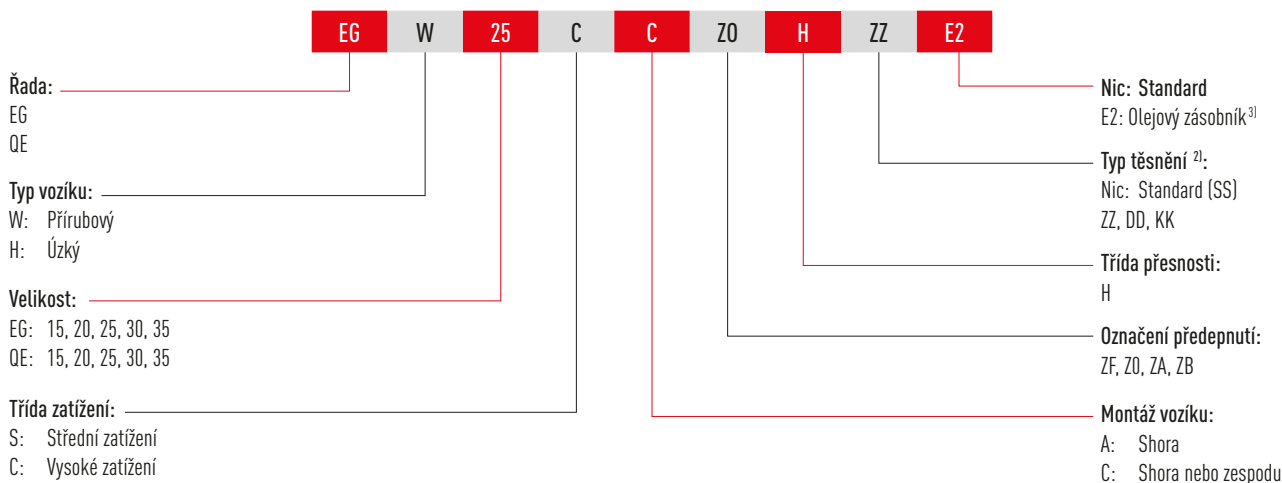
# Lineární vedení

## Řada EG/QE

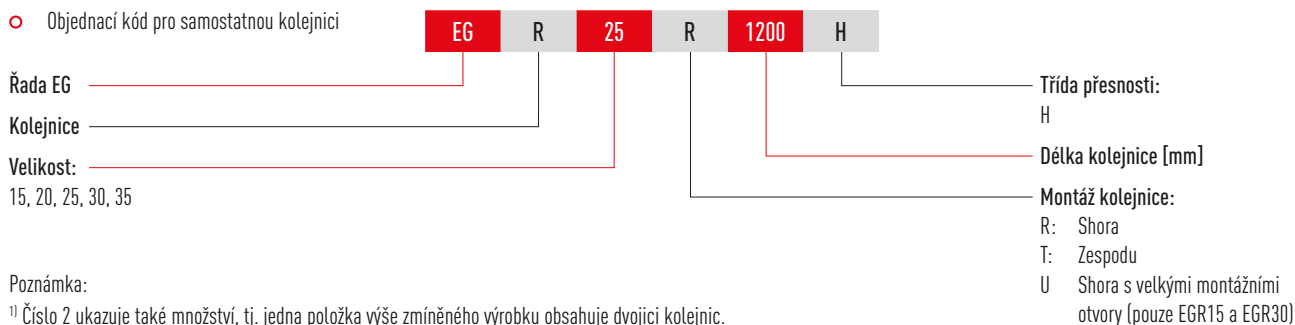
○ Objednací kód pro lineární systém (vozik namontovaný na kolejnici)



○ Objednací kód pro samostatný vozík



○ Objednací kód pro samostatnou kolejnici



Poznámka:

<sup>1)</sup> Číslo 2 ukazuje také množství, tj. jedna položka výše zmíněného výrobku obsahuje dvojici kolejnic.

Vicediální kolejnice se standardně dodávají se stupňovitými bodovými spoji.

<sup>2)</sup> Přehled jednotlivých systémů těsnění je uveden v kapitole 2.9

<sup>3)</sup> Pouze pro řadu EG

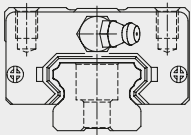
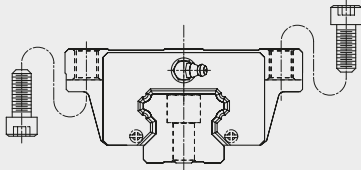
# Lineární vedení

## Řada EG/QE

### 3.2.4 Typ vozíku

Společnost HIWIN nabízí pro lineární vedení úzké a přírubové vozíky. Přírubové vozíky jsou díky své nízké výšce a větší montážní ploše vhodnější pro větší zatížení.

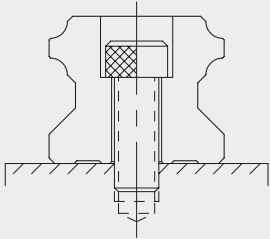
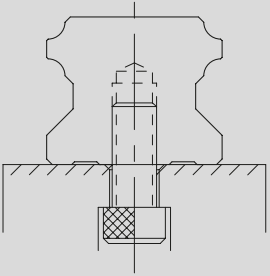
Tabulka 3.22 Typy vozíků

| Provedení       | Typ              | Konstrukce  | Výška [mm] | Typické použití  |
|-----------------|------------------|---|------------|--|
| Úzký vozík      | EGH-SA<br>EGH-CA |  | 24 – 48    | <ul style="list-style-type: none"> <li>○ Obráběcí centra</li> <li>○ Soustruhy NC</li> <li>○ Brusky</li> <li>○ Přesné frézky</li> <li>○ Výkonné řezačky</li> <li>○ Automatizace</li> <li>○ Dopravní prostředky</li> <li>○ Měřicí přístroje</li> <li>○ Stroje a zařízení vyžadující vysokou přesnost polohování</li> </ul> |
| Přírubový vozík | EGW-SC<br>EGW-CC |  |            |  |

### 3.2.5 Typy kolejnic

Kromě standardních kolejnic upevňovaných shora dodává společnost HIWIN také kolejnice pro upevnění zespodu.

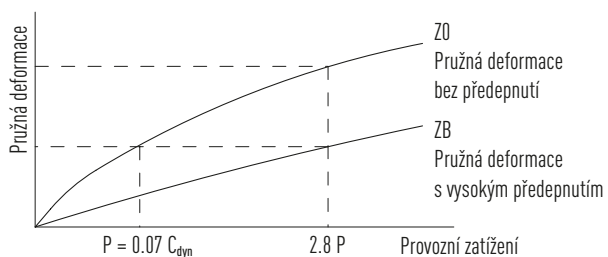
Tabulka 3.23 Typy kolejnic

| Upevnění shora  | Upevnění zespodu   |
|---|--|
|  |  |
| EGR_R   | EGR_T  |

### 3.2.6 Předepnutí

#### Definice

Každý vozík lze předepnout kuličkami. Křivka ukazuje, jak se při vyšším předepnutí tuhost zdvojnásobuje. Řada EG/QE se dodává ve třech standardních třídách předepnutí pro různá použití a podmínky.



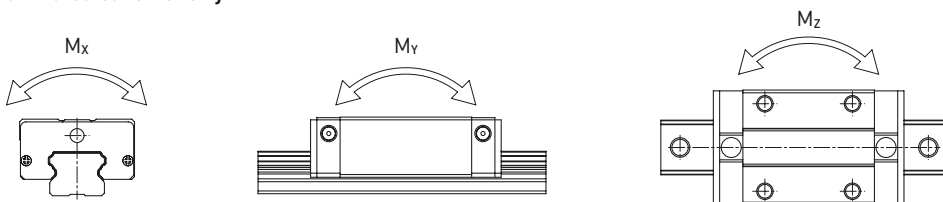
# Lineární vedení

## Řada EG/QE

Tabulka 3.24 Označení předepnutí

| Označení | Předepnutí                       |                       | Použití  | Příklady použití   |
|----------|----------------------------------|-----------------------|--|--|
| Z0       | Lehké předepnutí (vymezená vůle) | $0 - 0.02 C_{dyn}$    | Stálý směr zatížení, nízké vibrace, stačí nízká přesnost | <ul style="list-style-type: none"> <li>○ Dopravní technika</li> <li>○ Automatické balicí stroje</li> <li>○ Osa X-Y u průmyslových strojů</li> <li>○ Svářečky</li> </ul>  |
| ZA       | Střední předepnutí               | $0.03 - 0.05 C_{dyn}$ | Je třeba vysoká přesnost                                 | <ul style="list-style-type: none"> <li>○ Obráběcí centra</li> <li>○ Osa Z u průmyslových strojů</li> <li>○ Elektroerozivní stroje</li> <li>○ Soustruhy NC</li> <li>○ Přesné X-Y stoly</li> <li>○ Měřicí přístroje</li> </ul> |
| ZB       | Vysoké předepnutí                | $0.06 - 0.08 C_{dyn}$ | Je třeba vysoká tuhost a odolnost proti vibracím a rázům | <ul style="list-style-type: none"> <li>○ Obráběcí centra</li> <li>○ Brusky</li> <li>○ Soustruhy NC</li> <li>○ Horizontální a vertikální frézky</li> <li>○ Osa X obráběcích strojů</li> <li>○ Výkonné řezačky</li> </ul>      |

### 3.2.7 Únosnosti a momenty



Tabulka 3.25 Únosnosti a momenty pro řadu EG/QE

| Řada/rozměr | Dynamická únosnost $C_{dyn}$ [N] <sup>1)</sup> | Statická únosnost $C_0$ [N] | Dynamický moment [Nm] |       |       | Statický moment [Nm] |          |          |
|-------------|--|-----------------------------|-----------------------|-------|-------|----------------------|----------|----------|
|             |  |                             | $M_x$                 | $M_y$ | $M_z$ | $M_{0x}$             | $M_{0y}$ | $M_{0z}$ |
| EG_15S      | 5,350  | 9,400                       | 45                    | 22    | 22    | 80                   | 40       | 40       |
| QE_15S      | 8,560  | 8,790                       | 68                    | 29    | 29    | 70                   | 30       | 30       |
| EG_15C      | 7,830  | 16,190                      | 62                    | 48    | 48    | 130                  | 100      | 100      |
| QE_15C      | 12,530   | 15,280                      | 98                    | 73    | 73    | 120                  | 90       | 90       |
| EG_20S      | 7,230  | 12,740                      | 73                    | 34    | 34    | 130                  | 60       | 60       |
| QE_20S      | 11,570   | 12,180                      | 123                   | 47    | 47    | 130                  | 50       | 50       |
| EG_20C      | 10,310   | 21,130                      | 107                   | 78    | 78    | 220                  | 160      | 160      |
| QE_20C      | 16,500   | 20,210                      | 171                   | 122   | 122   | 210                  | 150      | 150      |
| EG_25S      | 11,400   | 19,500                      | 134                   | 70    | 70    | 230                  | 120      | 120      |
| QE_25S      | 18,240   | 18,900                      | 212                   | 96    | 96    | 220                  | 100      | 100      |
| EG_25C      | 16,270   | 32,400                      | 190                   | 160   | 160   | 380                  | 320      | 320      |
| QE_25C      | 26,030   | 31,490                      | 305                   | 239   | 239   | 370                  | 290      | 290      |
| EG_30S      | 16,420   | 28,100                      | 233                   | 122   | 122   | 400                  | 210      | 210      |
| QE_30S      | 26,270   | 27,820                      | 377                   | 169   | 169   | 400                  | 180      | 180      |
| EG_30C      | 23,700   | 47,460                      | 339                   | 274   | 274   | 680                  | 550      | 550      |
| QE_30C      | 37,920   | 46,630                      | 544                   | 414   | 414   | 670                  | 510      | 510      |
| EG_35S      | 22,660   | 37,380                      | 339                   | 187   | 187   | 560                  | 310      | 310      |
| QE_35S      | 36,390   | 36,430                      | 609                   | 330   | 330   | 610                  | 330      | 330      |
| EG_35C      | 33,350   | 64,840                      | 504                   | 354   | 354   | 980                  | 690      | 690      |
| QE_35C      | 51,180   | 59,280                      | 863                   | 648   | 648   | 1,000                | 750      | 750      |

<sup>1)</sup> Dynamická únosnost pro celkovou ujetou dráhu 50 km

# Lineární vedení

## Řada EG/QE

### 3.2.8 Tuhost

Tuhost závisí na předepnutí. Vzorec F 3.3 se používá pro stanovení deformace v závislosti na tuhosti.

#### F 3.4

$$\delta = \frac{P}{k}$$

$\delta$  Deformace [ $\mu\text{m}$ ]  
 $P$  Provozní zatížení [N]  
 $k$  Tuhost [N/ $\mu\text{m}$ ]

Tabulka 3.26 Radiální tuhost pro řadu EG/QE

| Druh zatížení    | Řada/<br>rozměr | Tuhost v závislosti na předepnutí |     |     |
|------------------|-----------------|-----------------------------------|-----|-----|
|                  |                 | Z0                                | ZA  | ZB  |
| Střední zatížení | EG_15S          | 105                               | 126 | 141 |
|                  | QE_15S          | 96                                | 115 | 128 |
|                  | EG_20S          | 126                               | 151 | 168 |
|                  | QE_20S          | 116                               | 139 | 153 |
|                  | EG_25S          | 156                               | 187 | 209 |
|                  | QE_25S          | 137                               | 165 | 184 |
|                  | EG_30S          | 184                               | 221 | 246 |
|                  | QE_30S          | 169                               | 203 | 226 |
|                  | EG_35S          | 221                               | 265 | 295 |
|                  | QE_35S          | 214                               | 257 | 287 |
| Vysoké zatížení  | EG_15C          | 172                               | 206 | 230 |
|                  | QE_15C          | 157                               | 187 | 209 |
|                  | EG_20C          | 199                               | 238 | 266 |
|                  | QE_20C          | 183                               | 219 | 245 |
|                  | EG_25C          | 246                               | 296 | 329 |
|                  | QE_25C          | 219                               | 263 | 293 |
|                  | EG_30C          | 295                               | 354 | 395 |
|                  | QE_30C          | 271                               | 326 | 363 |
|                  | EG_35C          | 354                               | 425 | 474 |
|                  | QE_35C          | 333                               | 399 | 445 |

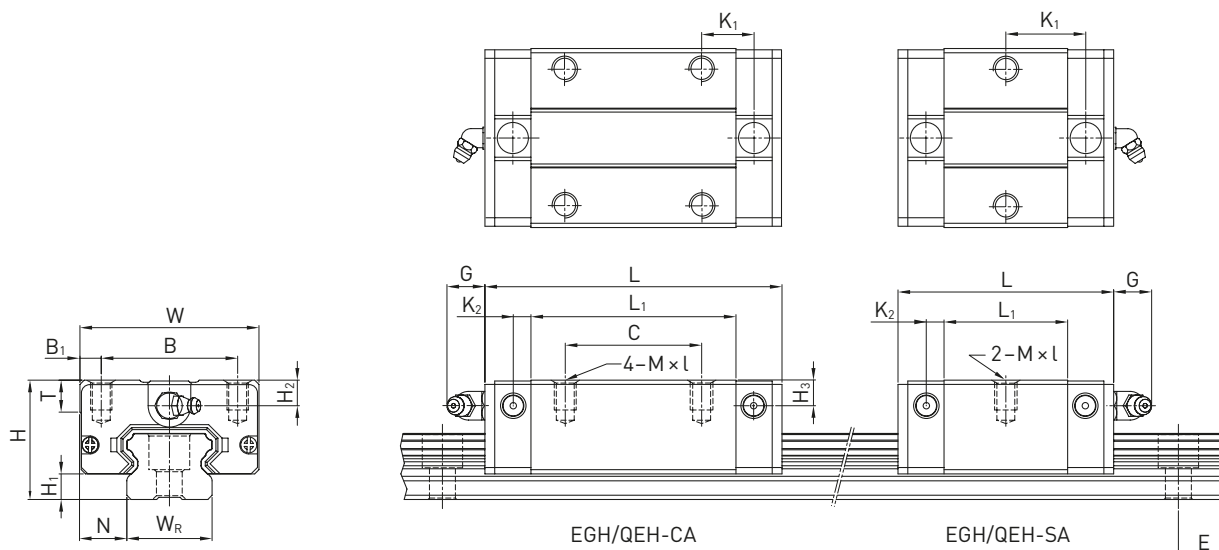
Jednotka: N/ $\mu\text{m}$

# Lineární vedení

## Řada EG/QE

### 3.2.9 Rozměry vozíků EG/QE

#### 3.2.9.1 EGH/QEH



Tabulka 3.27 Rozměry vozíku

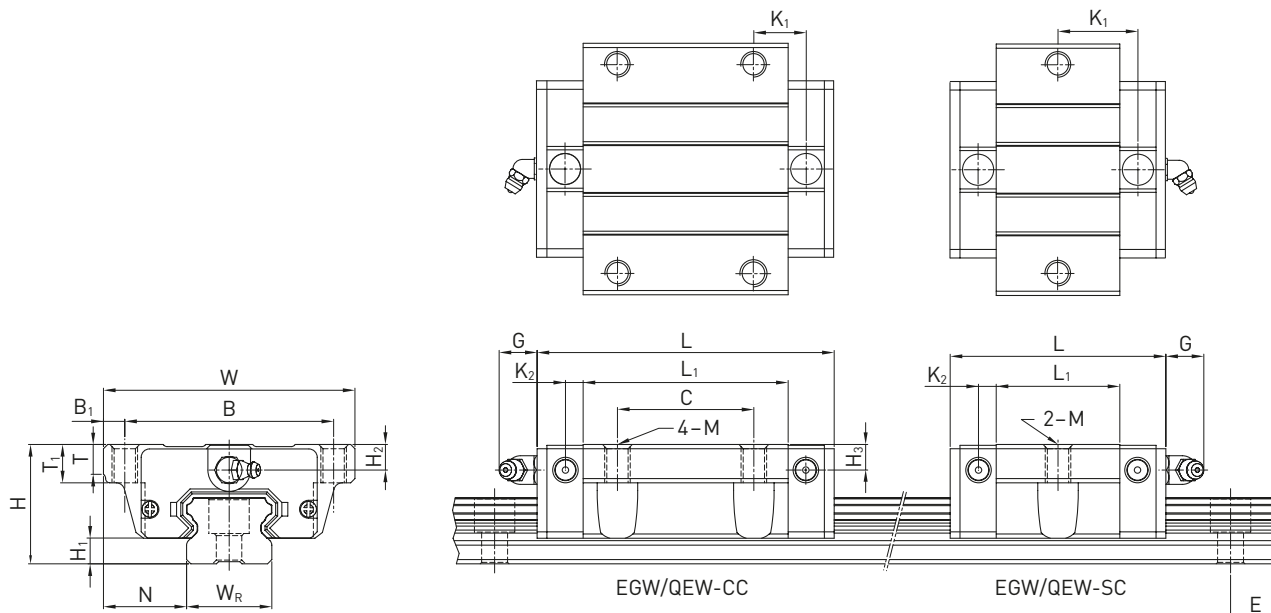
| Řada/<br>rozměr | Montážní rozměry<br>[mm] |                |      | Rozměry vozíku [mm] |    |                |    |                |       |                |                |      |         |      |                |                |                  | Únosnosti [N]  |      | Hmot-<br>nost<br>[kg] |
|-----------------|--------------------------|----------------|------|---------------------|----|----------------|----|----------------|-------|----------------|----------------|------|---------|------|----------------|----------------|------------------|----------------|------|-----------------------|
|                 | H                        | H <sub>1</sub> | N    | W                   | B  | B <sub>1</sub> | C  | L <sub>1</sub> | L     | K <sub>1</sub> | K <sub>2</sub> | G    | M × l   | T    | H <sub>2</sub> | H <sub>3</sub> | C <sub>dyn</sub> | C <sub>0</sub> |      |                       |
| EGH15SA         | 24                       | 4.5            | 9.5  | 34                  | 26 | 4.0            | —  | 23.1           | 40.1  | 14.80          | 3.50           | 5.7  | M4 × 6  | 6.0  | 5.5            | 6.0            | 5,350            | 9,400          | 0.09 |                       |
| EGH15CA         |                          |                |      |                     |    |                | 26 | 39.8           | 56.8  | 10.15          |                |      |         |      |                |                | 7,830            | 16,190         | 0.15 |                       |
| QEH15SA         | 24                       | 4.0            | 9.5  | 34                  | 26 | 4.0            | —  | 23.1           | 40.1  | 14.80          | 3.50           | 5.7  | M4 × 6  | 6.0  | 5.5            | 6.0            | 8,560            | 8,790          | 0.09 |                       |
| QEH15CA         |                          |                |      |                     |    |                | 26 | 39.8           | 56.8  | 10.15          |                |      |         |      |                |                | 12,530           | 15,280         | 0.15 |                       |
| EGH20SA         | 28                       | 6.0            | 11.0 | 42                  | 32 | 5.0            | —  | 29.0           | 50.0  | 18.75          | 4.15           | 12.0 | M5 × 7  | 7.5  | 6.0            | 6.0            | 7,230            | 12,740         | 0.15 |                       |
| EGH20CA         |                          |                |      |                     |    |                | 32 | 48.1           | 69.1  | 12.30          |                |      |         |      |                |                | 10,310           | 21,130         | 0.24 |                       |
| QEH20SA         | 28                       | 6.0            | 11.0 | 42                  | 32 | 5.0            | —  | 29.0           | 50.0  | 18.75          | 4.15           | 12.0 | M5 × 7  | 7.5  | 6.0            | 6.5            | 11,570           | 12,180         | 0.15 |                       |
| QEH20CA         |                          |                |      |                     |    |                | 32 | 48.1           | 69.1  | 12.30          |                |      |         |      |                |                | 16,500           | 20,210         | 0.23 |                       |
| EGH25SA         | 33                       | 7.0            | 12.5 | 48                  | 35 | 6.5            | —  | 35.5           | 59.1  | 21.90          | 4.55           | 12.0 | M6 × 9  | 8.0  | 8.0            | 8.0            | 11,400           | 19,500         | 0.25 |                       |
| EGH25CA         |                          |                |      |                     |    |                | 35 | 59.0           | 82.6  | 16.15          |                |      |         |      |                |                | 16,270           | 32,400         | 0.41 |                       |
| QEH25SA         | 33                       | 6.2            | 12.5 | 48                  | 35 | 6.5            | —  | 35.5           | 60.1  | 21.90          | 5.00           | 12.0 | M6 × 9  | 8.0  | 8.0            | 8.0            | 18,240           | 18,900         | 0.24 |                       |
| QEH25CA         |                          |                |      |                     |    |                | 35 | 59.0           | 83.6  | 16.15          |                |      |         |      |                |                | 26,030           | 31,490         | 0.40 |                       |
| EGH30SA         | 42                       | 10.0           | 16.0 | 60                  | 40 | 10.0           | —  | 41.5           | 69.5  | 26.75          | 6.00           | 12.0 | M8 × 12 | 9.0  | 8.0            | 9.0            | 16,420           | 28,100         | 0.45 |                       |
| EGH30CA         |                          |                |      |                     |    |                | 40 | 70.1           | 98.1  | 21.05          |                |      |         |      |                |                | 23,700           | 47,460         | 0.76 |                       |
| QEH30SA         | 42                       | 10.0           | 16.0 | 60                  | 40 | 10.0           | —  | 41.5           | 67.5  | 25.75          | 6.00           | 12.0 | M8 × 12 | 9.0  | 8.0            | 9.0            | 26,270           | 27,820         | 0.44 |                       |
| QEH30CA         |                          |                |      |                     |    |                | 40 | 70.1           | 96.1  | 20.05          |                |      |         |      |                |                | 37,920           | 46,630         | 0.75 |                       |
| EGH35SA         | 48                       | 11.0           | 18.0 | 70                  | 50 | 10.0           | —  | 45.0           | 75.0  | 28.50          | 7.00           | 12.0 | M8 × 12 | 10.0 | 8.5            | 8.5            | 22,660           | 37,380         | 0.74 |                       |
| EGH35CA         |                          |                |      |                     |    |                | 50 | 78.0           | 108.0 | 20.00          |                |      |         |      |                |                | 33,350           | 64,840         | 1.10 |                       |
| QEH35SA         | 48                       | 11.0           | 18.0 | 70                  | 50 | 10.0           | —  | 51.0           | 76.0  | 30.30          | 6.25           | 12.0 | M8 × 12 | 10.0 | 8.5            | 8.5            | 36,390           | 36,430         | 0.58 |                       |
| QEH35CA         |                          |                |      |                     |    |                | 50 | 83.0           | 108.0 | 21.30          |                |      |         |      |                |                | 51,180           | 59,280         | 0.90 |                       |

Rozměry kolejnice viz kapitola 3.2.10, pro standardní a volitelné maznice a adaptéry viz kapitola 4.1.

# Lineární vedení

## Řada EG/QE

### 3.2.9.2 EGW/QEW



Tabulka 3.28 Rozměry vozíku

| Řada/<br>rozměr | Montážní rozměry [mm] |                |      | Rozměry vozíku [mm] |    |                |    |                |       |                |                |      |     |      |                |                |                | Únosnosti [N]    |                | Hmotnost [kg] |
|-----------------|-----------------------|----------------|------|---------------------|----|----------------|----|----------------|-------|----------------|----------------|------|-----|------|----------------|----------------|----------------|------------------|----------------|---------------|
|                 | H                     | H <sub>1</sub> | N    | W                   | B  | B <sub>1</sub> | C  | L <sub>1</sub> | L     | K <sub>1</sub> | K <sub>2</sub> | G    | M   | T    | T <sub>1</sub> | H <sub>2</sub> | H <sub>3</sub> | C <sub>dyn</sub> | C <sub>0</sub> |               |
| EGW15SC         | 24                    | 4.5            | 18.5 | 52                  | 41 | 5.5            | —  | 23.1           | 40.1  | 14.80          | 3.50           | 5.7  | M5  | 5.0  | 7              | 5.5            | 6.0            | 5,350            | 9,400          | 0.12          |
| EGW15CC         |                       |                |      |                     |    |                | 26 | 39.8           | 56.8  | 10.15          |                |      |     |      |                |                |                | 7,830            | 16,190         | 0.21          |
| QEW15SC         | 24                    | 4.0            | 18.5 | 52                  | 41 | 5.5            | —  | 23.1           | 40.1  | 14.80          | 3.50           | 5.7  | M5  | 5.0  | —              | 5.5            | 6.0            | 8,560            | 8,790          | 0.12          |
| QEW15CC         |                       |                |      |                     |    |                | 26 | 39.8           | 56.8  | 10.15          |                |      |     |      |                |                |                | 12,530           | 15,280         | 0.21          |
| EGW20SC         | 28                    | 6.0            | 19.5 | 59                  | 49 | 5.0            | —  | 29.0           | 50.0  | 18.75          | 4.15           | 12.0 | M6  | 7.0  | 9              | 6.0            | 6.0            | 7,230            | 12,740         | 0.19          |
| EGW20CC         |                       |                |      |                     |    |                | 32 | 48.1           | 69.1  | 12.30          |                |      |     |      |                |                |                | 10,310           | 21,130         | 0.32          |
| QEW20SC         | 28                    | 6.0            | 19.5 | 59                  | 49 | 5.0            | —  | 29.0           | 50.0  | 18.75          | 4.15           | 12.0 | M6  | 7.0  | —              | 6.0            | 6.5            | 11,570           | 12,180         | 0.19          |
| QEW20CC         |                       |                |      |                     |    |                | 32 | 48.1           | 69.1  | 12.30          |                |      |     |      |                |                |                | 16,500           | 20,210         | 0.31          |
| EGW25SC         | 33                    | 7.0            | 25.0 | 73                  | 60 | 6.5            | —  | 35.5           | 59.1  | 21.90          | 4.55           | 12.0 | M8  | 7.5  | 10             | 8.0            | 8.0            | 11,400           | 19,500         | 0.35          |
| EGW25CC         |                       |                |      |                     |    |                | 35 | 59.0           | 82.6  | 16.15          |                |      |     |      |                |                |                | 16,270           | 32,400         | 0.59          |
| QEW25SC         | 33                    | 6.2            | 25.0 | 73                  | 60 | 6.5            | —  | 35.5           | 60.1  | 21.90          | 5.00           | 12.0 | M8  | 7.5  | —              | 8.0            | 8.0            | 18,240           | 18,900         | 0.34          |
| QEW25CC         |                       |                |      |                     |    |                | 35 | 59.0           | 83.6  | 16.15          |                |      |     |      |                |                |                | 26,030           | 31,90          | 0.58          |
| EGW30SC         | 42                    | 10.0           | 31.0 | 90                  | 72 | 9.0            | —  | 41.5           | 69.5  | 26.75          | 6.00           | 12.0 | M10 | 7.0  | 10             | 8.0            | 9.0            | 16,420           | 28,100         | 0.62          |
| EGW30CC         |                       |                |      |                     |    |                | 40 | 70.1           | 98.1  | 21.05          |                |      |     |      |                |                |                | 23,700           | 47,460         | 1.04          |
| QEW30SC         | 42                    | 10.0           | 31.0 | 90                  | 72 | 9.0            | —  | 41.5           | 67.5  | 25.75          | 6.00           | 12.0 | M10 | 7.0  | —              | 8.0            | 9.0            | 26,270           | 27,820         | 0.61          |
| QEW30CC         |                       |                |      |                     |    |                | 40 | 70.1           | 96.1  | 20.05          |                |      |     |      |                |                |                | 37,920           | 46,630         | 1.03          |
| EGW35SC         | 48                    | 11.0           | 33.0 | 100                 | 82 | 9.0            | —  | 45.0           | 75.0  | 28.50          | 7.00           | 12.0 | M10 | 10.0 | 13             | 8.5            | 8.5            | 22,660           | 37,380         | 0.91          |
| EGW35CC         |                       |                |      |                     |    |                | 50 | 78.0           | 108.0 | 20.00          |                |      |     |      |                |                |                | 33,350           | 64,840         | 1.40          |
| QEW35SC         | 48                    | 11.0           | 33.0 | 100                 | 82 | 9.0            | —  | 51.0           | 76.0  | 30.30          | 6.25           | 12.0 | M10 | 10.0 | 13             | 8.5            | 8.5            | 36,390           | 36,430         | 0.77          |
| QEW35CC         |                       |                |      |                     |    |                | 50 | 83.0           | 108.0 | 21.30          |                |      |     |      |                |                |                | 51,180           | 59,280         | 1.19          |

Rozměry kolejnice viz kapitola 3.2.10, pro standardní a volitelné maznice a adaptéry viz kapitola 4.1.

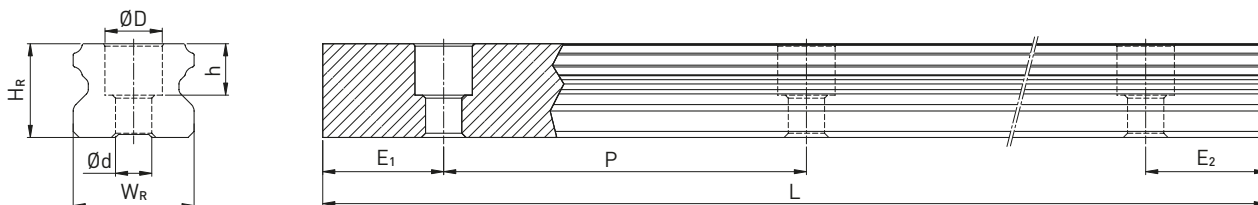
# Lineární vedení

## Řada EG/QE

### 3.2.10 Rozměry kolejnice EGR

Kolejnice EGR se používají jak pro vozíky EG, tak pro vozíky QE.

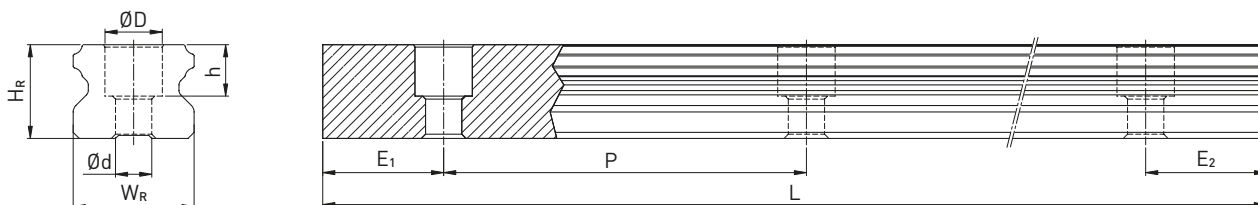
#### 3.2.10.1 Rozměry EGR\_R



Tabulka 3.29 Rozměry kolejnice EGR\_R

| Řada/<br>rozměr | Montážní šrouby<br>pro kolejnici [mm] | Rozměry kolejnice [mm] |                |      |      |     |    | Max. délka<br>[mm] | Max. délka<br>E <sub>1</sub> = E <sub>2</sub> [mm] | Min. délka<br>[mm] | E <sub>1/2</sub> min<br>[mm] | E <sub>1/2</sub> max<br>[mm] | Hmotnost<br>[kg/m] |
|-----------------|---------------------------------------|------------------------|----------------|------|------|-----|----|--------------------|--|--------------------|------------------------------|------------------------------|--------------------|
|                 |                                       | W <sub>R</sub>         | H <sub>R</sub> | D    | h    | d   | P  |                    |  |                    |                              |                              |                    |
| EGR15R          | M3 × 16                               | 15                     | 12.5           | 6.0  | 4.5  | 3.5 | 60 | 4.000              | 3.900  | 132                | 6                            | 54                           | 1.25               |
| EGR20R          | M5 × 20                               | 20                     | 15.5           | 9.5  | 8.5  | 6.0 | 60 | 4.000              | 3.900  | 134                | 7                            | 53                           | 2.08               |
| EGR25R          | M6 × 25                               | 23                     | 18.0           | 11.0 | 9.0  | 7.0 | 60 | 4.000              | 3.900  | 136                | 8                            | 52                           | 2.67               |
| EGR30R          | M6 × 30                               | 28                     | 23.0           | 11.0 | 9.0  | 7.0 | 80 | 4.000              | 3.920  | 178                | 9                            | 71                           | 4.35               |
| EGR35R          | M8 × 35                               | 34                     | 27.5           | 14.0 | 12.0 | 9.0 | 80 | 4.000              | 3.920  | 178                | 9                            | 71                           | 6.14               |

#### 3.2.10.2 Rozměry EGR\_U (velké montážní otvory)



Tabulka 3.30 Rozměry kolejnice EGR\_U

| Řada/<br>rozměr | Montážní šrouby<br>pro kolejnici [mm] | Rozměry kolejnice [mm] |                |      |      |     |    | Max. délka<br>[mm] | Max. délka<br>E <sub>1</sub> = E <sub>2</sub> [mm] | Min. délka<br>[mm] | E <sub>1/2</sub> min<br>[mm] | E <sub>1/2</sub> max<br>[mm] | Hmotnost<br>[kg/m] |
|-----------------|---------------------------------------|------------------------|----------------|------|------|-----|----|--------------------|--|--------------------|------------------------------|------------------------------|--------------------|
|                 |                                       | W <sub>R</sub>         | H <sub>R</sub> | D    | h    | d   | P  |                    |  |                    |                              |                              |                    |
| EGR15U          | M4 × 16                               | 15                     | 12.5           | 7.5  | 5.3  | 4.5 | 60 | 4.000              | 3.900  | 132                | 6                            | 54                           | 1.23               |
| EGR30U          | M8 × 30                               | 28                     | 23.0           | 14.0 | 12.0 | 9.0 | 80 | 4.000              | 3.920  | 178                | 9                            | 71                           | 4.23               |

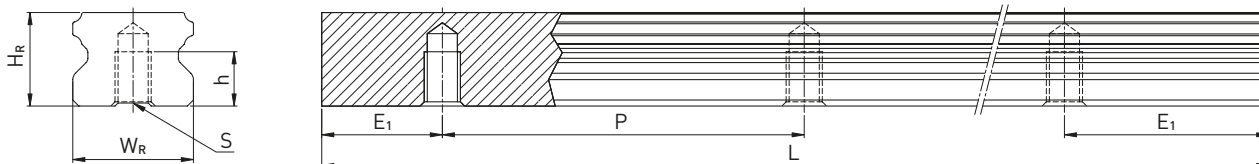
Poznámka:

1. Tolerance pro E je +0,5 až -1 mm pro standardní kolejnice a 0 až -0,3 mm pro spoje.
2. Pokud rozměry E<sub>1/2</sub> nejsou uvedeny, bude určen maximální počet montážních otvorů pro minimální rozměr E<sub>1/2</sub>.
3. Kolejnice se zkracují na požadovanou délku. Pokud rozměry E<sub>1/2</sub> nejsou uvedeny, provádí se zkracování symetricky.

# Lineární vedení

## Řada EG/QE

### 3.2.10.3 Rozměry EGR\_T (Montáž kolejnice zesponu)



Tabulka 3.31 Rozměry kolejnice EGR\_T

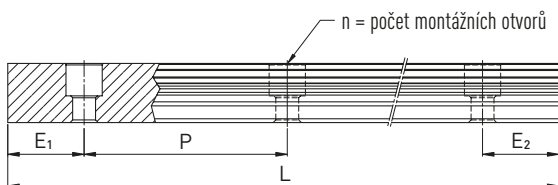
| Řada/<br>rozměr | Rozměry kolejnice [mm] |                |    |    |    | Max. délka<br>[mm] | Max. délka<br>E <sub>1</sub> = E <sub>2</sub> [mm] | Min. délka<br>[mm] | E <sub>1/2</sub> min<br>[mm] | E <sub>1/2</sub> max<br>[mm] | Hmotnost<br>[kg/m] |
|-----------------|------------------------|----------------|----|----|----|--------------------|--|--------------------|------------------------------|------------------------------|--------------------|
|                 | W <sub>R</sub>         | H <sub>R</sub> | S  | h  | P  |                    |  |                    |                              |                              |                    |
| EGR15T          | 15                     | 12.5           | M5 | 7  | 60 | 4.000              | 3.900  | 132                | 6                            | 54                           | 1.26               |
| EGR20T          | 20                     | 15.5           | M6 | 9  | 60 | 4.000              | 3.900  | 134                | 7                            | 53                           | 2.15               |
| EGR25T          | 23                     | 18.0           | M6 | 10 | 60 | 4.000              | 3.900  | 136                | 8                            | 52                           | 2.79               |
| EGR30T          | 28                     | 23.0           | M8 | 14 | 80 | 4.000              | 3.920  | 178                | 9                            | 71                           | 4.42               |
| EGR35T          | 34                     | 27.5           | M8 | 17 | 80 | 4.000              | 3.920  | 178                | 9                            | 71                           | 6.34               |

Poznámka:

1. Tolerance pro E je +0,5 až -1 mm pro standardní kolejnice a 0 až -0,3 mm pro spoje.
2. Pokud rozměry E<sub>1/2</sub> nejsou uvedeny, bude určen maximální počet montážních otvorů pro minimální rozměr E<sub>1/2</sub>.
3. Kolejnice se zkracují na požadovanou délku. Pokud rozměry E<sub>1/2</sub> nejsou uvedeny, provádí se zkracování symetricky.

### 3.2.10.4 Výpočet délky kolejnice

Společnost HIWIN nabízí kolejnice v individuálních délkách. Aby nevzniklo riziko nestability konce kolejnice, nesmí hodnota E překročit polovinu vzdálenosti mezi montážními otvory (P). Současně musí hodnota E<sub>1/2</sub> být v rozmezí E<sub>1/2</sub> min až E<sub>1/2</sub> max., aby montážní otvor nepraskl.



F 3.5

$$L = (n - 1) \times P + E_1 + E_2$$

- L Celková délka kolejnice [mm]
- n Počet montážních otvorů
- P Vzdálenost mezi dvěma montážními otvory [mm]
- E<sub>1/2</sub> Vzdálenost od středu posledního montážního otvoru po konec kolejnice [mm]

### 3.2.10.5 Utahovací momenty pro montážní šrouby

Nedostatečné utahení montážních šroubů významně ovlivňuje přesnost lineárního vedení, proto se příslušné rozměry šroubů doporučují následující utahovací momenty.

Tabulka 3.32 Utahovací momenty pro montážní šrouby podle normy ISO 4762-12.9

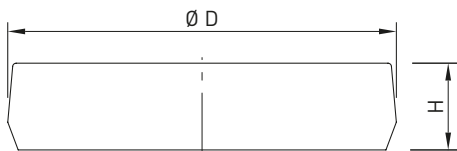
| Řada/rozměr | Rozměr šroubu | Utahovací moment [Nm] | Řada/rozměr | Rozměr šroubu | Utahovací moment [Nm] |
|-------------|---------------|-----------------------|-------------|---------------|-----------------------|
| EG_15       | M3 × 16       | 2                     | EG_30       | M6 × 30       | 14                    |
| EG_15U      | M4 × 16       | 4                     | EG_30U      | M8 × 30       | 31                    |
| EG_20       | M5 × 20       | 9                     | EG_35       | M8 × 35       | 31                    |
| EG_25       | M6 × 25       | 14                    |             |               |                       |

## Lineární vedení

### Řada EG/QE

#### 3.2.10.6 Zátky montážních otvorů kolejnič

Zátky montážních otvorů kolejnič se používají na ochranu otvorů před prachem a úlomky. Kolejnič jsou vybaveny standardními zátkami. Jiné typy zátek se musí objednat zvlášť.



Tabulka 3.33 Zátky montážních otvorů kolejnič

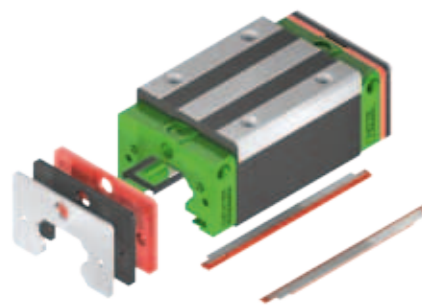
| Kolejnič | Šroub | Označení         |       |       | Ø D [mm] | Výška H [mm] |
|----------|-------|------------------|-------|-------|----------|--------------|
|          |       | Plast (standard) | Mosaz | Ocel  |          |              |
| EGR15R   | M3    | C3               | C3-M  | —     | 6.0      | 1.2          |
| EGR20R   | M5    | C5               | C5-M  | C5-ST | 9.5      | 2.2          |
| EGR25R   | M6    | C6               | C6-M  | C6-ST | 11.0     | 2.5          |
| EGR30R   | M6    | C6               | C6-M  | C6-ST | 11.0     | 2.5          |
| EGR35R   | M8    | C8               | C8-M  | C8-ST | 14.0     | 3.3          |
| EGR15U   | M4    | C4               | C4-M  | —     | 7.5      | 1.1          |
| EGR30U   | M8    | C8               | C8-M  | C8-ST | 14.0     | 3.3          |

# Lineární vedení

## Řada EG/QE

### 3.2.11 Těsnící systémy

Pro vedení HIWIN jsou k dispozici různé těsnící systémy. Jejich přehled najdete v kapitole 2.9. Tabulka níže obsahuje celkové délky vozíků s různými těsnícími systémy. Pro uvedené velikosti jsou vhodné těsnící systémy k dispozici.



Tabulka 3.34 Celková délka vedení s různými těsnícími systémy

| Řada/<br>rozměr | Celková délka L |       |       |       |
|-----------------|-----------------|-------|-------|-------|
|                 | SS              | DD    | ZZ    | KK    |
| EG_15S          | 40.1            | 44.1  | 41.7  | 45.7  |
| QE_15S          | 40.1            | 44.1  | 42.1  | 46.1  |
| EG_15C          | 56.8            | 60.8  | 58.4  | 62.4  |
| QE_15C          | 56.8            | 60.8  | 58.8  | 62.8  |
| EG_20S          | 50.0            | 54.0  | 51.6  | 55.6  |
| QE_20S          | 50.0            | 54.0  | 52.0  | 56.0  |
| EG_20C          | 69.1            | 73.1  | 70.7  | 74.7  |
| QE_20C          | 69.1            | 73.1  | 71.1  | 75.1  |
| EG_25S          | 59.1            | 63.1  | 61.1  | 65.1  |
| QE_25S          | 60.1            | 65.1  | 62.1  | 67.1  |
| EG_25C          | 82.6            | 86.6  | 84.6  | 88.6  |
| QE_25C          | 83.6            | 88.6  | 85.6  | 90.6  |
| EG_30S          | 69.5            | 73.5  | 71.5  | 75.5  |
| QE_30S          | 67.5            | 72.5  | 69.5  | 74.5  |
| EG_30C          | 98.1            | 102.1 | 100.1 | 104.1 |
| QE_30C          | 96.1            | 101.1 | 98.1  | 103.1 |
| EG_35S          | 75.0            | 79.0  | 78.0  | 82.0  |
| QE_35S          | 76.0            | 80.0  | 79.0  | 83.0  |
| EG_35C          | 108.0           | 112.0 | 111.0 | 115.0 |
| QE_35C          | 108.0           | 112.0 | 111.0 | 115.0 |

Jednotka: mm

#### 3.2.11.1 Označení těsnění

Sady těsnění se vždy dodávají s montážním materiálem.



#### Označení těsnění:

- SS: Standardní těsnění
- ZZ: Koncové těsnění s plechovým stěračem
- DD: Dvojitě těsnění
- KK: Dvojitě těsnění s plechovým stěračem

## Lineární vedení

### Řada EG/QE

#### 3.2.12 Tření

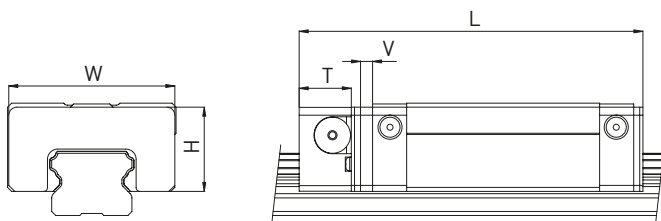
Tabulka ukazuje maximální třecí odpor jednotlivých koncových těsnění. Podle typu těsnění (SS, DD, ZZ, KK) se tyto hodnoty mohou násobit. Uvedené hodnoty se vztahují na vozíky na kolejničích bez povtlaku. V případě povtlakování je tření vyšší.

Tabulka 3.35 Třecí odpor těsnění s jedním břitem

| Řada/rozměr | Třecí síla [N] | Řada/rozměr | Třecí síla [N] |
|-------------|----------------|-------------|----------------|
| EG_15       | 1.0            | QE_15       | 1.1            |
| EG_20       | 1.0            | QE_20       | 1.4            |
| EG_25       | 1.0            | QE_25       | 1.7            |
| EG_30       | 1.5            | QE_30       | 2.1            |
| EG_35       | 2.0            | QE_35       | 2.3            |

#### 3.2.13 Mazací jednotka E2

Další informace o mazací jednotce naleznete v kapitole 2.6.3.



Tabulka 3.36 Rozměry vozíku s mazací jednotkou E2

| Typ    | Rozměry vozíku [mm] |      |      |     |                               |                               |                               |                               | Množství oleje [cm <sup>3</sup> ] | Vzdálenost <sup>2)</sup> [km] |
|--------|---------------------|------|------|-----|-------------------------------|-------------------------------|-------------------------------|-------------------------------|-----------------------------------|-------------------------------|
|        | W                   | H    | T    | V   | L <sub>SS</sub> <sup>1)</sup> | L <sub>ZZ</sub> <sup>1)</sup> | L <sub>DD</sub> <sup>1)</sup> | L <sub>KK</sub> <sup>1)</sup> |                                   |                               |
| EG_15S | 33.3                | 18.7 | 11.5 | 3.0 | 54.6                          | 56.2                          | 58.6                          | 60.2                          | 1.7                               | 2,000                         |
| EG_15C | 33.3                | 18.7 | 11.5 | 3.0 | 71.3                          | 72.9                          | 75.3                          | 76.9                          | 1.7                               | 2,000                         |
| EG_20S | 41.3                | 20.9 | 13.0 | 3.0 | 66.0                          | 67.6                          | 70.0                          | 71.6                          | 2.9                               | 3,000                         |
| EG_20C | 41.3                | 20.9 | 13.0 | 3.0 | 85.1                          | 86.7                          | 89.1                          | 90.7                          | 2.9                               | 3,000                         |
| EG_25S | 47.3                | 24.9 | 13.0 | 3.0 | 75.1                          | 77.1                          | 79.1                          | 81.1                          | 4.8                               | 5,000                         |
| EG_25C | 47.3                | 24.9 | 13.0 | 3.0 | 98.6                          | 100.6                         | 102.6                         | 104.6                         | 4.8                               | 5,000                         |
| EG_30S | 59.3                | 31.0 | 13.0 | 3.0 | 85.5                          | 87.5                          | 89.5                          | 91.5                          | 8.9                               | 9,000                         |
| EG_30C | 59.3                | 31.0 | 13.0 | 3.0 | 114.1                         | 116.1                         | 118.1                         | 120.1                         | 8.9                               | 9,000                         |

<sup>1)</sup> Celková délka závisí na zvoleném těsnění. SS = Standardní ochrana proti prachu.

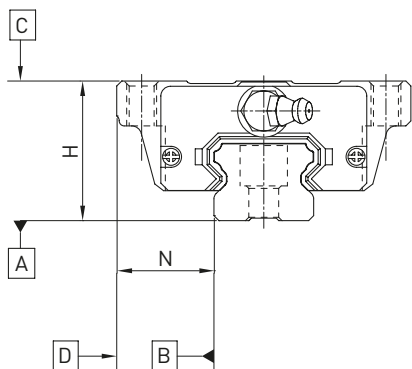
<sup>2)</sup> Vzdálenost, po níž je nejpозději nutno zkontrolovat hladinu oleje v nádrže.

# Lineární vedení

## Řada EG/QE

### 3.2.14 Tolerance v závislosti na třídě přesnosti

Lineární vedení řady EG a QE je rozděleno do pěti tříd přesnosti podle rovnoběžnosti mezi vozíkem a kolejnicí a přesnosti rozměrů H a N. Volba třídy přesnosti je dána požadavky na přesnost stroje.



#### 3.2.14.1 Rovnoběžnost

Rovnoběžnost dorazových ploch kolejnice B a vozíku D a rovnoběžnost horní plochy vozíku C vůči montážní ploše kolejnice A. Předpokládá se ideální montáž lineárního vedení a měření ve středu vozíku.

Tabulka 3.37 Tolerance rovnoběžnosti vozíku vůči kolejnici

| Délka kolejnice [mm] | Třída přesnosti |    |    |    |    |
|----------------------|-----------------|----|----|----|----|
|                      | C               | H  | P  | SP | UP |
| - 100                | 12              | 7  | 3  | 2  | 2  |
| 100 - 200            | 14              | 9  | 4  | 2  | 2  |
| 200 - 300            | 15              | 10 | 5  | 3  | 2  |
| 300 - 500            | 17              | 12 | 6  | 3  | 2  |
| 500 - 700            | 20              | 13 | 7  | 4  | 2  |
| 700 - 900            | 22              | 15 | 8  | 5  | 3  |
| 900 - 1100           | 24              | 16 | 9  | 6  | 3  |
| 1100 - 1500          | 26              | 18 | 11 | 7  | 4  |
| 1500 - 1900          | 28              | 20 | 13 | 8  | 4  |
| 1900 - 2500          | 31              | 22 | 15 | 10 | 5  |
| 2500 - 3100          | 33              | 25 | 18 | 11 | 6  |
| 3100 - 3600          | 36              | 27 | 20 | 14 | 7  |
| 3600 - 4000          | 37              | 28 | 21 | 15 | 7  |

Jednotka:  $\mu\text{m}$

# Lineární vedení

## Řada EG/QE

### 3.2.14.2 Přesnost – výška a šířka

#### Tolerance výšky H

Povolené absolutní odchylky výšky H měřené od středu plochy vozíku C po spodní stranu kolejničky A s vozíkem na libovolné pozici na kolejničce.

#### Rozptyl hodnot výšky H

Povolený rozptyl hodnot výšky H mezi jednotlivými vozíky na jedné kolejničce, měřeno ve stejné poloze na kolejničce.

#### Tolerance šířky N

Tolerance šířky N, měřené mezi středem dorazové plochy vozíku D a referenční hranou kolejničky B na libovolné pozici na kolejničce.

#### Rozptyl hodnot šířky N

Povolený rozptyl hodnot šířky N mezi jednotlivými vozíky na jedné kolejničce, měřeno ve stejné poloze na kolejničce.

Tabulka 3.38 Tolerance výšky a šířky u nezaměnitelných typů

| Řada/rozměr                    | Třída přesnosti   | Tolerance výšky H | Tolerance šířky N | Rozptyl hodnot výšky H | Rozptyl hodnot šířky N |
|--------------------------------|-------------------|-------------------|-------------------|------------------------|------------------------|
| EG_15, 20<br>QE_15, 20         | C (Normální)      | ± 0.1             | ± 0.1             | 0.02                   | 0.02                   |
|                                | H (Vysoká)        | ± 0.03            | ± 0.03            | 0.01                   | 0.01                   |
|                                | P (Přesná)        | 0<br>- 0.03       | 0<br>- 0.03       | 0.006                  | 0.006                  |
|                                | SP (Super přesná) | 0<br>- 0.015      | 0<br>- 0.015      | 0.004                  | 0.004                  |
|                                | UP (Ultra přesná) | 0<br>- 0.008      | 0<br>- 0.008      | 0.003                  | 0.003                  |
| EG_25, 30, 35<br>QE_25, 30, 35 | C (Normální)      | ± 0.1             | ± 0.1             | 0.02                   | 0.03                   |
|                                | H (Vysoká)        | ± 0.04            | ± 0.04            | 0.015                  | 0.015                  |
|                                | P (Přesná)        | 0<br>- 0.04       | 0<br>- 0.04       | 0.007                  | 0.007                  |
|                                | SP (Super přesná) | 0<br>- 0.02       | 0<br>- 0.02       | 0.005                  | 0.005                  |
|                                | UP (Ultra přesná) | 0<br>- 0.01       | 0<br>- 0.01       | 0.003                  | 0.003                  |

Jednotka: mm

Tabulka 3.39 Tolerance výšky a šířky u zaměnitelných typů

| Řada/rozměr                    | Třída přesnosti | Tolerance výšky H | Tolerance šířky N | Rozptyl hodnot výšky H | Rozptyl hodnot šířky N |
|--------------------------------|-----------------|-------------------|-------------------|------------------------|------------------------|
| EG_15, 20<br>QE_15, 20         | C (Normální)    | ± 0.1             | ± 0.1             | 0.02                   | 0.02                   |
|                                | H (Vysoká)      | ± 0.03            | ± 0.03            | 0.01                   | 0.01                   |
|                                | P (Přesná)      | ± 0.015           | ± 0.015           | 0.006                  | 0.006                  |
| EG_25, 30, 35<br>QE_25, 30, 35 | C (Normální)    | ± 0.1             | ± 0.1             | 0.02                   | 0.03                   |
|                                | H (Vysoká)      | ± 0.04            | ± 0.04            | 0.015                  | 0.015                  |
|                                | P (Přesná)      | ± 0.02            | ± 0.02            | 0.007                  | 0.007                  |

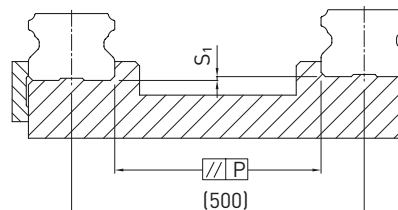
Jednotka: mm

# Lineární vedení

## Řada EG/QE

### 3.2.14.3 Povolené nepřesnosti montážních ploch

Splnění požadavků na přesnost montážních ploch umožní dosáhnout plných hodnot přesnosti, tuhosti a životnosti lineárních vedení řady EG a QE.



Tabulka 3.40 Maximální tolerance rovnoběžnosti (P)

| Řada/rozměr | Třída předepnutí |    |    |
|-------------|------------------|----|----|
|             | Z0               | ZA | ZB |
| EG/QE_15    | 25               | 18 | —  |
| EG/QE_20    | 25               | 20 | 18 |
| EG/QE_25    | 30               | 22 | 20 |
| EG/QE_30    | 40               | 30 | 27 |
| EG/QE_35    | 50               | 35 | 30 |

Jednotka:  $\mu\text{m}$

### Tolerance výšky referenční plochy (S<sub>1</sub>)

#### F 3.6

$$S_1 = a \times K$$

- S<sub>1</sub> Max. výšková tolerance [mm]
- a Vzdálenost kolejnic [mm]
- K Součinitel výškové tolerance

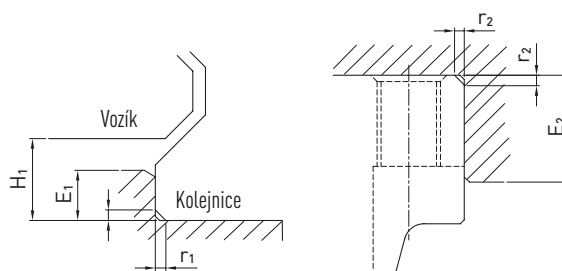
Tabulka 3.41 Součinitel výškové tolerance (K)

| Řada/rozměr | Třída předepnutí     |                      |                      |
|-------------|----------------------|----------------------|----------------------|
|             | Z0                   | ZA                   | ZB                   |
| EG/QE_15    | $2.6 \times 10^{-4}$ | $1.7 \times 10^{-4}$ | —                    |
| EG/QE_20    | $2.6 \times 10^{-4}$ | $1.7 \times 10^{-4}$ | $1.0 \times 10^{-4}$ |
| EG/QE_25    | $2.6 \times 10^{-4}$ | $1.7 \times 10^{-4}$ | $1.4 \times 10^{-4}$ |
| EG/QE_30    | $3.4 \times 10^{-4}$ | $2.2 \times 10^{-4}$ | $1.8 \times 10^{-4}$ |
| EG/QE_35    | $4.2 \times 10^{-4}$ | $3.0 \times 10^{-4}$ | $2.4 \times 10^{-4}$ |

Jednotka:  $\mu\text{m}$

### 3.2.15 Výška osazení a drážky

Nepřesnosti ve výšce osazení a drážkách montážních ploch ovlivňují přesnost a mohou vést ke kolizím mezi profilem vozíku a kolejnicí. Pro zamezení problémů při montáži je nutno dodržovat následující výšky osazení a koncových profilů.



Tabulka 3.42 Výška osazení a drážky

| Řada/rozměr | Max. poloměr hrany r <sub>1</sub> | Max. poloměr hrany r <sub>2</sub> | Výška osazení referenční hrany kolejnice E <sub>1</sub> | Výška osazení referenční hrany vozíku E <sub>2</sub> | Světlá výška pod vozíkem H <sub>1</sub> |
|-------------|-----------------------------------|-----------------------------------|---|--|---|
| EG/QE_15    | 0.5                               | 0.5                               | 2.7   | 5.0  | 4.5                                     |
| EG/QE_20    | 0.5                               | 0.5                               | 5.0   | 7.0  | 6.0                                     |
| EG/QE_25    | 1.0                               | 1.0                               | 5.0   | 7.5  | 7.0                                     |
| EG/QE_30    | 1.0                               | 1.0                               | 7.0   | 7.0  | 10.0                                    |
| EG_35       | 1.0                               | 1.0                               | 7.5   | 9.5  | 11.0                                    |
| QE_35       | 1.0                               | 1.5                               | 7.5   | 9.5  | 11.0                                    |

Jednotka: mm

# Řada CG

Lineární vedení HIWIN řady CG je vhodné pro vysoké kroucí momenty, snadno se montuje, výborně chrání před nečistotami a opotřebením koncových těsnění díky krycímu pásku.

# 01

# Lineární vedení

## Řada CG

### 3.3 Řada CG

#### 3.3.1 Vlastnosti lineárního vedení řady CG

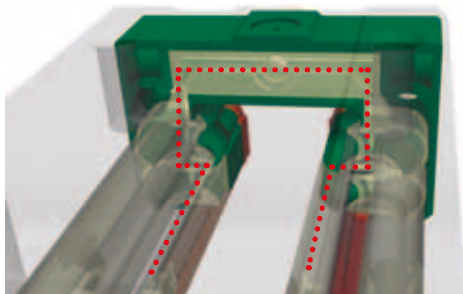
Lineární vedení HIWIN řady CG s uspořádáním kuliček „0“ kolem vodícího prvku spolehlivě snese vysoké kroutící momenty, zejména ve směru  $M_x$ . Upravená geometrie kolejnice zajišťuje vysokou únosnost. Nové pružné koncové těsnění se automaticky přizpůsobuje profilu kolejnice a zajišťuje vysokou míru trvalé ochrany proti nečistotám. Na ochranu koncového těsnění před mechanickým poškozením je řada CG standardně vybavena plechovým stěračem na čelní straně koncového těsnění.

#### 3.3.2 Konstrukce řady CG

Čtyřřadé kuličkové lineární vedení bez vůle s vysokou ochranou proti nečistotám už ve standardním provedení.



Optimalizovaná koncepce mazání pro dlouhé mazací intervaly a pro krátké zdvihy.



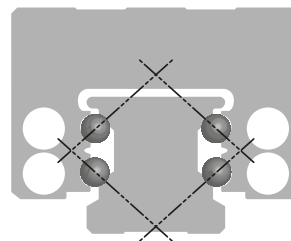
Volitelně je pro kolejnice k dispozici krycí pásek, který minimalizuje pronikání prachu a opotřebení těsnění. Tento krycí pásek lze snadno nainstalovat v několika málo jednoduchých krocích.

Pro optimální distribuci maziva je vozík vybaven dalším mazacím kanálkem, který přivádí mazivo přímo doprostřed nosné zóny. To prodlužuje mazací intervaly a přináší významnou výhodu, zejména při použití pro krátké zdvihy.

Snadná montáž, lepší ochrana proti nečistotám a opotřebení díky krycímu pásku.



Uspořádání kuliček „0“ a optimalizovaná geometrie kuličkového vodícího prvku umožňují přenášet vysoké kroutící momenty a zajišťují vysokou únosnost.



#### Výhody:

- Bezvůlové provedení
- Zaměnitelnost
- Vysoká přesnost
- Vysoká momentová únosnost, zejména ve směru  $M_x$
- Volitelný krycí pásek

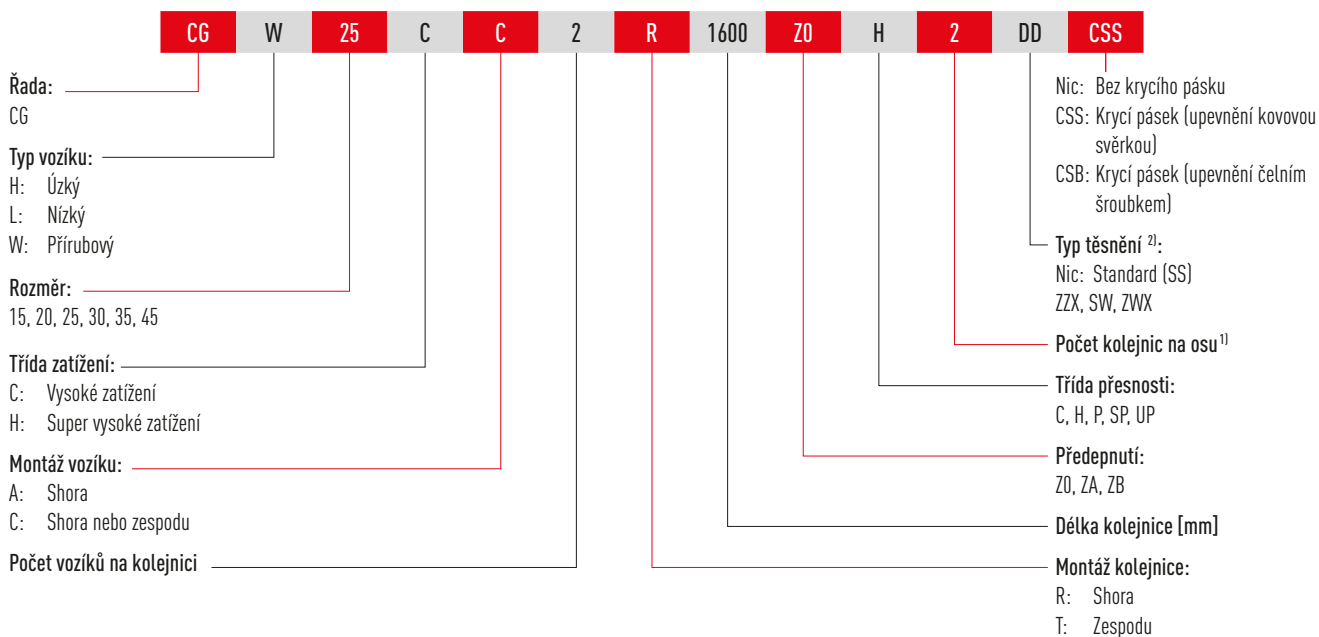
#### 3.3.3 Objednací kódy pro sérii CG

V případě lineárního vedení CG se rozlišuje mezi lineárním systémem a nesmontovaným provedením. Rozměry obou typů jsou stejné. Hlavní rozdíl je v tom, že vozík a kolejnice nesmontovaného provedení mohou být libovolně zaměňovány. Vozík a kolejnice lze objednat samostatně a smontovat si je může zákazník.

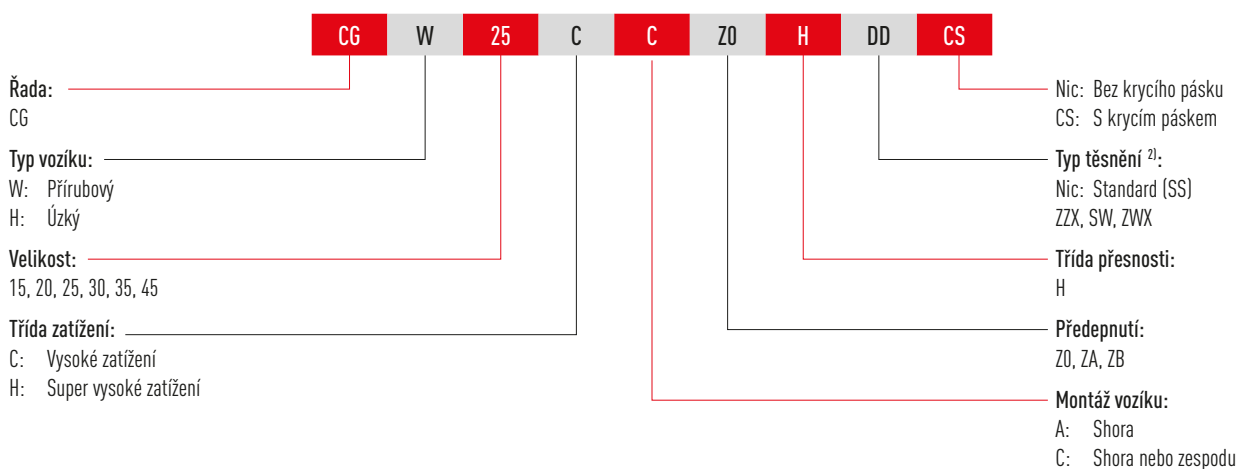
# Lineární vedení

## Řada CG

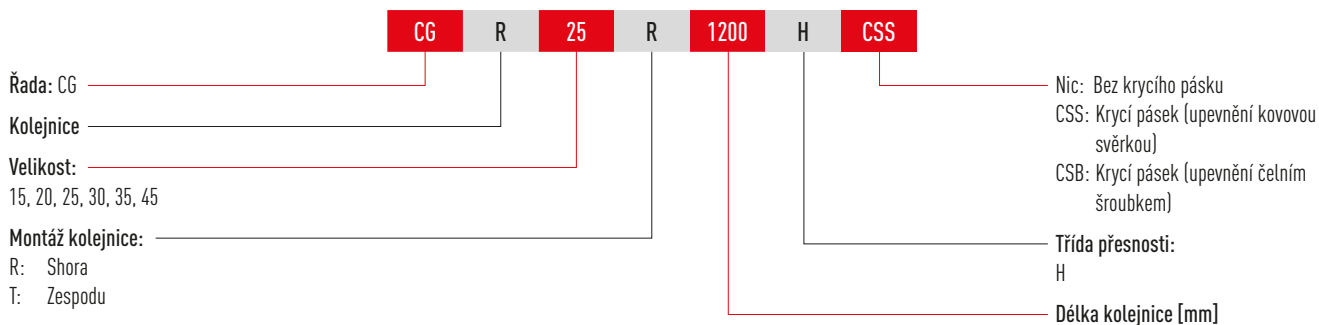
- Objednací kód pro lineární systém (vozik namontovaný na kolejnici)



- Objednací kód pro samostatný vozík



- Objednací kód pro samostatnou kolejnici



Poznámka:

<sup>1)</sup> Číslo 2 ukazuje také množství, tj. jedna položka výše zmíněného výrobku obsahuje dvojici kolejníc. Standardně se vícedílné kolejnice dodávají se stupňovitými bodovými spoji.

<sup>2)</sup> Přehled jednotlivých systémů těsnění je uveden v kapitole 2.9

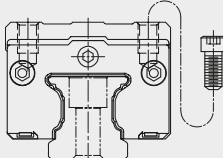
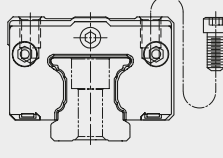
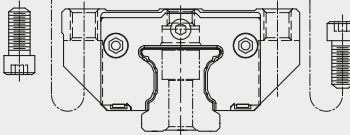
# Lineární vedení

## Řada CG

### 3.3.4 Typ vozíku

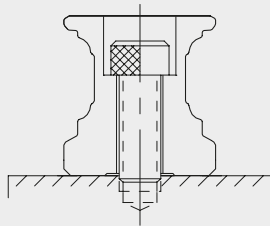
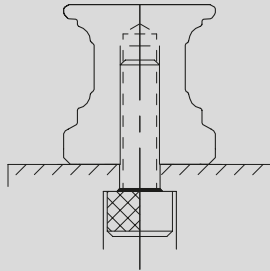
Společnost HIWIN nabízí pro lineární vedení úzké a přírubové vozíky. Přírubové vozíky jsou díky své nízké výšce a větší montážní ploše vhodnější pro větší zatížení.

Tabulka 3.43 Typ vozíku

| Provedení | Typ              | Konstrukce   | Výška [mm] | Typické použití  |
|-----------|------------------|--|------------|--|
| Úzký      | CGH-CA<br>CGH-HA |   | 28 – 70    | <ul style="list-style-type: none"> <li>○ Zpracování dřeva</li> <li>○ Obráběcí centra</li> <li>○ Soustruhy NC</li> <li>○ Brusky</li> <li>○ Přesné frézky</li> <li>○ Výkonné řezačky</li> <li>○ Automatizace</li> <li>○ Dopravní prostředky</li> <li>○ Měřicí přístroje</li> <li>○ Stroje a zařízení vyžadující vysokou přesnost polohování</li> </ul> |
| Nízký     | CGL-CA<br>CGL-HA |   | 24 – 60    |  |
| Přírubový | CGW-CA<br>CGW-HA |  | 24 – 60    |  |

### 3.3.5 Typy kolejnic

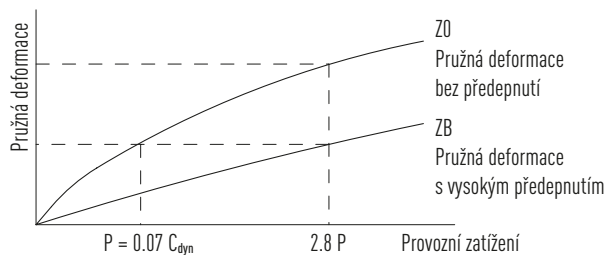
Tabulka 3.44 Typy kolejnic

| Upevnění shora  | Upevnění zespodu   |
|---|--|
|  |  |
| CGR_R   | CGR_T  |

### 3.3.6 Předepnutí

#### Definice

Každý vozík lze předepnout kuličkami. Křivka ukazuje, že se s hodnotou předepnutí zdvojnásobuje tuhost. Řada CG se dodává ve třech standardních třídách předepnutí pro různá použití a podmínky.



# Lineární vedení

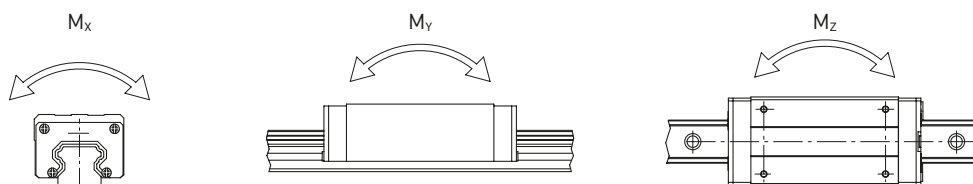
## Řada CG

### Označení předepnutí

Tabulka 3.45 Označení předepnutí

| Označení | Předepnutí                       |                       | Použití   | Příklady použití   |
|----------|----------------------------------|-----------------------|---|--|
| Z0       | Lehké předepnutí (vymezená vůle) | $0 - 0.02 C_{dyn}$    | Stálý směr zatížení, malé vibrace, stačí nižší přesnost     | <ul style="list-style-type: none"> <li>○ Dopravní prostředky</li> <li>○ Automatické balicí stroje</li> <li>○ Osa X-Y u průmyslových strojů</li> <li>○ Svářečky</li> </ul>  |
| ZA       | Střední předepnutí               | $0.05 - 0.07 C_{dyn}$ | Požaduje se vysoká přesnost                                 | <ul style="list-style-type: none"> <li>○ Obráběcí centra</li> <li>○ Osa Z u průmyslových strojů</li> <li>○ Elektroerozivní stroje</li> <li>○ Soustruhy NC</li> <li>○ Přesné X-Y stoly</li> <li>○ Měřicí přístroje</li> </ul> |
| ZB       | Vysoké předepnutí                | nad $0.1 C_{dyn}$     | Požaduje se vysoká tuhost a odolnost proti vibracím a rázům | <ul style="list-style-type: none"> <li>○ Obráběcí centra</li> <li>○ Brusky</li> <li>○ Soustruhy NC</li> <li>○ Horizontální a vertikální frézky</li> <li>○ Osa X obráběcích strojů</li> <li>○ Výkonné řezačky</li> </ul>      |

### 3.3.7 Únosnosti a momenty



Tabulka 3.46 Únosnosti a momenty pro řadu CG

| Řada/rozměr | Dynamická únosnost $C_{dyn}$ [N] <sup>1)</sup> | Statická únosnost $C_0$ [N] | Dynamický moment [Nm] |       |       | Statický moment [Nm] |          |          |
|-------------|--|-----------------------------|-----------------------|-------|-------|----------------------|----------|----------|
|             |  |                             | $M_x$                 | $M_y$ | $M_z$ | $M_{0x}$             | $M_{0y}$ | $M_{0z}$ |
| CG_15C      | 14.700   | 19.520                      | 143                   | 105   | 105   | 190                  | 140      | 140      |
| CG_20C      | 23.700   | 30.510                      | 287                   | 218   | 218   | 370                  | 280      | 280      |
| CG_20H      | 28.600   | 39.900                      | 344                   | 344   | 344   | 480                  | 480      | 480      |
| CG_25C      | 34.960   | 43.940                      | 477                   | 390   | 390   | 600                  | 490      | 490      |
| CG_25H      | 40.500   | 54.080                      | 554                   | 546   | 546   | 740                  | 730      | 730      |
| CG_30C      | 46.000   | 55.190                      | 792                   | 583   | 583   | 950                  | 700      | 700      |
| CG_30H      | 58.590   | 78.180                      | 1.011                 | 921   | 921   | 1.350                | 1.230    | 1.230    |
| CG_35C      | 61.170   | 79.300                      | 1.334                 | 841   | 841   | 1.730                | 1.090    | 1.090    |
| CG_35H      | 77.900   | 112.340                     | 1.705                 | 1.400 | 1.400 | 2.460                | 2.020    | 2.020    |
| CG_45C      | 98.430   | 112.660                     | 3.037                 | 2.076 | 2.076 | 3.560                | 2.350    | 2.350    |
| CG_45H      | 125.580  | 159.600                     | 2.893                 | 2.549 | 2.549 | 5.050                | 4.450    | 4.450    |

<sup>1)</sup> Dynamická únosnost pro celkovou ujetou dráhu 50 km

# Lineární vedení

## Řada CG

### 3.3.8 Tuhost

Tuhost závisí na předepnutí. Vzorec F 3.5 lze použít pro výpočet deformace v závislosti na tuhosti.

F 3.7

$$\delta = \frac{P}{k}$$

$\delta$  Deformace [ $\mu\text{m}$ ]  
 $P$  Provozní zatížení [N]  
 $k$  Tuhost [N/ $\mu\text{m}$ ]

Tabulka 3.47 Radiální tuhost pro řadu CG

| Druh zatížení         | Řada/<br>rozměr | Tuhost v závislosti na předepnutí |     |       |
|-----------------------|-----------------|-----------------------------------|-----|-------|
|                       |                 | Z0                                | ZA  | ZB    |
| Vysoké zatížení       | CG_15C          | 240                               | 290 | 330   |
|                       | CG_20C          | 270                               | 420 | 480   |
|                       | CG_25C          | 340                               | 440 | 570   |
|                       | CG_30C          | 440                               | 550 | 760   |
|                       | CG_35C          | 470                               | 610 | 800   |
|                       | CG_45C          | 550                               | 720 | 820   |
| Velmi vysoké zatížení | CG_20H          | 360                               | 470 | 530   |
|                       | CG_25H          | 410                               | 540 | 620   |
|                       | CG_30H          | 490                               | 640 | 730   |
|                       | CG_35H          | 570                               | 730 | 840   |
|                       | CG_45H          | 740                               | 960 | 1.100 |

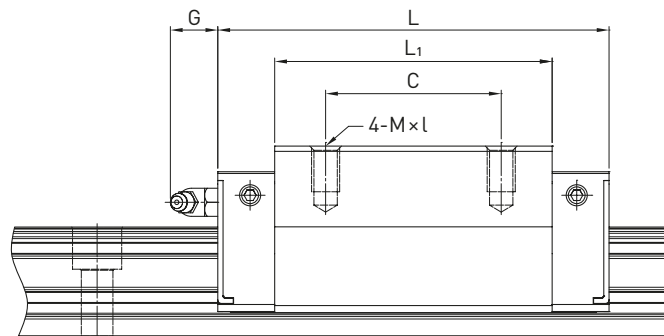
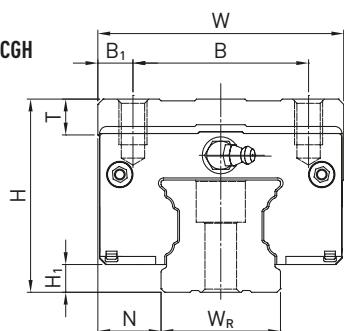
Jednotka: N/ $\mu\text{m}$

# Lineární vedení

## Řada CG

### 3.3.9 Rozměry vozíků CG

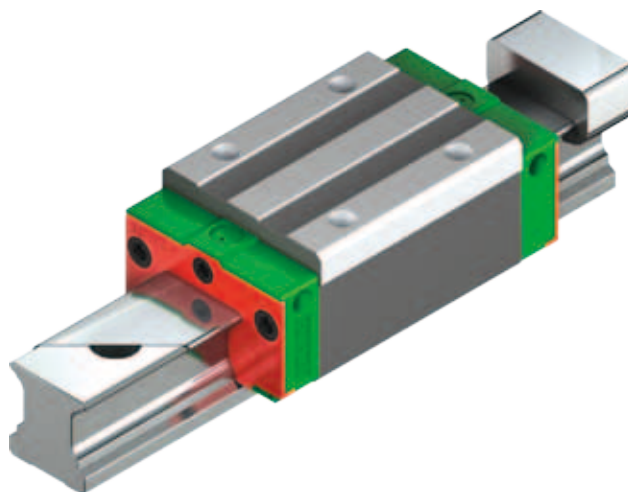
#### 3.3.9.1 CGH



Tabulka 3.48 Rozměry vozíku

| Řada/<br>rozměr | Montážní rozměry<br>[mm] |                |      | Rozměry vozíku [mm] |    |                |    |                |       |                |      |          |      |                |                | Únosnosti [N]    |                | Hmot-<br>nost<br>[kg] |
|-----------------|--------------------------|----------------|------|---------------------|----|----------------|----|----------------|-------|----------------|------|----------|------|----------------|----------------|------------------|----------------|-----------------------|
|                 | H                        | H <sub>1</sub> | N    | W                   | B  | B <sub>1</sub> | C  | L <sub>1</sub> | L     | K <sub>2</sub> | G    | M × l    | T    | H <sub>2</sub> | H <sub>3</sub> | C <sub>dyn</sub> | C <sub>0</sub> |                       |
| CGH15CA         | 28                       | 4.1            | 9.5  | 34                  | 26 | 4.0            | 26 | 39.6           | 58.2  | 4.25           | 6.0  | M4 × 6   | 6.0  | 7.8            | 7.8            | 14.700           | 19.520         | 0.15                  |
| CGH20CA         | 30                       | 4.6            | 12.0 | 44                  | 32 | 6.0            | 36 | 52.5           | 74.9  | 5.50           | 6.0  | M5 × 6   | 8.0  | 3.7            | 3.5            | 23.700           | 30.510         | 0.25                  |
| CGH20HA         |                          |                |      |                     |    |                | 50 | 68.5           | 90.9  |                |      |          |      |                |                | 28.600           | 39.900         |                       |
| CGH25CA         | 40                       | 6.1            | 12.5 | 48                  | 35 | 6.5            | 35 | 61.0           | 84.0  | 5.00           | 12.0 | M6 × 8   | 8.0  | 10.0           | 9.5            | 34.960           | 43.940         | 0.46                  |
| CGH25HA         |                          |                |      |                     |    |                | 50 | 78.4           | 101.4 |                |      |          |      |                |                | 40.500           | 54.080         |                       |
| CGH30CA         | 45                       | 7.0            | 16.0 | 60                  | 40 | 10.0           | 40 | 69.0           | 97.4  | 8.70           | 12.0 | M8 × 10  | 9.5  | 9.7            | 10.0           | 46.000           | 55.190         | 0.71                  |
| CGH30HA         |                          |                |      |                     |    |                | 60 | 91.5           | 119.9 |                |      |          |      |                |                | 58.590           | 78.180         |                       |
| CGH35CA         | 55                       | 7.6            | 18.0 | 70                  | 50 | 10.0           | 50 | 79.0           | 111.4 | 7.00           | 12.0 | M8 × 13  | 10.2 | 16.0           | 14.0           | 61.170           | 79.300         | 1.24                  |
| CGH35HA         |                          |                |      |                     |    |                | 72 | 103.4          | 135.8 |                |      |          |      |                |                | 77.900           | 112.340        |                       |
| CGH45CA         | 70                       | 9.7            | 20.5 | 86                  | 60 | 13.0           | 60 | 97.2           | 137.6 | 8.70           | 12.9 | M10 × 17 | 16.0 | 18.5           | 18.2           | 98.430           | 112.660        | 2.38                  |
| CGH45HA         |                          |                |      |                     |    |                | 80 | 133.6          | 174.0 |                |      |          |      |                |                | 125.580          | 159.600        |                       |

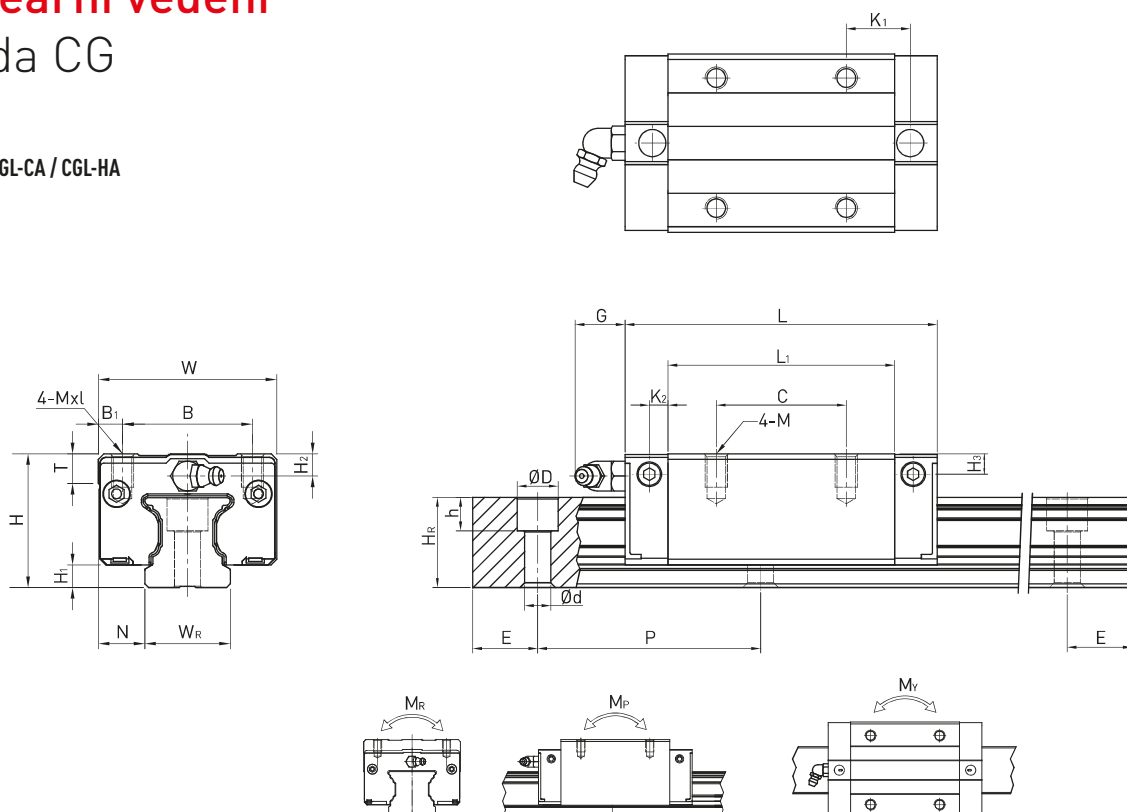
Rozměry kolejnic viz kapitola 3.3.10, standardní a volitelné maznice a adaptéry viz kapitola 4.1



# Lineární vedení

## Řada CG

3.3.9.2 CGL-CA / CGL-HA



Tabulka 3.49 Rozměry vozíku

| Řada/<br>rozměr | Montážní rozměry<br>[mm] |                |      | Rozměry vozíku [mm] |    |                |    |                |       |    |                |                |      |                |                |          |                  | Únosnosti [N]  |      | Hmot-<br>nost<br>[kg] |
|-----------------|--------------------------|----------------|------|---------------------|----|----------------|----|----------------|-------|----|----------------|----------------|------|----------------|----------------|----------|------------------|----------------|------|-----------------------|
|                 | H                        | H <sub>1</sub> | N    | W                   | B  | B <sub>1</sub> | C  | L <sub>1</sub> | L     | G  | K <sub>1</sub> | K <sub>2</sub> | T    | H <sub>2</sub> | H <sub>3</sub> | M × l    | C <sub>dyn</sub> | C <sub>0</sub> |      |                       |
| CGL15CA         | 24                       | 4.1            | 9.5  | 34                  | 26 | 4.0            | 26 | 39.6           | 58.2  | 6  | 6.8            | 4.3            | 6.0  | 3.8            | 3.8            | M4 × 6   | 14.7             | 19.52          | 0.11 |                       |
| CGL25CA         | 36                       | 6.1            | 12.5 | 48                  | 35 | 6.5            | 35 | 61.0           | 84.0  | 13 | 13.0           | 5.0            | 8.0  | 6.0            | 5.5            | M6 × 8   | 34.96            | 43.94          | 0.37 |                       |
| CGL25HA         | 36                       | 6.1            | 12.5 | 48                  | 35 | 6.5            | 50 | 78.4           | 101.4 | 13 | 14.2           | 5.0            | 8.0  | 6.0            | 5.5            | M6 × 8   | 40.5             | 54.08          | 0.47 |                       |
| CGL30CA         | 42                       | 7.0            | 16.0 | 60                  | 40 | 10.0           | 40 | 69.0           | 97.4  | 13 | 14.5           | 8.7            | 9.5  | 6.7            | 7.0            | M8 × 10  | 46.0             | 55.19          | 0.61 |                       |
| CGL30HA         | 42                       | 7.0            | 16.0 | 60                  | 40 | 10.0           | 60 | 91.5           | 119.9 | 13 | 15.75          | 8.7            | 9.5  | 6.7            | 7.0            | M8 × 10  | 58.59            | 78.18          | 0.82 |                       |
| CGL35CA         | 48                       | 7.6            | 18.0 | 70                  | 50 | 10.0           | 50 | 79.0           | 111.4 | 13 | 14.5           | 7.0            | 10.2 | 9.0            | 7.0            | M8 × 13  | 61.17            | 79.3           | 0.93 |                       |
| CGL35HA         | 48                       | 7.6            | 18.0 | 70                  | 50 | 10.0           | 72 | 103.4          | 135.8 | 13 | 15.7           | 7.0            | 10.2 | 9.0            | 7.0            | M8 × 13  | 77.9             | 112.34         | 1.22 |                       |
| CGL45CA         | 60                       | 9.7            | 20.5 | 86                  | 60 | 13.0           | 60 | 97.2           | 137.6 | 13 | 18.6           | 8.7            | 16.0 | 8.5            | 8.2            | M10 × 17 | 98.43            | 112.66         | 1.72 |                       |
| CGL45HA         | 60                       | 9.7            | 20.5 | 86                  | 60 | 13.0           | 80 | 133.6          | 174.0 | 13 | 26.8           | 8.7            | 16.0 | 8.5            | 8.2            | M10 × 17 | 125.58           | 159.6          | 2.39 |                       |

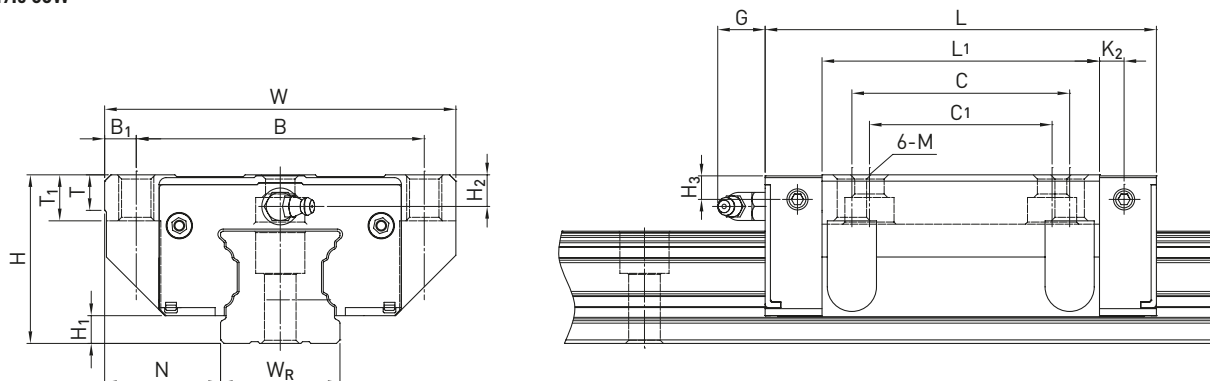
Rozměry kolejnic viz Kapitola 3.3.10, standardní a volitelné maznice a adaptéry viz kapitola 4.1



# Lineární vedení

## Řada CG

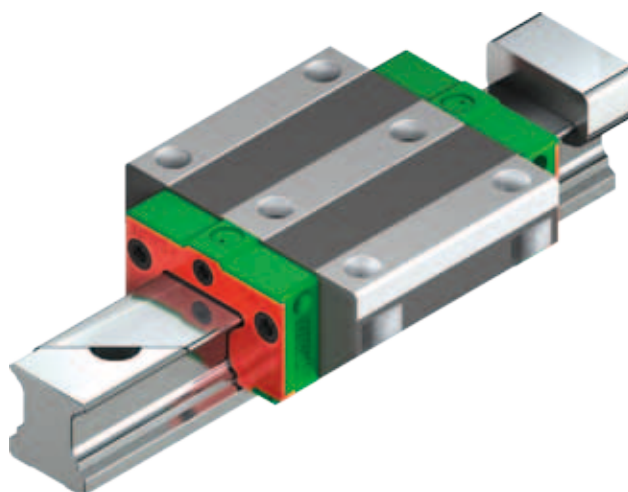
### 3.3.9.3 CGW



Tabulka 3.50 Rozměry vozíku

| Řada/<br>rozměr | Montážní rozměry<br>[mm] |                |      | Rozměry vozíku [mm] |     |                |    |                |                |       |                |      |     |      |                |                |                | Únosnosti [N]    |                | Hmot-<br>nost<br>[kg] |
|-----------------|--------------------------|----------------|------|---------------------|-----|----------------|----|----------------|----------------|-------|----------------|------|-----|------|----------------|----------------|----------------|------------------|----------------|-----------------------|
|                 | H                        | H <sub>1</sub> | N    | W                   | B   | B <sub>1</sub> | C  | C <sub>1</sub> | L <sub>1</sub> | L     | K <sub>2</sub> | G    | M   | T    | T <sub>1</sub> | H <sub>2</sub> | H <sub>3</sub> | C <sub>dyn</sub> | C <sub>0</sub> |                       |
| CGW15CC         | 24                       | 4.1            | 16.0 | 47                  | 38  | 4.5            | 30 | 26             | 39.6           | 58.2  | 4.25           | 6.0  | M5  | 6.0  | 6.5            | 3.8            | 3.8            | 14.700           | 19.520         | 0.14                  |
| CGW20CC         | 30                       | 4.6            | 21.5 | 63                  | 53  | 5.0            | 40 | 35             | 52.5           | 74.9  | 5.50           | 6.0  | M6  | 6.5  | 7.7            | 3.7            | 3.5            | 23.700           | 30.510         | 0.36                  |
| CGW20HC         |                          |                |      |                     |     |                |    |                | 68.5           | 90.9  |                |      |     |      |                |                |                | 28.600           | 39.900         | 0.47                  |
| CGW25CC         | 36                       | 6.1            | 23.5 | 70                  | 57  | 6.5            | 45 | 40             | 61.0           | 84.0  | 5.00           | 12.0 | M8  | 7.0  | 9.3            | 6.0            | 5.5            | 34.960           | 43.940         | 0.53                  |
| CGW25HC         |                          |                |      |                     |     |                |    |                | 78.4           | 101.4 |                |      |     |      |                |                |                | 40.500           | 54.080         | 0.68                  |
| CGW30CC         | 42                       | 7.0            | 31.0 | 90                  | 72  | 9.0            | 52 | 44             | 69.0           | 97.4  | 8.70           | 12.0 | M10 | 10.5 | 12.0           | 6.7            | 7.0            | 46.000           | 55.190         | 0.90                  |
| CGW30HC         |                          |                |      |                     |     |                |    |                | 91.5           | 119.9 |                |      |     |      |                |                |                | 58.590           | 78.180         | 1.19                  |
| CGW35CC         | 48                       | 7.6            | 33.0 | 100                 | 82  | 9.0            | 62 | 52             | 79.0           | 111.4 | 7.00           | 12.0 | M10 | 10.1 | 13.1           | 9.0            | 7.0            | 61.170           | 79.300         | 1.37                  |
| CGW35HC         |                          |                |      |                     |     |                |    |                | 103.4          | 135.8 |                |      |     |      |                |                |                | 77.900           | 112.340        | 1.79                  |
| CGW45CC         | 60                       | 9.7            | 37.5 | 120                 | 100 | 10.0           | 80 | 60             | 97.2           | 137.6 | 8.70           | 12.9 | M12 | 15.1 | 15.0           | 8.5            | 8.1            | 98.430           | 112.660        | 2.45                  |
| CGW45HC         |                          |                |      |                     |     |                |    |                | 133.6          | 174.0 |                |      |     |      |                |                |                | 125.580          | 159.600        | 3.00                  |

Rozměry kolejnic viz Kapitola 3.3.10, standardní a volitelné maznice a adaptéry viz kapitola 4.1

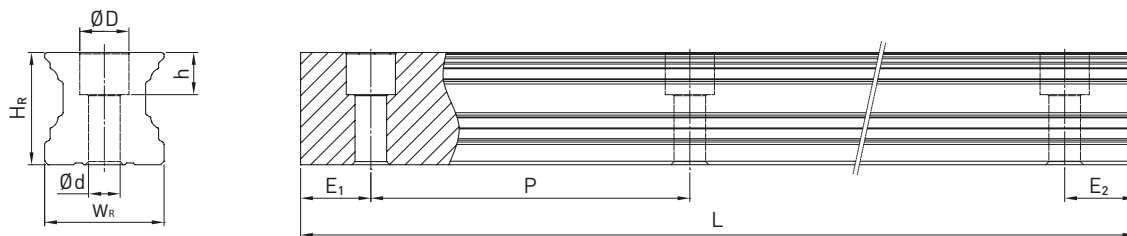


# Lineární vedení

## Řada CG

### 3.3.10 Rozměry kolejnice CGR

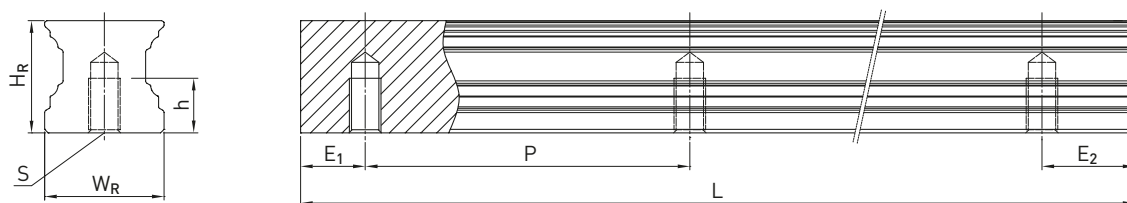
#### 3.3.10.1 Rozměry kolejnice CGR\_R



Tabulka 3.51 Rozměry kolejnice CGR\_R

| Řada/<br>rozměr | Montážní šrouby<br>pro kolejnici [mm] | Rozměry kolejnice [mm] |                |      |      |      |     | Max. délka<br>[mm] | Max. délka<br>E <sub>1</sub> = E <sub>2</sub> [mm] | Min. délka<br>[mm] | E <sub>1/2</sub> min<br>[mm] | E <sub>1/2</sub> max<br>[mm] | Hmotnost<br>[kg/m] |
|-----------------|---------------------------------------|------------------------|----------------|------|------|------|-----|--------------------|--|--------------------|------------------------------|------------------------------|--------------------|
|                 |                                       | W <sub>R</sub>         | H <sub>R</sub> | D    | h    | d    | p   |                    |  |                    |                              |                              |                    |
| CGR15R          | M4 × 20                               | 15                     | 16.2           | 7.5  | 5.3  | 4.5  | 60  | 4.000              | 3.900  | 132                | 6                            | 54                           | 1.58               |
| CGR20R          | M5 × 25                               | 20                     | 20.6           | 9.5  | 8.5  | 6.0  | 60  | 4.000              | 3.900  | 134                | 7                            | 53                           | 2.48               |
| CGR25R          | M6 × 30                               | 23                     | 24.3           | 11.0 | 9.0  | 7.0  | 60  | 4.000              | 3.900  | 136                | 8                            | 52                           | 3.38               |
| CGR30R          | M8 × 35                               | 28                     | 28.4           | 14.0 | 12.4 | 9.0  | 80  | 4.000              | 3.920  | 178                | 9                            | 71                           | 5.10               |
| CGR35R          | M8 × 40                               | 34                     | 31.9           | 14.0 | 12.0 | 9.0  | 80  | 4.000              | 3.920  | 178                | 9                            | 71                           | 7.14               |
| CGR45R          | M12 × 50                              | 45                     | 39.9           | 20.0 | 17.0 | 14.0 | 105 | 4.000              | 3.885  | 234                | 12                           | 93                           | 11.51              |

#### 3.3.10.2 Rozměry kolejnice CGR\_T



Tabulka 3.52 Rozměry kolejnice CGR\_T

| Řada/<br>rozměr | Rozměry kolejnice [mm] |                |     |    |     | Max. délka<br>[mm] | Max. délka<br>E <sub>1</sub> = E <sub>2</sub> [mm] | Min. délka<br>[mm] | E <sub>1/2</sub> min<br>[mm] | E <sub>1/2</sub> max<br>[mm] | Hmotnost<br>[kg/m] |
|-----------------|------------------------|----------------|-----|----|-----|--------------------|--|--------------------|------------------------------|------------------------------|--------------------|
|                 | W <sub>R</sub>         | H <sub>R</sub> | S   | h  | p   |                    |  |                    |                              |                              |                    |
| CGR15T          | 15                     | 16.20          | M5  | 8  | 60  | 4.000              | 3.900  | 132                | 6                            | 54                           | 1.58               |
| CGR20T          | 20                     | 20.55          | M6  | 10 | 60  | 4.000              | 3.900  | 134                | 7                            | 53                           | 2.48               |
| CGR25T          | 23                     | 24.25          | M6  | 12 | 60  | 4.000              | 3.900  | 136                | 8                            | 52                           | 3.38               |
| CGR30T          | 28                     | 28.35          | M8  | 15 | 80  | 4.000              | 3.920  | 178                | 9                            | 71                           | 5.10               |
| CGR35T          | 34                     | 31.85          | M8  | 17 | 80  | 4.000              | 3.920  | 178                | 9                            | 71                           | 7.14               |
| CGR45T          | 45                     | 39.85          | M12 | 24 | 105 | 4.000              | 3.885  | 234                | 12                           | 93                           | 11.51              |

Poznámka:

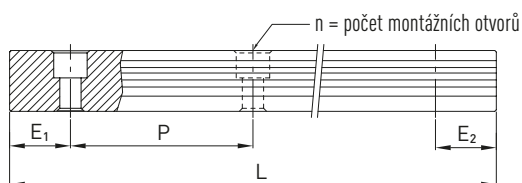
1. Tolerance pro E je +0,5 až -1 mm pro standardní kolejnice a 0 až -0,3 mm pro spoje.
2. Pokud rozměry E<sub>1/2</sub> nejsou uvedeny, bude určen maximální počet montážních otvorů pro minimální rozměr E<sub>1/2</sub>.
3. Kolejnice se zkracují na požadovanou délku. Pokud rozměry E<sub>1/2</sub> nejsou uvedeny, provádí se zkracování symetricky.

# Lineární vedení

## Řada CG

### 3.3.10.3 Výpočet délky kolejnice

Společnost HIWIN nabízí kolejnice v individuálních délkách. Aby nevzniklo riziko nestability konce kolejnice, nesmí hodnota E překročit polovinu vzdálenosti mezi montážními otvory (P). Současně musí hodnota  $E_{1/2}$  být v rozmezí  $E_{1/2}$  min až  $E_{1/2}$  max., aby montážní otvor nepraskl.



F 3.8

$$L = (n - 1) \times P + E_1 + E_2$$

- L Celková délka kolejnice [mm]
- n Počet montážních otvorů
- P Vzdálenost mezi dvěma montážními otvory [mm]
- $E_{1/2}$  Vzdálenost od středu posledního montážního otvoru ke konci kolejnice [mm]

### 3.3.10.4 Utahovací momenty pro montážní šrouby

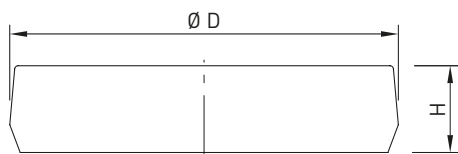
Nedostatečné utahení montážních šroubů významně snižuje přesnost lineárního vedení. Proto se pro příslušné rozměry šroubů doporučují níže uvedené utahovací momenty.

Tabulka 3.53 Utahovací momenty pro montážní šrouby podle normy ISO 4762-12.9

| Řada/rozměr | Rozměr šroubu | Utahovací moment [Nm] | Řada/rozměr | Rozměr šroubu | Utahovací moment [Nm] |
|-------------|---------------|-----------------------|-------------|---------------|-----------------------|
| CG_15       | M4 × 20       | 4                     | CG_30       | M10           | 70                    |
| CG_20       | M5 × 25       | 9                     | CG_35       | M8 × 25       | 30                    |
| CG_25       | M6 × 30       | 13                    | CG_35       | M10           | 70                    |
| CG_30       | M8 × 35       | 30                    | CG_45       | M12 × 35      | 120                   |

### 3.3.10.5 Zátky montážních otvorů kolejnic

Zátky montážních otvorů kolejnic se používají na ochranu otvorů před prachem a úlomky. Kolejnice jsou vybaveny standardními zátkami. Jiné typy zátek se musí objednat zvlášť.



Tabulka 3.54 Zátka montážních otvorů kolejnic

| Kolejnice | Šroub | Označení |       |        | Ø D [mm] | Výška H [mm] |
|-----------|-------|----------|-------|--------|----------|--------------|
|           |       | Plast    | Mosaz | Ocel   |          |              |
| CGR15R    | M4    | C4       | C4-M  | —      | 7.5      | 1.1          |
| CGR20R    | M5    | C5       | C5-M  | C5-ST  | 9.5      | 2.2          |
| CGR25R    | M6    | C6       | C6-M  | C6-ST  | 11.0     | 2.5          |
| CGR30R    | M8    | C8       | C8-M  | C8-ST  | 14.0     | 3.3          |
| CGR35R    | M8    | C8       | C8-M  | C8-ST  | 14.0     | 3.3          |
| CGR45R    | M12   | C12      | C12-M | C12-ST | 20.0     | 4.6          |

# Lineární vedení

## Řada CG

### 3.3.10.6 Upevnění krycího pásku

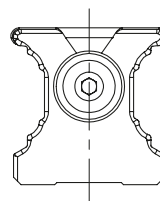
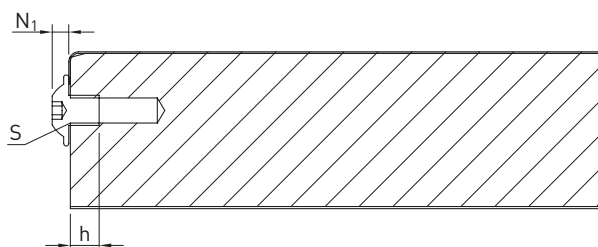
Volitelný krycí pásek může být na kolejnici upevněn buď kovovou svěrkou nebo čelním šroubkem.



Upevnění krycího pásku: kovová svěrka

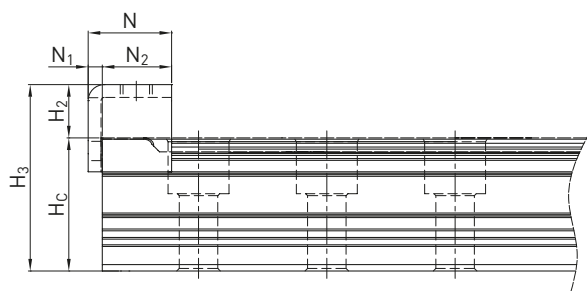
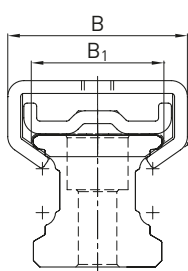


Upevnění krycího pásku: čelní šroubek



Tabulka 3.55 Rozměry upevnění čelním šroubkem

| Řada/velikost | S [mm] | h [mm] | N <sub>1</sub> [mm] |
|---------------|--------|--------|---------------------|
| CG_15         | M3     | 5      | 1.65                |
| CG_20         | M4     | 5      | 2.20                |
| CG_25         | M4     | 5      | 2.20                |
| CG_30         | M4     | 5      | 2.20                |
| CG_35         | M6     | 9      | 3.30                |
| CG_45         | M6     | 9      | 3.30                |



Tabulka 3.56 Rozměry upevnění kovovou svěrkou

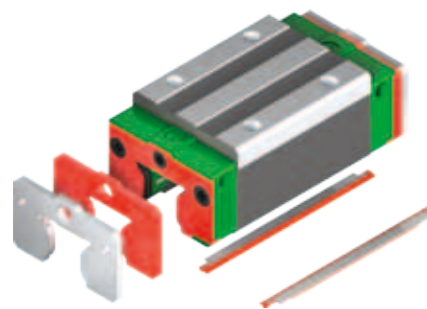
| Řada/velikost | H <sub>3</sub> [mm] | H <sub>c</sub> [mm] | H <sub>2</sub> [mm] | N  | N <sub>1</sub> [mm] | N <sub>2</sub> [mm] | B [mm] | B <sub>1</sub> [mm] |
|---------------|---------------------|---------------------|---------------------|----|---------------------|---------------------|--------|---------------------|
| CG_15         | 20.09               | 16.70               | 3.9                 | 15 | 2.2                 | 12.8                | 21.0   | 15.8                |
| CG_20         | 29.05               | 20.75               | 8.3                 | 13 | 2.2                 | 10.8                | 28.0   | 20.7                |
| CG_25         | 34.42               | 24.45               | 10.0                | 15 | 2.2                 | 12.8                | 30.6   | 23.9                |
| CG_30         | 37.80               | 28.55               | 9.3                 | 12 | 2.2                 | 9.8                 | 34.0   | 28.9                |
| CG_35         | 43.20               | 30.40               | 13.0                | 18 | 2.2                 | 15.8                | 35.4   | 34.8                |
| CG_45         | 52.66               | 39.85               | 13.7                | 18 | 2.2                 | 15.8                | 53.6   | 45.6                |

# Lineární vedení

## Řada CG

### 3.3.11 Těsnící systémy

Pro vedení HIWIN jsou k dispozici různé těsnící systémy. Jejich přehled najdete v Kapitole 2.9. Tabulka níže obsahuje celkové délky vozíků s různými těsnícími systémy. Pro uvedené rozměry jsou k odpovídající těsnící systémy k dispozici.



Tabulka 3.57 Celková délka vozíku s různými těsnícími systémy

| Řada/<br>rozměr | Celková délka L |       |       |       |
|-----------------|-----------------|-------|-------|-------|
|                 | SS              | ZZ    | SW    | ZW    |
| CG15C           | 58.2            | 61.2  | 63.2  | 66.2  |
| CG20C           | 74.9            | 77.9  | 79.9  | 82.9  |
| CG20H           | 90.9            | 93.9  | 95.9  | 98.9  |
| CG25C           | 84.0            | 90.0  | 89.0  | 95.0  |
| CG25H           | 101.4           | 107.4 | 106.4 | 112.4 |
| CG30C           | 97.4            | 103.4 | 102.8 | 108.8 |
| CG30H           | 119.9           | 125.9 | 125.3 | 131.3 |
| CG35C           | 111.4           | 117.4 | 116.8 | 122.8 |
| CG35H           | 135.8           | 141.8 | 141.2 | 147.2 |
| CG45C           | 137.6           | 143.6 | 143.0 | 149.0 |
| CG45H           | 172.3           | 178.3 | 177.7 | 183.7 |

Jednotka: mm

# Lineární vedení

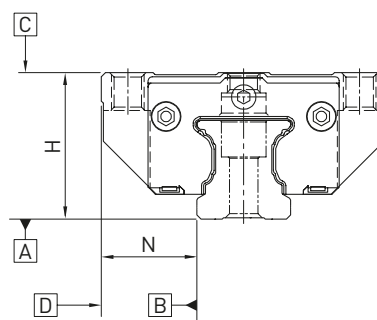
## Řada CG

### 3.3.12 Tolerance v závislosti na třídě přesnosti

Lineární vedení řady CG je rozděleno do pěti tříd přesnosti podle rovnoběžnosti mezi vozíkem a kolejnici a přesnosti rozměrů H a N. Volba třídy přesnosti je dána požadavky na přesnost stroje.

#### 3.3.12.1 Rovnoběžnost

Rovnoběžnost dorazových ploch kolejnice B a vozíku D a rovnoběžnost horní plochy vozíku C vůči montážní ploše kolejnice A. Předpokládá se ideální montáž lineárního vedení a měření ve středu vozíku.



Tabulka 3.58 Tolerance rovnoběžnosti vozíku vůči kolejnici

| Délka kolejnice [mm] | Třída přesnosti |    |    |    |    |
|----------------------|-----------------|----|----|----|----|
|                      | C               | H  | P  | SP | UP |
| - 100                | 12              | 7  | 3  | 2  | 2  |
| 100 - 200            | 14              | 9  | 4  | 2  | 2  |
| 200 - 300            | 15              | 10 | 5  | 3  | 2  |
| 300 - 500            | 17              | 12 | 6  | 3  | 2  |
| 500 - 700            | 20              | 13 | 7  | 4  | 2  |
| 700 - 900            | 22              | 15 | 8  | 5  | 3  |
| 900 - 1100           | 24              | 16 | 9  | 6  | 3  |
| 1100 - 1500          | 26              | 18 | 11 | 7  | 4  |
| 1500 - 1900          | 28              | 20 | 13 | 8  | 4  |
| 1900 - 2500          | 31              | 22 | 15 | 10 | 5  |
| 2500 - 3100          | 33              | 25 | 18 | 11 | 6  |
| 3100 - 3600          | 36              | 27 | 20 | 14 | 7  |
| 3600 - 4000          | 37              | 28 | 21 | 15 | 7  |

Jednotka:  $\mu\text{m}$

# Lineární vedení

## Řada CG

### 3.3.12.2 Přesnost – výška a šířka

#### Tolerance výšky H

Tolerance výšky H měřené od středu plochy vozíku C po spodní stranu kolejnice A s vozíkem na libovolné pozici na kolejnici.

#### Rozptyl hodnot výšky H

Povolený rozptyl hodnot výšky H mezi jednotlivými vozíky na jedné kolejnici měřeno ve stejné poloze na kolejnici.

#### Tolerance šířky N

Tolerance šířky N, měřeno mezi středem dorazové plochy vozíku D a referenční hranou kolejnice B na libovolné pozici na kolejnici.

#### Rozptyl hodnot šířky N

Povolený rozptyl hodnot šířky N mezi jednotlivými vozíky na jedné kolejnici měřeno ve stejné poloze na kolejnici.

Tabulka 3.59 Tolerance výšky a šířky u nezaměnitelných typů

| Řada/rozměr   | Třída přesnosti   | Tolerance výšky H | Tolerance šířky N | Rozptyl hodnot výšky H | Rozptyl hodnot šířky N |
|---------------|-------------------|-------------------|-------------------|------------------------|------------------------|
| CG_15, 20     | C (Normální)      | ± 0.1             | ± 0.1             | 0.02                   | 0.02                   |
|               | H (Vysoká)        | ± 0.03            | ± 0.03            | 0.01                   | 0.01                   |
|               | P (Přesná)        | 0<br>- 0.03       | 0<br>- 0.03       | 0.006                  | 0.006                  |
|               | SP (Super přesná) | 0<br>- 0.015      | 0<br>- 0.015      | 0.004                  | 0.004                  |
|               | UP (Ultra přesná) | 0<br>- 0.008      | 0<br>- 0.008      | 0.003                  | 0.003                  |
| CG_25, 30, 35 | C (Normální)      | ± 0.1             | ± 0.1             | 0.02                   | 0.03                   |
|               | H (Vysoká)        | ± 0.04            | ± 0.04            | 0.015                  | 0.015                  |
|               | P (Přesná)        | 0<br>- 0.04       | 0<br>- 0.04       | 0.007                  | 0.007                  |
|               | SP (Super přesná) | 0<br>- 0.02       | 0<br>- 0.02       | 0.005                  | 0.005                  |
|               | UP (Ultra přesná) | 0<br>- 0.01       | 0<br>- 0.01       | 0.003                  | 0.003                  |
| CG_45         | C (Normální)      | ± 0.1             | ± 0.1             | 0.03                   | 0.03                   |
|               | H (Vysoká)        | ± 0.05            | ± 0.05            | 0.015                  | 0.02                   |
|               | P (Přesná)        | 0<br>- 0.05       | 0<br>- 0.05       | 0.007                  | 0.01                   |
|               | SP (Super přesná) | 0<br>- 0.03       | 0<br>- 0.03       | 0.005                  | 0.007                  |
|               | UP (Ultra přesná) | 0<br>- 0.02       | 0<br>- 0.02       | 0.003                  | 0.005                  |

Jednotka: mm

Tabulka 3.60 Tolerance výšky a šířky u zaměnitelných typů

| Řada/rozměr   | Třída přesnosti | Tolerance výšky H | Tolerance šířky N | Rozptyl hodnot výšky H | Rozptyl hodnot šířky N |
|---------------|-----------------|-------------------|-------------------|------------------------|------------------------|
| CG_15, 20     | C (Normální)    | ± 0.1             | ± 0.1             | 0.02                   | 0.02                   |
|               | H (Vysoká)      | ± 0.03            | ± 0.03            | 0.01                   | 0.01                   |
|               | P (Přesná)      | ± 0.015           | ± 0.015           | 0.006                  | 0.006                  |
| CG_25, 30, 35 | C (Normální)    | ± 0.1             | ± 0.1             | 0.02                   | 0.03                   |
|               | H (Vysoká)      | ± 0.04            | ± 0.04            | 0.015                  | 0.015                  |
|               | P (Přesná)      | ± 0.02            | ± 0.02            | 0.007                  | 0.007                  |
| CG_45         | C (Normální)    | ± 0.1             | ± 0.1             | 0.03                   | 0.03                   |
|               | H (Vysoká)      | ± 0.05            | ± 0.05            | 0.015                  | 0.02                   |
|               | P (Přesná)      | ± 0.025           | ± 0.025           | 0.007                  | 0.01                   |

Jednotka: mm

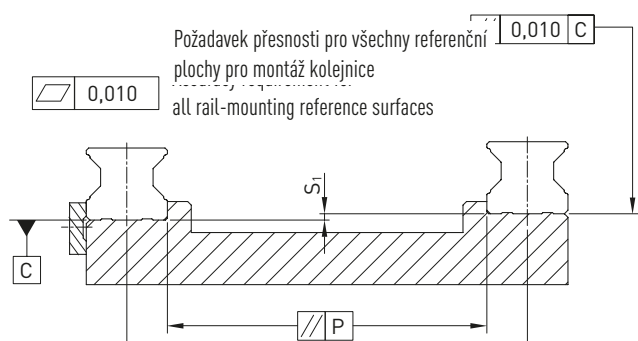
# Lineární vedení

## Řada CG

### 3.3.12.3 Povolené nepřesnosti montážních ploch

Splnění požadavků na přesnost montážních ploch umožní dosáhnout plných hodnot přesnosti, tuhosti a životnosti lineárních vedení řady CG.

#### Rovnoběžnost referenční plochy (P)



Tabulka 3.61 Maximální tolerance rovnoběžnosti (P)

| Řada/rozměr | Třída předepnutí |    |    |
|-------------|------------------|----|----|
|             | Z0               | ZA | ZB |
| CG_15       | 9                | 5  | 4  |
| CG_20       | 11               | 7  | 5  |
| CG_25       | 12               | 8  | 6  |
| CG_30       | 14               | 9  | 7  |
| CG_35       | 15               | 11 | 8  |
| CG_45       | 19               | 12 | 10 |

Jednotka: μm

#### Tolerance výšky referenční plochy (S<sub>1</sub>)

F 3.9

$$S_1 = a \times K - T_H$$

- S<sub>1</sub> Max. tolerance výšky [mm]
- a Vzdálenost mezi kolejnici [mm]
- K Koefficient tolerance výšky
- T<sub>H</sub> Tolerance výšky H podle tabulky 3.55 a tabulky 3.56

Tabulka 3.62 Koefficient tolerance výšky (K)

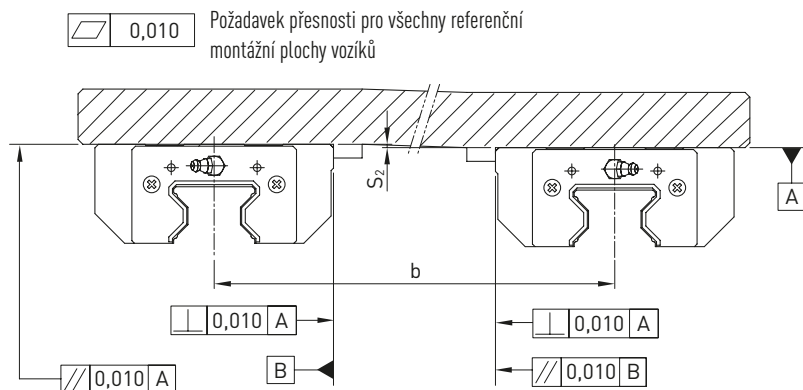
| Řada/rozměr   | Třída předepnutí       |                        |                        |
|---------------|------------------------|------------------------|------------------------|
|               | Z0                     | ZA                     | ZB                     |
| CG_15 – CG_45 | 2.8 × 10 <sup>-4</sup> | 1.7 × 10 <sup>-4</sup> | 1.2 × 10 <sup>-4</sup> |

# Lineární vedení

## Řada CG

### Tolerance výšky montážní plochy vozíku

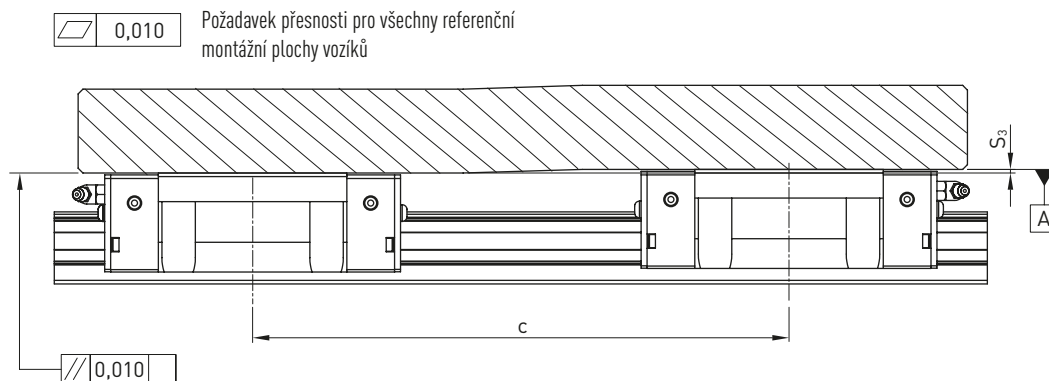
- Tolerance výšky referenční plochy při paralelním použití dvou nebo více vozíků ( $S_2$ )



**F 3.10**  $S_2 = b \times K$

$S_2$  Max. tolerance výšky [mm]  
 $b$  Vzdálenost mezi vozíky [mm]  
 $K$  Koefficient tolerance výšky

- Tolerance výšky referenční plochy při současném použití dvou a více vozíků ( $S_3$ )



**F 3.11**  $S_3 = c \times K$

$S_3$  Max. tolerance výšky [mm]  
 $c$  Vzdálenost mezi vozíky [mm]  
 $K$  Koefficient tolerance výšky

Tabulka 3.63 Koefficient tolerance výšky (K)

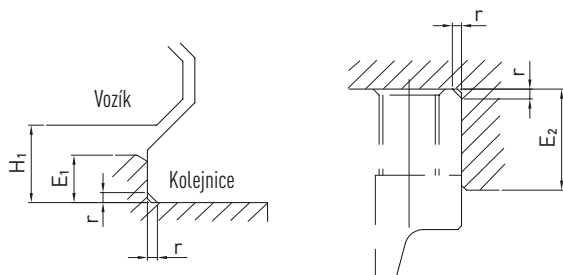
| Řada/rozměr   | Třída zatížení       |                      |
|---------------|----------------------|----------------------|
|               | CG_C                 | CG_H                 |
| CG_15 – CG_45 | $4.2 \times 10^{-5}$ | $3.0 \times 10^{-5}$ |

# Lineární vedení

## Řada CG

### 3.3.13 Výška osazení a drážky

Nepřesnosti ve výšce osazení a drážkách montážních ploch ovlivňují přesnost a mohou vést ke kolizím mezi profilem vozíku a kolejnice. Pro zamezení problémů při montáži je nutno dodržovat následující výšky osazení a koncových profilů.



Tabulka 3.64 Výška osazení a drážky

| Řada/rozměr | Max. poloměr hrany r | Výška osazení referenční hrany kolejnice $E_1$ | Výška osazení referenční hrany vozíku $E_2$ | Světlá výška pod vozíkem $H_1$ |
|-------------|----------------------|--|---|--------------------------------|
| CG_15       | 0.5                  | 3.0  | 4.0   | 4.1                            |
| CG_20       | 0.5                  | 3.5  | 5.0   | 4.6                            |
| CG_25       | 1.0                  | 5.0  | 5.0   | 6.1                            |
| CG_30       | 1.0                  | 5.0  | 5.0   | 7.0                            |
| CG_35       | 1.0                  | 6.0  | 6.0   | 7.6                            |
| CG_45       | 1.0                  | 8.0  | 8.0   | 9.7                            |

Jednotka: mm

# Řada WE/QW

Široká kolejnice a nízká zástavbová výška řady WE (standard) a QW (s technologií SynchMotion™) umožňuje kompaktní provedení a vysoké momentové zatížení.

# 01

[WWW.HIWIN.CZ](http://WWW.HIWIN.CZ)

# Lineární vedení

## Řada WE/QW

### 3.4 Řada WE/QW

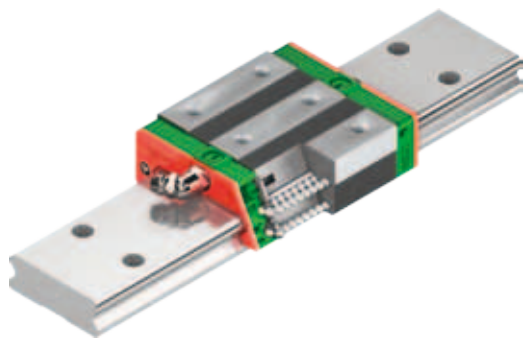
#### 3.4.1 Vlastnosti lineárního vedení, řada WE a QW

Lineární vedení HIWIN řady WE je založeno na prověřené technologii HIWIN. Široká kolejnice a nízká instalační výška umožňují kompaktní konstrukci a snáší vysoké momentové zatížení.

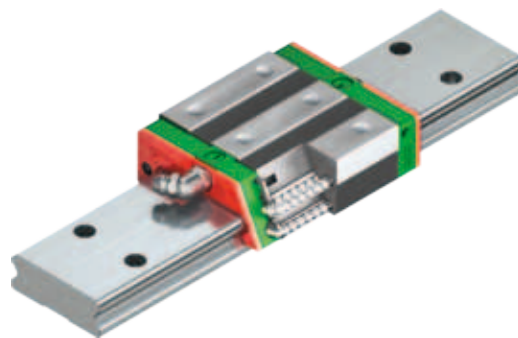
#### 3.4.2 Konstrukce řady WE/QW

- Čtyřřadé kuličkové vedení
- Dotykový úhel 45°
- Přídržné lišty brání kuličkám ve vypadnutí při demontáži
- Nízká instalační výška
- Široké lineární vedení snese vysoké momentové zatížení
- Velká montážní plocha na vozíku
- Technologie SynchMotion™ (řada QW)

Vozíky řady QW s technologií SynchMotion™ poskytují veškeré výhody standardní řady WE. Řízený pohyb kuliček o definovanou vzdálenost zlepšuje synchronizaci, zvyšuje spolehlivost posuvu i při vyšších rychlostech, prodlužuje mazací intervaly a snižuje hlučnost chodu. Připojovací rozměry vozíků QW jsou totožné s rozměry vozíků WE, nasazují se na standardní kolejnice WER a lze je proto snadno vyměnit.



Konstrukce řady WE



Konstrukce řady QW

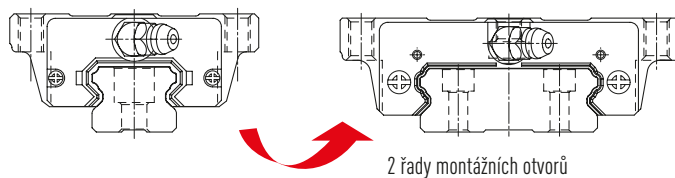
#### Výhody:

- Kompaktní a nenákladné provedení, které snese vysoké momentové zatížení
- Vysoká účinnost díky nízkým třecím ztrátám

#### Další výhody provedení QW:

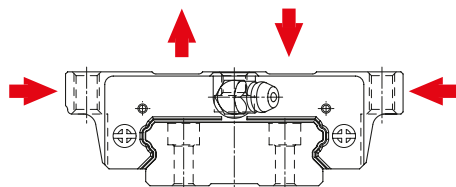
- Lepší synchronizace pohybu kuliček
- Optimalizováno pro vyšší rychlosti
- Prodloužené mazací intervaly
- Snižená hlučnost
- Vyšší dynamická únosnost

O 50% širší než standardní řada



2 řady montážních otvorů

- Velká montážní plocha vozíku podporuje přenos vysokých momentových zatížení
- Uspořádání řad kuliček v úhlu 45° vůči sobě umožňuje vysoká zatížení ze všech směrů



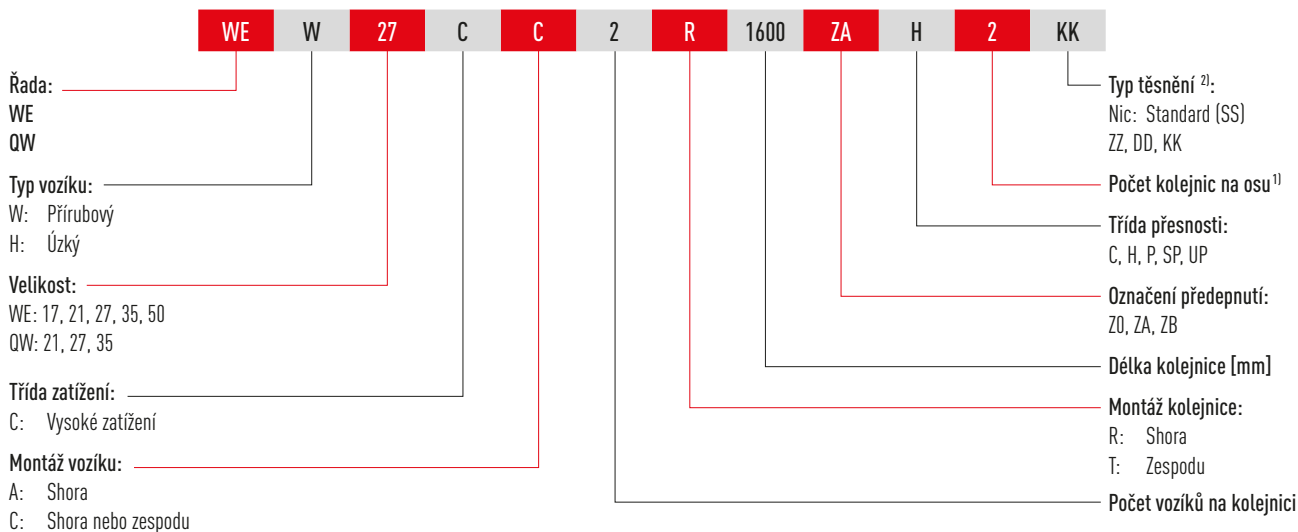
# Lineární vedení

## Řada WE/QW

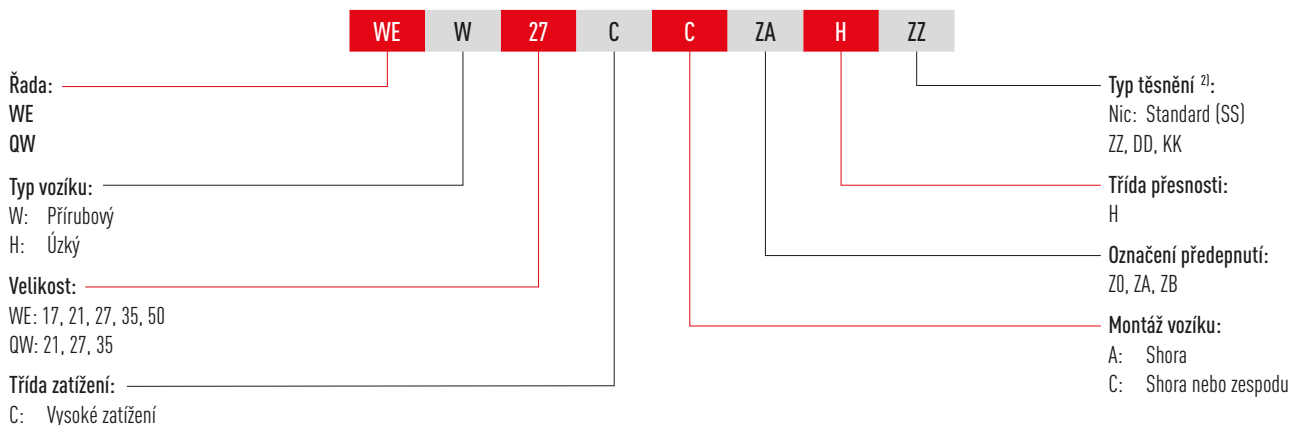
### 3.4.3 Objednací kódy pro řadu WE/QW

V případě lineárního vedení WE/QW se rozlišuje mezi lineárním systémem a nesmontovaným provedením. Rozměry obou typů jsou stejné. Hlavní rozdíl je v tom, že vozík a kolejnice nesmontovaného provedení mohou být libovolně zaměňovány. Vozík a kolejnici lze objednat samostatně a smontovat si je může zákazník.

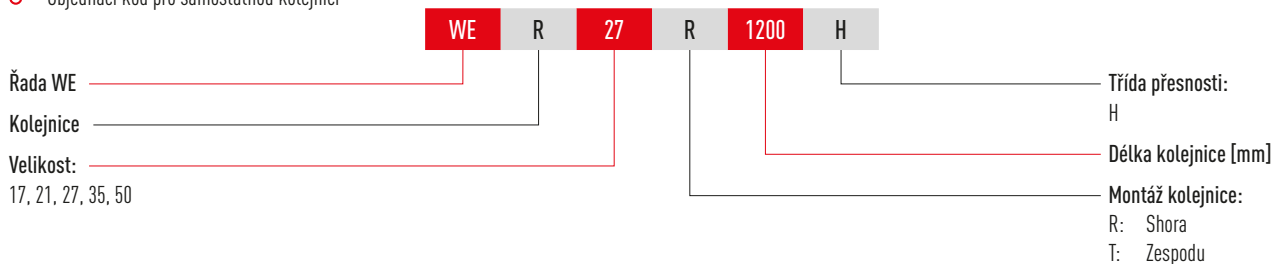
- Objednací kód pro lineární systém (vozík namontovaný na kolejnici)



- Objednací kód pro samostatný vozík



- Objednací kód pro samostatnou kolejnici



Poznámka:

<sup>1)</sup> Číslo 2 ukazuje také množství, tj. jedna položka výše zmíněného výrobku obsahuje dvojici kolejnic. Vícetřílné kolejnice se standardně dodávají se stupňovitými bodovými spoji.

<sup>2)</sup> Přehled jednotlivých systémů těsnění je uveden v kapitole 2.9

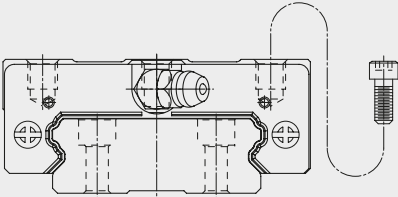
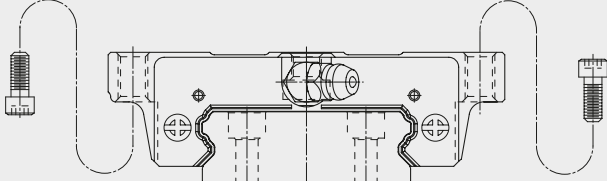
# Lineární vedení

## Řada WE/QW

### 3.4.4 Typ vozíku

Společnost HIWIN nabízí pro lineární vedení úzké a přírubové vozíky. Přírubové vozíky jsou díky své nízké výšce a větší montážní ploše vhodnější pro větší zatížení.

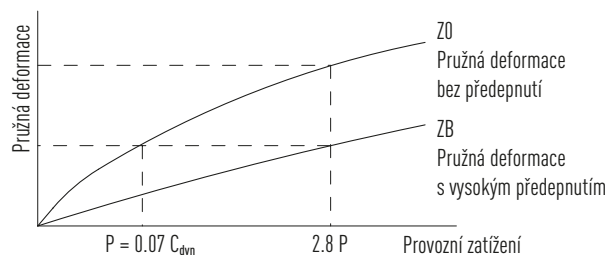
Tabulka 3.65 Typ vozíku

| Provedení       | Typ              | Konstrukce   | Výška [mm] | Typické použití   |
|-----------------|------------------|--|------------|---|
| Úzký vozík      | WEH-CA<br>QWH-CA |   | 17 – 50    | <ul style="list-style-type: none"> <li>○ Automatizace</li> <li>○ Manipulace</li> <li>○ Měřicí a testovací přístroje</li> <li>○ Polovodiče</li> <li>○ Vstřikolisy</li> <li>○ Lineární osy</li> </ul> |
| Přírubový vozík | WEW-CC<br>QWW-CC |  |            |   |

### 3.4.5 Předepnutí

#### Definice

Každý vozík lze předepnout kuličkami. Křivka ukazuje, jak se při vyšším předepnutí tuhost zdvojnásobuje. Řada WE se dodává ve třech standardních třídách předepnutí pro různé použití a podmínky.



#### Označení předepnutí

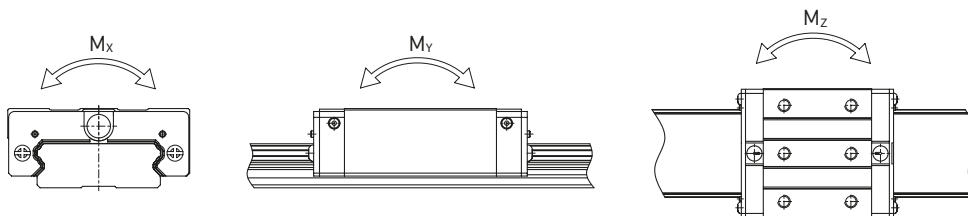
Tabulka 3.66 Označení předepnutí

| Označení | Předepnutí                       |                       | Použití   | Příklady použití   |
|----------|----------------------------------|-----------------------|---|--|
| Z0       | Lehké předepnutí (vymezená vůle) | $0 - 0.02 C_{dyn}$    | Stálý směr zatížení, malé rázy, stačí nižší přesnost        | <ul style="list-style-type: none"> <li>○ Dopravní prostředky</li> <li>○ Automatické balicí stroje</li> <li>○ Osa X-Y u průmyslových strojů</li> <li>○ Svářečky</li> </ul>  |
| ZA       | Střední předepnutí               | $0.03 - 0.05 C_{dyn}$ | Požaduje se vysoká přesnost                                 | <ul style="list-style-type: none"> <li>○ Obráběcí centra</li> <li>○ Osa Z u průmyslových strojů</li> <li>○ Elektroerozivní stroje</li> <li>○ Soustruhy NC</li> <li>○ Přesné X-Y stoly</li> <li>○ Měřicí přístroje</li> </ul> |
| ZB       | Vysoké předepnutí                | $0.06 - 0.08 C_{dyn}$ | Požaduje se vysoká tuhost a odolnost proti vibracím a rázům | <ul style="list-style-type: none"> <li>○ Obráběcí centra</li> <li>○ Brusky</li> <li>○ Soustruhy NC</li> <li>○ Horizontální a vertikální frézky</li> <li>○ Osa X obráběcích strojů</li> <li>○ Výkonné rezačky</li> </ul>      |

# Lineární vedení

## Řada WE/QW

### 3.4.6 Únosnosti a momenty



Tabulka 3.67 Únosnosti a momenty pro řadu WE/QW

| Řada/<br>rozměr | Dynamická únosnost<br>$C_{dyn}$ [N] <sup>1)</sup> | Statická únosnost<br>$C_0$ [N] | Dynamický moment [Nm] |       |       | Statický moment [Nm] |          |          |
|-----------------|---|--------------------------------|-----------------------|-------|-------|----------------------|----------|----------|
|                 |   |                                | $M_x$                 | $M_y$ | $M_z$ | $M_{0x}$             | $M_{0y}$ | $M_{0z}$ |
| WE_17C          | 5,230   | 9,640                          | 82                    | 34    | 34    | 150                  | 62       | 62       |
| WE_21C          | 7,210   | 13,700                         | 122                   | 53    | 53    | 230                  | 100      | 100      |
| QW_21C          | 9,000   | 12,100                         | 156                   | 67    | 67    | 210                  | 90       | 90       |
| WE_27C          | 12,400  | 21,600                         | 242                   | 98    | 98    | 420                  | 170      | 170      |
| QW_27C          | 16,000  | 22,200                         | 303                   | 144   | 144   | 420                  | 200      | 200      |
| WE_35C          | 29,800  | 49,400                         | 893                   | 405   | 405   | 1,480                | 670      | 670      |
| QW_35C          | 36,800  | 49,200                         | 1,129                 | 486   | 486   | 1,510                | 650      | 650      |
| WE_50C          | 61,520  | 97,000                         | 2,556                 | 1,244 | 1,244 | 4,030                | 1,960    | 1,960    |

<sup>1)</sup> Dynamická únosnost pro celkovou ujetou dráhu 50 km

### 3.4.7 Tuhost

Tuhost závisí na předepnutí. Vzorec F 3.5 se používá pro výpočet deformace v závislosti na tuhosti.

F 3.12

$$\delta = \frac{P}{k}$$

- $\delta$  Deformace [ $\mu\text{m}$ ]
- $P$  Provozní zatížení [N]
- $k$  Tuhost [N/ $\mu\text{m}$ ]

Tabulka 3.68 Radiální tuhost pro řadu WE/QW

| Druh zatížení   | Řada/<br>rozměr | Tuhost v závislosti na předepnutí |     |     |
|-----------------|-----------------|-----------------------------------|-----|-----|
|                 |                 | Z0                                | ZA  | ZB  |
| Vysoké zatížení | WE_17C          | 128                               | 166 | 189 |
|                 | WE_21C          | 154                               | 199 | 228 |
|                 | QW_21C          | 140                               | 176 | 200 |
|                 | WE_27C          | 187                               | 242 | 276 |
|                 | QW_27C          | 183                               | 229 | 260 |
|                 | WE_35C          | 281                               | 364 | 416 |
|                 | QW_35C          | 277                               | 348 | 395 |
|                 | WE_50C          | 428                               | 554 | 633 |

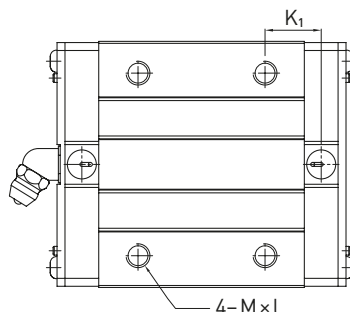
Jednotka: N/ $\mu\text{m}$

# Lineární vedení

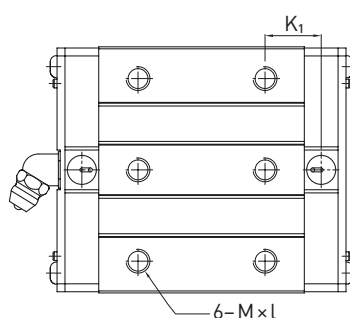
## Řada WE/QW

### 3.4.8 Rozměry vozíků WE/QW

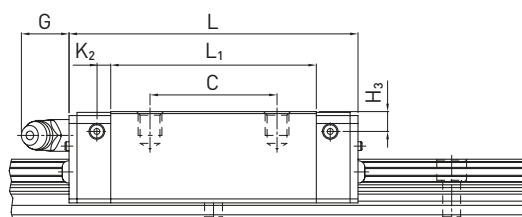
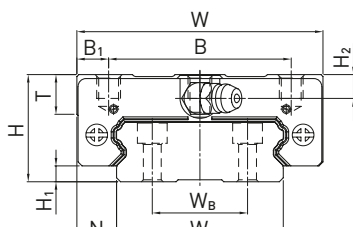
#### 3.4.8.1 WEH/QWH



WEH17  
WEH/QWH21



WEH/QWH27  
WEH/QWH35  
WEH50



Tabulka 3.69 Rozměry vozíku

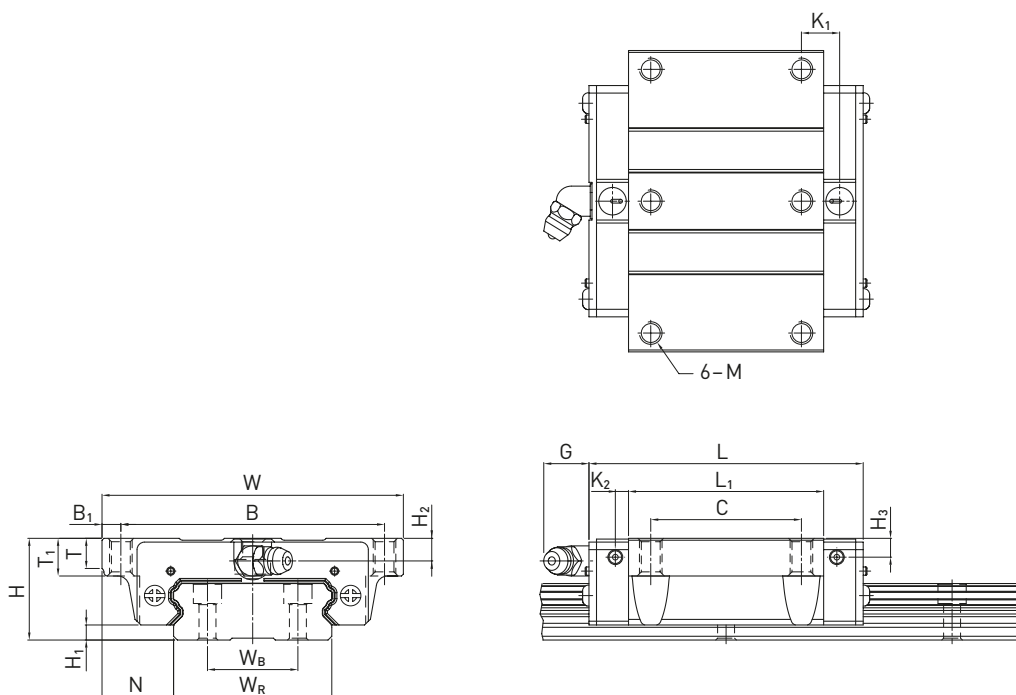
| Řada/<br>rozměr | Montážní rozměry<br>[mm] |                |      | Rozměry vozíku [mm] |     |                |    |                |       |                |                |      |          |      |                |                |                  | Únosnosti [N]  |      | Hmot-<br>nost<br>[kg] |
|-----------------|--------------------------|----------------|------|---------------------|-----|----------------|----|----------------|-------|----------------|----------------|------|----------|------|----------------|----------------|------------------|----------------|------|-----------------------|
|                 | H                        | H <sub>1</sub> | N    | W                   | B   | B <sub>1</sub> | C  | L <sub>1</sub> | L     | K <sub>1</sub> | K <sub>2</sub> | G    | M × l    | T    | H <sub>2</sub> | H <sub>3</sub> | C <sub>dyn</sub> | C <sub>0</sub> |      |                       |
| WEH17CA         | 17                       | 2.5            | 8.5  | 50                  | 29  | 10.5           | 15 | 35.0           | 50.6  | —              | 3.10           | 4.9  | M4 × 5   | 6.0  | 4.0            | 3.0            | 5,230            | 9,640          | 0.12 |                       |
| WEH21CA         | 21                       | 3.0            | 8.5  | 54                  | 31  | 11.5           | 19 | 41.7           | 59.0  | 14.68          | 3.65           | 12.0 | M5 × 6   | 8.0  | 4.5            | 4.2            | 7,210            | 13,700         | 0.20 |                       |
| QWH21CA         | 21                       | 3.0            | 8.5  | 54                  | 31  | 11.5           | 19 | 41.7           | 59.0  | 14.68          | 3.65           | 12.0 | M5 × 6   | 8.0  | 4.5            | 4.2            | 9,000            | 12,100         | 0.20 |                       |
| WEH27CA         | 27                       | 4.0            | 10.0 | 62                  | 46  | 8.0            | 32 | 51.8           | 72.8  | 14.15          | 3.50           | 12.0 | M6 × 6   | 10.0 | 6.0            | 5.0            | 12,400           | 21,600         | 0.35 |                       |
| QWH27CA         | 27                       | 4.0            | 10.0 | 62                  | 46  | 8.0            | 32 | 56.6           | 73.2  | 15.45          | 3.15           | 12.0 | M6 × 6   | 10.0 | 6.0            | 5.0            | 16,000           | 22,200         | 0.35 |                       |
| WEH35CA         | 35                       | 4.0            | 15.5 | 100                 | 76  | 12.0           | 50 | 77.6           | 102.6 | 18.35          | 5.25           | 12.0 | M8 × 8   | 13.0 | 8.0            | 6.5            | 29,800           | 49,400         | 1.10 |                       |
| QWH35CA         | 35                       | 4.0            | 15.5 | 100                 | 76  | 12.0           | 50 | 73.0           | 107.0 | 21.5           | 5.50           | 12.0 | M8 × 8   | 13.0 | 8.0            | 6.5            | 36,800           | 49,200         | 1.10 |                       |
| WEH50CA         | 50                       | 7.5            | 20.0 | 130                 | 100 | 15.0           | 65 | 112.0          | 140.0 | 28.05          | 6.00           | 12.9 | M10 × 15 | 19.5 | 12.0           | 10.5           | 61,520           | 97,000         | 3.16 |                       |

Rozměry kolejniče viz Kapitola 3.4.9, standardní a volitelné maznice a adaptéry viz Kapitola 4.1.

# Lineární vedení

## Řada WE/QW

### 3.4.8.2 WEW



Tabulka 3.70 Rozměry vozíku

| Řada/<br>rozměr | Montážní rozměry<br>[mm] |                |      | Rozměry vozíku [mm] |     |                |    |                |       |                |                |      |     |      |                |                |                | Únosnosti [N]    |                | Hmot-<br>nost<br>[kg] |
|-----------------|--------------------------|----------------|------|---------------------|-----|----------------|----|----------------|-------|----------------|----------------|------|-----|------|----------------|----------------|----------------|------------------|----------------|-----------------------|
|                 | H                        | H <sub>1</sub> | N    | W                   | B   | B <sub>1</sub> | C  | L <sub>1</sub> | L     | K <sub>1</sub> | K <sub>2</sub> | G    | M   | T    | T <sub>1</sub> | H <sub>2</sub> | H <sub>3</sub> | C <sub>dyn</sub> | C <sub>0</sub> |                       |
| WEW17CC         | 17                       | 2.5            | 13.5 | 60                  | 53  | 3.5            | 26 | 35.0           | 50.6  | —              | 3.10           | 4.9  | M4  | 5.3  | 6              | 4.0            | 3.0            | 5,230            | 9,640          | 0.13                  |
| WEW21CC         | 21                       | 3.0            | 15.5 | 68                  | 60  | 4.0            | 29 | 41.7           | 59.0  | 9.68           | 3.65           | 12.0 | M5  | 7.3  | 8              | 4.5            | 4.2            | 7,210            | 13,700         | 0.23                  |
| QWW21CC         | 21                       | 3.0            | 15.5 | 68                  | 60  | 4.0            | 29 | 41.7           | 59.0  | 9.68           | 3.65           | 12.0 | M5  | 7.3  | 8              | 4.5            | 4.2            | 9,000            | 12,100         | 0.23                  |
| WEW27CC         | 27                       | 4.0            | 19.0 | 80                  | 70  | 5.0            | 40 | 51.8           | 72.8  | 10.15          | 3.50           | 12.0 | M6  | 8.0  | 10             | 6.0            | 5.0            | 12,400           | 21,600         | 0.43                  |
| QWW27CC         | 27                       | 4.0            | 19.0 | 80                  | 70  | 5.0            | 40 | 56.6           | 73.2  | 15.45          | 3.15           | 12.0 | M6  | 8.0  | 10             | 6.0            | 5.0            | 16,000           | 22,200         | 0.43                  |
| WEW35CC         | 35                       | 4.0            | 25.5 | 120                 | 107 | 6.5            | 60 | 77.6           | 102.6 | 13.35          | 5.25           | 12.0 | M8  | 11.2 | 14             | 8.0            | 6.5            | 29,800           | 49,400         | 1.26                  |
| QWW35CC         | 35                       | 4.0            | 25.5 | 120                 | 107 | 6.5            | 60 | 83.0           | 107.0 | 21.50          | 5.50           | 12.0 | M8  | 11.2 | 14             | 8.0            | 6.5            | 36,800           | 49,200         | 1.26                  |
| WEW50CC         | 50                       | 7.5            | 36.0 | 162                 | 144 | 9.0            | 80 | 112.0          | 140.0 | 20.55          | 6.00           | 12.9 | M10 | 14.0 | 18             | 12.0           | 10.5           | 61,520           | 97,000         | 3.71                  |

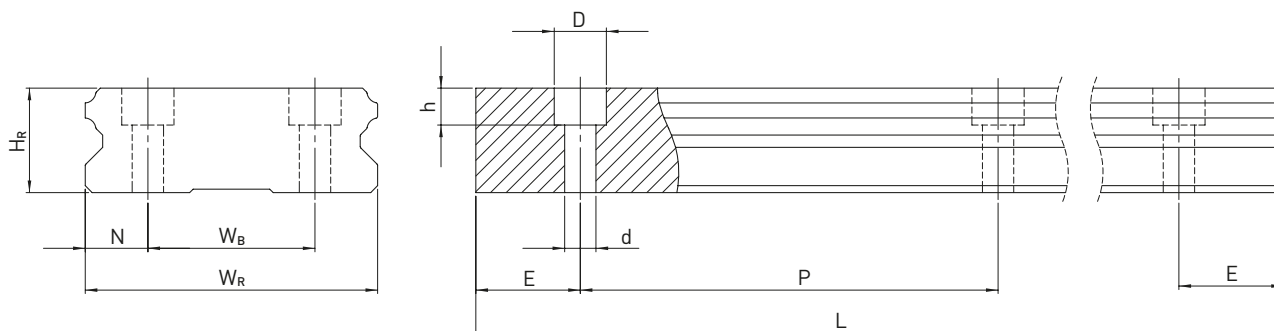
Rozměry kolejnice viz Kapitola 3.4.9, standardní a volitelné maznice a adaptéry viz Kapitola 4.1.

# Lineární vedení

## Řada WE/QW

### 3.4.9 Rozměry kolejnice WER

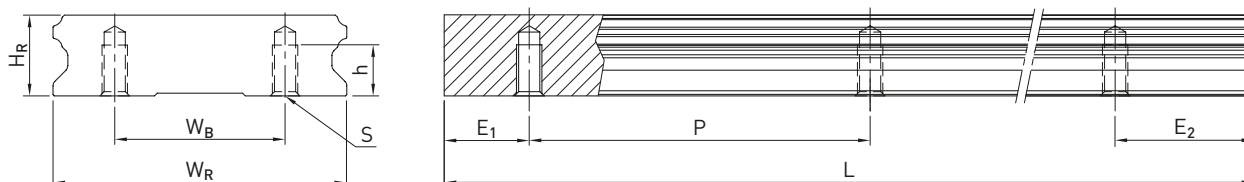
#### 3.4.9.1 Rozměry WER\_R



Tabulka 3.71 Rozměry kolejnice WER\_R

| Řada/<br>rozměr | Montážní šrouby<br>pro kolejnice [mm] | Rozměry kolejnice [mm] |       |       |      |      |     |    | Max. délka<br>[mm] | Max. délka $E_1 = E_2$<br>[mm] | Min. délka<br>[mm] | $E_{1/2}$ min<br>[mm] | $E_{1/2}$ max<br>[mm] | Hmotnost<br>[kg/m] |
|-----------------|---------------------------------------|------------------------|-------|-------|------|------|-----|----|--------------------|--------------------------------|--------------------|-----------------------|-----------------------|--------------------|
|                 |                                       | $W_R$                  | $W_B$ | $H_R$ | D    | h    | d   | P  |                    |                                |                    |                       |                       |                    |
| WER17R          | M4 × 12                               | 33                     | 18    | 9.3   | 7.5  | 5.3  | 4.5 | 40 | 4.000              | 3960                           | 92                 | 6                     | 34                    | 2.2                |
| WER21R          | M4 × 16                               | 37                     | 22    | 11.0  | 7.5  | 5.3  | 4.5 | 50 | 4.000              | 3950                           | 112                | 6                     | 44                    | 3.0                |
| WER27R          | M4 × 20                               | 42                     | 24    | 15.0  | 7.5  | 5.3  | 4.5 | 60 | 4.000              | 3900                           | 132                | 6                     | 54                    | 4.7                |
| WER35R          | M6 × 25                               | 69                     | 40    | 19.0  | 11.0 | 9.0  | 7.0 | 80 | 4.000              | 3920                           | 176                | 8                     | 72                    | 9.7                |
| WER50R          | M8 × 30                               | 90                     | 60    | 24.0  | 14.0 | 12.0 | 9.0 | 80 | 4.000              | 3920                           | 178                | 9                     | 71                    | 14.6               |

#### 3.4.9.2 Rozměry WER\_T



Tabulka 3.72 Rozměry kolejnice WER\_T

| Řada/<br>rozměr | Rozměry kolejnice [mm] |       |       |    |      |    | Max. délka<br>[mm] | Max. délka $E_1 = E_2$<br>[mm] | Min. délka<br>[mm] | $E_{1/2}$ min<br>[mm] | $E_{1/2}$ max<br>[mm] | Hmotnost<br>[kg/m] |
|-----------------|------------------------|-------|-------|----|------|----|--------------------|--------------------------------|--------------------|-----------------------|-----------------------|--------------------|
|                 | $W_R$                  | $W_B$ | $H_R$ | S  | h    | P  |                    |                                |                    |                       |                       |                    |
| WER21T          | 37                     | 22    | 11    | M4 | 7.0  | 50 | 4.000              | 3.950                          | 112                | 6                     | 44                    | 3.0                |
| WER27T          | 42                     | 24    | 15    | M5 | 7.5  | 60 | 4.000              | 3.900                          | 132                | 6                     | 54                    | 4.7                |
| WER35T          | 69                     | 40    | 19    | M6 | 12.0 | 80 | 4.000              | 3.920                          | 176                | 8                     | 72                    | 9.7                |

Poznámka:

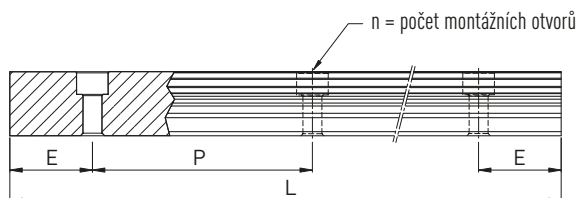
1. Tolerance pro E je +0,5 až -1 mm pro standardní kolejnice a 0 až -0,3 mm pro spoje.
2. Rozměry  $E_{1/2}$  nejsou uvedeny, bude určen maximální počet montážních otvorů pro minimální rozměr  $E_{1/2}$ .
3. Kolejnice se zkracují na požadovanou délku. Pokud rozměry  $E_{1/2}$  nejsou uvedeny, provádí se zkracování symetricky.

# Lineární vedení

## Řada WE/QW

### 3.4.9.3 Výpočet délky kolejničky

Společnost HIWIN nabízí kolejničky v individuálních délkách. Aby nevzniklo riziko nestability konce kolejničky, nesmí hodnota E překročit polovinu vzdálenosti mezi montážními otvory (P). Současně musí hodnota  $E_{1/2}$  být v rozmezí  $E_{1/2}$  min až  $E_{1/2}$  max., aby montážní otvor nepraskl.



#### F 3.13

$$L = (n - 1) \times P + E_1 + E_2$$

- L Celková délka kolejničky [mm]
- n Počet montážních otvorů
- P Vzdálenost mezi dvěma montážními otvory [mm]
- $E_{1/2}$  Vzdálenost od středu posledního montážního otvoru ke konci kolejničky [mm]

### 3.4.9.4 Utahovací momenty pro montážní šrouby

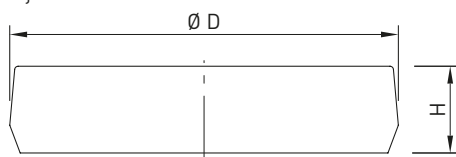
Nedostatečné utahení montážních šroubů významně snižuje přesnost lineárního vedení. Proto se pro příslušné rozměry šroubů doporučují níže uvedené utahovací momenty.

Tabulka 3.73 Utahovací momenty pro montážní šrouby podle normy ISO 4762-12.9

| Řada/rozměr | Rozměr šroubu | Utahovací moment [Nm] | Řada/rozměr | Rozměr šroubu | Utahovací moment [Nm] |
|-------------|---------------|-----------------------|-------------|---------------|-----------------------|
| WE_17       | M4 × 12       | 4                     | WE/QW_35    | M6 × 25       | 13                    |
| WE/QW_21    | M4 × 16       | 4                     | WE_50       | M8 × 30       | 30                    |
| WE/QW_27    | M4 × 20       | 4                     |             |               |                       |

### 3.4.9.5 Zátky montážních otvorů kolejniček

Zátky montážních otvorů kolejniček se používají na ochranu otvorů před prachem a úlomky. Kolejničky jsou vybaveny standardními zátkami. Jiné typy zátek se musí objednat zvlášť.



Tabulka 3.74 Zátky montážních otvorů kolejniček

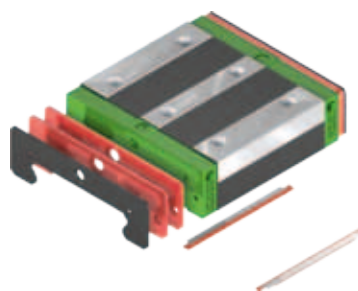
| Kolejnička | Šroub | Označení |       |       | Ø D [mm] | Výška H [mm] |
|------------|-------|----------|-------|-------|----------|--------------|
|            |       | Plast    | Mosaz | Ocel  |          |              |
| WER17R     | M4    | C4       | C4-M  | —     | 7.5      | 1.1          |
| WER21R     | M4    | C4       | C4-M  | —     | 7.5      | 1.1          |
| WER27R     | M4    | C4       | C4-M  | —     | 7.5      | 1.1          |
| WER35R     | M6    | C6       | C6-M  | C6-ST | 11.0     | 2.5          |
| WER50R     | M8    | C8       | C8-M  | C8-ST | 14.0     | 3.3          |

# Lineární vedení

## Řada WE/QW

### 3.4.10 Těsnící systémy

Pro vedení HIWIN jsou k dispozici různé těsnící systémy. Jejich přehled najdete v Kapitole 2.9. Tabulka níže obsahuje celkové délky vozíků s různými těsnícími systémy. Pro uvedené rozměry jsou odpovídající těsnící systémy k dispozici.



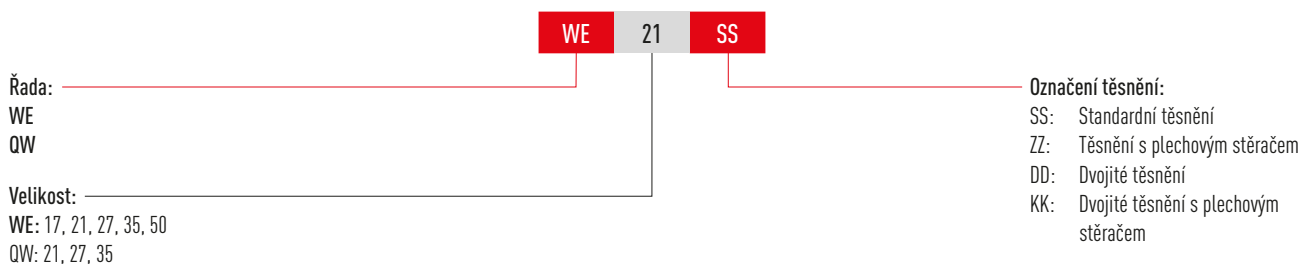
Tabulka 3.75 Celková délka vozíku s různými těsnícími systémy

| Řada/<br>rozměr | Celková délka L |       |       |       |
|-----------------|-----------------|-------|-------|-------|
|                 | SS              | DD    | ZZ    | KK    |
| WE_17C          | 50.6            | 53.8  | 52.6  | 55.8  |
| WE/QW_21C       | 59.0            | 63.0  | 61.0  | 65.0  |
| WE/QW_27C       | 72.8            | 76.8  | 74.8  | 78.8  |
| WE/QW_35C       | 102.6           | 106.6 | 105.6 | 109.6 |
| WE_50C          | 140.0           | 145.0 | 142.0 | 147.0 |

Jednotka: mm

### 3.4.11 Označení sad těsnění

Sady těsnění se vždy dodávají s montážním materiálem.



### 3.4.12 Tření

Tabulka ukazuje maximální třecí odpor jednotlivých koncových těsnění. Podle typu těsnění (SS, DD, ZZ, KK) se tyto hodnoty mohou násobit. Uvedené hodnoty se vztahují na vozíky na kolejnicích bez povtlaku. V případě povtlakování je tření vyšší.

Tabulka 3.76 Třecí odpor těsnění s jedním břitem

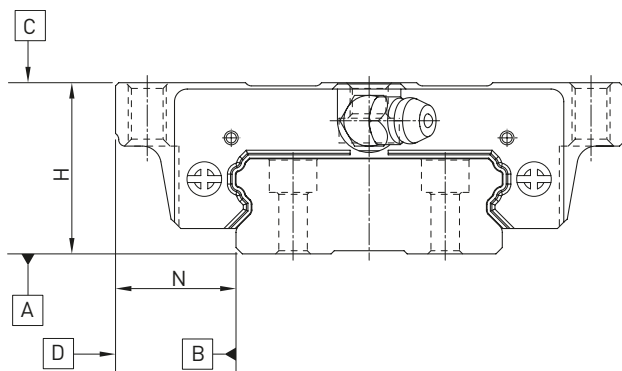
| Řada/rozměr | Třecí síla [N] | Řada/rozměr | Třecí síla [N] |
|-------------|----------------|-------------|----------------|
| WE_17       | 1,2            | WE/QW_35    | 3,9            |
| WE/QW_21    | 2,0            | WE_50       | 3,9            |
| WE/QW_27    | 2,9            |             |                |

## Lineární vedení

### Řada WE/QW

#### 3.4.13 Tolerance v závislosti na třídě přesnosti

Lineární vedení řady WE a QW je rozděleno do pěti tříd přesnosti podle rovnoběžnosti mezi vozíkem a kolejnicí a přesnosti rozměrů H a N. Volba třídy přesnosti je dána požadavky na přesnost stroje.



#### 3.4.14 Rovnoběžnost

Rovnoběžnost dorazových ploch kolejnice B a vozíku D a rovnoběžnost horní plochy vozíku C vůči montážní ploše kolejnice A. Předpokládá se ideální montáž a měření ve středu vozíku.

Tabulka 3.77 Tolerance rovnoběžnosti vozíku vůči kolejnici

| Délka kolejnice [mm] | Třída přesnosti |    |    |    |    |
|----------------------|-----------------|----|----|----|----|
|                      | C               | H  | P  | SP | UP |
| - 100                | 12              | 7  | 3  | 2  | 2  |
| 100 - 200            | 14              | 9  | 4  | 2  | 2  |
| 200 - 300            | 15              | 10 | 5  | 3  | 2  |
| 300 - 500            | 17              | 12 | 6  | 3  | 2  |
| 500 - 700            | 20              | 13 | 7  | 4  | 2  |
| 700 - 900            | 22              | 15 | 8  | 5  | 3  |
| 900 - 1100           | 24              | 16 | 9  | 6  | 3  |
| 1100 - 1500          | 26              | 18 | 11 | 7  | 4  |
| 1500 - 1900          | 28              | 20 | 13 | 8  | 4  |
| 1900 - 2500          | 31              | 22 | 15 | 10 | 5  |
| 2500 - 3100          | 33              | 25 | 18 | 11 | 6  |
| 3100 - 3600          | 36              | 27 | 20 | 14 | 7  |
| 3600 - 4000          | 37              | 28 | 21 | 15 | 7  |

Jednotka:  $\mu\text{m}$

# Lineární vedení

## Řada WE/QW

### 3.4.14.1 Přesnost – výška a šířka

#### Výška tolerance H

Tolerance výšky H měřené od středu plochy vozíku C po spodní stranu kolejnice A s vozíkem na libovolné poloze na kolejnici.

#### Rozptyl hodnot výšky H

Povolený rozptyl hodnot výšky H mezi jednotlivými vozíky na jedné kolejnici měřeno ve stejné poloze na kolejnici.

#### Tolerance šířky N

Tolerance šířky N, měřeno mezi středy dotazové plochy vozíku D a referenční hranou kolejnice B na libovolné poloze na kolejnici.

#### Rozptyl hodnot šířky N

Povolený rozptyl hodnot šířky N mezi jednotlivými vozíky na jedné kolejnici měřeno ve stejné poloze na kolejnici.

Tabulka 3.78 Tolerance výšky a šířky u nezaměnitelných typů

| Řada/rozměr            | Třída přesnosti   | Tolerance výšky H | Tolerance šířky N | Rozptyl hodnot výšky H | Rozptyl hodnot šířky N |
|------------------------|-------------------|-------------------|-------------------|------------------------|------------------------|
| WE_17, 21<br>QW_21     | C (Normální)      | ± 0.1             | ± 0.1             | 0.02                   | 0.02                   |
|                        | H (Vysoká)        | ± 0.03            | ± 0.03            | 0.01                   | 0.01                   |
|                        | P (Přesná)        | 0<br>- 0.03       | 0<br>- 0.03       | 0.006                  | 0.006                  |
|                        | SP (Super přesná) | 0<br>- 0.015      | 0<br>- 0.015      | 0.004                  | 0.004                  |
|                        | UP (Ultra přesná) | 0<br>- 0.008      | 0<br>- 0.008      | 0.003                  | 0.003                  |
| WE_27, 35<br>QW_27, 35 | C (Normální)      | ± 0.1             | ± 0.1             | 0.02                   | 0.03                   |
|                        | H (Vysoká)        | ± 0.04            | ± 0.04            | 0.015                  | 0.015                  |
|                        | P (Přesná)        | 0<br>- 0.04       | 0<br>- 0.04       | 0.007                  | 0.007                  |
|                        | SP (Super přesná) | 0<br>- 0.02       | 0<br>- 0.02       | 0.005                  | 0.005                  |
|                        | UP (Ultra přesná) | 0<br>- 0.01       | 0<br>- 0.01       | 0.003                  | 0.003                  |
| WE_50                  | C (Normální)      | ± 0.1             | ± 0.1             | 0.03                   | 0.03                   |
|                        | H (Vysoká)        | ± 0.05            | ± 0.05            | 0.02                   | 0.02                   |
|                        | P (Přesná)        | 0<br>- 0.05       | 0<br>- 0.05       | 0.01                   | 0.01                   |
|                        | SP (Super přesná) | 0<br>- 0.03       | 0<br>- 0.03       | 0.01                   | 0.01                   |
|                        | UP (Ultra přesná) | 0<br>- 0.02       | 0<br>- 0.02       | 0.01                   | 0.01                   |

Jednotka: mm

Tabulka 3.79 Tolerance výšky a šířky u zaměnitelných typů

| Řada/rozměr            | Třída přesnosti | Tolerance výšky H | Tolerance šířky N | Rozptyl hodnot výšky H | Rozptyl hodnot šířky N |
|------------------------|-----------------|-------------------|-------------------|------------------------|------------------------|
| WE_17, 21<br>QW_21     | C (Normální)    | ± 0.1             | ± 0.1             | 0.02                   | 0.02                   |
|                        | H (Vysoká)      | ± 0.03            | ± 0.03            | 0.01                   | 0.01                   |
|                        | P (Přesná)      | ± 0.015           | ± 0.015           | 0.006                  | 0.006                  |
| WE_27, 35<br>QW_27, 35 | C (Normální)    | ± 0.1             | ± 0.1             | 0.02                   | 0.03                   |
|                        | H (Vysoká)      | ± 0.04            | ± 0.04            | 0.015                  | 0.015                  |
|                        | P (Přesná)      | ± 0.02            | ± 0.02            | 0.007                  | 0.007                  |
| WE_50                  | C (Normální)    | ± 0.1             | ± 0.1             | 0.03                   | 0.03                   |
|                        | H (Vysoká)      | ± 0.05            | ± 0.05            | 0.015                  | 0.02                   |
|                        | P (Přesná)      | ± 0.025           | ± 0.025           | 0.007                  | 0.01                   |

Jednotka: mm

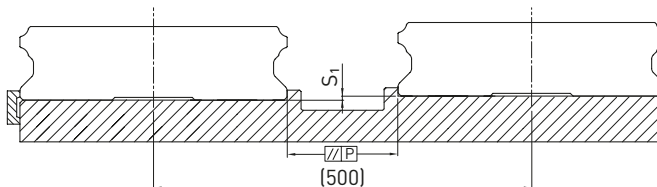
# Lineární vedení

## Řada WE/QW

### 3.4.14.2 Povolené nepřesnosti montážních ploch

Splnění požadavků na přesnost montážních ploch umožní dosáhnout plných hodnot přesnosti, tuhosti a životnosti lineárních vedení řady WE.

#### Rovnoběžnost referenční plochy (P):



Tabulka 3.80 Maximální tolerance rovnoběžnosti (P)

| Řada/rozměr | Třída předepnutí |    |    |
|-------------|------------------|----|----|
|             | Z0               | ZA | ZB |
| WE_17       | 20               | 15 | 9  |
| WE/QW_21    | 25               | 18 | 9  |
| WE/QW_27    | 25               | 20 | 13 |
| WE/QW_35    | 30               | 22 | 20 |
| WE_50       | 40               | 30 | 27 |

Jednotka: μm

#### F.3.14

$$S_1 = a \times K$$

- S<sub>1</sub> Max. výšková tolerance [mm]
- a Vzdálenost mezi kolejnicemi [mm]
- K Koefficient tolerance výšky

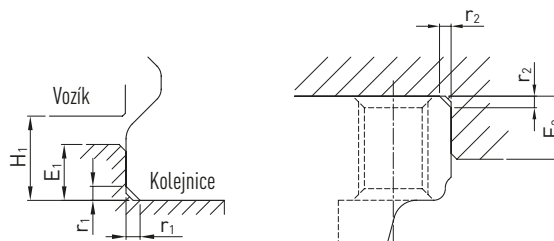
Tabulka 3.81 Koefficient tolerance výšky (K)

| Řada/rozměr | Třída předepnutí  |                      |                      |
|-------------|---|----------------------|----------------------|
|             | Z0  | ZA                   | ZB                   |
| WE_17       | $1.3 \times 10^{-4}$  | $0.4 \times 10^{-4}$ | —                    |
| WE/QW_21    | $2.6 \times 10^{-4}$  | $1.7 \times 10^{-4}$ | $0.9 \times 10^{-4}$ |
| WE/QW_27    | $2.6 \times 10^{-4}$  | $1.7 \times 10^{-4}$ | $0.9 \times 10^{-4}$ |
| WE/QW_35    | $2.6 \times 10^{-4}$ </td <td><math>1.7 \times 10^{-4}</math></td> <td><math>1.4 \times 10^{-4}</math></td> | $1.7 \times 10^{-4}$ | $1.4 \times 10^{-4}$ |
| WE_50       | $3.4 \times 10^{-4}$  | $2.2 \times 10^{-4}$ | $1.8 \times 10^{-4}$ |

Jednotka: mm

### 3.4.15 Výška osazení a drážky

Nepřesnosti ve výšce osazení a drážkách montážních ploch ovlivňují přesnost a mohou vést ke kolizím mezi profilem vozíku a kolejnicí. Pro zamezení problémům při montáži je nutno dodržovat následující výšky osazení a koncových profilů.



Tabulka 3.82 Výška osazení a drážky

| Řada/rozměr | Max. poloměr hrany r <sub>1</sub> | Max. poloměr hrany r <sub>2</sub> | Výška osazení referenční hrany kolejnice E <sub>1</sub> | Výška osazení referenční hrany vozíku E <sub>2</sub> | Světlá výška pod vozíkem H <sub>1</sub> |
|-------------|-----------------------------------|-----------------------------------|---|--|---|
| WE_17       | 0.4                               | 0.4                               | 2.0   | 4.0  | 2.5                                     |
| WE/QW_21    | 0.4                               | 0.4                               | 2.5   | 5.0  | 3.0                                     |
| WE/QW_27    | 0.5                               | 0.4                               | 3.0   | 7.0  | 4.0                                     |
| WE/QW_35    | 0.5                               | 0.5                               | 3.5   | 10.0   | 4.0                                     |
| WE_50       | 0.8                               | 0.8                               | 6.0   | 10.0   | 7.5                                     |

Jednotka: mm

# Řada MG

Miniaturní lineární vedení řady MG je díky svým rozměrům a nízké hmotnosti vhodné pro malá zařízení.

# 01

[WWW.HIWIN.CZ](http://WWW.HIWIN.CZ)

# Lineární vedení

## Řada MG

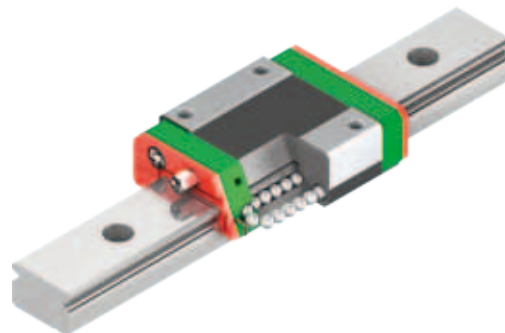
### 3.5 Řada MG

#### 3.5.1 Vlastnosti lineárního vedení, řada MGN

Lineární vedení HIWIN řady MGN vychází z ověřené technologie HIWIN. Gotický profil vodící kuličkové dráhy pohlcuje síly ze všech směrů, je zvláště pevný a zajišťuje vysokou přesnost. Kompaktní provedení s nízkou hmotností je zvláště vhodné pro malá zařízení.

#### 3.5.2 Konstrukce řady MGN

- 2-řadé kuličkové lineární vedení
- Gotický profil kuličkové dráhy
- Vozík a kuličky z nerezové oceli
- Kolejnice z nerezové oceli
- Kompaktní provedení s nízkou hmotností
- Ocelové kuličky jsou ve vozíku zajištěny drátem
- Maznice je k dispozici pro typ MGN15
- Koncové těsnění
- Spodní těsnění (volitelné provedení pro rozměry 12 a 15)
- Zaměnitelné typy jsou k dispozici ve stanovených třídách přesnosti



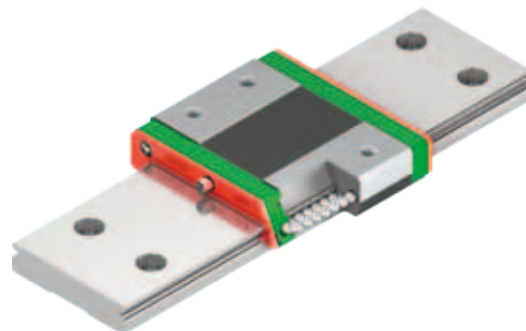
Konstrukce řady MGN

#### 3.5.3 Vlastnosti lineárního vedení, řada MGW

Lineární vedení HIWIN řady MGW vychází z ověřené technologie HIWIN. Gotický profil vodící kuličkové dráhy pohlcuje síly ze všech směrů, je zvláště pevný a zajišťuje vysokou přesnost. Řada MGW se vyznačuje širšími kolejnicemi než řada MGN a dokáže tak absorbovat zvláště vysoké momentové zatížení.

#### 3.5.4 Konstrukce řady MGW

- 2-řadé kuličkové lineární vedení
- Gotický oblouk kontaktní plochy
- Vozík a kuličky z nerezové oceli
- Kolejnice z nerezové oceli
- Kompaktní provedení s nízkou hmotností
- Ocelové kuličky jsou v vozíku zajištěny drátem
- Maznice je k dispozici pro typ MGW15
- Koncové těsnění
- Spodní těsnění (volitelné provedení pro rozměry 12 a 15)
- Zaměnitelné typy jsou k dispozici ve stanovených třídách přesnosti



Konstrukce řady MGW

#### 3.5.5 Použití řada MG

Řady MGN a MGW se používají v mnoha různých odvětvích, například při výrobě polovodičů, osazování plošných spojů, v lékařských přístrojích, v robotech, v měřicích přístrojích, kancelářské automatizaci a v dalších sektorech, kde je potřeba lineární vedení malých rozměrů.

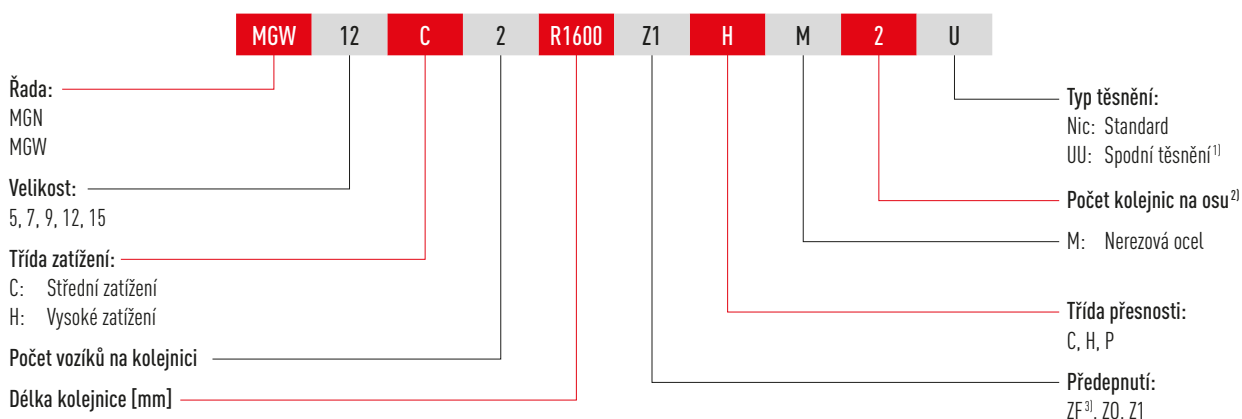
# Lineární vedení

## Řada MG

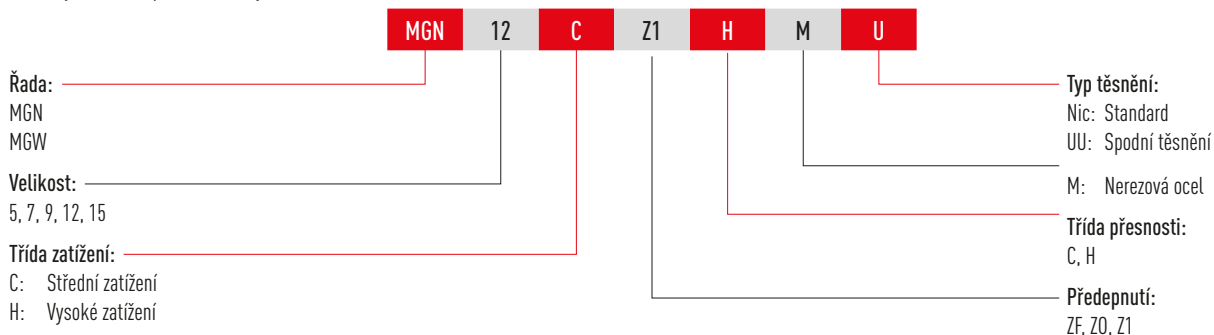
### 3.5.6 Objednací kódy pro sérii MG

V případě lineárního vedení MG se rozlišuje mezi lineárním systémem a nesmontovaným provedením. Rozměry obou typů jsou stejné. Hlavní rozdíl je v tom, že vozík a kolejnice nesmontovaného provedení mohou být libovolně zaměňovány. Vozík a kolejnici lze objednat samostatně a smontovat si je může zákazník.

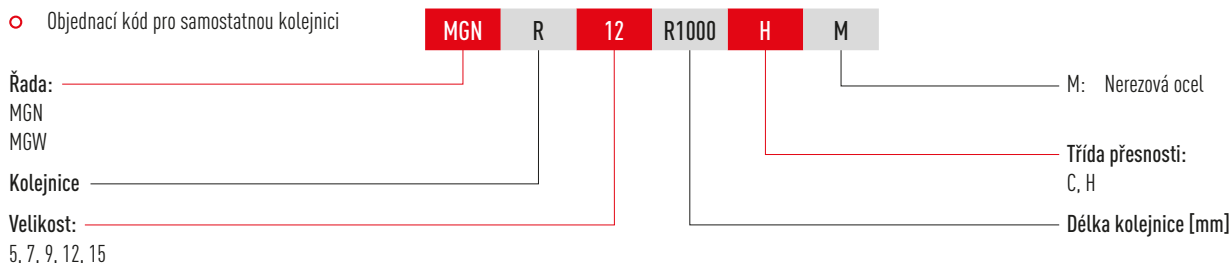
- Objednací kód pro lineární systém (vozík namontovaný na kolejnici)



- Objednací kód pro samostatný vozík



- Objednací kód pro samostatnou kolejnici



Poznámka:

<sup>1)</sup> Spodní těsnění je k dispozici pro řadu MGN a MGW v rozměrech 12 a 15.

<sup>2)</sup> Číslo 2 ukazuje také množství, tj. jedna položka výše zmíněného výrobku obsahuje dvojici kolejnic.

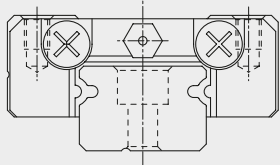
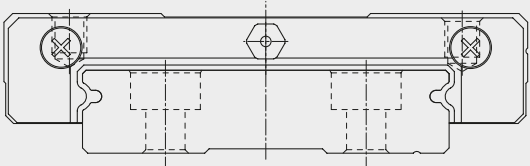
<sup>3)</sup> Není k dispozici pro párové kolejnice a pro velikost MG05.

# Lineární vedení

## Řada MG

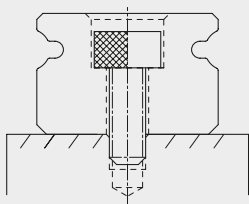
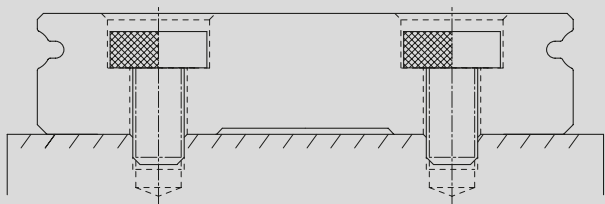
### 3.5.7 Typ vozíku

Tabulka 3.83 Typ vozíku

| Provedení | Typ            | Konstrukce  | Výška [mm] | Typické použití   |
|-----------|----------------|---|------------|---|
| Úzký      | MGN-C<br>MGN-H |  | 8 – 16     | <ul style="list-style-type: none"> <li>○ Tiskárny</li> <li>○ Roboty</li> <li>○ Přesná měřicí zařízení</li> <li>○ Medicínská technika</li> </ul> |
| Přírubový | MGW-C<br>MGW-H |  | 9 – 16     |   |

### 3.5.8 Typy kolejnic

Tabulka 3.84 Typy kolejnic

| Upevnění shora  |  |
|---|--|
|  |  |
| MGN_R   | MGW_R  |

# Lineární vedení

## Řada MG

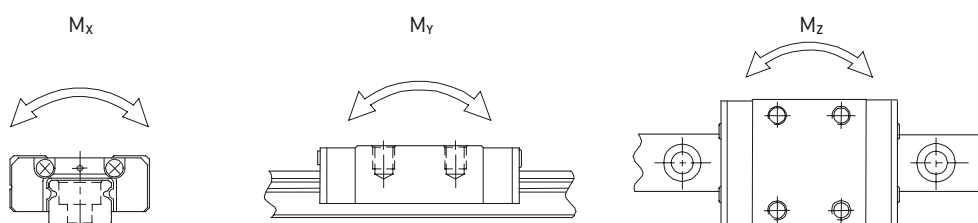
### 3.5.9 Předepnutí

Řada MGN/MGW nabízí tři třídy předepnutí pro různá použití.

Tabulka 3.85 Označení předepnutí

| Označení | Předepnutí                           | Třída přesnosti |
|----------|--------------------------------------|-----------------|
| ZF       | Malá vůle: 4 – 10 $\mu\text{m}$      | C, H            |
| Z0       | Vymezená vůle, lehké předepnutí      | C – P           |
| Z1       | Mírné předepnutí: 0 – 0.02 $C_{dyn}$ | C – P           |

### 3.5.10 Únosnosti a momenty



Tabulka 3.86 Únosnosti a momenty řady MG

| Řada/rozměr | Dynamická únosnost<br>$C_{dyn}$ [N] <sup>1)</sup> | Statická únosnost<br>$C_0$ [N] | Dynamický moment [Nm] |       |       | Statický moment [Nm] |          |          |
|-------------|---|--------------------------------|-----------------------|-------|-------|----------------------|----------|----------|
|             |   |                                | $M_x$                 | $M_y$ | $M_z$ | $M_{0x}$             | $M_{0y}$ | $M_{0z}$ |
| MGN05C      | 540   | 840                            | 1.3                   | 0.8   | 0.8   | 2.0                  | 1.3      | 1.3      |
| MGN05H      | 667   | 1,089                          | 2.5                   | 2.2   | 2.2   | 2.6                  | 2.3      | 2.3      |
| MGN07C      | 980   | 1,245                          | 3                     | 2     | 2     | 4.7                  | 2.8      | 2.8      |
| MGN07H      | 1,370   | 1,960                          | 5                     | 3     | 3     | 7.6                  | 4.8      | 4.8      |
| MGN09C      | 1,860   | 2,550                          | 8                     | 5     | 5     | 11.8                 | 7.4      | 7.4      |
| MGN09H      | 2,550   | 4,020                          | 12                    | 12    | 12    | 19.6                 | 18.6     | 18.6     |
| MGN12C      | 2,840   | 3,920                          | 18                    | 10    | 10    | 25.5                 | 13.7     | 13.7     |
| MGN12H      | 3,720   | 5,880                          | 24                    | 23    | 23    | 38.2                 | 36.3     | 36.3     |
| MGN15C      | 4,610   | 5,590                          | 37                    | 18    | 18    | 45.1                 | 21.6     | 21.6     |
| MGN15H      | 6,370   | 9,110                          | 52                    | 41    | 41    | 73.5                 | 57.8     | 57.8     |
| MGW05C      | 680   | 1,180                          | 3.2                   | 1.6   | 1.6   | 5.5                  | 2.7      | 2.7      |
| MGW07C      | 1,370   | 2,060                          | 10                    | 4     | 4     | 15.7                 | 7.1      | 7.1      |
| MGW07H      | 1,770   | 3,140                          | 13                    | 8     | 8     | 23.5                 | 15.5     | 15.5     |
| MGW09C      | 2,750   | 4,120                          | 27                    | 12    | 12    | 40.1                 | 18.0     | 18.0     |
| MGW09H      | 3,430   | 5,890                          | 32                    | 20    | 20    | 54.5                 | 34.0     | 34.0     |
| MGW12C      | 3,920   | 5,590                          | 50                    | 19    | 19    | 70.3                 | 27.8     | 27.8     |
| MGW12H      | 5,100   | 8,240                          | 64                    | 36    | 36    | 102.7                | 57.4     | 57.4     |
| MGW15C      | 6,770   | 9,220                          | 149                   | 42    | 42    | 199.3                | 56.7     | 56.7     |
| MGW15H      | 8,930   | 13,380                         | 196                   | 80    | 80    | 299.0                | 122.6    | 122.6    |

<sup>1)</sup> Dynamická únosnost pro celkovou dráhu 50 km

# Lineární vedení

## Řada MG

### 3.5.11 Tuhost

Tuhost závisí na předepnutí. Vzorec F 3.12 se používá pro stanovení deformace v závislosti na tuhosti.

#### F 3.15

$$\delta = \frac{P}{k}$$

- $\delta$  Deformace [ $\mu\text{m}$ ]  
 $P$  Provozní zatížení [N]  
 $k$  Tuhost [N/ $\mu\text{m}$ ]

Tabulka 3.87 Radiální tuhost pro řadu MGN

| Druh zatížení    | Řada/<br>rozměr | Předepnutí |     |
|------------------|-----------------|------------|-----|
|                  |                 | Z0         | Z1  |
| Střední zatížení | MGN07C          | 26         | 33  |
|                  | MGN09C          | 37         | 48  |
|                  | MGN12C          | 44         | 56  |
|                  | MGN15C          | 57         | 74  |
| Vysoké zatížení  | MGN07H          | 39         | 51  |
|                  | MGN09H          | 56         | 73  |
|                  | MGN12H          | 63         | 81  |
|                  | MGN15H          | 87         | 113 |

Jednotka: N/ $\mu\text{m}$

Tabulka 3.88 Radiální tuhost pro řadu MGW

| Druh zatížení    | Řada/<br>rozměr | Předepnutí |     |
|------------------|-----------------|------------|-----|
|                  |                 | Z0         | Z1  |
| Střední zatížení | MGN07C          | 38         | 49  |
|                  | MGN09C          | 55         | 71  |
|                  | MGN12C          | 63         | 81  |
|                  | MGN15C          | 78         | 101 |
| Vysoké zatížení  | MGN07H          | 54         | 70  |
|                  | MGN09H          | 74         | 95  |
|                  | MGN12H          | 89         | 114 |
|                  | MGN15H          | 113        | 145 |

Jednotka: N/ $\mu\text{m}$

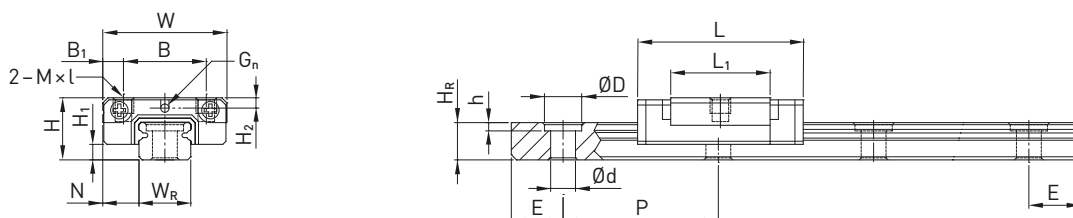
# Lineární vedení

## Řada MG

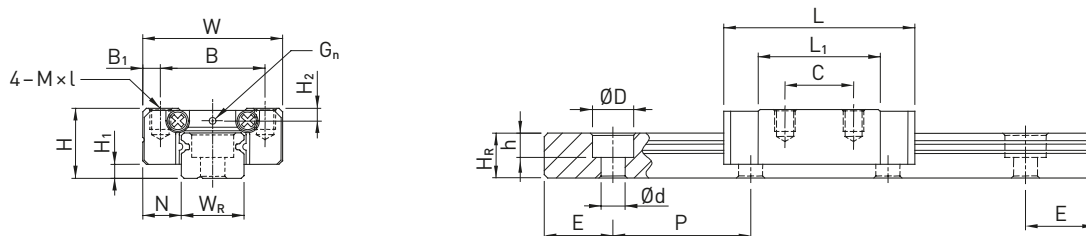
### 3.5.12 Rozměry vozíku MG

#### 3.5.12.1 MGN

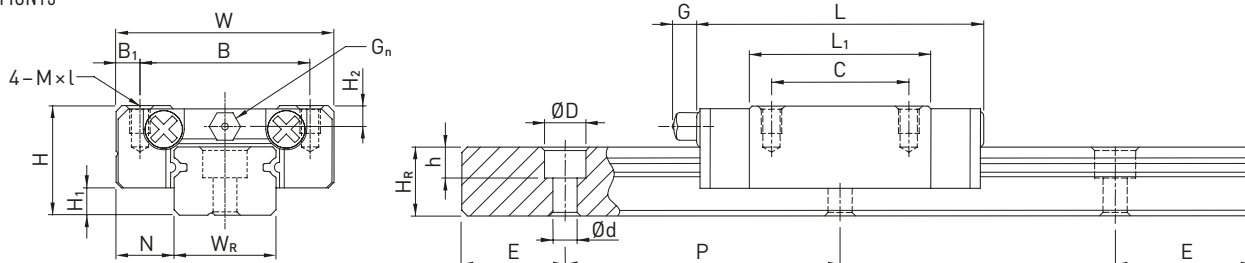
MGN05



MGN07, MGN09, MGN12



MGN15



Tabulka 3.89 Rozměry vozíku

| Řada/<br>rozměr | Montážní rozměry [mm] |                |     | Rozměry vozíku [mm] |    |                |    |                |      |     |                |          |                | Únosnosti [N]    |                | Hmot-<br>nost [kg] |
|-----------------|-----------------------|----------------|-----|---------------------|----|----------------|----|----------------|------|-----|----------------|----------|----------------|------------------|----------------|--------------------|
|                 | H                     | H <sub>1</sub> | N   | W                   | B  | B <sub>1</sub> | C  | L <sub>1</sub> | L    | G   | G <sub>n</sub> | M × l    | H <sub>2</sub> | C <sub>dyn</sub> | C <sub>0</sub> |                    |
| MGN05C          | 6                     | 1.5            | 3.5 | 12                  | 8  | 2.0            | —  | 9.6            | 16   | —   | Ø0.8           | M2 × 1.5 | 1.0            | 540              | 840            | 0.008              |
| MGN05H          |                       |                |     |                     |    |                | —  | 12.6           | 19   |     |                |          |                | 667              | 1,089          | 0.010              |
| MGN07C          | 8                     | 1.5            | 5.0 | 17                  | 12 | 2.5            | 8  | 13.5           | 22.5 | —   | Ø1.2           | M2 × 2.5 | 1.5            | 980              | 1,245          | 0.01               |
| MGN07H          |                       |                |     |                     |    |                | 13 | 21.8           | 30.8 |     |                |          |                | 1,372            | 1,960          | 0.02               |
| MGN09C          | 10                    | 2.0            | 5.5 | 20                  | 15 | 2.5            | 10 | 18.9           | 28.9 | —   | Ø1.4           | M3 × 3   | 1.8            | 1,860            | 2,550          | 0.02               |
| MGN09H          |                       |                |     |                     |    |                | 16 | 29.9           | 39.9 |     |                |          |                | 2,550            | 4,020          | 0.03               |
| MGN12C          | 13                    | 3.0            | 7.5 | 27                  | 20 | 3.5            | 15 | 21.7           | 34.7 | —   | Ø2             | M3 × 3.5 | 2.5            | 2,840            | 3,920          | 0.03               |
| MGN12H          |                       |                |     |                     |    |                | 20 | 32.4           | 45.4 |     |                |          |                | 3,720            | 5,880          | 0.05               |
| MGN15C          | 16                    | 4.0            | 8.5 | 32                  | 25 | 3.5            | 20 | 26.7           | 42.1 | 4.5 | M3             | M3 × 4   | 3.0            | 4,610            | 5,590          | 0.06               |
| MGN15H          |                       |                |     |                     |    |                | 25 | 43.4           | 58.8 |     |                |          |                | 6,370            | 9,110          | 0.09               |

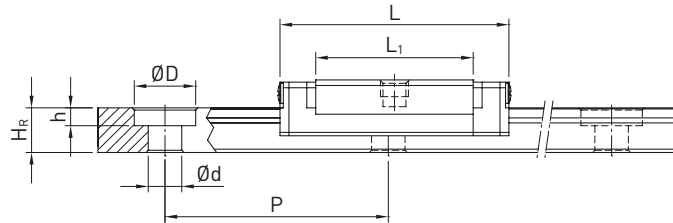
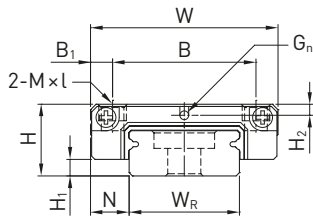
Rozměry kolejnice viz kapitola 3.5.11, standardní a volitelné maznice a viz kapitola 4.1.

# Lineární vedení

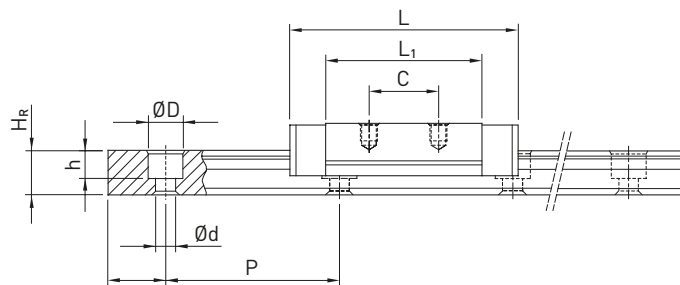
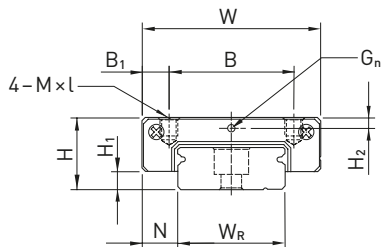
## Řada MG

### 3.5.12.2 MGW

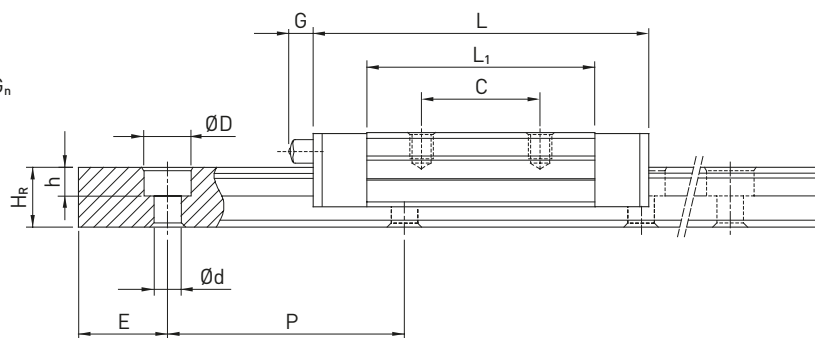
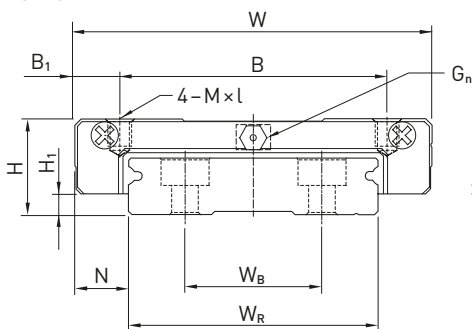
MGW05



MGW07, MGW09, MGW12



MGW15



Tabulka 3.90 Rozměry vozíku

| Řada/<br>rozměr | Montážní rozměry [mm] |                |     | Rozměry vozíku [mm] |    |                |    |                |      |       |                |            |                | Únosnosti [N]    |                | Hmot-<br>nost [kg] |
|-----------------|-----------------------|----------------|-----|---------------------|----|----------------|----|----------------|------|-------|----------------|------------|----------------|------------------|----------------|--------------------|
|                 | H                     | H <sub>1</sub> | N   | W                   | B  | B <sub>1</sub> | C  | L <sub>1</sub> | L    | G     | G <sub>n</sub> | M × l      | H <sub>2</sub> | C <sub>dyn</sub> | C <sub>0</sub> |                    |
| MGW05C          | 6.5                   | 1.5            | 3.5 | 17                  | 13 | 2.0            | —  | 14.1           | 20.5 | —     | Ø 0,8          | M2,5 × 1,5 | 1.00           | 680              | 1,180          | 0.02               |
| MGW07C          | 9                     | 1.9            | 5.5 | 25                  | 19 | 3.0            | 10 | 21.0           | 31.2 | —     | Ø 1.2          | M3 × 3     | 1.85           | 1,370            | 2,060          | 0.02               |
| MGW07H          |                       |                |     |                     |    |                | 19 | 30.8           | 41.0 | 1,770 |                |            |                |                  |                |                    |
| MGW09C          | 12                    | 2.9            | 6.0 | 30                  | 21 | 4.5            | 12 | 27.5           | 39.3 | —     | Ø 1.4          | M3 × 3     | 2.40           | 2,750            | 4,120          | 0.04               |
| MGW09H          |                       |                |     |                     |    |                | 23 | 3.5            | 24   | 38.5  |                |            |                |                  |                |                    |
| MGW12C          | 14                    | 3.4            | 8.0 | 40                  | 28 | 6.0            | 15 | 31.3           | 46.1 | —     | Ø 2            | M3 × 3,6   | 2.80           | 3,920            | 5,590          | 0.07               |
| MGW12H          |                       |                |     |                     |    |                | 28 | 45.6           | 60.4 | 5,100 |                |            |                |                  |                |                    |
| MGW15C          | 16                    | 3.4            | 9.0 | 60                  | 45 | 7.5            | 20 | 38.0           | 54.8 | 5.2   | M3             | M4 × 4,2   | 3.20           | 6,770            | 9,220          | 0.14               |
| MGW15H          |                       |                |     |                     |    |                | 35 | 57.0           | 73.8 | 8,930 |                |            |                |                  |                |                    |

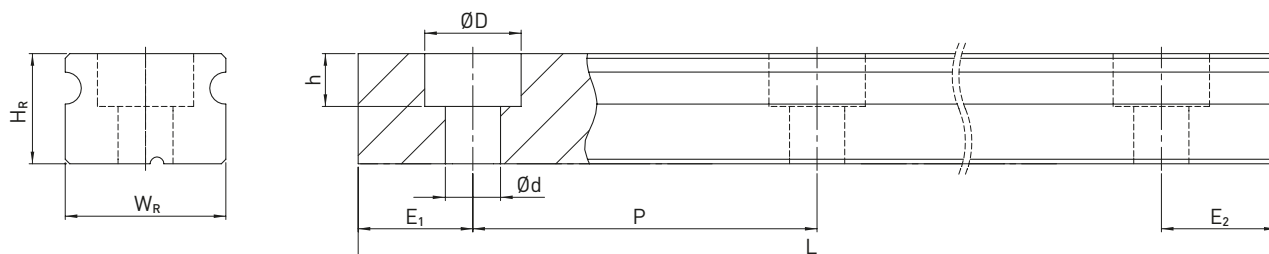
Rozměry kolejnice viz kapitola 3.5.11, standardní a volitelné maznice a viz kapitola 4.1.

# Lineární vedení

## Řada MG

### 3.5.13 Rozměry kolejnice MG

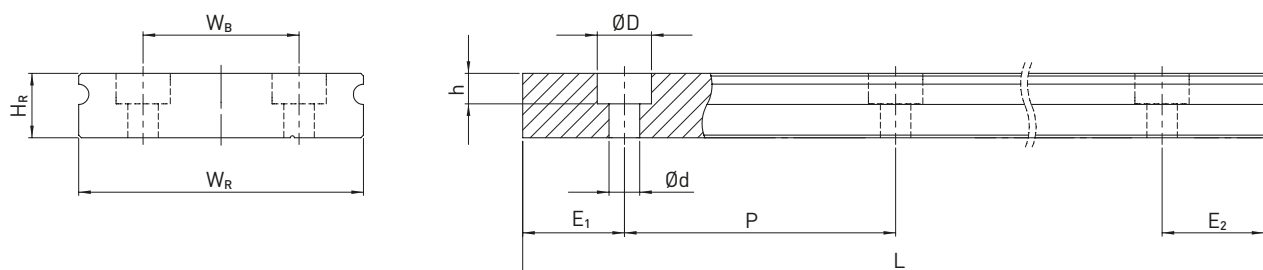
#### 3.5.13.1 Rozměry MGN\_R



Tabulka 3.91 Rozměry kolejnice MGN\_R

| Řada/<br>rozměr | Montážní šrouby<br>pro kolejnici [mm] | Rozměry kolejnice [mm] |       |     |     |     |    | Max. délka<br>[mm] | Max. délka<br>$E_1 = E_2$ [mm] | Min. délka<br>[mm] | $E_{1/2}$ min<br>[mm] | $E_{1/2}$ max<br>[mm] | Hmotnost<br>[kg/m] |
|-----------------|---------------------------------------|------------------------|-------|-----|-----|-----|----|--------------------|--------------------------------|--------------------|-----------------------|-----------------------|--------------------|
|                 |                                       | $W_R$                  | $H_R$ | D   | h   | d   | P  |                    |                                |                    |                       |                       |                    |
| MGNR05R         | M2 × 8                                | 5                      | 3.6   | 3.6 | 0.8 | 2.4 | 15 | 250                | 225                            | 38                 | 4                     | 11                    | 0.15               |
| MGNR07R         | M2 × 8                                | 7                      | 4.8   | 4.2 | 2.3 | 2.4 | 15 | 600                | 585                            | 40                 | 5                     | 12                    | 0.22               |
| MGNR09R         | M3 × 10                               | 9                      | 6.5   | 6.0 | 3.5 | 3.5 | 20 | 1.200              | 1.180                          | 50                 | 5                     | 15                    | 0.38               |
| MGNR12R         | M3 × 10                               | 12                     | 8.0   | 6.0 | 4.5 | 3.5 | 25 | 2.000              | 1.975                          | 60                 | 5                     | 20                    | 0.65               |
| MGNR15R         | M3 × 12                               | 15                     | 10.0  | 6.0 | 4.5 | 3.5 | 40 | 2.000              | 1.960                          | 92                 | 6                     | 34                    | 1.06               |

#### 3.5.13.2 Rozměry MGW\_R



Tabulka 3.92 Rozměry kolejnice MGW\_R

| Řada/<br>rozměr | Montážní šrouby<br>pro kolejnici [mm] | Rozměry kolejnice [mm] |       |       |     |     |     |    | Max. délka<br>[mm] | Max. délka<br>$E_1 = E_2$ [mm] | Min. délka<br>[mm] | $E_{1/2}$ min<br>[mm] | $E_{1/2}$ max<br>[mm] | Hmotnost<br>[kg/m] |
|-----------------|---------------------------------------|------------------------|-------|-------|-----|-----|-----|----|--------------------|--------------------------------|--------------------|-----------------------|-----------------------|--------------------|
|                 |                                       | $W_R$                  | $H_R$ | $W_B$ | D   | h   | d   | p  |                    |                                |                    |                       |                       |                    |
| MGWR05R         | M2.5 × 8                              | 10                     | 4.0   | —     | 5.5 | 1.6 | 3.0 | 20 | 250                | 220                            | 48                 | 4                     | 11                    | 0.34               |
| MGWR07R         | M3 × 8                                | 14                     | 5.2   | —     | 6.0 | 3.2 | 3.5 | 30 | 600                | 570                            | 72                 | 6                     | 24                    | 0.51               |
| MGWR09R         | M3 × 10                               | 18                     | 7.0   | —     | 6.0 | 4.5 | 3.5 | 30 | 1.200              | 1.170                          | 72                 | 6                     | 24                    | 0.91               |
| MGWR12R         | M4 × 12                               | 24                     | 8.5   | —     | 8.0 | 4.5 | 4.5 | 40 | 2.000              | 1.960                          | 96                 | 8                     | 32                    | 1.49               |
| MGWR15R         | M4 × 16                               | 42                     | 9.5   | 23    | 8.0 | 4.5 | 4.5 | 40 | 2.000              | 1.960                          | 96                 | 8                     | 32                    | 2.86               |

Poznámka:

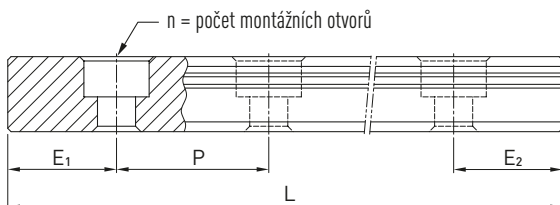
1. Tolerance pro E je +0,5 až -1 mm pro standardní kolejnice a 0 až -0,3 mm pro spoje.
2. Pokud rozměry  $E_{1/2}$  nejsou uvedeny, bude určen maximální počet montážních otvorů pro minimální rozměr  $E_{1/2}$ .
3. Kolejnice se zkracují na požadovanou délku. Pokud rozměry  $E_{1/2}$  nejsou uvedeny, provádí se zkracování symetricky.

# Lineární vedení

## Řada MG

### 3.5.13.3 Výpočet délky kolejnice

Společnost HIWIN nabízí kolejnice v individuálních délkách. Aby nevzniklo riziko nestability konce kolejnice, nesmí hodnota E překročit polovinu vzdálenosti mezi montážními otvory (P). Současně musí hodnota  $E_{1/2}$  být v rozmezí  $E_{1/2} \text{ min}$  až  $E_{1/2} \text{ max.}$ , aby montážní otvor nepraskl.



#### F 3.16

$$L = (n - 1) \times P + E_1 + E_2$$

- L Celková délka kolejnice [mm]
- n Počet montážních otvorů
- P Vzdálenost mezi dvěma montážními otvory [mm]
- $E_{1/2}$  Vzdálenost od středu posledního montážního otvoru ke konci kolejnice [mm]

### 3.5.13.4 Utahovací momenty pro montážní šrouby

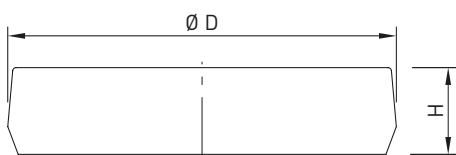
Nedostatečné utahení montážních šroubů významně snižuje přesnost lineárního vedení; proto se pro příslušné rozměry šroubů doporučují níže uvedené utahovací momenty.

Tabulka 3.93 Utahovací momenty pro montážní šrouby podle normy ISO 4762-12.9

| Řada/rozměr | Rozměr šroubu | Utahovací moment [Nm] | Řada/rozměr | Rozměr šroubu | Utahovací moment [Nm] |
|-------------|---------------|-----------------------|-------------|---------------|-----------------------|
| MGN05       | M2 × 8        | 0,6                   | MGW05       | M2.5 × 8      | 1.2                   |
| MGN07       | M2 × 8        | 0,6                   | MGW07       | M3 × 8        | 2                     |
| MGN09       | M3 × 10       | 2                     | MGW09       | M3 × 10       | 2                     |
| MGN12       | M3 × 10       | 2                     | MGW12       | M4 × 12       | 4                     |
| MGN15       | M3 × 12       | 2                     | MGW15       | M4 × 16       | 4                     |

### 3.5.13.5 Zátky montážních otvorů kolejnic

Zátky montážních otvorů kolejnic se používají na ochranu otvorů před prachem a úlomky. Kolejnice jsou vybaveny standardními zátkami. Jiné typy zátek se musí objednat zvlášť.



Tabulka 3.94 Zátky montážních otvorů kolejnic

| Kolejnice | Šroub | Označení         |                    | Ø D [mm] | Výška H [mm] |
|-----------|-------|------------------|--------------------|----------|--------------|
|           |       | Plast            | Mosaz              |          |              |
| MGNR05R   | —     | —                | —                  | —        | —            |
| MGNR07R   | —     | —                | —                  | —        | —            |
| MGNR09R   | M3    | C3 <sup>1)</sup> | C3-M <sup>1)</sup> | 6        | 1.1          |
| MGNR12R   | M3    | C3               | C3-M               | 6        | 1.1          |
| MGNR15R   | M3    | C3               | C3-M               | 6        | 1.1          |
| MGWR05R   | —     | —                | —                  | —        | —            |
| MGWR07R   | —     | —                | —                  | —        | —            |
| MGWR09R   | M3    | C3               | C3-M               | 6        | 1.1          |
| MGWR12R   | M4    | C4A              | —                  | 8        | 1.1          |
| MGWR15R   | M4    | C4A              | —                  | 8        | 1.1          |

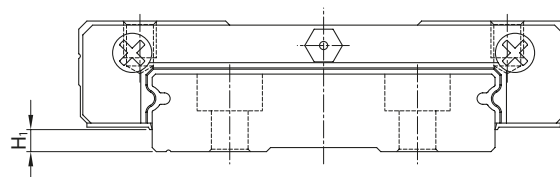
<sup>1)</sup> Standardně dodávané bez zátek, v případě požadavku uveďte do objednávky. Pouze pro šrouby s nízkou válcovou hlavou podle normy DIN 7984

# Lineární vedení

## Řada MG

### 3.5.14 Ochrana proti prachu

Vozíky řady MG jsou standardně vybaveny koncovým těsněním na obou stranách na ochranu proti prachu. Kromě toho si lze objednat spodní těsnění vozíku. V takovém případě je třeba k objednacímu kódu přidat identifikátor „+U“. Tato těsnění jsou k dispozici volitelně pro rozměry 12 a 15. Nelze je použít pro rozměry 5, 7 a 9 z důvodu omezeného instalačního prostoru  $H_1$ . Při montáži spodního těsnění nesmí boční montážní plocha kolejnice překročit rozměr  $H_1$ .



Tabulka 3.95 Instalační prostor  $H_1$

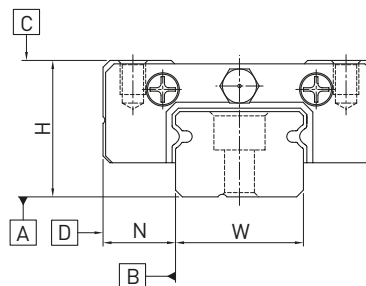
| Řada/rozměr | Spodní těsnění | $H_1$ | Řada/rozměr | Spodní těsnění | $H_1$ |
|-------------|----------------|-------|-------------|----------------|-------|
| MGN05       | —              | —     | MGW05       | —              | —     |
| MGN07       | —              | —     | MGW07       | —              | —     |
| MGN09       | —              | —     | MGW09       | —              | —     |
| MGN12       | ●              | 2.0   | MGW12       | ●              | 2.6   |
| MGN15       | ●              | 3.0   | MGW15       | ●              | 2.6   |

### 3.5.15 Tolerance v závislosti na třídě přesnosti

Lineární vedení řady MG je rozděleno do tří tříd přesnosti podle rovnoběžnosti mezi vozíkem a kolejnicí a přesnosti rozměrů H a N. Volba třídy přesnosti je dána požadavky na přesnost stroje.

#### 3.5.15.1 Rovnoběžnost

Rovnoběžnost dorazových ploch kolejnice B a vozíku D a rovnoběžnost horní plochy vozíku C vůči montážní ploše kolejnice A. Předpokládá se ideální montáž lineárního vedení a měření ve středu vozíku.



Tabulka 3.96 Tolerance rovnoběžnosti vozíku vůči kolejnici

| Délka kolejnice [mm] | Třída přesnosti |    |      |
|----------------------|-----------------|----|------|
|                      | C               | H  | P    |
| — 50                 | 12              | 6  | 2.0  |
| 50 – 80              | 13              | 7  | 3.0  |
| 80 – 125             | 14              | 8  | 3.5  |
| 125 – 200            | 15              | 9  | 4.0  |
| 200 – 250            | 16              | 10 | 5.0  |
| 250 – 315            | 17              | 11 | 5.0  |
| 315 – 400            | 18              | 11 | 6.0  |
| 400 – 500            | 19              | 12 | 6.0  |
| 500 – 630            | 20              | 13 | 7.0  |
| 630 – 800            | 22              | 14 | 8.0  |
| 800 – 1000           | 23              | 16 | 9.0  |
| 1000 – 1200          | 25              | 18 | 11.0 |
| 1200 – 1300          | 25              | 18 | 11.0 |
| 1300 – 1400          | 26              | 19 | 12.0 |
| 1400 – 1500          | 27              | 19 | 12.0 |
| 1500 – 1600          | 28              | 20 | 13.0 |
| 1600 – 1700          | 29              | 20 | 14.0 |
| 1700 – 1800          | 30              | 21 | 14.0 |
| 1800 – 1900          | 30              | 21 | 15.0 |
| 1900 – 2000          | 31              | 22 | 15.0 |

Jednotka:  $\mu\text{m}$

# Lineární vedení

## Řada MG

### 3.5.15.2 Přesnost – výška a šířka

#### Tolerance výšky H

Tolerance výšky H měřené od středu plochy vozíku C po spodní stranu kolejničky A s vozíkem v libovolné poloze na kolejničce.

#### Rozptyl hodnot výšky H

Povolený rozptyl hodnot výšky H mezi jednotlivými vozíky na jedné kolejničce měřeno ve stejné poloze na kolejničce.

#### Tolerance šířky N

Tolerance šířky N, měřeno mezi středem dorazové plochy vozíku D a referenční hranou kolejničky B na libovolné pozici na kolejničce.

#### Rozptyl hodnot šířky N

Povolený rozptyl hodnot šířky N mezi jednotlivými vozíky na jedné kolejničce měřeno ve stejné poloze na kolejničce.

Tabulka 3.97 Tolerance výšky a šířky pro nezaměnitelné typy

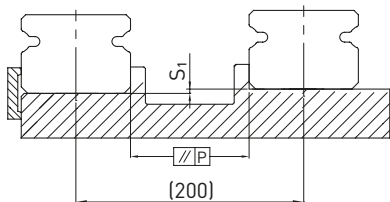
| Řada/rozměr   | Třída přesnosti | Tolerance výšky H | Tolerance šířky N | Rozptyl hodnot výšky H | Rozptyl hodnot šířky N |
|---------------|-----------------|-------------------|-------------------|------------------------|------------------------|
| MG_05 – MG_15 | C (Normální)    | ± 0.04            | ± 0.04            | 0.03                   | 0.3                    |
|               | H (Vysoká)      | ± 0.02            | ± 0.025           | 0.015                  | 0.02                   |
|               | P (Přesná)      | ± 0.01            | ± 0.015           | 0.007                  | 0.01                   |

Jednotka: mm

### 3.5.15.3 Povolené nepřesnosti montážních ploch

Splnění požadavků na přesnost montážních ploch umožní dosáhnout plných hodnot přesnosti, tuhosti a životnosti lineárních vedení řady MG.

#### Rovnoběžnost referenční plochy (P):



Tabulka 3.98 Maximální tolerance rovnoběžnosti (P)

| Řada/rozměr | Třída předepnutí |    |    |
|-------------|------------------|----|----|
|             | ZF               | Z0 | Z1 |
| MG_05       | 2                | 2  | 2  |
| MG_07       | 3                | 3  | 3  |
| MG_09       | 4                | 4  | 3  |
| MG_12       | 9                | 9  | 5  |
| MG_15       | 10               | 10 | 6  |

Jednotka: μm

#### Tolerance výšky referenční plochy (S<sub>1</sub>):

**F 3.17**  $S_1 = a \times K$

S<sub>1</sub> Max. tolerance výšky [mm]  
 a Vzdálenost mezi kolejničkami [mm]  
 K Koefficient tolerance výšky

# Lineární vedení

## Řada MG

Tabulka 3.99 Maximální tolerance výšky referenční plochy (S<sub>r</sub>)

| Řada/rozměr | Třída předepnutí |    |    |
|-------------|------------------|----|----|
|             | ZF               | Z0 | Z1 |
| MG_05       | 20               | 20 | 2  |
| MG_07       | 25               | 25 | 3  |
| MG_09       | 35               | 35 | 6  |
| MG_12       | 50               | 50 | 12 |
| MG_15       | 60               | 60 | 20 |

Jednotka:  $\mu\text{m}$ 

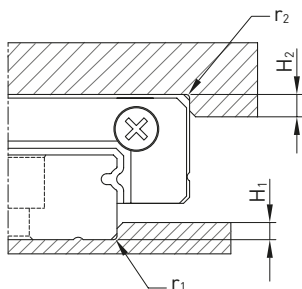
Tabulka 3.100 Požadavky na montážní plochu

| Řada/rozměr | Požadovaná rovinnost montážní plochy |
|-------------|--------------------------------------|
| MG_05       | 0.015/200                            |
| MG_07       | 0.025/200                            |
| MG_09       | 0.035/200                            |
| MG_12       | 0.050/200                            |
| MG_15       | 0.060/200                            |

Poznámka: Hodnoty v tabulce se vztahují na třídu předepnutí ZF a Z0. Pro třídu Z1 nebo v případě montáže více kolejnic na jednu plochu musí být tabulkové hodnoty děleny alespoň dvěma.

### 3.5.16 Výška osazení a drážky

Nepřesnosti ve výšce osazení a drážkách montážních ploch ovlivňují přesnost a mohou vést ke kolizím mezi profilem vozíku a kolejnicí. Pro zamezení problémům při montáži je nutno dodržovat následující výšky osazení a koncových profilů.



Tabulka 3.101 Výška osazení a drážky

| Řada/rozměr | Max. poloměr hrany $r_1$ | Max. poloměr hrany $r_2$ | Výška hrany $H_1$ | Výška hrany $H_2$ |
|-------------|--------------------------|--------------------------|-------------------|-------------------|
| MGN05       | 0.1                      | 0.2                      | 1.2               | 2                 |
| MGN07       | 0.2                      | 0.2                      | 1.2               | 3                 |
| MGN09       | 0.2                      | 0.3                      | 1.7               | 3                 |
| MGN12       | 0.3                      | 0.4                      | 1.7               | 4                 |
| MGN15       | 0.5                      | 0.5                      | 2.5               | 5                 |
| MGW05       | 0.1                      | 0.2                      | 1.2               | 2                 |
| MGW07       | 0.2                      | 0.2                      | 1.7               | 3                 |
| MGW09       | 0.3                      | 0.3                      | 2.5               | 3                 |
| MGW12       | 0.4                      | 0.4                      | 3.0               | 4                 |
| MGW15       | 0.4                      | 0.8                      | 3.0               | 5                 |

Jednotka: mm

# Řada RG/QR

Řada RG (standardní) a QR (s technologií SynchMotion™) využívá pro valivý pohyb válečky a vyznačuje se vysokou tuhostí a únosností.

# 01

# Lineární vedení

## Řada RG/QR

### 3.6 Řada RG a QR

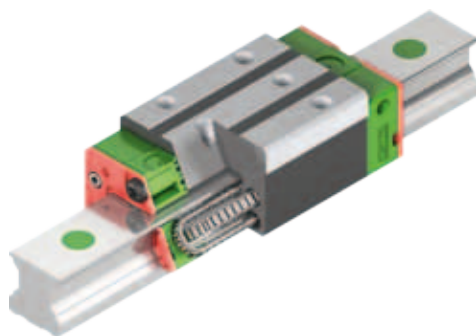
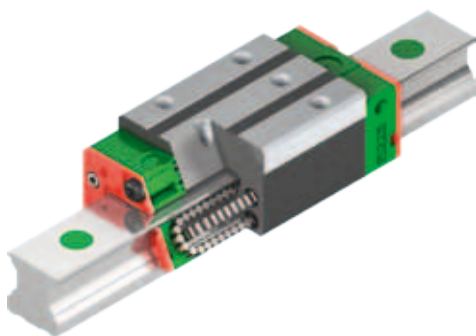
#### 3.6.1 Vlastnosti lineárního vedení, řada RG a QR

Lineární vedení HIWIN řady RG používá jako nositele valivého pohybu válečky a vyznačuje se mimořádně vysokou tuhostí a velmi dobrou únosností. Je navrženo s kontaktním úhlem 45°. Jeho lineární kontaktní plochy značně snižují deformace od zátěže a zajišťují tak vysokou tuhost a únosnost ve všech čtyřech směrech zatížení. Proto je lineární vedení řady RG ideální pro přesné strojírenství.

Typy řada QR s technologií SynchMotion™ poskytují veškeré výhody standardní řady RG. Řízený pohyb válečků o definovanou vzdálenost zlepšuje synchronizaci, zvyšuje spolehlivost posuvu i při vyšších rychlostech, prodlužuje mazací intervaly a snižuje hlučnost chodu. Protože instalační rozměry vozíků QR jsou totožné s rozměry vozíků RG, nasazují se na standardní kolejnice RGR a lze je proto snadno zaměňovat.

#### 3.6.2 Konstrukce řady RG/QR

- 4-řadé válečkové lineární vedení
- Kontaktní úhel 45°
- Různá provedení těsnění podle oblasti použití
- 6 možností připojení maznice a mazacího nástavce
- Technologie SynchMotion™ (řada QR)



#### Konstrukce řady RG

##### Výhody:

- Nulová vůle
- Zaměnitelnost
- Velmi vysoká únosnost
- Velmi vysoká tuhost
- Nízké rozjezdové síly i s vysokým předepnutím

#### Konstrukce řady QR

##### Další výhody řady QR:

- Lepší synchronizace
- Optimalizace pro vysoké rychlosti posuvu
- Prodloužený mazací interval
- Nižší hlučnost chodu
- Vysoká dynamická únosnost

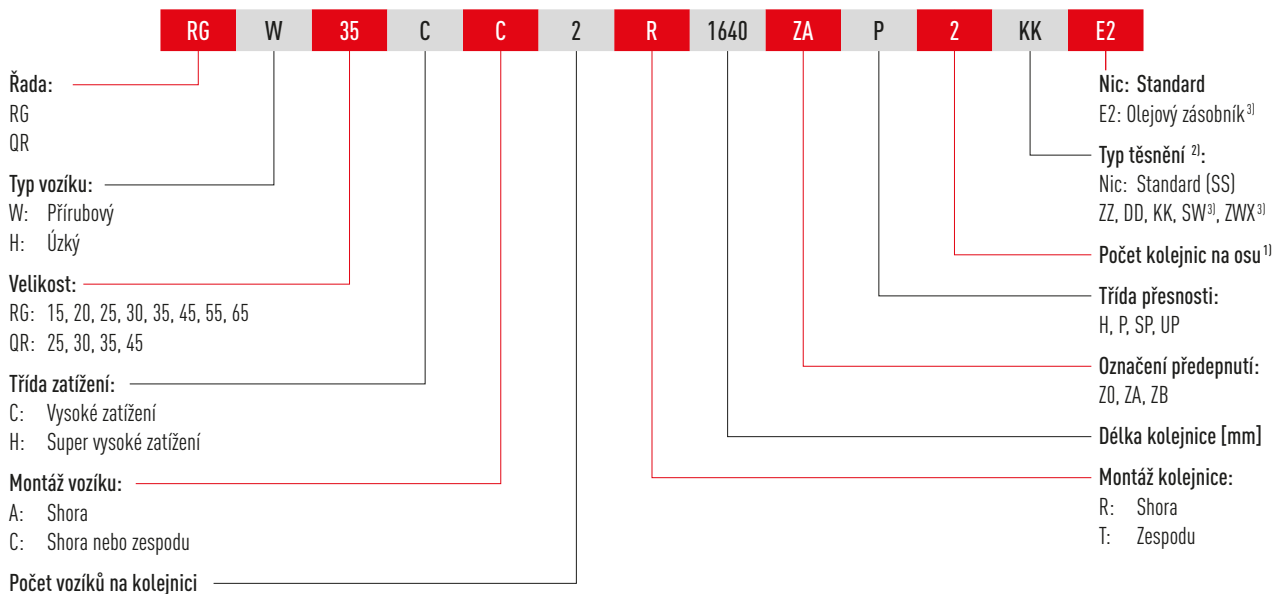
#### 3.6.3 Objednací kódy pro řadu RG/QR

V případě lineárního vedení RG/QR se rozlišuje mezi lineárním systémem a nesmontovaným provedením. Rozměry obou typů jsou stejné. Hlavní rozdíl je v tom, že vozík a kolejnice nesmontovaného provedení mohou být libovolně zaměňovány. Vozík a kolejnici lze objednat samostatně a smontovat si je může zákazník.

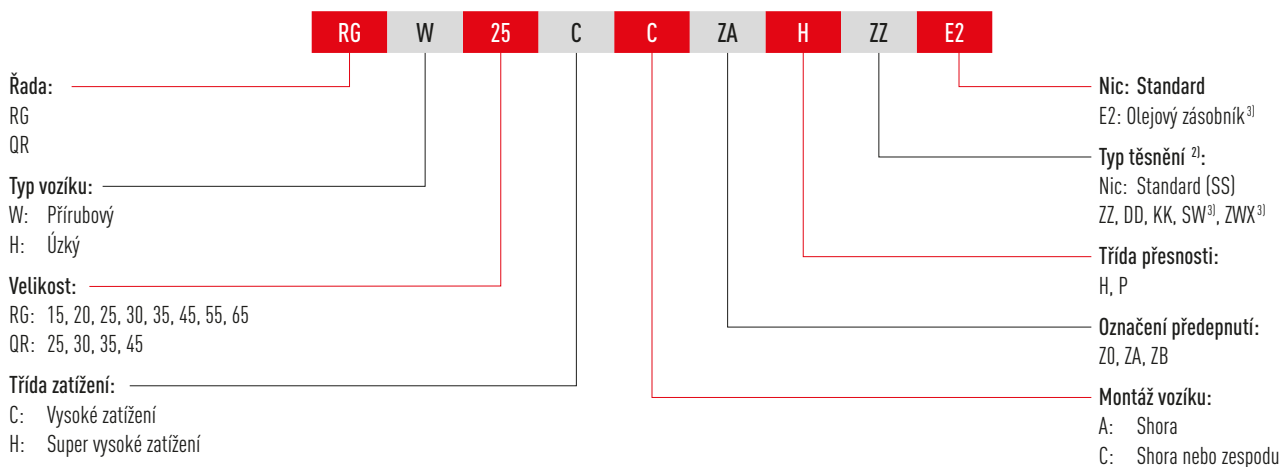
# Lineární vedení

## Řada RG/QR

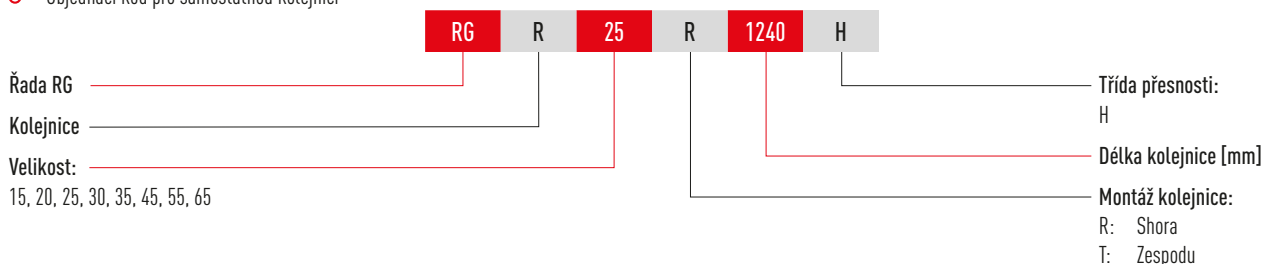
○ Objednací kód pro lineární systém (vozík namontovaný na kolejnici)



○ Objednací kód pro samostatný vozík



○ Objednací kód pro samostatnou kolejnici



Poznámka:

<sup>1)</sup> Číslo 2 ukazuje také množství, tj. jedna položka výše zmíněného výrobku obsahuje dvojici kolejníc. Pro jednotlivé kolejnice se žádné číslo neuvádí. Vícédílné kolejnice se standardně dodávají se stupňovitými bodovými spoji.

<sup>2)</sup> Přehled těsnících systémů je uveden v kapitole 2.9

<sup>3)</sup> K dispozici pouze pro sérii RG

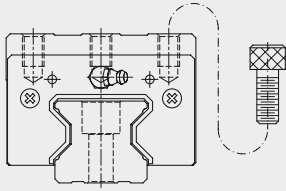
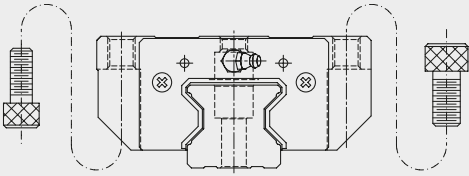
# Lineární vedení

## Řada RG/QR

### 3.6.4 Typ vozíku

Společnost HIWIN nabízí pro lineární vedení úzké a přírubové vozíky. Přírubové vozíky jsou díky své nízké výšce a větší montážní ploše vhodnější pro větší zatížení.

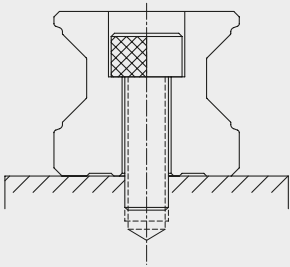
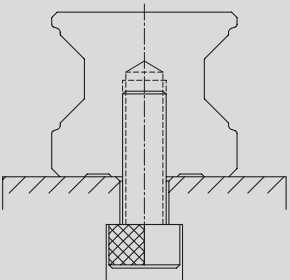
Tabulka 3.102 Typ vozíku

| Provedení       | Řada/<br>rozměr  | Konstrukce  | Výška<br>[mm] | Typické použití   |
|-----------------|------------------|---|---------------|---|
| Úzký vozík      | RGH-CA<br>RGH-HA |  | 28 – 90       | <ul style="list-style-type: none"> <li>○ Automatizace</li> <li>○ Dopravní prostředky</li> <li>○ CNC Obráběcí centra</li> <li>○ Výkonné řezačky</li> <li>○ CNC brusky</li> <li>○ Vstřikovací stroje</li> <li>○ Portálové frézky</li> </ul> |
| Přírubový vozík | RGW-CC<br>RGW-HC |  | 24 – 90       | <ul style="list-style-type: none"> <li>○ Stroje a systémy vyžadující vysokou tuhost</li> <li>○ Jiskrové elektroerozivní stroje</li> </ul>   |

### 3.6.5 Typy kolejnic

Kromě standardních kolejnic upevňovaných shora dodává společnost HIWIN také kolejnice pro upevnění zespodu.

Tabulka 3.103 Typy kolejnic

| Upevnění shora  | Upevnění zespodu   |
|---|--|
|  |  |
| RGR_R   | RGR_T  |

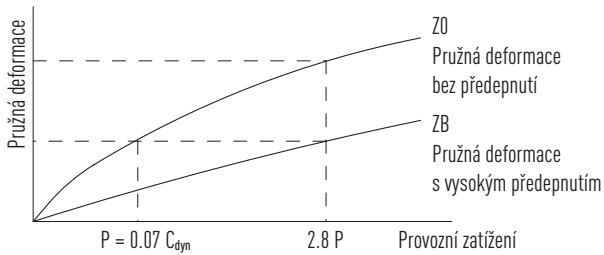
# Lineární vedení

## Řada RG/QR

### 3.6.6 Předepnutí

#### Definice

Každá kolejnice může být předpnuta kuličkami. Křivka ukazuje, že se s hodnotou předepnutí zdvojnásobuje tuhost. Řada RG/QR nabízí dvě standardní předepnutí pro různá použití a podmínky.

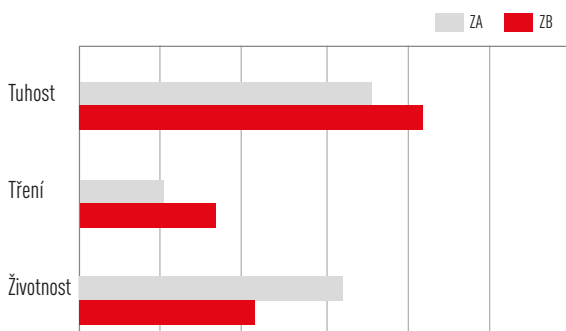


#### Označení předepnutí:

Tabulka 3.104 Označení předepnutí:

| Označení | Předepnutí         |                       | Použití  |
|----------|--------------------|-----------------------|--|
| ZA       | Střední předepnutí | $0.07 - 0.09 C_{dyn}$ | Požadavky na vysokou přesnost                                      |
| ZB       | Vysoké předepnutí  | $0.12 - 0.14 C_{dyn}$ | Požadavky na velmi vysokou tuhost, kde se vyskytují vibrace a rázy |

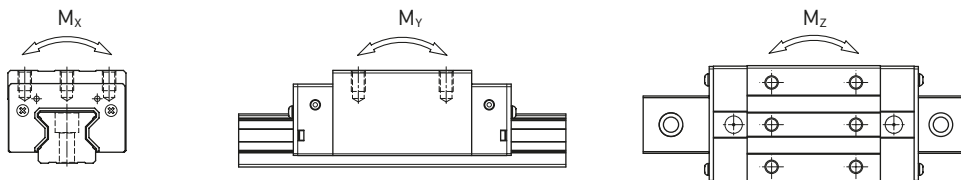
Tento graf ukazuje závislost mezi tuhostí, třecím odporem a jmenovitou životností vedení. U menších typů se doporučuje nepřekračovat předepnutí ZA, aby vlivem předepnutí nedocházelo ke zkrácení životnosti.



# Lineární vedení

## Řada RG/QR

### 3.6.7 Únosnosti a momenty



Tabulka 3.105 Únosnosti a momenty pro řadu RG/QR

| Řada/rozměr | Dynamická únosnost<br>$C_{dyn}$ [N] <sup>1)</sup> | Statická únosnost<br>$C_0$ [N] | Dynamický moment [Nm] |        |        | Statický moment [Nm] |          |          |
|-------------|---|--------------------------------|-----------------------|--------|--------|----------------------|----------|----------|
|             |   |                                | $M_x$                 | $M_y$  | $M_z$  | $M_{0x}$             | $M_{0y}$ | $M_{0z}$ |
| RG_15C      | 11,300  | 24,000                         | 147                   | 82     | 82     | 311                  | 173      | 173      |
| RG_20C      | 21,300  | 46,700                         | 296                   | 210    | 210    | 647                  | 460      | 460      |
| RG_20H      | 26,900  | 63,000                         | 373                   | 358    | 358    | 872                  | 837      | 837      |
| RG_25C      | 27,700  | 57,100                         | 367                   | 293    | 293    | 758                  | 605      | 605      |
| QR_25C      | 38,500  | 54,400                         | 511                   | 444    | 444    | 722                  | 627      | 627      |
| RG_25H      | 33,900  | 73,400                         | 450                   | 457    | 457    | 975                  | 991      | 991      |
| QR_25H      | 44,700  | 65,300                         | 594                   | 621    | 621    | 867                  | 907      | 907      |
| RG_30C      | 39,100  | 82,100                         | 688                   | 504    | 504    | 1,445                | 1,060    | 1,060    |
| QR_30C      | 51,500  | 73,000                         | 906                   | 667    | 667    | 1,284                | 945      | 945      |
| RG_30H      | 48,100  | 105,000                        | 845                   | 784    | 784    | 1,846                | 1,712    | 1,712    |
| QR_30H      | 64,700  | 95,800                         | 1,138                 | 1,101  | 1,101  | 1,685                | 1,630    | 1,630    |
| RG_35C      | 57,900  | 105,200                        | 1,194                 | 792    | 792    | 2,170                | 1,440    | 1,440    |
| QR_35C      | 77,000  | 94,700                         | 1,590                 | 1,083  | 1,083  | 1,955                | 1,331    | 1,331    |
| RG_35H      | 73,100  | 142,000                        | 1,508                 | 1,338  | 1,338  | 2,930                | 2,600    | 2,600    |
| QR_35H      | 95,700  | 126,300                        | 1,975                 | 1,770  | 1,770  | 2,606                | 2,335    | 2,335    |
| RG_45C      | 92,600  | 178,800                        | 2,340                 | 1,579  | 1,579  | 4,520                | 3,050    | 3,050    |
| QR_45C      | 123,200   | 156,400                        | 3,119                 | 2,101  | 2,101  | 3,959                | 2,666    | 2,666    |
| RG_45H      | 116,000   | 230,900                        | 3,180                 | 2,748  | 2,748  | 6,330                | 5,470    | 5,470    |
| QR_45H      | 150,800   | 208,600                        | 3,816                 | 3,394  | 3,394  | 5,278                | 4,694    | 4,694    |
| RG_55C      | 130,500   | 252,000                        | 4,148                 | 2,796  | 2,796  | 8,010                | 5,400    | 5,400    |
| RG_55H      | 167,800   | 348,000                        | 5,376                 | 4,942  | 4,942  | 11,150               | 10,250   | 10,250   |
| RG_65C      | 213,000   | 411,600                        | 8,383                 | 5,997  | 5,997  | 16,200               | 11,590   | 11,590   |
| RG_65H      | 275,300   | 572,700                        | 10,839                | 10,657 | 10,657 | 22,550               | 22,170   | 22,170   |

<sup>1)</sup> Dynamická únosnost pro celkovou dráhu 100 km

# Lineární vedení

## Řada RG/QR

### 3.6.8 Tuhost

Tuhost závisí na předepnutí. Vzorec F 3.14 se používá pro určení deformace v závislosti na tuhosti.

#### F 3.18

$$\delta = \frac{P}{k}$$

$\delta$  Deformace [ $\mu\text{m}$ ]  
 $P$  Provozní zatížení [N]  
 $k$  Tuhost [N/ $\mu\text{m}$ ]

Tabulka 3.106 Radiální tuhost pro sérii RG/QR

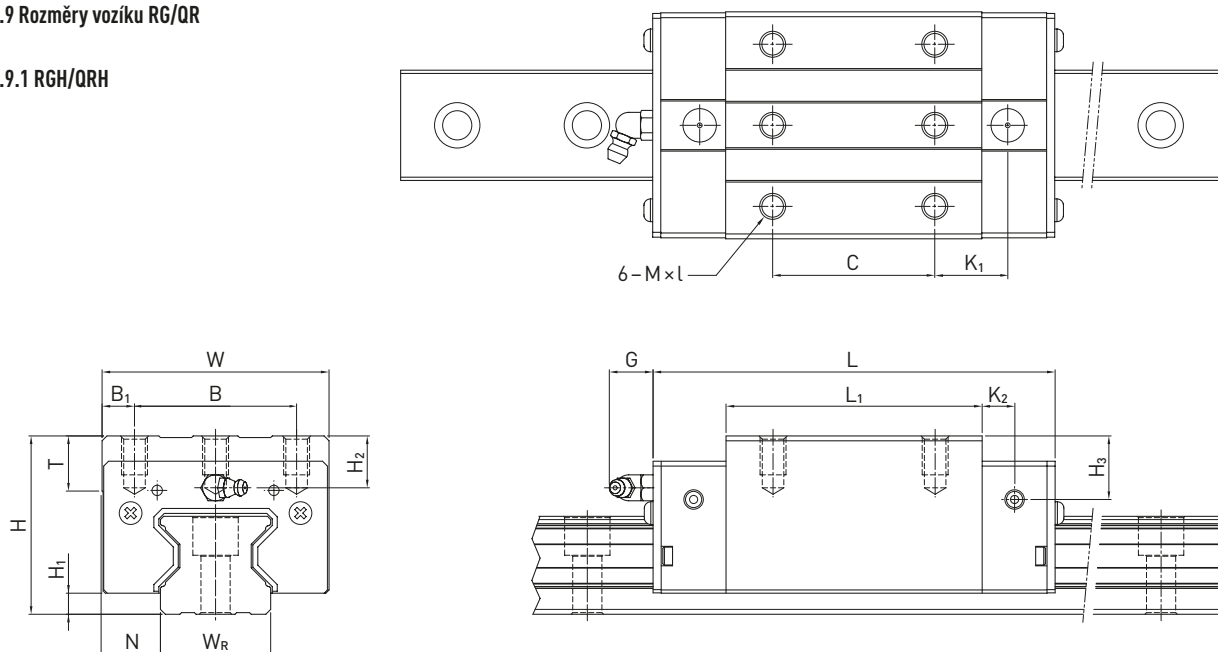
| Druh zatížení   | Řada/<br>rozměr       | Tuhost v závislosti na předepnutí |       |
|-----------------|-----------------------|-----------------------------------|-------|
|                 |                       | ZA                                | ZB    |
| Vysoké zatížení | RG_15C                | 504                               | 520   |
|                 | RG_20C                | 614                               | 633   |
|                 | RG_25C                | 717                               | 740   |
|                 | QR_25C                | 645                               | 665   |
|                 | RG_30C                | 849                               | 876   |
|                 | QR_30C                | 726                               | 748   |
|                 | RG_35C                | 1,002                             | 1,035 |
|                 | QR_35C                | 856                               | 882   |
|                 | RG_45C                | 1,505                             | 1,554 |
|                 | QR_45C                | 1,310                             | 1,350 |
|                 | RG_55C                | 1,591                             | 1,643 |
|                 | RG_65C                | 2,227                             | 2,300 |
|                 | Super vysoké zatížení | RG_20H                            | 823   |
| RG_25H          |                       | 917                               | 947   |
| QR_25H          |                       | 770                               | 790   |
| RG_30H          |                       | 1,136                             | 1,173 |
| QR_30H          |                       | 950                               | 980   |
| RG_35H          |                       | 1,344                             | 1,388 |
| QR_35H          |                       | 1,140                             | 1,170 |
| RG_45H          |                       | 1,938                             | 2,002 |
| QR_45H          |                       | 1,660                             | 1,720 |
| RG_55H          |                       | 2,182                             | 2,254 |
| RG_65H          |                       | 3,077                             | 3,178 |

Jednotka: N/ $\mu\text{m}$

# Lineární vedení Řada RG/QR

## 3.6.9 Rozměry vozíku RG/QR

### 3.6.9.1 RGH/QRH



Tabulka 3.107 Rozměry vozíku

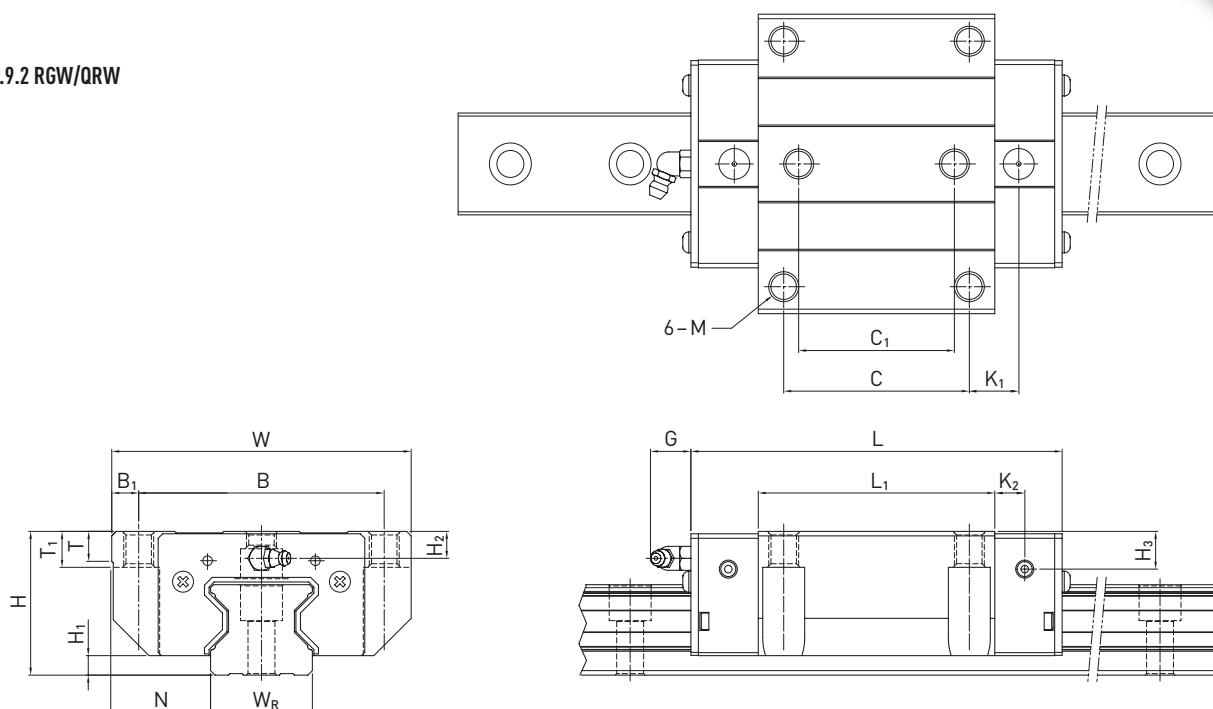
| Řada/<br>rozměr | Montážní rozměry<br>[mm] |                |      | Rozměry vozíku [mm] |    |                |    |                |       |                |                |      |          |      |                |                | Únosnosti [N]    |                | Hmot-<br>nost<br>[kg] |
|-----------------|--------------------------|----------------|------|---------------------|----|----------------|----|----------------|-------|----------------|----------------|------|----------|------|----------------|----------------|------------------|----------------|-----------------------|
|                 | H                        | H <sub>1</sub> | N    | W                   | B  | B <sub>1</sub> | C  | L <sub>1</sub> | L     | K <sub>1</sub> | K <sub>2</sub> | G    | M × l    | T    | H <sub>2</sub> | H <sub>3</sub> | C <sub>dyn</sub> | C <sub>0</sub> |                       |
| RGH15CA         | 28                       | 4.0            | 9.5  | 34                  | 26 | 4.0            | 26 | 45.0           | 68.0  | 13.40          | 4.70           | 5.3  | M4 × 8   | 6.0  | 7.6            | 10.1           | 11,300           | 24,000         | 0.20                  |
| RGH20CA         | 34                       | 5.0            | 12.0 | 44                  | 32 | 6.0            | 36 | 57.5           | 86.0  | 15.80          | 6.00           | 5.3  | M5 × 8   | 8.0  | 8.3            | 8.3            | 21,300           | 46,700         | 0.40                  |
| RGH20HA         |                          |                |      |                     |    |                |    | 50             | 77.5  | 106.0          | 18.80          |      |          |      |                |                | 26,900           | 63,000         | 0.53                  |
| RGH25CA         | 40                       | 5.5            | 12.5 | 48                  | 35 | 6.5            | 35 | 64.5           | 97.9  | 20.75          | 7.25           | 12.0 | M6 × 8   | 9.5  | 10.2           | 10.0           | 27,700           | 57,100         | 0.61                  |
| RGH25HA         |                          |                |      |                     |    |                |    | 50             | 81.0  | 114.4          | 21.50          |      |          |      |                |                | 33,900           | 73,400         | 0.75                  |
| QRH25CA         | 40                       | 5.5            | 12.5 | 48                  | 35 | 6.5            | 35 | 66.0           | 9.9   | 20.75          | 7.25           | 12.0 | M6 × 8   | 9.5  | 10.2           | 10.0           | 38,500           | 54,400         | 0.60                  |
| QRH25HA         |                          |                |      |                     |    |                |    | 50             | 81.0  | 112.9          | 21.50          |      |          |      |                |                | 44,700           | 65,300         | 0.74                  |
| RGH30CA         | 45                       | 6.0            | 16.0 | 60                  | 40 | 10.0           | 40 | 71.0           | 109.8 | 23.50          | 8.00           | 12.0 | M8 × 10  | 9.5  | 9.5            | 10.3           | 39,100           | 82,100         | 0.90                  |
| RGH30HA         |                          |                |      |                     |    |                |    | 60             | 93.0  | 131.8          | 24.50          |      |          |      |                |                | 48,100           | 105,000        | 1.16                  |
| QRH30CA         | 45                       | 6.0            | 16.0 | 60                  | 40 | 10.0           | 40 | 71.0           | 109.8 | 23.50          | 8.00           | 12.0 | M8 × 10  | 9.5  | 9.5            | 10.3           | 51,500           | 73,000         | 0.89                  |
| QRH30HA         |                          |                |      |                     |    |                |    | 60             | 93.0  | 131.8          | 24.50          |      |          |      |                |                | 64,700           | 95,800         | 1.15                  |
| RGH35CA         | 55                       | 6.5            | 18.0 | 70                  | 50 | 10.0           | 50 | 79.0           | 124.0 | 22.50          | 10.00          | 12.0 | M8 × 12  | 12.0 | 16.0           | 19.6           | 57,900           | 105,200        | 1.57                  |
| RGH35HA         |                          |                |      |                     |    |                |    | 72             | 106.5 | 151.5          | 25.25          |      |          |      |                |                | 73,100           | 142,000        | 2.06                  |
| QRH35CA         | 55                       | 6.5            | 18.0 | 70                  | 50 | 10.0           | 50 | 79.0           | 124.0 | 22.50          | 10.00          | 12.0 | M8 × 12  | 12.0 | 16.0           | 19.6           | 77,000           | 94,700         | 1.56                  |
| QRH35HA         |                          |                |      |                     |    |                |    | 72             | 106.5 | 151.5          | 25.25          |      |          |      |                |                | 95,700           | 126,300        | 2.04                  |
| RGH45CA         | 70                       | 8.0            | 20.5 | 86                  | 60 | 13.0           | 60 | 106.0          | 153.2 | 31.00          | 10.00          | 12.9 | M10 × 17 | 16.0 | 20.0           | 24.0           | 92,600           | 178,800        | 3.18                  |
| RGH45HA         |                          |                |      |                     |    |                |    | 80             | 139.8 | 187.0          | 37.90          |      |          |      |                |                | 116,000          | 230,900        | 4.13                  |
| QRH45CA         | 70                       | 8.0            | 20.5 | 86                  | 60 | 13.0           | 60 | 106.0          | 153.2 | 31.00          | 10.00          | 12.9 | M10 × 17 | 16.0 | 20.0           | 24.0           | 123,200          | 156,400        | 3.16                  |
| QRH45HA         |                          |                |      |                     |    |                |    | 80             | 139.8 | 187.0          | 37.90          |      |          |      |                |                | 150,800          | 208,600        | 4.10                  |
| RGH55CA         | 80                       | 10.0           | 23.5 | 100                 | 75 | 12.5           | 75 | 125.5          | 183.7 | 37.75          | 12.50          | 12.9 | M12 × 18 | 17.5 | 22.0           | 27.5           | 130,500          | 252,000        | 4.89                  |
| RGH55HA         |                          |                |      |                     |    |                |    | 95             | 173.8 | 232.0          | 51.90          |      |          |      |                |                | 167,800          | 348,000        | 6.68                  |
| RGH65CA         | 90                       | 12.0           | 31.5 | 126                 | 76 | 25.0           | 70 | 160.0          | 232.0 | 60.80          | 15.80          | 12.9 | M16 × 20 | 25.0 | 15.0           | 15.0           | 213,000          | 411,600        | 8.89                  |
| RGH65HA         |                          |                |      |                     |    |                |    | 120            | 223.0 | 295.0          | 67.30          |      |          |      |                |                | 275,300          | 572,700        | 12.13                 |

Rozměry kolejnic viz Kapitola 3.6.10, standardní a volitelné mazací nástavce a adaptéry viz Kapitola 4.1.

# Lineární vedení

## Řada RG/QR

### 3.6.9.2 RGW/QRW



Tabulka 3.108 Rozměry vozíku

| Řada/<br>rozměr | Montážní rozměry [mm] |                |      | Rozměry vozíku [mm] |     |                |     |                |                |       |                |                |      |     |      |                |                |                |                  | Únosnosti [N]  |       | Hmotnost [kg] |
|-----------------|-----------------------|----------------|------|---------------------|-----|----------------|-----|----------------|----------------|-------|----------------|----------------|------|-----|------|----------------|----------------|----------------|------------------|----------------|-------|---------------|
|                 | H                     | H <sub>1</sub> | N    | W                   | B   | B <sub>1</sub> | C   | C <sub>1</sub> | L <sub>1</sub> | L     | K <sub>1</sub> | K <sub>2</sub> | G    | M   | T    | T <sub>1</sub> | H <sub>2</sub> | H <sub>3</sub> | C <sub>dyn</sub> | C <sub>0</sub> |       |               |
| RGW15CC         | 24                    | 4.0            | 16.0 | 47                  | 38  | 4.5            | 30  | 26             | 45.0           | 68.0  | 11.40          | 4.70           | 5.3  | M5  | 6.0  | 7              | 3.6            | 6.1            | 11,300           | 24,000         | 0.22  |               |
| RGW20CC         | 30                    | 5.0            | 21.5 | 63                  | 53  | 5.0            | 40  | 35             | 57.5           | 86.0  | 13.80          | 6.00           | 5.3  | M6  | 8.0  | 10             | 4.3            | 4.3            | 21,300           | 46,700         | 0.47  |               |
| RGW20HC         |                       |                |      |                     |     |                |     |                | 77.5           | 106.0 | 23.80          |                |      |     |      |                |                |                | 26,900           | 63,000         | 0.63  |               |
| RGW25CC         | 36                    | 5.5            | 23.5 | 70                  | 57  | 6.5            | 45  | 40             | 64.5           | 97.9  | 15.75          | 7.25           | 12.0 | M8  | 9.5  | 10             | 6.2            | 6.0            | 27,700           | 57,100         | 0.72  |               |
| RGW25HC         |                       |                |      |                     |     |                |     |                | 81.0           | 114.4 | 24.00          |                |      |     |      |                |                |                | 33,900           | 73,400         | 0.91  |               |
| QRW25CC         | 36                    | 5.5            | 23.5 | 70                  | 57  | 6.5            | 45  | 40             | 66.0           | 97.9  | 15.75          | 7.25           | 12.0 | M8  | 9.5  | 10             | 6.2            | 6.0            | 38,500           | 54,400         | 0.71  |               |
| QRW25HC         |                       |                |      |                     |     |                |     |                | 81.0           | 112.9 | 24.00          |                |      |     |      |                |                |                | 44,700           | 65,300         | 0.90  |               |
| RGW30CC         | 42                    | 6.0            | 31.0 | 90                  | 72  | 9.0            | 52  | 44             | 71.0           | 109.8 | 17.50          | 8.00           | 12.0 | M10 | 9.5  | 10             | 6.5            | 7.3            | 39,100           | 82,100         | 1.16  |               |
| RGW30HC         |                       |                |      |                     |     |                |     |                | 93.0           | 131.8 | 28.50          |                |      |     |      |                |                |                | 48,100           | 105,000        | 1.52  |               |
| QRW30CC         | 42                    | 6.0            | 31.0 | 90                  | 72  | 9.0            | 52  | 44             | 71.0           | 109.8 | 17.50          | 8.00           | 12.0 | M10 | 9.5  | 10             | 6.5            | 7.3            | 51,500           | 73,000         | 1.15  |               |
| QRW30HC         |                       |                |      |                     |     |                |     |                | 93.0           | 131.8 | 28.50          |                |      |     |      |                |                |                | 64,700           | 95,800         | 1.51  |               |
| RGW35CC         | 48                    | 6.5            | 33.0 | 100                 | 82  | 9.0            | 62  | 52             | 79.0           | 124.0 | 16.50          | 10.00          | 12.0 | M10 | 12.0 | 13             | 9.0            | 12.6           | 57,900           | 105,200        | 1.75  |               |
| RGW35HC         |                       |                |      |                     |     |                |     |                | 106.5          | 151.5 | 30.25          |                |      |     |      |                |                |                | 73,100           | 142,000        | 2.40  |               |
| QRW35CC         | 48                    | 6.5            | 33.0 | 100                 | 82  | 9.0            | 62  | 52             | 79.0           | 124.0 | 16.50          | 10.00          | 12.0 | M10 | 12.0 | 13             | 9.0            | 12.6           | 77,000           | 94,700         | 1.74  |               |
| QRW35HC         |                       |                |      |                     |     |                |     |                | 106.5          | 151.5 | 30.25          |                |      |     |      |                |                |                | 95,700           | 126,300        | 2.38  |               |
| RGW45CC         | 60                    | 8.0            | 37.5 | 120                 | 100 | 10.0           | 80  | 60             | 106.0          | 153.2 | 21.00          | 10.00          | 12.9 | M12 | 14.0 | 15             | 10.0           | 14.0           | 92,600           | 178,800        | 3.43  |               |
| RGW45HC         |                       |                |      |                     |     |                |     |                | 139.8          | 187.0 | 37.90          |                |      |     |      |                |                |                | 116,000          | 230,900        | 4.57  |               |
| QRW45CC         | 60                    | 8.0            | 37.5 | 120                 | 100 | 10.0           | 80  | 60             | 106.0          | 153.2 | 21.00          | 10.00          | 12.9 | M12 | 14.0 | 15             | 10.0           | 14.0           | 123,200          | 156,400        | 3.41  |               |
| QRW45HC         |                       |                |      |                     |     |                |     |                | 139.8          | 187.0 | 37.90          |                |      |     |      |                |                |                | 150,800          | 208,600        | 4.54  |               |
| RGW55CC         | 70                    | 10.0           | 43.5 | 140                 | 116 | 12.0           | 95  | 70             | 125.5          | 183.7 | 27.75          | 12.50          | 12.9 | M14 | 16.0 | 17             | 12.0           | 17.5           | 130,500          | 252,000        | 5.43  |               |
| RGW55HC         |                       |                |      |                     |     |                |     |                | 173.8          | 232.0 | 51.90          |                |      |     |      |                |                |                | 167,800          | 348,000        | 7.61  |               |
| RGW65CC         | 90                    | 12.0           | 53.5 | 170                 | 142 | 14.0           | 110 | 82             | 160.0          | 232.0 | 40.80          | 15.80          | 12.9 | M16 | 22.0 | 23             | 15.0           | 15.0           | 213,000          | 411,600        | 11.63 |               |
| RGW65HC         |                       |                |      |                     |     |                |     |                | 223.0          | 295.0 | 72.30          |                |      |     |      |                |                |                | 275,300          | 572,700        | 16.58 |               |

Rozměry kolejnič viz Kapitola 3.6.10, standardní a volitelné mazací nástavce a adaptéry viz Kapitola 4.1.

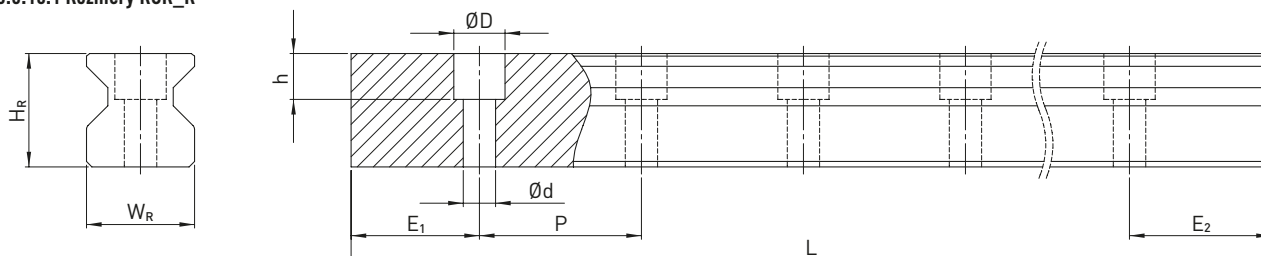
# Lineární vedení

## Řada RG/QR

### 3.6.10 Rozměry kolejnice RGR

Kolejnice RGR se používají jak pro vozíky RG, tak pro vozíky QR.

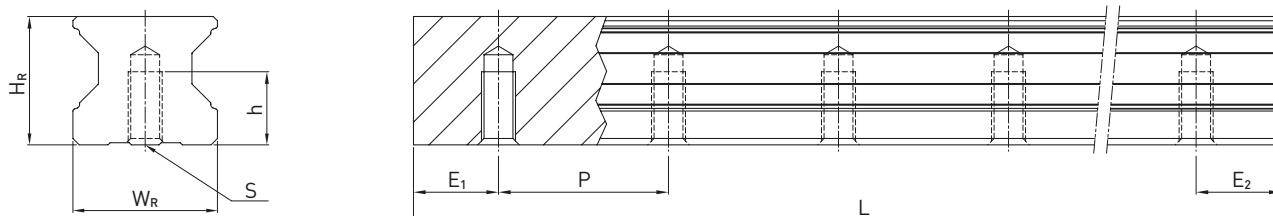
#### 3.6.10.1 Rozměry RGR\_R



Tabulka 3.109 Rozměry kolejnice RGR\_R

| Řada/<br>rozměr | Montážní šrouby<br>kolejnice [mm] | Rozměry kolejnice [mm] |                |      |      |      |      | Max. délka<br>[mm] | Max. délka<br>E <sub>1</sub> = E <sub>2</sub> [mm] | Min. délka<br>[mm] | E <sub>1/2</sub> min<br>[mm] | E <sub>1/2</sub> max<br>[mm] | Hmotnost<br>[kg/m] |
|-----------------|-----------------------------------|------------------------|----------------|------|------|------|------|--------------------|--|--------------------|------------------------------|------------------------------|--------------------|
|                 |                                   | W <sub>R</sub>         | H <sub>R</sub> | D    | h    | d    | P    |                    |  |                    |                              |                              |                    |
| RGR15R          | M4 × 20                           | 15                     | 16.5           | 7.5  | 5.7  | 4.5  | 30.0 | 4.000              | 3.960.0  | 72                 | 6                            | 24.0                         | 1.70               |
| RGR20R          | M5 × 25                           | 20                     | 21.0           | 9.5  | 8.5  | 6.0  | 30.0 | 4.000              | 3.960.0  | 74                 | 7                            | 23.0                         | 2.66               |
| RGR25R          | M6 × 30                           | 23                     | 23.6           | 11.0 | 9.0  | 7.0  | 30.0 | 4.000              | 3.960.0  | 76                 | 8                            | 22.0                         | 3.08               |
| RGR30R          | M8 × 35                           | 28                     | 28.0           | 14.0 | 12.0 | 9.0  | 40.0 | 4.000              | 3.920.0  | 98                 | 9                            | 31.0                         | 4.41               |
| RGR35R          | M8 × 35                           | 34                     | 30.2           | 14.0 | 12.0 | 9.0  | 40.0 | 4.000              | 3.920.0  | 98                 | 9                            | 31.0                         | 6.06               |
| RGR45R          | M12 × 45                          | 45                     | 38.0           | 20.0 | 17.0 | 14.0 | 52.5 | 4.000              | 3.937.5  | 129                | 12                           | 40.5                         | 9.97               |
| RGR55R          | M14 × 55                          | 53                     | 44.0           | 23.0 | 20.0 | 16.0 | 60.0 | 4.000              | 3.900.0  | 148                | 14                           | 46.0                         | 13.98              |
| RGR65R          | M16 × 65                          | 63                     | 53.0           | 26.0 | 22.0 | 18.0 | 75.0 | 4.000              | 3.900.0  | 180                | 15                           | 60.0                         | 20.22              |

#### 3.6.10.2 Rozměry RGR\_T



Tabulka 3.110 Rozměry kolejnice RGR\_T

| Řada/<br>rozměr | Rozměry kolejnice [mm] |                |                   |      |      | Max. délka<br>[mm] | Max. délka<br>E <sub>1</sub> = E <sub>2</sub> [mm] | Min. délka<br>[mm] | E <sub>1/2</sub> min<br>[mm] | E <sub>1/2</sub> max<br>[mm] | Hmotnost<br>[kg/m] |
|-----------------|------------------------|----------------|-------------------|------|------|--------------------|--|--------------------|------------------------------|------------------------------|--------------------|
|                 | W <sub>R</sub>         | H <sub>R</sub> | S                 | h    | p    |                    |  |                    |                              |                              |                    |
| RGR15T          | 15                     | 16.5           | M5                | 8.0  | 30.0 | 4.000              | 3.960.0  | 72                 | 6                            | 24.0                         | 1.86               |
| RGR20T          | 20                     | 21.0           | M6                | 10.0 | 30.0 | 4.000              | 3.960.0  | 74                 | 7                            | 23.0                         | 2.76               |
| RGR25T          | 23                     | 23.6           | M6                | 12.0 | 30.0 | 4.000              | 3.960.0  | 76                 | 8                            | 22.0                         | 3.36               |
| RGR30T          | 28                     | 28.0           | M8                | 15.0 | 40.0 | 4.000              | 3.920.0  | 98                 | 9                            | 31.0                         | 4.82               |
| RGR35T          | 34                     | 30.2           | M8                | 17.0 | 40.0 | 4.000              | 3.920.0  | 98                 | 9                            | 31.0                         | 6.48               |
| RGR45T          | 45                     | 38.0           | M12               | 24.0 | 52.5 | 4.000              | 3.937.5  | 129                | 12                           | 40.5                         | 10.83              |
| RGR55T          | 53                     | 44.0           | M14               | 24.0 | 60.0 | 4.000              | 3.900.0  | 148                | 14                           | 46.0                         | 15.15              |
| RGR65T          | 63                     | 53.0           | M20 <sup>1)</sup> | 30.0 | 75.0 | 4.000              | 3.900.0  | 180                | 15                           | 60.0                         | 21.24              |

<sup>1)</sup> Odchylka od normy DIN 645

Poznámka:

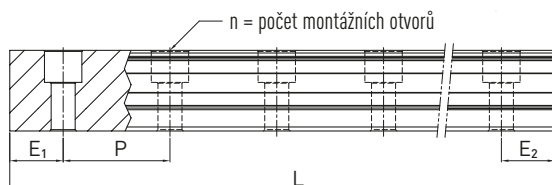
1. Tolerance pro E je +0,5 až - 1 mm pro standardní kolejnice a 0 až - 0,3 mm pro spoje.
2. Pokud rozměry E<sub>1/2</sub> nejsou uvedeny, bude určen maximální počet montážních otvorů pro minimální rozměr E<sub>1/2</sub>
3. Kolejnice se zkracují na požadovanou délku. Pokud rozměry E<sub>1/2</sub> nejsou uvedeny, provádí se zkracování symetricky.

## Lineární vedení

### Řada RG/QR

#### 3.6.10.3 Výpočet délky kolejnice

Společnost HIWIN nabízí kolejnice v individuálních délkách. Aby nevzniklo riziko nestability konce kolejnice, nesmí hodnota E překročit polovinu vzdálenosti mezi montážními otvory (P). Současně musí hodnota  $E_{1/2}$  být v rozmezí  $E_{1/2}$  min až  $E_{1/2}$  max., aby montážní otvor nepraskl.



#### F 3.19

$$L = (n - 1) \times P + E_1 + E_2$$

- L Celková délka kolejnice [mm]
- n Počet montážních otvorů
- P Vzdálenost mezi dvěma montážními otvory [mm]
- $E_{1/2}$  Vzdálenost od středu posledního montážního otvoru ke konci kolejnice [mm]

#### 3.6.10.4 Utahovací momenty pro montážní šrouby

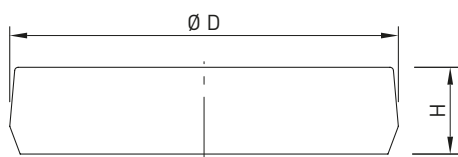
Nedostatečné utahení montážních šroubů významně snižuje přesnost lineárního vedení; proto se pro příslušné rozměry šroubů doporučují níže uvedené utahovací momenty.

Tabulka 3.111 Utahovací momenty pro montážní šrouby podle normy ISO 4762-12.9

| Řada/rozměr | Rozměr šroubu | Utahovací moment [Nm] | Řada/rozměr | Rozměr šroubu | Utahovací moment [Nm] |
|-------------|---------------|-----------------------|-------------|---------------|-----------------------|
| RG_15       | M4 × 20       | 4                     | RG_35       | M8 × 35       | 31                    |
| RG_20       | M5 × 25       | 9                     | RG_45       | M12 × 45      | 120                   |
| RG_25       | M6 × 30       | 14                    | RG_55       | M14 × 55      | 160                   |
| RG_30       | M8 × 35       | 31                    | RG_65       | M16 × 65      | 200                   |

#### 3.6.10.5 Zátky montážních otvorů kolejnic

Zátky montážních otvorů kolejnic se používají na ochranu otvorů před prachem a úlomky. Kolejnice jsou vybaveny standardními zátkami. Jiné typy zátek se musí objednat zvlášť.



Tabulka 3.112 Zátky montážních otvorů kolejnic

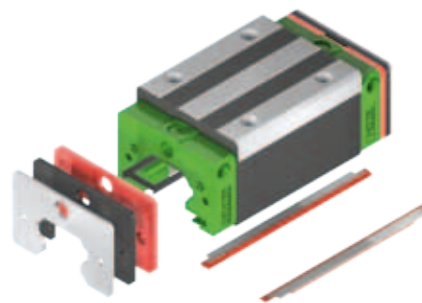
| Kolejnice | Šroub | Označení |       |        | Ø D [mm] | Výška H [mm] |
|-----------|-------|----------|-------|--------|----------|--------------|
|           |       | Plast    | Mosaz | Ocel   |          |              |
| RGR15R    | M4    | C4       | C4-M  | —      | 7.5      | 1.1          |
| RGR20R    | M5    | C5       | C5-M  | C5-ST  | 9.5      | 2.2          |
| RGR25R    | M6    | C6       | C6-M  | C6-ST  | 11.0     | 2.5          |
| RGR30R    | M8    | C8       | C8-M  | C8-ST  | 14.0     | 3.3          |
| RGR35R    | M8    | C8       | C8-M  | C8-ST  | 14.0     | 3.3          |
| RGR45R    | M12   | C12      | C12-M | C12-ST | 20.0     | 4.6          |
| RGR55R    | M14   | C14      | C14-M | C14-ST | 23.0     | 5.5          |
| RGR65R    | M16   | C16      | C16-M | C16-ST | 26.0     | 5.5          |

# Lineární vedení

## Řada RG/QR

### 3.6.11 Těsnící systémy

Pro vedení HIWIN jsou k dispozici různé těsnící systémy. Jejich přehled najdete v kapitole 2.9. Tabulka níže obsahuje celkové délky vedení s různými těsnícími systémy.



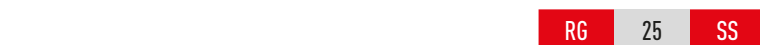
Tabulka 3.113 Celková délka vozíku pro různé těsnící systémy

| Řada/<br>rozměr | Celková délka L |       |       |       |       |       |
|-----------------|-----------------|-------|-------|-------|-------|-------|
|                 | SS              | DD    | ZZ    | KK    | SW    | ZWX   |
| RG_15C          | 68.0            | 72.4  | 70.0  | 74.4  | —     | —     |
| RG_20C          | 86.0            | 90.4  | 88.0  | 92.4  | —     | —     |
| RG_20H          | 106.0           | 110.4 | 108.0 | 112.4 | —     | —     |
| RG_25C          | 97.9            | 102.3 | 99.9  | 104.3 | —     | —     |
| QR_25C          | 97.7            | 102.3 | 99.9  | 104.3 | —     | —     |
| RG_25H          | 114.4           | 118.8 | 116.4 | 120.8 | —     | —     |
| QR_25H          | 112.9           | 117.3 | 114.9 | 119.3 | —     | —     |
| RG_30C          | 109.8           | 114.6 | 112.8 | 117.6 | —     | —     |
| QR_30C          | 109.8           | 114.6 | 112.8 | 117.6 | —     | —     |
| RG_30H          | 131.8           | 136.6 | 134.8 | 139.6 | —     | —     |
| QR_30H          | 131.8           | 136.6 | 134.8 | 139.6 | —     | —     |
| RG_35C          | 124.0           | 129.0 | 127.0 | 132.0 | —     | —     |
| QR_35C          | 124.0           | 129.0 | 127.0 | 132.0 | —     | —     |
| RG_35H          | 151.5           | 156.5 | 154.5 | 159.5 | —     | —     |
| QR_35H          | 151.5           | 156.5 | 154.5 | 159.5 | —     | —     |
| RG_45C          | 153.2           | 160.4 | 156.2 | 163.4 | 156.5 | 166.2 |
| QR_45C          | 153.2           | 160.4 | 156.2 | 163.4 | —     | —     |
| RG_45H          | 187.0           | 194.2 | 190.0 | 197.2 | 190.3 | 200.0 |
| QR_45H          | 187.0           | 194.2 | 190.0 | 197.2 | —     | —     |
| RG_55C          | 183.7           | 190.9 | 186.7 | 193.9 | 186.9 | 198.3 |
| RG_55H          | 232.0           | 239.2 | 235.0 | 242.2 | 235.2 | 246.6 |
| RG_65C          | 232.0           | 240.8 | 235.0 | 243.8 | 235.2 | 245.3 |
| RG_65H          | 295.0           | 303.8 | 298.0 | 306.8 | 298.2 | 308.3 |

Jednotka: mm

#### 3.6.11.1 Označení sad těsnění

Sady těsnění se vždy dodávají s montážním materiálem.



Řada:

RG  
QR

Velikost:

RG: 15, 20, 25, 30, 35, 45, 55, 65  
QR: 25, 30, 35, 45

Typ těsnění:

- SS: Standardní těsnění
- ZZ: Těsnění s plechovým stěračem
- DD: Dvojitě těsnění
- KK: Dvojitě těsnění s plechovým stěračem
- SW: Těsnění s dvojitým břitem
- ZWX: Těsnění s dvojitým břitem a nerezovým stěračem

# Lineární vedení

## Řada RG/QR

### 3.6.12 Tření

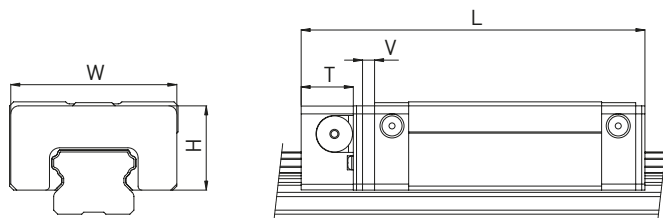
Tabulka ukazuje maximální třecí odpor jednotlivých koncových těsnění. Podle typu těsnění (SS, DD, ZZ, KK) se tyto hodnoty mohou násobit. Uvedené hodnoty se vztahují na vozíky na kolejničích bez povtlakování. V případě povtlakování je tření vyšší.

Tabulka 3.114 Třecí odpor těsnění s jedním břitem

| Řada/rozměr | Třecí síla [N] | Řada/rozměr | Třecí síla [N] |
|-------------|----------------|-------------|----------------|
| RG_15       | 2.0            | RG/QR_35    | 3.5            |
| RG_20       | 2.5            | RG/QR_45    | 4.2            |
| RG/QR_25    | 2.8            | RG_55       | 5.1            |
| RG/QR_30    | 3.3            | RG_65       | 6.7            |

### 3.6.13 Mazací jednotka E2

Další informace o mazací jednotce naleznete v kapitole 2.6.3.



Tabulka 3.115 Rozměry vozíku s mazací jednotkou E2

| Model  | Rozměry vozíku [mm] |      |      |     |                               |                               |                               |                               | Množství oleje [cm <sup>3</sup> ] | Vzdálenost <sup>2)</sup> [km] |
|--------|---------------------|------|------|-----|-------------------------------|-------------------------------|-------------------------------|-------------------------------|-----------------------------------|-------------------------------|
|        | W                   | H    | T    | V   | L <sub>SS</sub> <sup>1)</sup> | L <sub>ZZ</sub> <sup>1)</sup> | L <sub>DD</sub> <sup>1)</sup> | L <sub>KK</sub> <sup>1)</sup> |                                   |                               |
| RG_25C | 46.8                | 29.2 | 13.5 | 3.5 | 114.9                         | 116.9                         | 119.3                         | 121.3                         | 5.0                               | 6,000                         |
| RG_25H | 46.8                | 29.2 | 13.5 | 3.5 | 131.4                         | 133.4                         | 135.8                         | 137.8                         | 5.0                               | 6,000                         |
| RG_30C | 58.8                | 34.9 | 13.5 | 3.5 | 126.8                         | 129.8                         | 131.6                         | 134.6                         | 7.5                               | 8,000                         |
| RG_30H | 58.8                | 34.9 | 13.5 | 3.5 | 148.8                         | 151.8                         | 153.6                         | 156.6                         | 7.5                               | 8,000                         |
| RG_35C | 68.8                | 40.3 | 13.5 | 3.5 | 141.0                         | 144.0                         | 146.0                         | 149.0                         | 10.7                              | 10,000                        |
| RG_35H | 68.8                | 40.3 | 13.5 | 3.5 | 168.5                         | 171.5                         | 173.5                         | 176.5                         | 10.7                              | 10,000                        |
| RG_45C | 83.8                | 50.2 | 16.0 | 4.5 | 173.7                         | 176.7                         | 180.9                         | 183.9                         | 18.5                              | 20,000                        |
| RG_45H | 83.8                | 50.2 | 16.0 | 4.5 | 207.5                         | 210.5                         | 214.7                         | 217.7                         | 18.5                              | 20,000                        |
| RG_55C | 97.6                | 58.4 | 16.0 | 4.5 | 204.2                         | 207.2                         | 211.4                         | 214.4                         | 26.5                              | 30,000                        |
| RG_55H | 97.6                | 58.4 | 16.0 | 4.5 | 252.5                         | 255.5                         | 259.7                         | 262.7                         | 26.5                              | 30,000                        |
| RG_65C | 121.7               | 76.1 | 16.0 | 4.5 | 252.5                         | 255.5                         | 261.3                         | 264.3                         | 50.5                              | 40,000                        |
| RG_65H | 121.7               | 76.1 | 16.0 | 4.5 | 315.5                         | 318.5                         | 324.3                         | 327.3                         | 50.5                              | 40,000                        |

<sup>1)</sup> Celková délka závisí na zvolené ochraně proti prachu. SS = Standardní ochrana proti prachu.

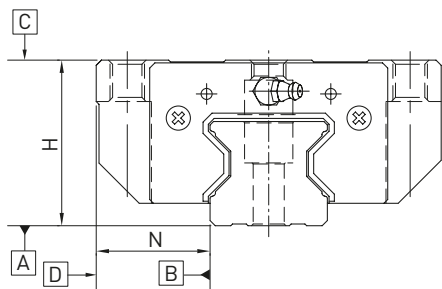
<sup>2)</sup> Vzdálenost, po níž je nejpozději nutno zkontrolovat hladinu oleje v nádrže.

# Lineární vedení

## Řada RG/QR

### 3.6.14 Tolerance v závislosti na třídě přesnosti

Lineární vedení řady RG a QR je rozděleno do čtyř tříd přesnosti podle rovnoběžnosti mezi vozíkem a kolejnicí a přesnosti rozměrů H a N. Volba třídy přesnosti je dána požadavky na přesnost stroje.



#### 3.6.14.1 Rovnoběžnost

Rovnoběžnost dorazových ploch kolejnice B a vozíku D a rovnoběžnost horní plochy vozíku C vůči montážní ploše kolejnice A. Předpokládá se ideální montáž lineárního vedení a měření ve středu vozíku.

Tabulka 3.116 Tolerance rovnoběžnosti vozíku vůči kolejnici

| Délka kolejnice [mm] | Třída přesnosti |    |    |    |
|----------------------|-----------------|----|----|----|
|                      | H               | P  | SP | UP |
| - 100                | 7               | 3  | 2  | 2  |
| 100 - 200            | 9               | 4  | 2  | 2  |
| 200 - 300            | 10              | 5  | 3  | 2  |
| 300 - 500            | 12              | 6  | 3  | 2  |
| 500 - 700            | 13              | 7  | 4  | 2  |
| 700 - 900            | 15              | 8  | 5  | 3  |
| 900 - 1100           | 16              | 9  | 6  | 3  |
| 1100 - 1500          | 18              | 11 | 7  | 4  |
| 1500 - 1900          | 20              | 13 | 8  | 4  |
| 1900 - 2500          | 22              | 15 | 10 | 5  |
| 2500 - 3100          | 25              | 18 | 11 | 6  |
| 3100 - 3600          | 27              | 20 | 14 | 7  |
| 3600 - 4000          | 28              | 21 | 15 | 7  |

Jednotka:  $\mu\text{m}$

# Lineární vedení

## Řada RG/QR

### 3.6.14.2 Přesnost – výška a šířka

#### Výšková tolerance H

Tolerance výšky H měřené od středu plochy vozíku C po spodní stranu kolejnice A s vozíkem na libovolné pozici na kolejnici.

#### Rozptyl hodnot rozměru H

Povolený rozptyl hodnot výšky H mezi jednotlivými vozíky na jedné kolejnici měřeno ve stejné poloze na kolejnici.

#### Šířková tolerance N

Tolerance šířky N, měřeno mezi středem dorazové plochy vozíku D a referenční hranou kolejnice B na libovolné pozici na kolejnici.

#### Rozptyl hodnot rozměru N

Povolený rozptyl hodnot šířky N mezi jednotlivými vozíky na jedné kolejnici měřeno ve stejné poloze na kolejnici.

Tabulka 3.117 Tolerance výšky a šířky pro nezaměnitelné typy

| Řada/rozměr                    | Třída přesnosti   | Tolerance výšky H | Tolerance šířky N | Rozptyl hodnot výšky H | Rozptyl hodnot šířky N |
|--------------------------------|-------------------|-------------------|-------------------|------------------------|------------------------|
| RG_15, 20                      | H (Vysoká)        | ± 0.03            | ± 0.03            | 0.01                   | 0.01                   |
|                                | P (Přesná)        | 0<br>- 0.03       | 0<br>- 0.03       | 0.006                  | 0.006                  |
|                                | SP (Super přesná) | 0<br>- 0.015      | 0<br>- 0.015      | 0.004                  | 0.004                  |
|                                | UP (Ultra přesná) | 0<br>- 0.008      | 0<br>- 0.008      | 0.003                  | 0.003                  |
| RG_25, 30, 35<br>QR_25, 30, 35 | H (Vysoká)        | ± 0.04            | ± 0.04            | 0.015                  | 0.015                  |
|                                | P (Přesná)        | 0<br>- 0.04       | 0<br>- 0.04       | 0.007                  | 0.007                  |
|                                | SP (Super přesná) | 0<br>- 0.02       | 0<br>- 0.02       | 0.005                  | 0.005                  |
|                                | UP (Ultra přesná) | 0<br>- 0.01       | 0<br>- 0.01       | 0.003                  | 0.003                  |
| RG_45, 55<br>QR_45             | H (Vysoká)        | ± 0.05            | ± 0.05            | 0.015                  | 0.02                   |
|                                | P (Přesná)        | 0<br>- 0.05       | 0<br>- 0.05       | 0.007                  | 0.01                   |
|                                | SP (Super přesná) | 0<br>- 0.03       | 0<br>- 0.03       | 0.005                  | 0.007                  |
|                                | UP (Ultra přesná) | 0<br>- 0.02       | 0<br>- 0.02       | 0.003                  | 0.005                  |
| RG_65                          | H (Vysoká)        | ± 0.07            | ± 0.07            | 0.02                   | 0.025                  |
|                                | P (Přesná)        | 0<br>- 0.07       | 0<br>- 0.07       | 0.01                   | 0.015                  |
|                                | SP (Super přesná) | 0<br>- 0.05       | 0<br>- 0.05       | 0.007                  | 0.01                   |
|                                | UP (Ultra přesná) | 0<br>- 0.03       | 0<br>- 0.03       | 0.005                  | 0.007                  |

Jednotka: mm

Tabulka 3.118 Tolerance výšky a šířky u zaměnitelných typů

| Řada/rozměr                    | Třída přesnosti | Tolerance výšky H | Tolerance šířky N | Rozptyl hodnot výšky H | Rozptyl hodnot šířky N |
|--------------------------------|-----------------|-------------------|-------------------|------------------------|------------------------|
| RG_15, 20                      | H (Vysoká)      | ± 0.03            | ± 0.03            | 0.01                   | 0.01                   |
|                                | P (Přesná)      | ± 0.015           | ± 0.015           | 0.006                  | 0.006                  |
| RG_25, 30, 35<br>QR_25, 30, 35 | H (Vysoká)      | ± 0.04            | ± 0.04            | 0.015                  | 0.015                  |
|                                | P (Přesná)      | ± 0.02            | ± 0.02            | 0.007                  | 0.007                  |
| RG_45, 55<br>QR_45             | H (Vysoká)      | ± 0.05            | ± 0.05            | 0.015                  | 0.02                   |
|                                | P (Přesná)      | ± 0.025           | ± 0.025           | 0.007                  | 0.01                   |
| RG_65                          | H (Vysoká)      | ± 0.07            | ± 0.07            | 0.02                   | 0.025                  |
|                                | P (Přesná)      | ± 0.035           | ± 0.035           | 0.01                   | 0.015                  |

Jednotka: mm

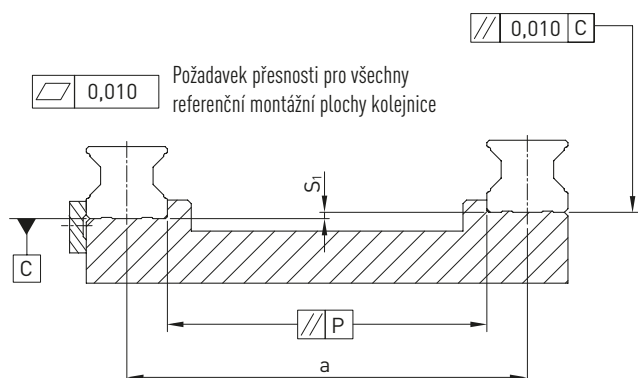
# Lineární vedení

## Řada RG/QR

### 3.6.14.3 Povolené nepřesnosti montážních ploch

Splnění požadavků na přesnost montážních ploch umožní dosáhnout plných hodnot přesnosti, tuhosti a životnosti lineárních vedení řady RG a QR.

#### Tolerance rovnoběžnosti referenční plochy (P)



Tabulka 3.119 Tolerance rovnoběžnosti (P)

| Řada/rozměr | Třída předepnutí |    |
|-------------|------------------|----|
|             | ZA               | ZB |
| RG_15       | 3                | 3  |
| RG_20       | 6                | 4  |
| RG/QR_25    | 7                | 5  |
| RG/QR_30    | 8                | 6  |
| RG/QR_35    | 10               | 7  |
| RG/QR_45    | 13               | 9  |
| RG_55       | 14               | 11 |
| RG_65       | 18               | 14 |

Jednotka:  $\mu\text{m}$

#### Tolerance výšky referenční plochy (S<sub>1</sub>)

**F 3.20**  $S_1 = a \times K$

- S<sub>1</sub> Max. tolerance výšky [mm]
- a Vzdálenost mezi kolejnicemi [mm]
- K Koefficient tolerance výšky

Tabulka 3.120 Koefficient tolerance výšky (K)

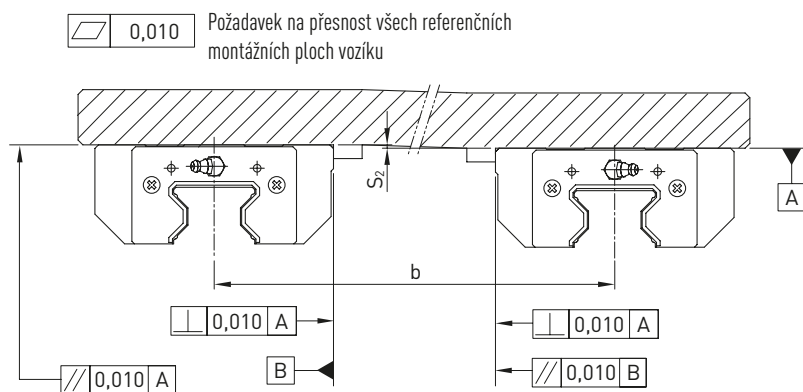
| Řada/rozměr           | Třída předepnutí     |                      |
|-----------------------|----------------------|----------------------|
|                       | ZA                   | ZB                   |
| RG_15 – 65/QR_25 – 45 | $1.7 \times 10^{-4}$ | $1.2 \times 10^{-4}$ |

# Lineární vedení

## Řada RG/QR

### Tolerance výšky montážní plochy vozíku

- Tolerance výšky referenční plochy při paralelním použití dvou a více vozíků ( $S_2$ ).

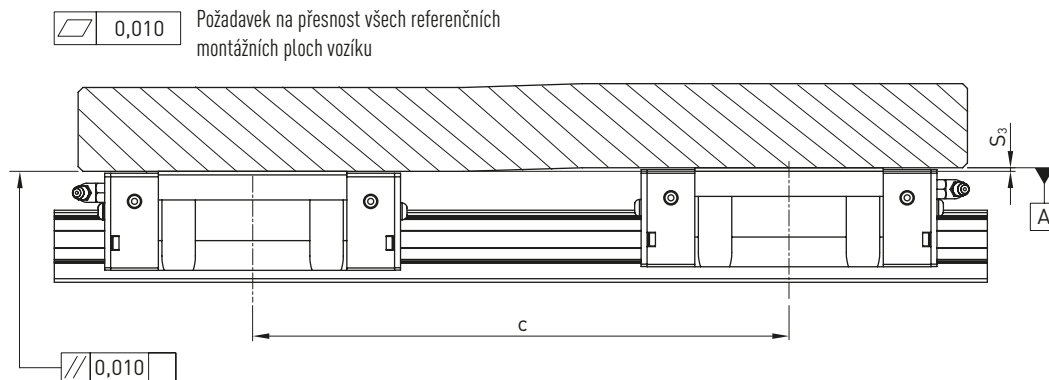


F 3.21

$$S_2 = b \times 4,2 \times 10^{-5}$$

$S_2$  Max. tolerance výšky [mm]  
b Vzdálenost mezi vozíky [mm]

- Tolerance výšky referenční plochy při paralelním použití dvou a více vozíků ( $S_3$ ).



F 3.22

$$S_3 = c \times 4,2 \times 10^{-5}$$

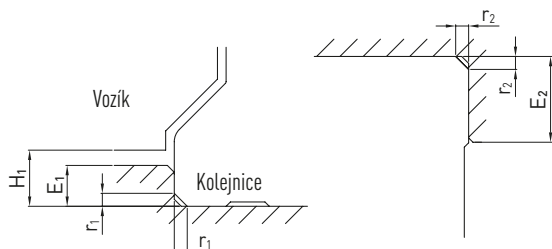
$S_3$  Max. tolerance výšky [mm]  
c Vzdálenost mezi vozíky [mm]

# Lineární vedení

## Řada RG/QR

### 3.6.15 Výška osazení a drážky

Nepřesnosti ve výšce osazení a drážkách montážních ploch ovlivňují přesnost a mohou vést ke kolizím mezi profilem vozíku a kolejnice. Pro zamezení problémům při montáži je nutno dodržovat následující výšky osazení a koncových profilů.



Tabulka 3.121 Výška osazení a drážky

| Řada/rozměr | Max. poloměr hrany $r_1$ | Max. poloměr hrany $r_2$ | Výška referenční hrany kolejnice $E_1$ | Výška referenční hrany vozíku $E_2$ | Světlá výška pod vozíkem $H_1$ |
|-------------|--------------------------|--------------------------|--|-------------------------------------|--------------------------------|
| RG_15       | 0.5                      | 0.5                      | 4.0                                    | 4.0                                 | 4.0                            |
| RG_20       | 0.5                      | 0.5                      | 5.0                                    | 5.0                                 | 5.0                            |
| RG/QR_25    | 1.0                      | 1.0                      | 5.0                                    | 5.0                                 | 5.5                            |
| RG/QR_30    | 1.0                      | 1.0                      | 5.0                                    | 5.0                                 | 6.0                            |
| RG/QR_35    | 1.0                      | 1.0                      | 6.0                                    | 6.0                                 | 6.5                            |
| RG/QR_45    | 1.0                      | 1.0                      | 7.0                                    | 8.0                                 | 8.0                            |
| RG_55       | 1.5                      | 1.5                      | 9.0                                    | 10.0                                | 10.0                           |
| RG_65       | 1.5                      | 1.5                      | 10.0                                   | 10.0                                | 12.0                           |

Jednotka: mm

# Řada CRG

Řada CRG využívá pro valivý pohyb válečky a vyznačuje se vysokou tuhostí a únosností. Výborně chrání před nečistotami a opotřebením koncových těsnění díky krycímu pásku.

# 01

[WWW.HIWIN.CZ](http://WWW.HIWIN.CZ)

# Lineární vedení

## Řada CRG

### 3.7 Řada CRG

#### 3.7.1 Vlastnosti lineárního vedení, řada CRG

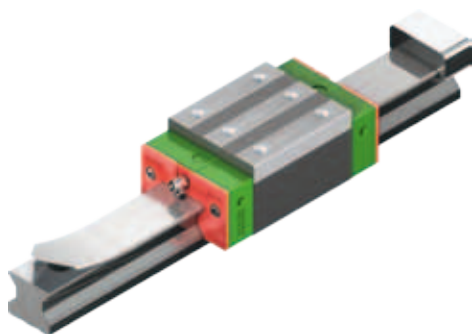
Lineární vedení HIWIN řady CRG používá jako nositele valivého pohybu válečky a vyznačuje se mimořádně vysokou tuhostí a velmi dobrou únosností. Je navrženo s kontaktním úhlem 45°. Jeho lineární kontaktní plochy značně snižují deformace od zátěže a zajišťují tak vysokou tuhost a únosnost ve všech čtyřech směrech zatížení. Proto je lineární vedení řady CRG ideální pro přesné strojírenství.

Kolejnice je chráněna krycím páskem, který minimalizuje pronikání prachu a opotřebení těsnění. Tento krycí pásek lze snadno nainstalovat v několika málo jednoduchých krocích.

#### 3.7.2 Konstrukce řady CRG

Bezvřetové válečkové lineární vedení s optimální ochranou proti prachu již v základním provedení.

Jednoduchá montáž, krycí pásek pomáhá k lepší ochraně proti vniknutí nečistot a proti opotřebení stěračů.



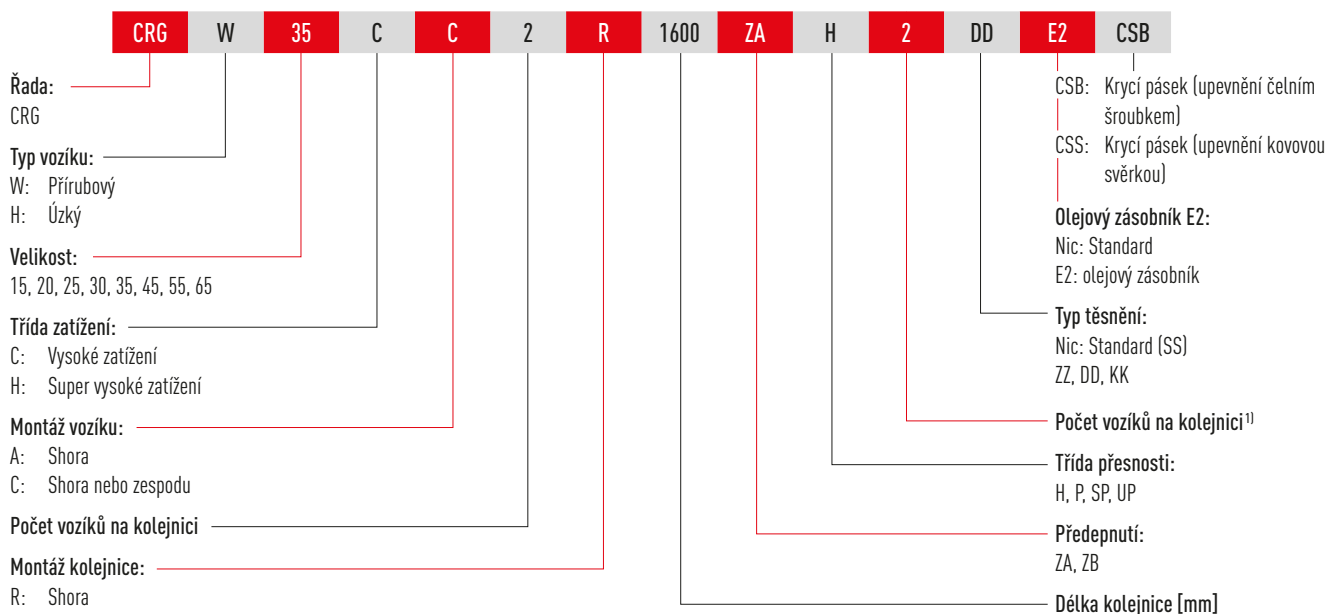
#### Výhody:

- Bezvřetové
- Zaměnitelné
- Velmi vysoké únosnosti
- Velmi vysoká tuhost
- Nízké posuvové síly i při vysokém předepnutí
- Krycí pásek

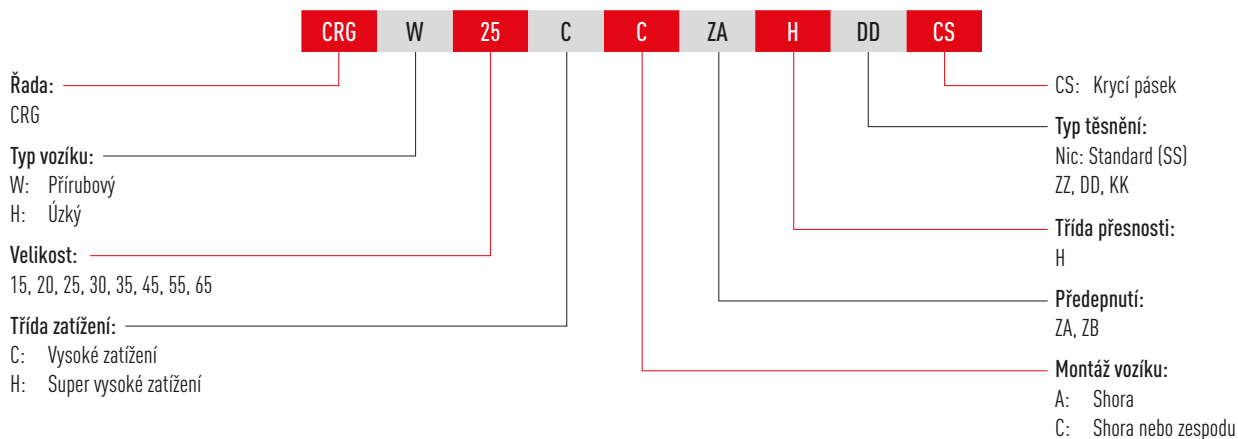
# Lineární vedení

## Řada CRG

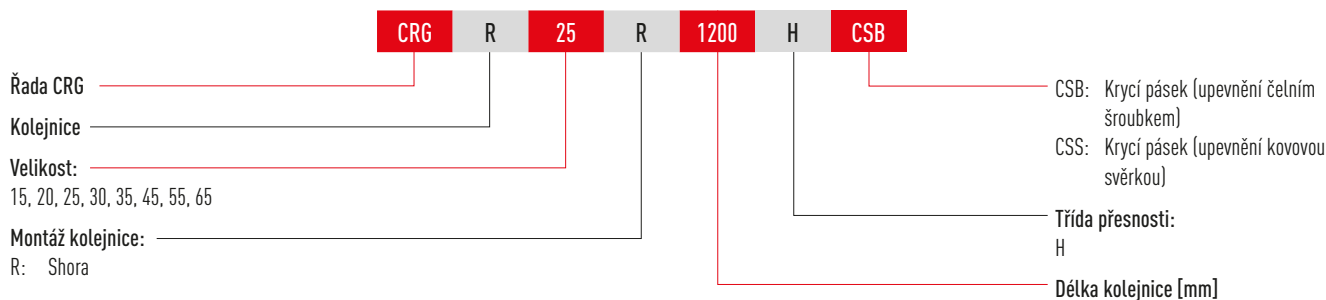
- Objednací kód pro lineární systém (vozik namontovaný na kolejnici)



- Objednací kód pro samostatný vozík



- Objednací kód pro samostatnou kolejnici



Poznámka:

<sup>1)</sup> Číslo 2 ukazuje také množství, tj. jedna položka výše zmíněného výrobku obsahuje dvojici kolejníc.

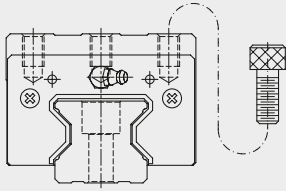
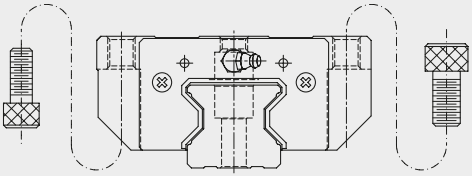
# Lineární vedení

## Řada CRG

### 3.7.3 Typ vozíku

Společnost HIWIN nabízí pro lineární vedení úzké a přírubové vozíky. Přírubové vozíky jsou díky své nízké výšce a větší montážní ploše vhodnější pro větší zatížení.

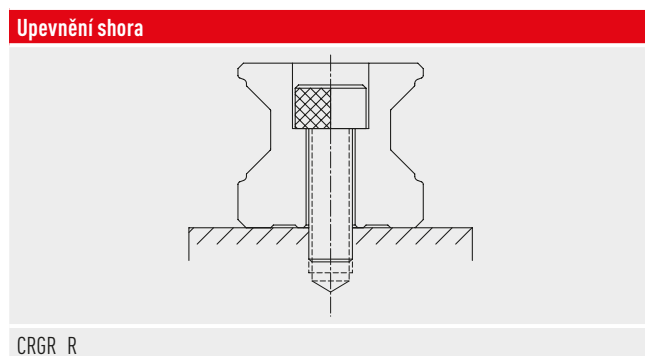
Tabulka 3.122 Typ vozíku

| Provedení       | Řada/<br>rozměr    | Konstrukce  | Výška<br>[mm] | Typické použití   |
|-----------------|--------------------|---|---------------|---|
| Úzký vozík      | CRGH-CA<br>CRGH-HA |  | 28 – 90       | <ul style="list-style-type: none"> <li>○ Automatizace</li> <li>○ Dopravní prostředky</li> <li>○ CNC Obráběcí centra</li> <li>○ Výkonné řezačky</li> <li>○ CNC brusky</li> <li>○ Vstříkovací stroje</li> <li>○ Portálové frézky</li> </ul> |
| Přírubový vozík | CRGW-CC<br>CRGW-HC |  | 24 – 90       | <ul style="list-style-type: none"> <li>○ Stroje a systémy vyžadující vysokou tuhost</li> <li>○ Jiskrové elektroerozivní stroje</li> </ul>   |

### 3.7.4 Typy kolejnic

Kolejnice se standardním upevněním shora.

Tabulka 3.123 Typy kolejnic



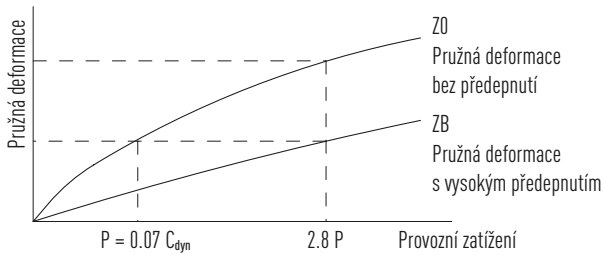
# Lineární vedení

## Řada CRG

### 3.7.5 Předepnutí

#### Definice

Každá kolejnice může být předpnuta kuličkami. Křivka ukazuje, že se s hodnotou předepnutí zdvojnásobuje tuhost. Řada RG/OR nabízí dvě standardní předepnutí pro různá použití a podmínky.

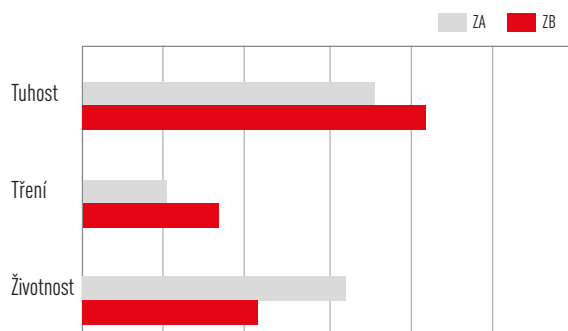


#### Označení předepnutí:

Tabulka 3.124 Označení předepnutí:

| Označení | Předepnutí         |                       | Použití  |
|----------|--------------------|-----------------------|--|
| ZA       | Střední předepnutí | 0.07 – 0.09 $C_{dyn}$ | Požadavky na vysokou přesnost                                      |
| ZB       | Vysoké předepnutí  | 0.12 – 0.14 $C_{dyn}$ | Požadavky na velmi vysokou tuhost, kde se vyskytují vibrace a rázy |

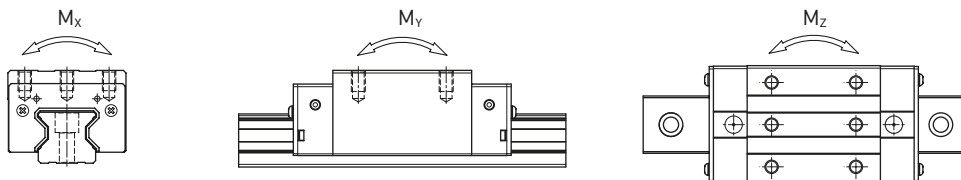
Tento graf ukazuje závislost mezi tuhostí, třecím odporem a jmenovitou životností vedení. U menších typů se doporučuje nepřekračovat předepnutí ZA, aby vlivem předepnutí nedocházelo ke zkrácení životnosti.



# Lineární vedení

## Řada CRG

### 3.7.6 Únosnosti a momenty



Tabulka 3.125 Únosnosti a momenty pro řadu CRG

| Řada/rozměr | Dynamická únosnost<br>$C_{dyn}$ [N] <sup>1)</sup> | Statická únosnost<br>$C_0$ [N] | Dynamický moment [Nm] |        |        | Statický moment [Nm] |          |          |
|-------------|---|--------------------------------|-----------------------|--------|--------|----------------------|----------|----------|
|             |   |                                | $M_x$                 | $M_y$  | $M_z$  | $M_{0x}$             | $M_{0y}$ | $M_{0z}$ |
| CRG_15C     | 11,300  | 24,000                         | 147                   | 82     | 82     | 311                  | 173      | 173      |
| CRG_20C     | 21,300  | 46,700                         | 296                   | 210    | 210    | 647                  | 460      | 460      |
| CRG_20H     | 26,900  | 63,000                         | 373                   | 358    | 358    | 872                  | 837      | 837      |
| CRG_25C     | 27,700  | 57,100                         | 367                   | 293    | 293    | 758                  | 605      | 605      |
| CRG_25H     | 33,900  | 73,400                         | 450                   | 457    | 457    | 975                  | 991      | 991      |
| CRG_30C     | 39,100  | 82,100                         | 688                   | 504    | 504    | 1,445                | 1,060    | 1,060    |
| CRG_30H     | 48,100  | 105,000                        | 845                   | 784    | 784    | 1,846                | 1,712    | 1,712    |
| CRG_35C     | 57,900  | 105,200                        | 1,194                 | 792    | 792    | 2,170                | 1,440    | 1,440    |
| CRG_35H     | 73,100  | 142,000                        | 1,508                 | 1,338  | 1,338  | 2,930                | 2,600    | 2,600    |
| CRG_45C     | 92,600  | 178,800                        | 2,340                 | 1,579  | 1,579  | 4,520                | 3,050    | 3,050    |
| CRG_45H     | 116,000   | 230,900                        | 3,180                 | 2,748  | 2,748  | 6,330                | 5,470    | 5,470    |
| CRG_55C     | 130,500   | 252,000                        | 4,148                 | 2,796  | 2,796  | 8,010                | 5,400    | 5,400    |
| CRG_55H     | 167,800   | 348,000                        | 5,376                 | 4,942  | 4,942  | 11,150               | 10,250   | 10,250   |
| CRG_65C     | 213,000   | 411,600                        | 8,383                 | 5,997  | 5,997  | 16,200               | 11,590   | 11,590   |
| CRG_65H     | 275,300   | 572,700                        | 10,839                | 10,657 | 10,657 | 22,550               | 22,170   | 22,170   |

<sup>1)</sup> Dynamická únosnost pro celkovou dráhu 100 km

# Lineární vedení

## Řada CRG

### 3.7.7 Tuhost

Tuhost závisí na předepnutí. Vzorec F 3.23 se používá pro určení deformace v závislosti na tuhosti.

#### F 3.23

$$\delta = \frac{P}{k}$$

$\delta$  Deformace [ $\mu\text{m}$ ]  
 $P$  Provozní zatížení [N]  
 $k$  Tuhost [N/ $\mu\text{m}$ ]

Tabulka 3.126 Radiální tuhost pro sérii CRG

| Druh zatížení         | Řada/<br>rozměr | Tuhost v závislosti na předepnutí |       |
|-----------------------|-----------------|-----------------------------------|-------|
|                       |                 | ZA                                | ZB    |
| Vysoké zatížení       | CRG_15C         | 504                               | 520   |
|                       | CRG_20C         | 614                               | 633   |
|                       | CRG_25C         | 717                               | 740   |
|                       | CRG_30C         | 849                               | 876   |
|                       | CRG_35C         | 1,002                             | 1,035 |
|                       | CRG_45C         | 1,505                             | 1,554 |
|                       | CRG_55C         | 1,591                             | 1,643 |
|                       | CRG_65C         | 2,227                             | 2,300 |
| Super vysoké zatížení | CRG_20H         | 823                               | 848   |
|                       | CRG_25H         | 917                               | 947   |
|                       | CRG_30H         | 1,136                             | 1,173 |
|                       | CRG_35H         | 1,344                             | 1,388 |
|                       | CRG_45H         | 1,938                             | 2,002 |
|                       | CRG_55H         | 2,182                             | 2,254 |
|                       | CRG_65H         | 3,077                             | 3,178 |

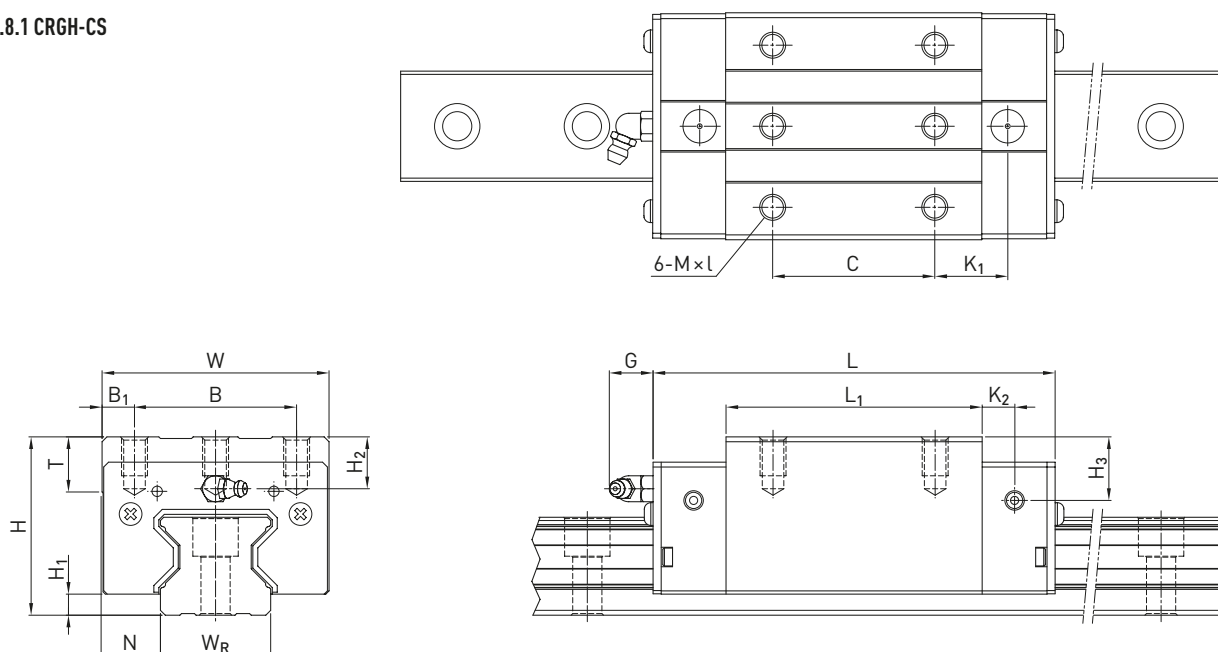
Jednotka: N/ $\mu\text{m}$

# Lineární vedení

## Řada CRG

### 3.7.8 Rozměry vozíku CRG

#### 3.7.8.1 CRGH-CS



Tabulka 3.127 Rozměry vozíku

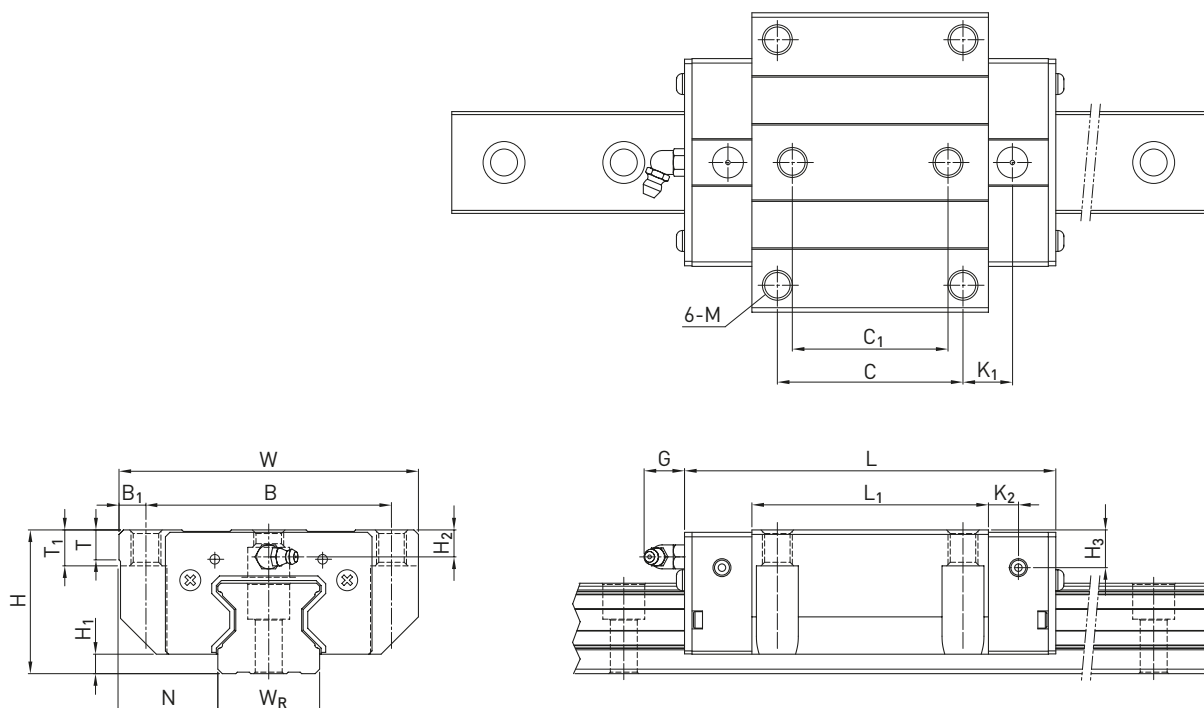
| Řada/<br>rozměr | Montážní rozměry [mm] |                |      | Rozměry vozíku [mm] |    |                |     |                |       |                |                |      |          |      |                |                | Únosnosti [N]    |                | Hmotnost [kg] |
|-----------------|-----------------------|----------------|------|---------------------|----|----------------|-----|----------------|-------|----------------|----------------|------|----------|------|----------------|----------------|------------------|----------------|---------------|
|                 | H                     | H <sub>1</sub> | N    | W                   | B  | B <sub>1</sub> | C   | L <sub>1</sub> | L     | K <sub>1</sub> | K <sub>2</sub> | G    | M × l    | T    | H <sub>2</sub> | H <sub>3</sub> | C <sub>dyn</sub> | C <sub>0</sub> |               |
| CRGH15CA-CS     | 28                    | 4.0            | 9.5  | 34                  | 26 | 4.0            | 26  | 45.0           | 68.0  | 13.40          | 4.70           | 5.3  | M4 × 8   | 6.0  | 7.6            | 10.1           | 11,300           | 24,000         | 0.20          |
| CRGH20CA-CS     | 34                    | 5.0            | 12.0 | 44                  | 32 | 6.0            | 36  | 57.5           | 86.0  | 15.80          | 6.00           | 5.3  | M5 × 8   | 8.0  | 8.3            | 8.3            | 21,300           | 46,700         | 0.40          |
| CRGH20HA-CS     |                       |                |      |                     |    |                | 50  | 77.5           | 106.0 | 18.80          |                |      |          |      |                |                |                  |                |               |
| CRGH25CA-CS     | 40                    | 5.5            | 12.5 | 48                  | 35 | 6.5            | 35  | 64.5           | 97.9  | 20.75          | 7.25           | 12.0 | M6 × 8   | 9.5  | 10.2           | 10.0           | 27,700           | 57,100         | 0.61          |
| CRGH25HA-CS     |                       |                |      |                     |    |                | 50  | 81.0           | 114.4 | 21.50          |                |      |          |      |                |                |                  |                |               |
| CRGH30CA-CS     | 45                    | 6.0            | 16.0 | 60                  | 40 | 10.0           | 40  | 71.0           | 109.8 | 23.50          | 8.00           | 12.0 | M8 × 10  | 9.5  | 9.5            | 10.3           | 39,100           | 82,100         | 0.90          |
| CRGH30HA-CS     |                       |                |      |                     |    |                | 60  | 93.0           | 131.8 | 24.50          |                |      |          |      |                |                |                  |                |               |
| CRGH35CA-CS     | 55                    | 6.5            | 18.0 | 70                  | 50 | 10.0           | 50  | 79.0           | 124.0 | 22.50          | 10.00          | 12.0 | M8 × 12  | 12.0 | 16.0           | 19.6           | 57,900           | 105,200        | 1.57          |
| CRGH35HA-CS     |                       |                |      |                     |    |                | 72  | 106.5          | 151.5 | 25.25          |                |      |          |      |                |                |                  |                |               |
| CRGH45CA-CS     | 70                    | 8.0            | 20.5 | 86                  | 60 | 13.0           | 60  | 106.0          | 153.2 | 31.00          | 10.00          | 12.9 | M10 × 17 | 16.0 | 20.0           | 24.0           | 92,600           | 178,800        | 3.18          |
| CRGH45HA-CS     |                       |                |      |                     |    |                | 80  | 139.8          | 187.0 | 37.90          |                |      |          |      |                |                |                  |                |               |
| CRGH55CA-CS     | 80                    | 10.0           | 23.5 | 100                 | 75 | 12.5           | 75  | 125.5          | 183.7 | 37.75          | 12.50          | 12.9 | M12 × 18 | 17.5 | 22.0           | 27.5           | 130,500          | 252,000        | 4.89          |
| CRGH55HA-CS     |                       |                |      |                     |    |                | 95  | 173.8          | 232.0 | 51.90          |                |      |          |      |                |                |                  |                |               |
| CRGH65CA-CS     | 90                    | 12.0           | 31.5 | 126                 | 76 | 25.0           | 70  | 160.0          | 232.0 | 60.80          | 15.80          | 12.9 | M16 × 20 | 25.0 | 15.0           | 15.0           | 213,000          | 411,600        | 8.89          |
| CRGH65HA-CS     |                       |                |      |                     |    |                | 120 | 223.0          | 295.0 | 67.30          |                |      |          |      |                |                |                  |                |               |

Rozměry kolejnic viz Kapitola 3.7.9, standardní a volitelné mazací nástavce a adaptéry viz Kapitola 4.1.

# Lineární vedení

## Řada CRG

### 3.7.8.2 CRGW-CS



Tabulka 3.128 Rozměry vozíku

| Řada/<br>rozměr | Montážní rozměry [mm] |                |      | Rozměry vozíku [mm] |     |                |     |                |                |       |                |                |      |     |      |                |                | Únosnosti [N]  |                  | Hmotnost [kg] |                |
|-----------------|-----------------------|----------------|------|---------------------|-----|----------------|-----|----------------|----------------|-------|----------------|----------------|------|-----|------|----------------|----------------|----------------|------------------|---------------|----------------|
|                 | H                     | H <sub>1</sub> | N    | W                   | B   | B <sub>1</sub> | C   | C <sub>1</sub> | L <sub>1</sub> | L     | K <sub>1</sub> | K <sub>2</sub> | G    | M   | T    | T <sub>1</sub> | H <sub>2</sub> | H <sub>3</sub> | C <sub>dyn</sub> |               | C <sub>0</sub> |
| CRGW15CC-CS     | 24                    | 4.0            | 16.0 | 47                  | 38  | 4.5            | 30  | 26             | 45.0           | 68.0  | 11.40          | 4.70           | 5.3  | M5  | 6.0  | 6.95           | 3.6            | 6.1            | 11,300           | 24,000        | 0.22           |
| CRGW20CC-CS     | 30                    | 5.0            | 21.5 | 63                  | 53  | 5.0            | 40  | 35             | 57.5           | 86.0  | 13.80          | 6.00           | 5.3  | M6  | 8.0  | 10.00          | 4.3            | 4.3            | 21,300           | 46,700        | 0.47           |
| CRGW20HC-CS     |                       |                |      |                     |     |                |     |                | 77.5           | 106.0 | 23.80          |                |      |     |      |                |                |                | 26,900           | 63,000        | 0.63           |
| CRGW25CC-CS     | 36                    | 5.5            | 23.5 | 70                  | 57  | 6.5            | 45  | 40             | 64.5           | 97.9  | 15.75          | 7.25           | 12.0 | M8  | 9.5  | 10.00          | 6.2            | 6.0            | 27,700           | 57,100        | 0.72           |
| CRGW25HC-CS     |                       |                |      |                     |     |                |     |                | 81.0           | 114.4 | 24.00          |                |      |     |      |                |                |                | 33,900           | 73,400        | 0.91           |
| CRGW30CC-CS     | 42                    | 6.0            | 31.0 | 90                  | 72  | 9.0            | 52  | 44             | 71.0           | 109.8 | 17.50          | 8.00           | 12.0 | M10 | 9.5  | 10.00          | 6.5            | 7.3            | 39,100           | 82,100        | 1.16           |
| CRGW30HC-CS     |                       |                |      |                     |     |                |     |                | 93.0           | 131.8 | 28.50          |                |      |     |      |                |                |                | 48,100           | 105,000       | 1.52           |
| CRGW35CC-CS     | 48                    | 6.5            | 33.0 | 100                 | 82  | 9.0            | 62  | 52             | 79.0           | 124.0 | 16.50          | 10.00          | 12.0 | M10 | 12.0 | 13.00          | 9.0            | 12.6           | 57,900           | 105,200       | 1.75           |
| CRGW35HC-CS     |                       |                |      |                     |     |                |     |                | 106.5          | 151.5 | 30.25          |                |      |     |      |                |                |                | 73,100           | 142,000       | 2.40           |
| CRGW45CC-CS     | 60                    | 8.0            | 37.5 | 120                 | 100 | 10.0           | 80  | 60             | 106.0          | 153.2 | 21.00          | 10.00          | 12.9 | M12 | 14.0 | 15.00          | 10.0           | 14.0           | 92,600           | 178,800       | 3.43           |
| CRGW45HC-CS     |                       |                |      |                     |     |                |     |                | 139.8          | 187.0 | 37.90          |                |      |     |      |                |                |                | 116,000          | 230,900       | 4.57           |
| CRGW55CC-CS     | 70                    | 10.0           | 43.5 | 140                 | 116 | 12.0           | 95  | 70             | 125.5          | 183.7 | 27.75          | 12.50          | 12.9 | M14 | 16.0 | 17.00          | 12.0           | 17.5           | 130,500          | 252,000       | 5.43           |
| CRGW55HC-CS     |                       |                |      |                     |     |                |     |                | 173.8          | 232.0 | 51.90          |                |      |     |      |                |                |                | 167,800          | 348,000       | 7.61           |
| CRGW65CC-CS     | 90                    | 12.0           | 53.5 | 170                 | 142 | 14.0           | 110 | 82             | 160.0          | 232.0 | 40.80          | 15.80          | 12.9 | M16 | 22.0 | 23.00          | 15.0           | 15.0           | 213,000          | 411,600       | 11.63          |
| CRGW65HC-CS     |                       |                |      |                     |     |                |     |                | 223.0          | 295.0 | 72.30          |                |      |     |      |                |                |                | 275,300          | 572,700       | 16.58          |

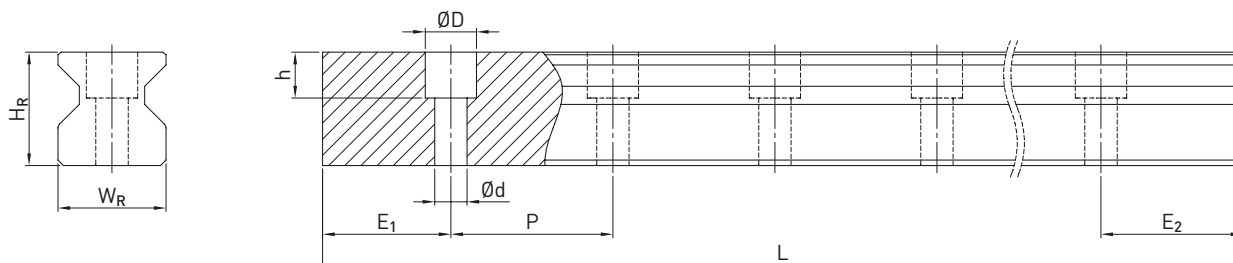
Rozměry kolejnic viz Kapitola 3.7.9, standardní a volitelné mazací nástavce a adaptéry viz Kapitola 4.1.

# Lineární vedení

## Řada CRG

### 3.7.9 Rozměry kolejnice CRG

#### 3.7.9.1 CRGR\_R



Tabulka 3.129 Rozměry kolejnice CRGR\_R

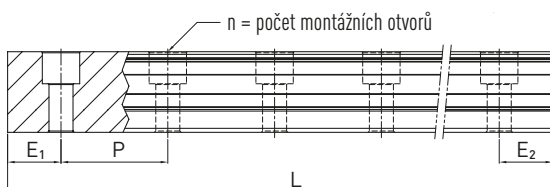
| Řada/<br>rozměr | Montážní šrouby<br>kolejnice [mm] | Rozměry kolejnice [mm] |                |      |      |      |      | Max. délka<br>[mm] | Max. délka<br>E <sub>1</sub> = E <sub>2</sub> [mm] | Min. délka<br>[mm] | E <sub>1/2</sub> min<br>[mm] | E <sub>1/2</sub> max<br>[mm] | Hmotnost<br>[kg/m] |
|-----------------|-----------------------------------|------------------------|----------------|------|------|------|------|--------------------|--|--------------------|------------------------------|------------------------------|--------------------|
|                 |                                   | W <sub>R</sub>         | H <sub>R</sub> | D    | h    | d    | P    |                    |  |                    |                              |                              |                    |
| CRGR15R         | M4 × 20                           | 15                     | 16.5           | 7.5  | 5.7  | 4.5  | 30.0 | 4,000              | 3,960,0  | 72                 | 6                            | 24.0                         | 1.80               |
| CRGR20R         | M5 × 25                           | 20                     | 21.0           | 9.5  | 8.5  | 6.0  | 30.0 | 4,000              | 3,960,0  | 74                 | 7                            | 23.0                         | 2.76               |
| CRGR25R         | M6 × 30                           | 23                     | 23.6           | 11.0 | 9.0  | 7.0  | 30.0 | 4,000              | 3,960,0  | 76                 | 8                            | 22.0                         | 3.08               |
| CRGR30R         | M8 × 35                           | 28                     | 28.0           | 14.0 | 12.0 | 9.0  | 40.0 | 4,000              | 3,920,0  | 98                 | 9                            | 31.0                         | 4.41               |
| CRGR35R         | M8 × 35                           | 34                     | 30.2           | 14.0 | 12.0 | 9.0  | 40.0 | 4,000              | 3,920,0  | 98                 | 9                            | 31.0                         | 6.06               |
| CRGR45R         | M12 × 45                          | 45                     | 38.0           | 20.0 | 17.0 | 14.0 | 52.5 | 4,000              | 3,937,5  | 129                | 12                           | 40.5                         | 9.97               |
| CRGR55R         | M14 × 55                          | 53                     | 44.0           | 23.0 | 20.0 | 16.0 | 60.0 | 4,000              | 3,900,0  | 148                | 14                           | 46.0                         | 13.98              |
| CRGR65R         | M16 × 65                          | 63                     | 53.0           | 26.0 | 22.0 | 18.0 | 75.0 | 4,000              | 3,900,0  | 180                | 15                           | 60.0                         | 20.22              |

Poznámka:

1. Tolerance pro E je +0,5 až - 1 mm pro standardní kolejnice a 0 až - 0,3 mm pro spoje.
2. Pokud rozměry E<sub>1/2</sub> nejsou uvedeny, bude určen maximální počet montážních otvorů pro minimální rozměr E<sub>1/2</sub>.
3. Kolejnice se zkracují na požadovanou délku. Pokud rozměry E<sub>1/2</sub> nejsou uvedeny, provádí se zkracování symetricky.

#### 3.7.9.2 Výpočet délky kolejnice

Společnost HIWIN nabízí kolejnice v individuálních délkách. Aby nevzniklo riziko nestability konce kolejnice, nesmí hodnota E překročit polovinu vzdálenosti mezi montážními otvory (P). Současně musí hodnota E<sub>1/2</sub> být v rozmezí E<sub>1/2</sub> min až E<sub>1/2</sub> max., aby montážní otvor nepraskl.



F 3.24

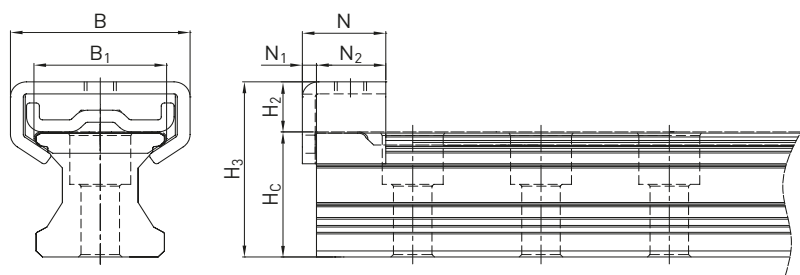
$$L = (n - 1) \times P + E_1 + E_2$$

- L Celková délka kolejnice [mm]
- n Počet montážních otvorů
- P Vzdálenost mezi dvěma montážními otvory [mm]
- E<sub>1/2</sub> Vzdálenost od středu posledního montážního otvoru ke konci kolejnice [mm]

## Lineární vedení

### Řada CRG

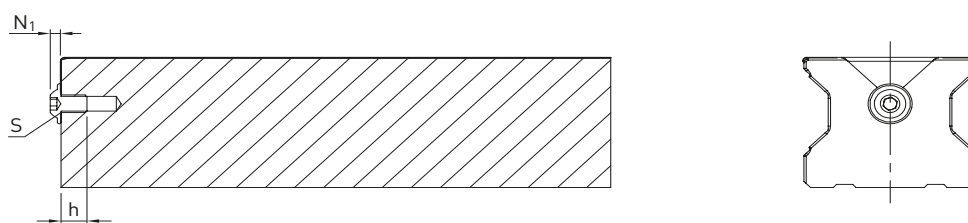
#### 3.7.9.3 Upevnění krycího pásku kovovou svěrkou



Tabulka 3.130 Rozměry upevnění kovovou svěrkou

| Řada/velikost | H <sub>3</sub> [mm] | H <sub>c</sub> [mm] | H <sub>2</sub> [mm] | N  | N <sub>1</sub> [mm] | N <sub>2</sub> [mm] | B [mm] | B <sub>1</sub> [mm] |
|---------------|---------------------|---------------------|---------------------|----|---------------------|---------------------|--------|---------------------|
| CRG_15        | 20.5                | 16.7                | 3.8                 | 15 | 2.2                 | 12.8                | 21.00  | 15.8                |
| CRG_20        | 28.4                | 21.2                | 7.2                 | 13 | 2.2                 | 10.8                | 28.00  | 20.7                |
| CRG_25        | 33.8                | 23.8                | 10.0                | 15 | 2.2                 | 12.8                | 30.70  | 23.9                |
| CRG_30        | 37.4                | 28.2                | 9.2                 | 12 | 2.2                 | 9.8                 | 34.00  | 28.9                |
| CRG_35        | 41.6                | 30.4                | 11.2                | 18 | 2.2                 | 15.8                | 40.00  | 34.8                |
| CRG_45        | 50.2                | 38.2                | 12.0                | 18 | 2.2                 | 15.8                | 53.58  | 45.6                |
| CRG_55        | 55.4                | 44.2                | 11.2                | 18 | 2.2                 | 15.8                | 58.60  | 53.7                |
| CRG_65        | 65.2                | 53.2                | 12.0                | 18 | 2.2                 | 15.8                | 71.80  | 63.6                |

#### 3.7.9.4 Upevnění krycího pásku čelním šroubkem



Tabulka 3.131 Rozměry kolejnice s čelním upínacím šroubkem

| Řada/velikost | S [mm] | H [mm] | N <sub>1</sub> [mm] |
|---------------|--------|--------|---------------------|
| CRG_15        | M3     | 5      | 1,65                |
| CRG_20        | M4     | 5      | 2,20                |
| CRG_25        | M4     | 5      | 2,20                |
| CRG_30        | M4     | 5      | 2,20                |
| CRG_35        | M6     | 9      | 3,30                |
| CRG_45        | M6     | 9      | 3,30                |
| CRG_55        | M6     | 9      | 3,30                |
| CRG_65        | M6     | 9      | 3,30                |

#### 3.7.9.5 Utahovací momenty pro montážní šrouby

Nedostatečné utahení montážních šroubů významně snižuje přesnost lineárního vedení; proto se pro příslušné rozměry šroubů doporučují níže uvedené utahovací momenty.

Tabulka 3.132 Utahovací momenty pro montážní šrouby podle normy ISO 4762-12.9

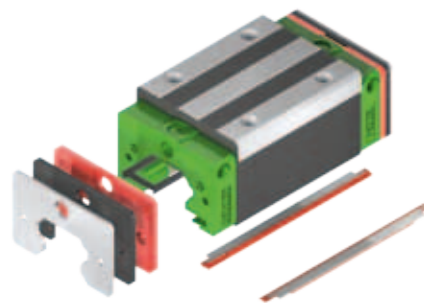
| Řada/rozměr | Rozměr šroubu | Utahovací moment [Nm] | Řada/rozměr | Rozměr šroubu | Utahovací moment [Nm] |
|-------------|---------------|-----------------------|-------------|---------------|-----------------------|
| CRG_15      | M4 × 20       | 4                     | CRG_35      | M8 × 35       | 31                    |
| CRG_20      | M5 × 25       | 9                     | CRG_45      | M12 × 45      | 120                   |
| CRG_25      | M6 × 30       | 14                    | CRG_55      | M14 × 55      | 160                   |
| CRG_30      | M8 × 35       | 31                    | CRG_65      | M16 × 65      | 200                   |

# Lineární vedení

## Řada CRG

### 3.7.10 Těsnící systémy

Pro vedení HIWIN jsou k dispozici různé těsnící systémy. Jejich přehled najdete v kapitole 2.9. Tabulka níže obsahuje celkové délky vedení s různými těsnícími systémy.



Tabulka 3.133 Celková délka vozíku pro různé těsnící systémy

| Řada/<br>rozměr | Celková délka L |       |       |       |
|-----------------|-----------------|-------|-------|-------|
|                 | SS              | DD    | ZZ    | KK    |
| CRG_15C         | 68.0            | 72.4  | 70.0  | 74.4  |
| CRG_20C         | 86.0            | 90.4  | 88.0  | 92.4  |
| CRG_20H         | 106.0           | 110.4 | 108.0 | 112.4 |
| CRG_25C         | 97.9            | 102.3 | 99.9  | 104.3 |
| CRG_25H         | 114.4           | 118.8 | 116.4 | 120.8 |
| CRG_30C         | 109.8           | 114.6 | 112.8 | 117.6 |
| CRG_30H         | 131.8           | 136.6 | 134.8 | 139.6 |
| CRG_35C         | 124.0           | 129.0 | 127.0 | 132.0 |
| CRG_35H         | 151.5           | 156.5 | 154.5 | 159.5 |
| CRG_45C         | 153.2           | 160.4 | 156.2 | 163.4 |
| CRG_45H         | 187.0           | 194.2 | 190.0 | 197.2 |
| CRG_55C         | 183.7           | 190.9 | 186.7 | 193.9 |
| CRG_55H         | 232.0           | 239.2 | 235.0 | 242.2 |
| CRG_65C         | 232.0           | 240.8 | 235.0 | 243.8 |
| CRG_65H         | 295.0           | 303.8 | 298.0 | 306.8 |

Jednotka: mm

### 3.7.10.1 Označení sad těsnění

Sady těsnění se vždy dodávají s montážním materiálem.



#### Typ těsnění:

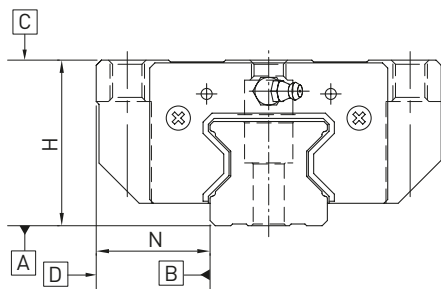
- SS: Standardní těsnění
- ZZ: Těsnění s plechovým stěračem
- DD: Dvojitě těsnění
- KK: Dvojitě těsnění s plechovým stěračem

# Lineární vedení

## Řada CRG

### 3.7.11 Tolerance v závislosti na třídě přesnosti

Lineární vedení řady CRG je rozděleno do čtyř tříd přesnosti podle rovnoběžnosti mezi vozíkem a kolejnici a přesnosti rozměrů H a N. Volba třídy přesnosti je dána požadavky na přesnost stroje.



#### 3.7.11.1 Rovnoběžnost

Rovnoběžnost dorazových ploch kolejnice B a vozíku D a rovnoběžnost horní plochy vozíku C vůči montážní ploše kolejnice A. Předpokládá se ideální montáž lineárního vedení a měření ve středu vozíku.

Tabulka 3.134 Tolerance rovnoběžnosti vozíku vůči kolejnici

| Délka kolejnice [mm] | Třída přesnosti |    |    |    |
|----------------------|-----------------|----|----|----|
|                      | H               | P  | SP | UP |
| - 100                | 7               | 3  | 2  | 2  |
| 100 - 200            | 9               | 4  | 2  | 2  |
| 200 - 300            | 10              | 5  | 3  | 2  |
| 300 - 500            | 12              | 6  | 3  | 2  |
| 500 - 700            | 13              | 7  | 4  | 2  |
| 700 - 900            | 15              | 8  | 5  | 3  |
| 900 - 1100           | 16              | 9  | 6  | 3  |
| 1100 - 1500          | 18              | 11 | 7  | 4  |
| 1500 - 1900          | 20              | 13 | 8  | 4  |
| 1900 - 2500          | 22              | 15 | 10 | 5  |
| 2500 - 3100          | 25              | 18 | 11 | 6  |
| 3100 - 3600          | 27              | 20 | 14 | 7  |
| 3600 - 4000          | 28              | 21 | 15 | 7  |

Jednotka:  $\mu\text{m}$

# Lineární vedení

## Řada CRG

### 3.7.11.2 Přesnost – výška a šířka

#### Výšková tolerance H

Tolerance výšky H měřené od středu plochy vozíku C po spodní stranu kolejnice A s vozíkem na libovolné pozici na kolejnici.

#### Rozptyl hodnot rozměru H

Povolený rozptyl hodnot výšky H mezi jednotlivými vozíky na jedné kolejnici měřeno ve stejné poloze na kolejnici.

#### Šířková tolerance N

Tolerance šířky N, měřeno mezi středem dorazové plochy vozíku D a referenční hranou kolejnice B na libovolné pozici na kolejnici.

#### Rozptyl hodnot rozměru N

Povolený rozptyl hodnot šířky N mezi jednotlivými vozíky na jedné kolejnici měřeno ve stejné poloze na kolejnici.

Tabulka 3.135 Tolerance výšky a šířky pro nezaměnitelné typy

| Řada/rozměr    | Třída přesnosti   | Tolerance výšky H | Tolerance šířky N | Rozptyl hodnot výšky H | Rozptyl hodnot šířky N |
|----------------|-------------------|-------------------|-------------------|------------------------|------------------------|
| CRG_15, 20     | H (Vysoká)        | ± 0.03            | ± 0.03            | 0.01                   | 0.01                   |
|                | P (Přesná)        | 0<br>- 0.03       | 0<br>- 0.03       | 0.006                  | 0.006                  |
|                | SP (Super přesná) | 0<br>- 0.015      | 0<br>- 0.015      | 0.004                  | 0.004                  |
|                | UP (Ultra přesná) | 0<br>- 0.008      | 0<br>- 0.008      | 0.003                  | 0.003                  |
| CRG_25, 30, 35 | H (Vysoká)        | ± 0.04            | ± 0.04            | 0.015                  | 0.015                  |
|                | P (Přesná)        | 0<br>- 0.04       | 0<br>- 0.04       | 0.007                  | 0.007                  |
|                | SP (Super přesná) | 0<br>- 0.02       | 0<br>- 0.02       | 0.005                  | 0.005                  |
|                | UP (Ultra přesná) | 0<br>- 0.01       | 0<br>- 0.01       | 0.003                  | 0.003                  |
| CRG_45, 55     | H (Vysoká)        | ± 0.05            | ± 0.05            | 0.015                  | 0.02                   |
|                | P (Přesná)        | 0<br>- 0.05       | 0<br>- 0.05       | 0.007                  | 0.01                   |
|                | SP (Super přesná) | 0<br>- 0.03       | 0<br>- 0.03       | 0.005                  | 0.007                  |
|                | UP (Ultra přesná) | 0<br>- 0.02       | 0<br>- 0.02       | 0.003                  | 0.005                  |
| CRG_65         | H (Vysoká)        | ± 0.07            | ± 0.07            | 0.02                   | 0.025                  |
|                | P (Přesná)        | 0<br>- 0.07       | 0<br>- 0.07       | 0.01                   | 0.015                  |
|                | SP (Super přesná) | 0<br>- 0.05       | 0<br>- 0.05       | 0.007                  | 0.01                   |
|                | UP (Ultra přesná) | 0<br>- 0.03       | 0<br>- 0.03       | 0.005                  | 0.007                  |

Jednotka: mm

Tabulka 3.136 Tolerance výšky a šířky u zaměnitelných typů

| Řada/rozměr    | Třída přesnosti | Tolerance výšky H | Tolerance šířky N | Rozptyl hodnot výšky H | Rozptyl hodnot šířky N |
|----------------|-----------------|-------------------|-------------------|------------------------|------------------------|
| CRG_15, 20     | H (Vysoká)      | ± 0.03            | ± 0.03            | 0.01                   | 0.01                   |
|                | P (Přesná)      | ± 0.015           | ± 0.015           | 0.006                  | 0.006                  |
| CRG_25, 30, 35 | H (Vysoká)      | ± 0.04            | ± 0.04            | 0.015                  | 0.015                  |
|                | P (Přesná)      | ± 0.02            | ± 0.02            | 0.007                  | 0.007                  |
| CRG_45, 55     | H (Vysoká)      | ± 0.05            | ± 0.05            | 0.015                  | 0.02                   |
|                | P (Přesná)      | ± 0.025           | ± 0.025           | 0.007                  | 0.01                   |
| CRG_65         | H (Vysoká)      | ± 0.07            | ± 0.07            | 0.02                   | 0.025                  |
|                | P (Přesná)      | ± 0.035           | ± 0.035           | 0.01                   | 0.015                  |

Jednotka: mm

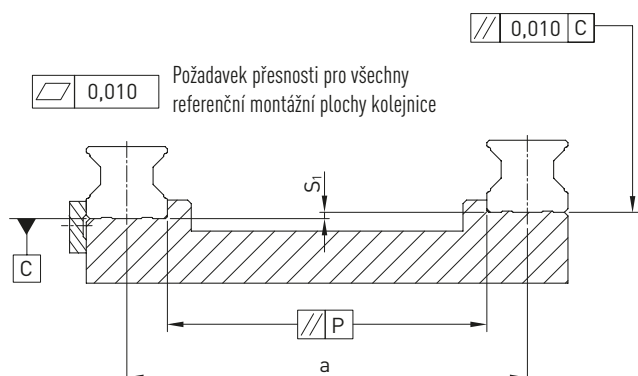
# Lineární vedení

## Řada CRG

### 3.7.11.3 Povolené nepřesnosti montážních ploch

Splnění požadavků na přesnost montážních ploch umožní dosáhnout plných hodnot přesnosti, tuhosti a životnosti lineárních vedení řady CRG.

#### Tolerance rovnoběžnosti referenční plochy (P)



Tabulka 3.137 Tolerance rovnoběžnosti (P)

| Řada/rozměr | Třída předepnutí |    |
|-------------|------------------|----|
|             | ZA               | ZB |
| CRG_15      | 3                | 3  |
| CRG_20      | 6                | 4  |
| CRG_25      | 7                | 5  |
| CRG_30      | 8                | 6  |
| CRG_35      | 10               | 7  |
| CRG_45      | 13               | 9  |
| CRG_55      | 14               | 11 |
| CRG_65      | 18               | 14 |

Jednotka: μm

#### Tolerance výšky referenční plochy (S<sub>1</sub>)

**F 3.25**  $S_1 = a \times K$

- S<sub>1</sub> Max. tolerance výšky [mm]
- a Vzdálenost mezi kolejnicemi [mm]
- K Koefficient tolerance výšky

Tabulka 3.138 Koefficient tolerance výšky (K)

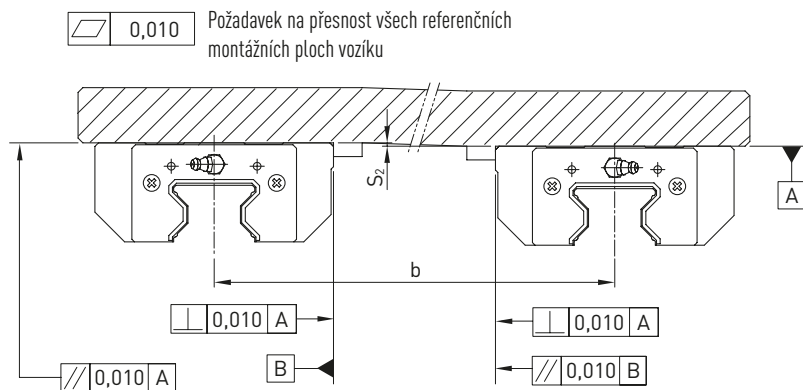
| Řada/rozměr | Třída předepnutí     |                      |
|-------------|----------------------|----------------------|
|             | ZA                   | ZB                   |
| CRG_15 – 65 | $1.7 \times 10^{-4}$ | $1.2 \times 10^{-4}$ |

# Lineární vedení

## Řada CRG

### Tolerance výšky montážní plochy vozíku

- Tolerance výšky referenční plochy při paralelním použití dvou a více vozíků ( $S_2$ ).

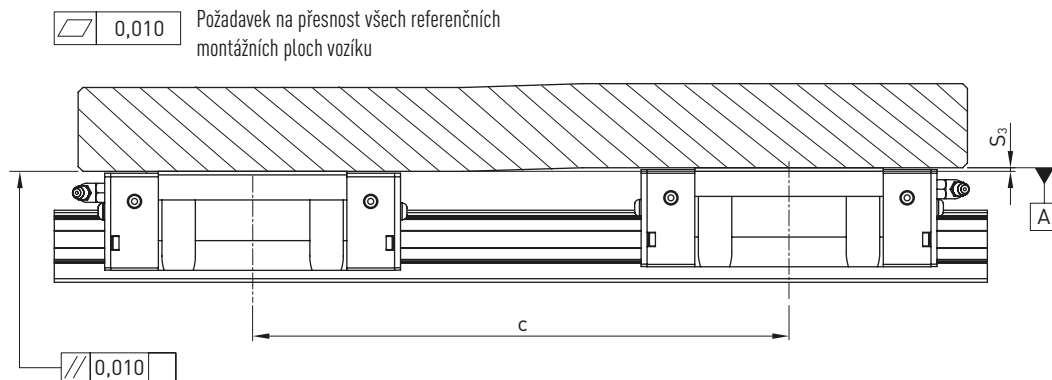


F 3.26

$$S_2 = b \times 4,2 \times 10^{-5}$$

$S_2$  Max. tolerance výšky [mm]  
 b Vzdálenost mezi vozíky [mm]

- Tolerance výšky referenční plochy při paralelním použití dvou a více vozíků ( $S_3$ ).



F 3.27

$$S_3 = c \times 4,2 \times 10^{-5}$$

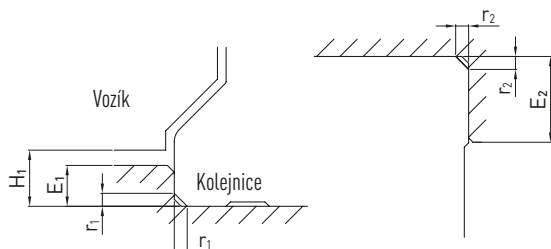
$S_3$  Max. tolerance výšky [mm]  
 c Vzdálenost mezi vozíky [mm]

# Lineární vedení

## Řada CRG

### 3.7.12 Výška osazení a drážky

Nepřesnosti ve výšce osazení a drážkách montážních ploch ovlivňují přesnost a mohou vést ke kolizím mezi profilem vozíku a kolejnice. Pro zamezení problémům při montáži je nutno dodržovat následující výšky osazení a koncových profilů.



Tabulka 3.139 Výška osazení a drážky

| Řada/rozměr | Max. poloměr hrany $r_1$ | Max. poloměr hrany $r_2$ | Výška referenční hrany kolejnice $E_1$ | Výška referenční hrany vozíku $E_2$ | Světlá výška pod vozíkem $H_1$ |
|-------------|--------------------------|--------------------------|--|-------------------------------------|--------------------------------|
| CRG_15      | 0.5                      | 0.5                      | 3.0                                    | 4.0                                 | 4.0                            |
| CRG_20      | 0.5                      | 0.5                      | 3.5                                    | 5.0                                 | 5.0                            |
| CRG_25      | 1.0                      | 1.0                      | 5.0                                    | 5.0                                 | 5.5                            |
| CRG_30      | 1.0                      | 1.0                      | 5.0                                    | 5.0                                 | 6.0                            |
| CRG_35      | 1.0                      | 1.0                      | 6.0                                    | 6.0                                 | 6.5                            |
| CRG_45      | 1.0                      | 1.0                      | 7.0                                    | 8.0                                 | 8.0                            |
| CRG_55      | 1.5                      | 1.5                      | 9.0                                    | 10.0                                | 10.0                           |
| CRG_65      | 1.5                      | 1.5                      | 10.0                                   | 10.0                                | 12.0                           |

Jednotka: mm

# Řada PG

Magnetické bezkontaktní odměřování,  
které je přímo součástí lineárního vedení,  
s analogovým nebo digitálním výstupem.

# 01

[WWW.HIWIN.CZ](http://WWW.HIWIN.CZ)

# Lineární vedení

## Řada PG

### 3.8 Řada PG

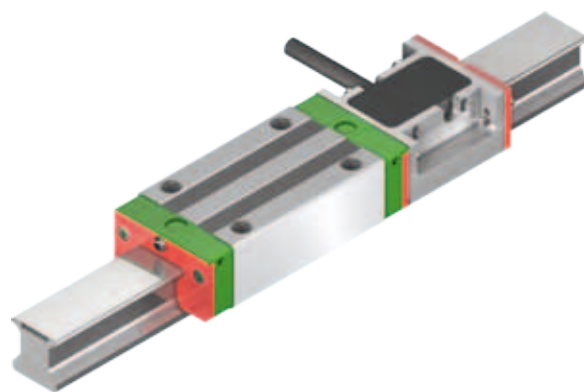
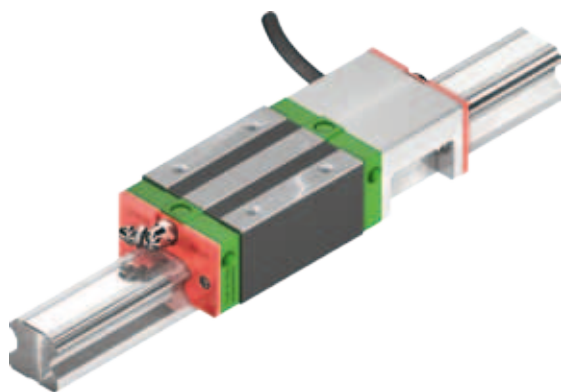
#### 3.8.1 Vlastnosti lineárního vedení, řada PG

Lineární vedení HIWIN řady PG je speciální provedení řady HG/QH/CG s integrovaným magnetickým systémem měření polohy MAGIC. Systém měření polohy MAGIC je optimalizován pro měření vzdáleností ujetých lineárním pohybem, zejména v osách lineárních motorů. Tento měřicí systém se skládá z magnetického měřicího pásku na ocelové nerezové liště a snímací jednotky. Robustní kryt s vynikajícím elektrickým stíněním a výstupním signálem v reálném čase činí z měřicího systému HIWIN MAGIC měření první volby v náročných aplikacích.

V řadě PG je snímač nasazen přímo na vozíku lineárního vedení řady HG/QH/CG. Magnetická páska je zasazena do drážky v kolejnici HGR. Měřicí systém polohy MAGIC je také k dispozici jako samostatný typ nezávislý na montáži na kolejnici. V tom případě si zákazník sám určí, kam budou magnetická páska a snímač umístěny. Podrobnosti viz katalog „Technologie elektrických pohonů – lineární motory, rotační motory, systémy měření polohy“.

#### 3.8.2 Konstrukce řady PG

- Vozík řady HG/QH/CG
- Kolejnice řady HGR/CGR s dodatečnou drážkou pro magnetický pásek
- Snímač může být přimontován na vozíky rozměrů HG-20, HG-25, QH-20, QH-25, CG 20 a CG 25
- Směr montáže: Při pohledu směrem k referenční hraně vozíku se snímač standardně montuje nalevo. Také kabel snímače je na straně referenční hrany



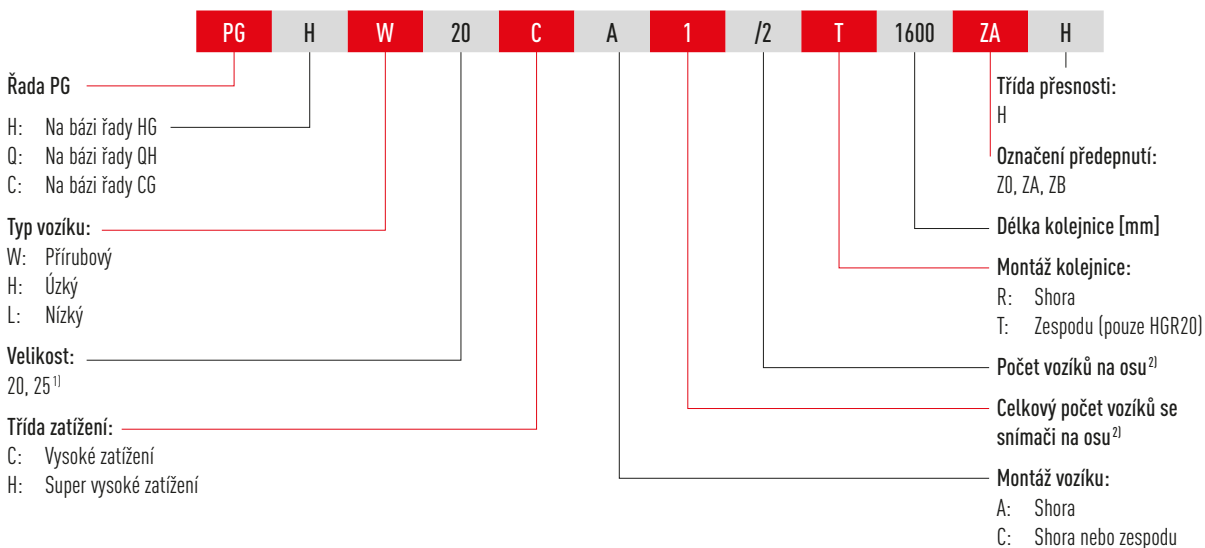
#### Výhody:

- Bezkontaktní měření s analogovým sin/cos  $1V_{pp}$  nebo digitálním TTL výstupem
- Digitální rozlišení 1  $\mu m$
- Snímač ani kryt nejsou citlivé na prach, vlhkost, olej ani nečistoty
- Snímač s kovovým krytem a ochranným krytím IP67
- Jednoduchá montáž
- Signální výstup v reálném čase
- Speciální kryt pro optimální odrušení

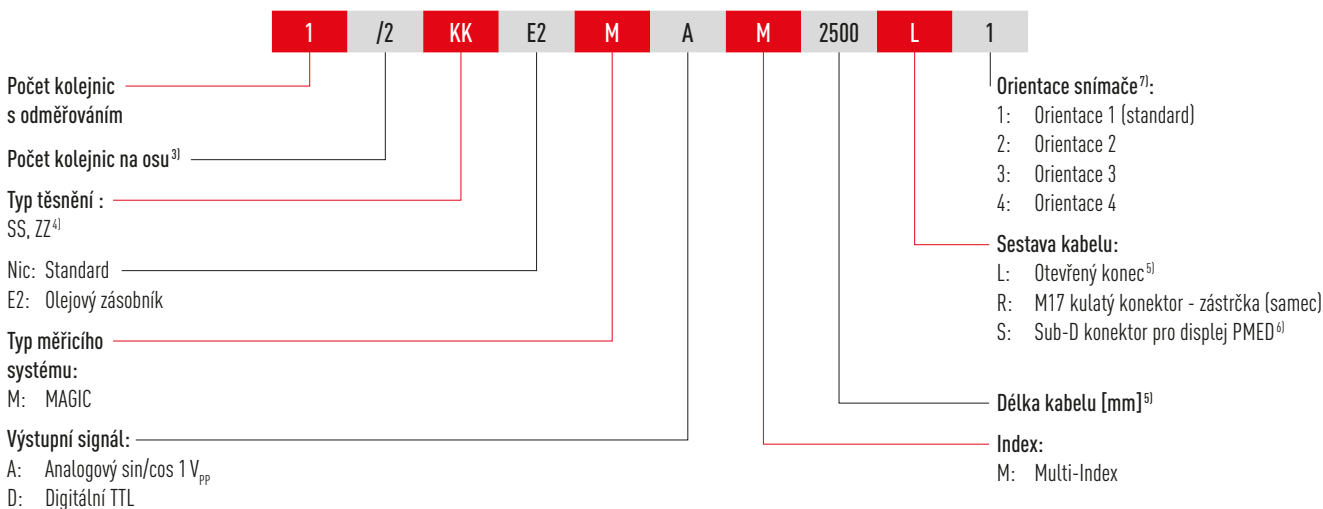
# Lineární vedení

## Řada PG

### 3.8.3 Objednací kód řady PG



Pokračování objednacího kódu řady PG



Poznámka:

<sup>1)</sup> Nejedná se o stejné provedení jako v případě standardní kolejničky HGR25R bez drážky. Montážní šroub M5 (místo M6).

<sup>2)</sup> Pro sérii PG se stanovuje celkový počet vozíků na osu (všechny vozíky objednaného produktu).

<sup>3)</sup> Číslo 2 ukazuje množství, tj. jedna položka výše zmíněného výrobku obsahuje dvojici kolejniček.

Pro jednotlivé kolejničky se žádné číslo neuvádí. Standardně se vícedílné kolejničky dodávají se stupňovitými bodovými spoji.

<sup>4)</sup> Pokud není nic uvedeno, dodává se vozík se standardní ochranou proti prachu (standardní koncové těsnění a spodní těsnění).

Přehled jednotlivých těsnících systémů viz kapitola 2.9.

<sup>5)</sup> S otevřeným koncem, jako standard se volí délka kabelu 5000.

<sup>6)</sup> Displej se objednává zvlášť.

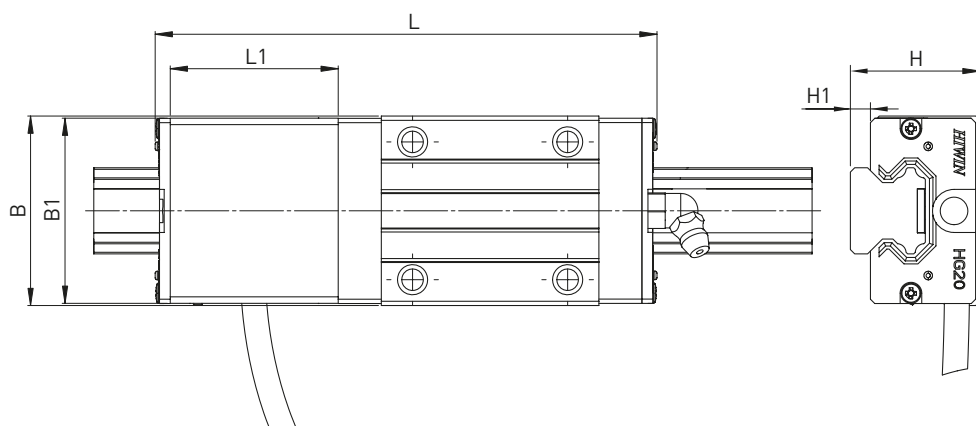
<sup>7)</sup> Viz kapitola 3.7.6

# Lineární vedení

## Řada PG

### 3.8.4 Rozměry vozíku PG

Obrázek níže ukazuje vozík HGH20CA/HGH25CA. Je také možné používat vozíky rozměrů HG20, HG25, QH20, QH25, CG20 a CG25. Celkový rozměr se pak odpovídajícím způsobem změní. Rozměry všech velikostí vozíků jsou uvedeny v tabulce 3.114.

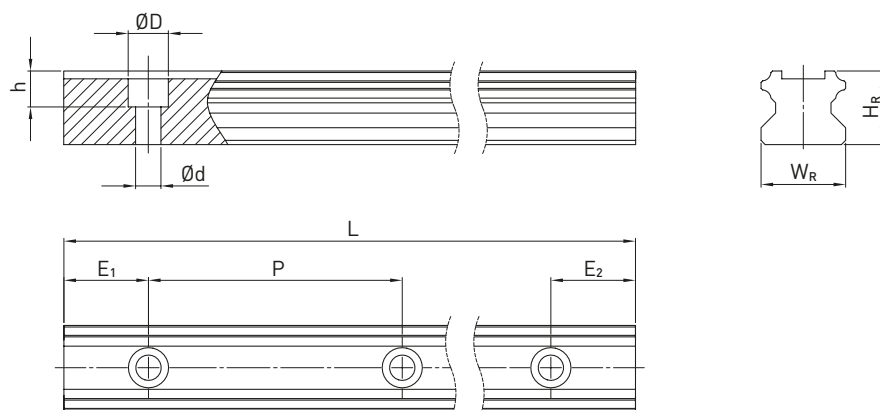


Tabulka 3.140 Rozměry vozíku

| Řada/rozměr | L [mm] | L1 [mm] | B [mm] | B1 [mm] | H [mm] | H1 [mm] |
|-------------|--------|---------|--------|---------|--------|---------|
| HG_20C      | 118.0  | 41.5    | 44     | 43.0    | 30     | 4.6     |
| HG_20H      | 132.7  | 41.5    | 44     | 43.0    | 30     | 4.6     |
| HG_25C      | 124.5  | 41.5    | 48     | 46.4    | 40     | 5.5     |
| HG_25H      | 145.1  | 41.5    | 48     | 46.4    | 40     | 5.5     |
| QH_20C      | 117.2  | 41.5    | 44     | 43.0    | 30     | 4.6     |
| QH_20H      | 131.9  | 41.5    | 44     | 43.0    | 30     | 4.6     |
| QH_25C      | 123.9  | 41.5    | 48     | 46.4    | 40     | 5.5     |
| QH_25H      | 144.5  | 41.5    | 48     | 46.4    | 40     | 5.5     |
| CG_20C      | 121.4  | 44.0    | 44     | 43.0    | 30     | 4.6     |
| CG_20H      | 137.4  | 44.0    | 44     | 43.0    | 30     | 4.6     |
| CG_25C      | 130.5  | 44.0    | 48     | 47.0    | 40     | 6.1     |
| CG_25H      | 147.9  | 44.0    | 48     | 47.0    | 40     | 6.1     |

### 3.8.5 Rozměry kolejnic PG

#### 3.8.5.1 Kolejnice s drážkou, upevněná shora



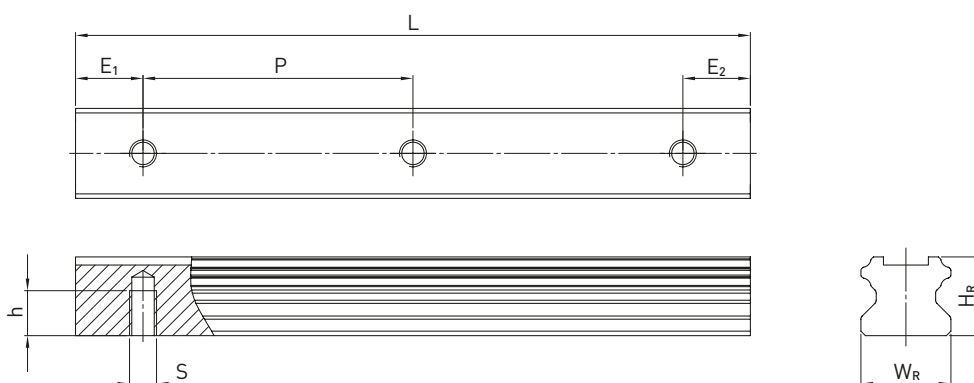
# Lineární vedení

## Řada PG

Tabulka 3.141 Rozměry HGR\_R G1

| Řada/<br>rozměr | Rozměry kolejničky [mm] |                |     |     |     |    | Max. délka<br>L [mm] | Max. délka<br>E <sub>1</sub> = E <sub>2</sub> [mm] | E <sub>1/2</sub> min<br>[mm] | E <sub>1/2</sub> max<br>[mm] | Hmotnost<br>[kg/m] |
|-----------------|-------------------------|----------------|-----|-----|-----|----|----------------------|--|------------------------------|------------------------------|--------------------|
|                 | W <sub>R</sub>          | H <sub>R</sub> | D   | h   | d   | P  |                      |  |                              |                              |                    |
| HGR20R G1       | 20                      | 17.5           | 9.5 | 8.5 | 6.0 | 60 | 4,000                | 3,900  | 7                            | 53                           | 2.05               |
| HGR25R G1C      | 23                      | 22.0           | 9.5 | 8.5 | 6.0 | 60 | 4,000                | 3,900  | 7                            | 53                           | 3.05               |

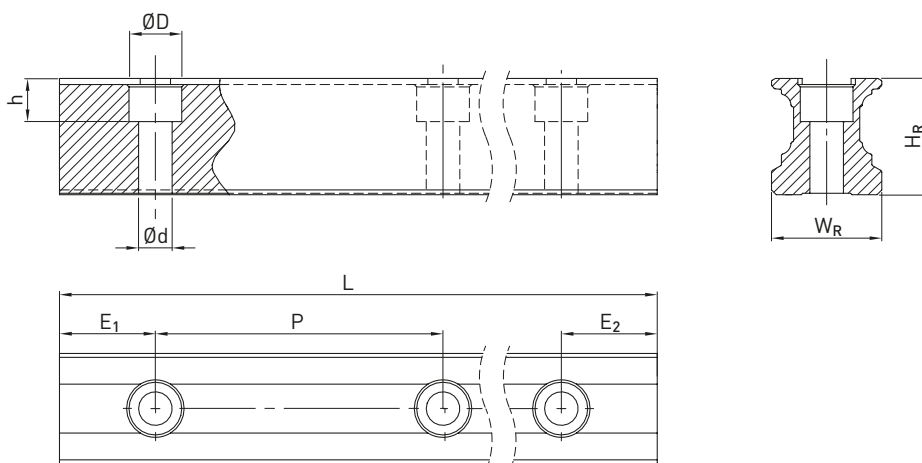
### 3.7.5.2 Kolejničky s drážkou, upevněná zespodu



Tabulka 3.142 Rozměry HGR\_T G1

| Řada/<br>rozměr | Rozměry kolejničky [mm] |                |    |    |    | Max. délka<br>[mm] | Max. délka<br>E <sub>1</sub> = E <sub>2</sub> [mm] | E <sub>1/2</sub> min<br>[mm] | E <sub>1/2</sub> max<br>[mm] | Hmotnost<br>[kg/m] |
|-----------------|-------------------------|----------------|----|----|----|--------------------|--|------------------------------|------------------------------|--------------------|
|                 | W <sub>R</sub>          | H <sub>R</sub> | S  | h  | P  |                    |  |                              |                              |                    |
| HGR20T G1       | 20                      | 17.5           | M6 | 10 | 60 | 4,000              | 3,900  | 7                            | 53                           | 2.13               |
| HGR25T G1       | 23                      | 22             | M6 | 12 | 60 | 4,000              | 3,900  | 8                            | 52                           | 3.19               |

### 3.7.5.3 Kolejničky s drážkou, upevněná shora (řada CG)



Tabulka 3.143 Rozměry CGR\_R G1

| Řada/<br>rozměr | Rozměry kolejničky [mm] |                |      |     |     |    | Max. délka<br>[mm] | Max. délka<br>E <sub>1</sub> = E <sub>2</sub> [mm] | E <sub>1/2</sub> min<br>[mm] | E <sub>1/2</sub> max<br>[mm] | Hmotnost<br>[kg/m] |
|-----------------|-------------------------|----------------|------|-----|-----|----|--------------------|--|------------------------------|------------------------------|--------------------|
|                 | W <sub>R</sub>          | H <sub>R</sub> | D    | h   | d   | P  |                    |  |                              |                              |                    |
| CGR20R G1       | 20                      | 20.55          | 9.5  | 8.5 | 6.0 | 60 | 4,000              | 3,900  | 7                            | 53                           | 2.05               |
| CGR25R G1       | 23                      | 24.25          | 11.0 | 9.0 | 7.0 | 60 | 4,000              | 3,900  | 8                            | 52                           | 3.05               |

# Lineární vedení

## Řada PG

### 3.7.5.4 Utahovací momenty pro montážní šrouby

Nedostatečné utažení montážních šroubů významně snižuje přesnost lineárního vedení. Proto se pro příslušné rozměry šroubů doporučují níže uvedené utahovací momenty.

Tabulka 3.144 Utahovací momenty pro montážní šrouby podle normy ISO 4762-12.9

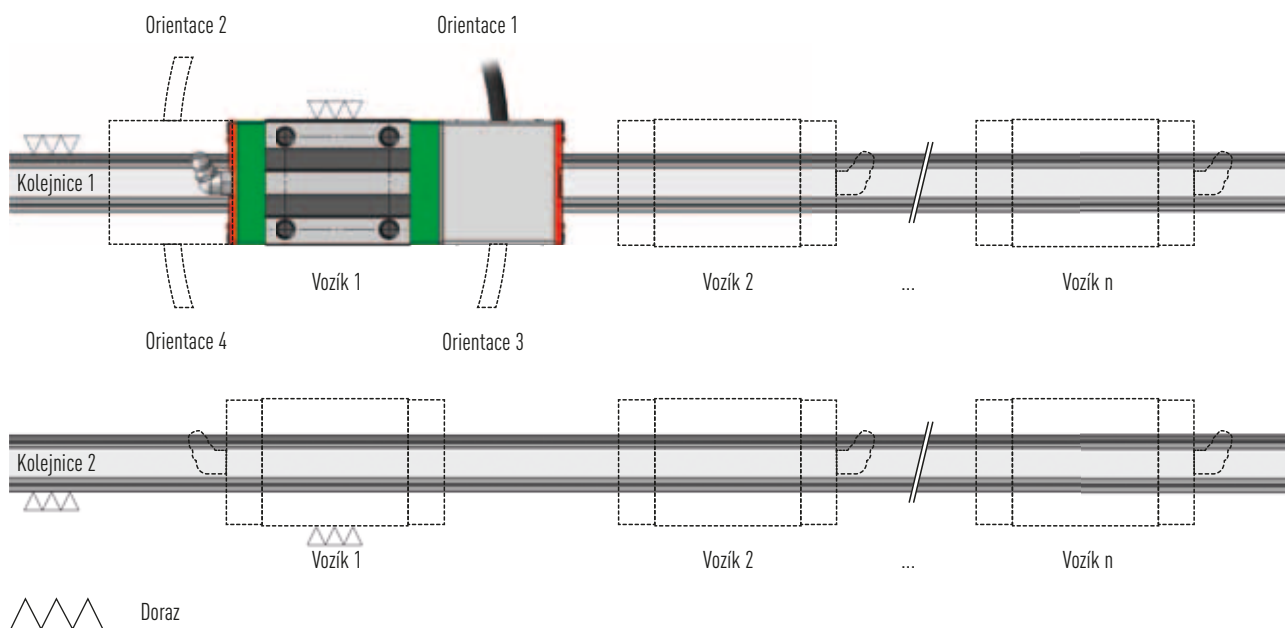
| Řada/rozměr | Rozměr šroubu | Utahovací moment [Nm] | Series/size | Rozměr šroubu | Utahovací moment [Nm] |
|-------------|---------------|-----------------------|-------------|---------------|-----------------------|
| HGR20R G1   | M5 × 20       | 9                     | CGR20R G1   | M5 × 25       | 9                     |
| HGR20T G1   | M6            | 13                    | HGR25T G1   | M6            | 13                    |
| CGR25R G1   | M6 × 30       | 13                    | HGR25R G1C  | M5 × 20       | 9                     |

Poznámka: Verze PGC vždy vyžaduje krycí pásek na kolejnici pro uchycení magnetického pásu

### 3.8.6 Orientace snímače HIWIN MAGIC-PG

Podle objednáčích kódu (kapitola 3.7.3) je snímač HIWIN MAGIC-PG k dispozici v orientacích 1 až 4 podle obrázku níže. Bez uvedení orientace se snímač standardně dodává v orientaci 1.

V případě více než jednoho vozíku na kolejnici nebo páru kolejníc se snímač montuje na vozík 1, kolejnici 1, viz obrázek níže. V případě potřeby nestandardní orientace je to potřeba určit v plánovacím listě projektu MAGIC-PG ([www.hiwin.cz](http://www.hiwin.cz)).



# Lineární vedení

## Řada PG

### 3.8.7 Specifikace systému odměřování polohy HIWIN MAGIC a HIWIN MAGIC-PG

Tabulka 3.145 Elektrické a mechanické vlastnosti systémů HIWIN MAGIC a HIWIN MAGIC-PG

|                                       | 1 V <sub>pp</sub> (analogový)  | TTL (digitální)                 |
|---------------------------------------|--|---------------------------------|
| <b>Elektrické vlastnosti</b>          |  |                                 |
| Specifikace výstupního signálu        | sin/cos, 1 V <sub>pp</sub> (0.85 V <sub>pp</sub> – 1.2 V <sub>pp</sub> ) | Kvadratický signál podle RS 422 |
| Rozlišení                             | Nekonečné, interval 1 mm   | 1 μm                            |
| Obousměrná přesnost opakování         | 0.003 mm   | 0.002 m                         |
| Absolutní přesnost                    | ± 20 μm/m  |                                 |
| Referenční signál <sup>1)</sup>       | Periodický impuls ve vzdálenosti 1 mm                                    |                                 |
| Fázový úhel                           | 90° ± 0,1° el  | 90°                             |
| Stejnoseměrná složka                  | 2.5 V ± 0.3 V  | —                               |
| Faktor deformace                      | Typický < 0.1 %  | —                               |
| Provozní napětí                       | 5 V ± 5 %  |                                 |
| Příkon                                | Typický 35 mA, max. 70 mA  | Typický 70 mA, max. 120 mA      |
| Max. rychlost měření                  | 10 m/s   | 5 m/s                           |
| Třída odrušení                        | 3, podle IEC 801   |                                 |
| <b>Mechanické vlastnosti</b>          |  |                                 |
| Materiál krytu                        | Slitina hliníku, spodek snímače z nerezové oceli                         |                                 |
| Rozměry snímací hlavy MAGIC           | L × B × H: 45 × 12 × 14 mm   |                                 |
| Standardní délka kabelu <sup>2)</sup> | 5 m  |                                 |
| Min. poloměr ohybu kabelu             | 40 mm  |                                 |
| Stupeň ochrany                        | IP67   |                                 |
| Provozní teplota                      | 0 °C to +50 °C   |                                 |
| Hmotnost snímače MAGIC                | 80 g   |                                 |
| Hmotnost snímače MAGIC-PG             | 80 g   |                                 |
| Vhodnost MAGIC-PG pro vozíky          | HG-20, HG-25, QH-20, QH-25, CG-20, CG-25                                 |                                 |

<sup>1)</sup> Možnost použití s bezkontaktním spínačem.

<sup>2)</sup> Pro použití v energetických řetězech doporučujeme předmontovaný kabel kodéru s nasazeným kulatým konektorem M17 (spojka, samice) na jedné straně pro použití s volitelným kulatým zástrčkovým konektorem M17 (samec) snímače. Podrobnosti sdělí technik HIWIN.

Tabulka 3.146 Vlastnosti magnetické pásky

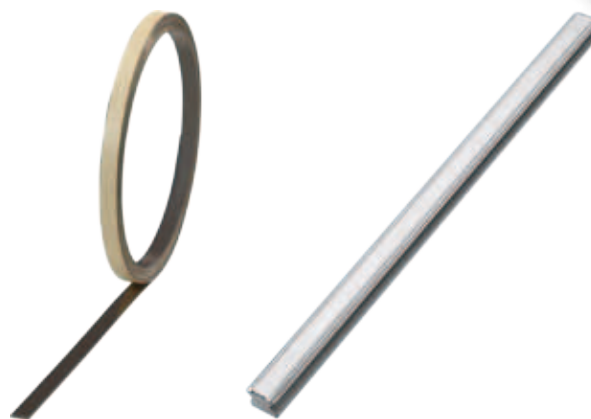
| Vlastnosti                                     | Magnetická páska (včetně ochranné pásky z nerezové oceli) |
|--|---|
| Třída přesnosti <sup>1)</sup>                  | ± 20 μm/m   |
| Koeficient lineární roztažnosti                | 11.5 × 10 <sup>-6</sup> m/K                               |
| Perioda  | 1 mm  |
| Tloušťka magnetické pásky                      | 1.70 ± 0.10 mm  |
| Tloušťka magnetické pásky a ochranné pásky     | 1.85 ± 0.15 mm  |
| Šířka  | 10.05 ± 0.10 mm   |
| Maximální délka                                | 24 m  |
| Magnetická remanence                           | > 240 mT  |
| Vzdálenost pólů (interval severní-j jižní pól) | 1 mm  |
| Individuální referenční bod                    | Volitelný   |
| Materiál                                       | Elastomery, nitril a EPDM                                 |
| Rozsah provozních teplot                       | 0 °C to +50 °C  |
| Hmotnost                                       | 70 g/m  |

<sup>1)</sup> při 20 °C

## Lineární vedení

### Řada PG

Samostatná magnetická páska (nalevo) bez ochranné pásky a páska integrovaná do profilu kolejničky (vpravo) s ochrannou páskou z nerez oceli.



#### 3.8.8 Připojení systému měření polohy MAGIC

##### 3.8.8.1 Použitý kabel (analogová a digitální varianta)

A vysoce kvalitní 8-jádrový kabel po jednom V1+, V1-, V2+, V2- and V0+, V0- (nebo A, Ā, B, B̄ a Z, Z̄ v případě digitální varianty), používá se spletený v párech.

U energetických řetězů doporučujeme naše předmontované prodlužovací kabely navržené speciálně pro tyto řetězy. Prodlužovací kabely se dodávají s kulatým zástrčkovým konektorem na jednom konci (samičí spoj) nebo v individuálním řešení.

# Lineární vedení

## Řada PG

### 3.8.8.2 Formáty a výstupy měřicího systému MAGIC (analogového)

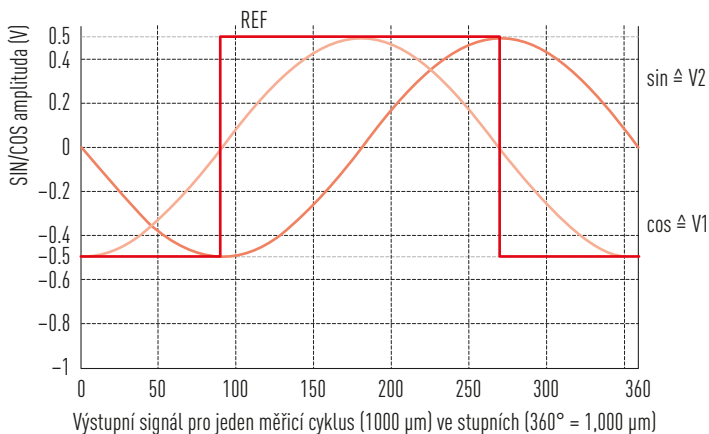
#### Formát výstupního sinus/kosinus signálu 1 V<sub>pp</sub>

Elektrické signály po diferenciálním vstupu připojené elektroniky. Rozhraní HIWIN

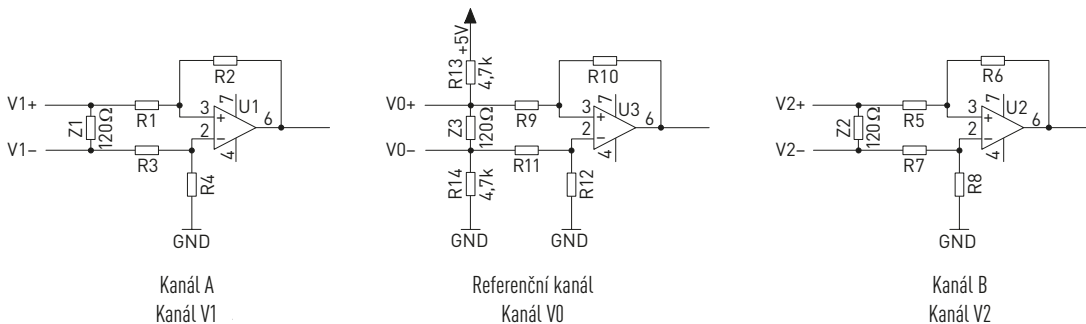
MAGIC pro sinus/kosinus signál 1 VPP je přísně orientováno na specifikaci Siemens.

Délka sinusového výstupního signálu je 1 mm. Také délka referenčního signálu je 1 mm.

#### Elektrické signály po diferenciálním vstupu elektronických komponentů zapojených za měřicím systémem (analogová verze)



#### Doporučený elektronický obvod pro sinusový/kosinusový signál 1 V<sub>pp</sub>



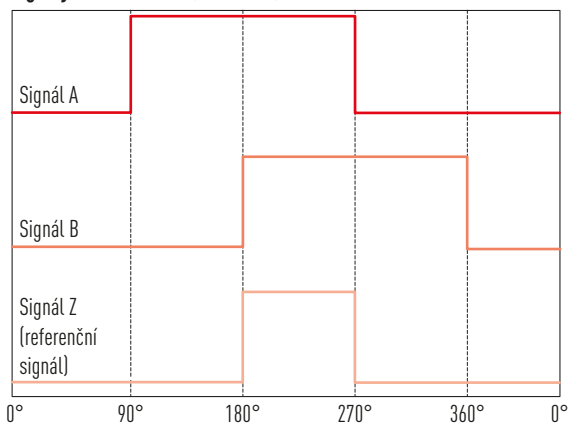
# Lineární vedení

## Řada PG

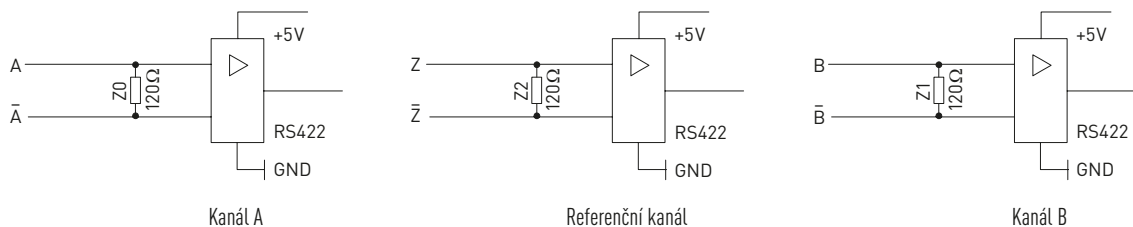
### Výstup TTL (digitální)

Signály na kanálech A a B mají 90° fázový posun (podle specifikace RS422 v normě DIN 66259). Doporučený odpor na svorkách Z = 120 Ω. Výstupní signály: A,  $\bar{A}$ , B,  $\bar{B}$  a Z,  $\bar{Z}$ . Jednotlivý referenční impuls (volitelný prvek) a definice minimální délky impulsu jsou k dispozici na objednávku.

### Signály kodéru MAGIC (verze TTL)



### Doporučený elektronický obvod pro výstup TTL



# Příslušenství

Maznice, mazací adaptéry, nástrčná šroubení, maziva a mazací lisy.

01

[WWW.HIWIN.CZ](http://WWW.HIWIN.CZ)

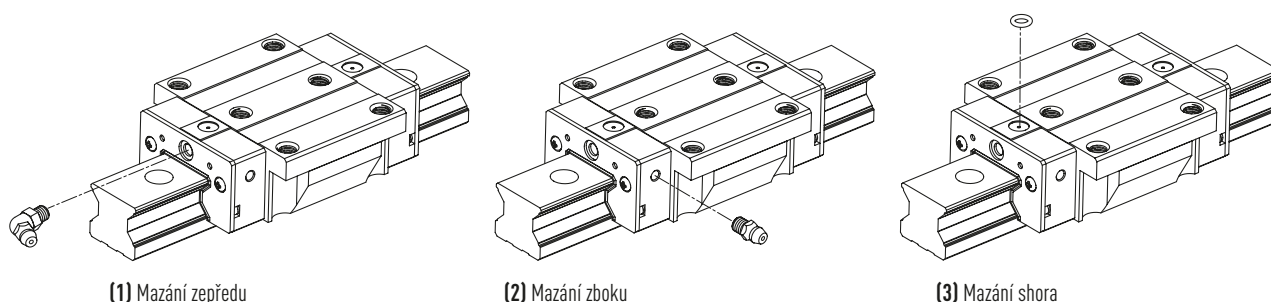
# Lineární vedení

## Příslušenství

### 4. Příslušenství

#### 4.1 Mazání

Standardně se k přední straně vozíku montuje maznice (1). Mazací otvor na opačné straně je uzavřen šroubovacím uzávěrem. Případně lze maznici umístit také do jednoho ze čtyř bočních otvorů vozíku (2) nebo do horního otvoru (3). Na mazání lze využít maznice, mazací adaptéry nebo nástrčná šroubení.



(1) Mazání zepředu

(2) Mazání z boku

(3) Mazání shora

Tabulka 4.1 Přehled rozměrů závitů mazání

| Typ vozíku                                  | Rozměr závitu |
|---|---------------|
| HG_15                                       | M4            |
| HG_20, HG_25, HG_30, HG_35                  | M6 × 0.75     |
| HG_45, HG_55, HG_65                         | 1/8 PT        |
| QH_15                                       | M4            |
| QH_20, QH_25, QH_30, QH_35                  | M6 × 0.75     |
| QH_45                                       | 1/8 PT        |
| EG_15                                       | M4            |
| EG_20, EG_25, EG_30, EG_35                  | M6 × 0.75     |
| QE_15                                       | M4            |
| QE_20, QE_25, QE_30, QE_35                  | M6 × 0.75     |
| CG_15, CG_20                                | M3            |
| CG_25, CG_30, CG_35, CG_45                  | M6 × 0.75     |
| WE_17                                       | M3            |
| WE_21, WE_27, WE_35, QW_21, QW_27, QW_35    | M6 × 0.75     |
| WE_50                                       | 1/8 PT        |
| MG_15                                       | M3            |
| RG_15, RG_20, CRG_15, CRG_20                | M4            |
| RG_25, RG_30, RG_35, CRG_25, CRG_30, CRG_35 | M6 × 0.75     |
| RG_45, RG_55, RG_65, CRG_45, CRG_55, CRG_65 | 1/8 PT        |
| QR_25, QR_30, QR_35                         | M6 × 0.75     |
| QR_45                                       | 1/8 PT        |

# Lineární vedení

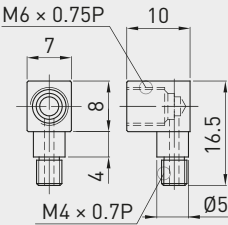
## Příslušenství

### 4.1.1 Maznice a mazací adaptéry

Tabulka 4.2 Maznice M3 × 0.5P

|   |   |
|---|---|
|  |  |
| <p><b>Označení: 20-000275</b><br/>(Standard)</p>                                  | <p><b>Označení: 20-000370</b><br/>(Volitelné)</p>                                   |

Tabulka 4.3 Maznice a mazací adaptéry M4 × 0.7P

|   |   |
|---|---|
|   |   |
| <p><b>LF-64 Označení: 20-000019</b></p>   |   |
|  |  |
| <p><b>Označení: 20-000272</b><br/>(Standard)</p>                                    | <p><b>Označení: 20-000325</b><br/>(Volitelné)</p>                                     |

Uvedená čísla součástí se vztahují na standardní ochranu proti prachu. Čísla volitelných prvků ochrany proti prachu jsou k dispozici na objednávku.

# Lineární vedení Příslušenství

Tabulka 4.4 Maznice a mazací adaptéry M6 × 0.75P

|  |  |   |                                  |
|--|--|---|----------------------------------|
|  |  |   |                                  |
| <p>SF-76 Označení: 20-000006</p>           | <p>LF-76 Označení: 20-000007</p>           | <p>SF-86 Označení: 20-000008</p>          | <p>LF-86 Označení: 20-000009</p> |
|  |  |   |                                  |
| <p>Označení: 20-000273<br/>(Volitelné)</p> | <p>Označení: 20-000283<br/>(Volitelné)</p> | <p>Označení: 20-000290<br/>(Standard)</p> |                                  |

Tabulka 4.5 Maznice a mazací adaptéry 1/8 PT

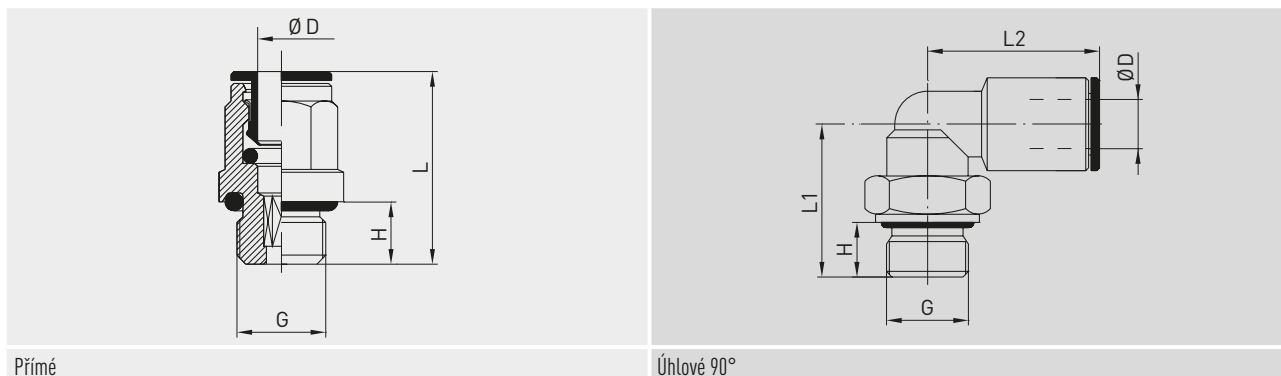
|  |   |                                  |                                  |
|--|---|----------------------------------|----------------------------------|
|  |   |                                  |                                  |
| <p>SF-78 Označení: 20-000010</p>           | <p>LF-78 Označení: 20-000011</p>          | <p>SF-88 Označení: 20-000012</p> | <p>LF-88 Označení: 20-000013</p> |
|  |   |                                  |                                  |
| <p>Označení: 20-000280<br/>(Volitelné)</p> | <p>Označení: 20-000292<br/>(Standard)</p> |                                  |                                  |

Uvedené typy se vztahují na standardní ochranu proti prachu. Typy pro jiné druhy těsnění na objednávku.

# Lineární vedení Příslušenství

## 4.1.2 Nástrčná šroubení

Tabulka 4.6 Nástrčná šroubení



Tabulka 4.7 Rozměry zasouvacího kování

| Typ    | Označení  | G         | Ø D | Tvar   | H | L    | L1   | L2 |
|--------|-----------|-----------|-----|--------|---|------|------|----|
| TCS-44 | 8-12-0186 | M4 × 0.7  | 4   | Přímé  | 4 | 20.5 | —    | —  |
| TCS-46 | 8-12-0127 | M6 × 0.75 | 4   | Přímé  | 5 | 23.5 | —    | —  |
| TCS-66 | 20-000463 | M6 × 0.75 | 6   | Přímé  | 4 | 22.5 | —    | —  |
| TCL-46 | 8-12-0128 | M6 × 0.75 | 4   | Úhlové | 5 | —    | 15.5 | 18 |
| TCL-66 | 8-12-0138 | M6 × 0.75 | 6   | Úhlové | 5 | —    | 15.5 | 21 |
| TCS-4G | 8-12-0131 | G 1/8     | 4   | Přímé  | 6 | 20.0 | —    | —  |
| TCS-6G | 8-12-0136 | G 1/8     | 6   | Přímé  | 6 | 24.0 | —    | —  |
| TCL-4G | 8-12-0130 | G 1/8     | 4   | Úhlové | 6 | —    | 20.0 | 20 |
| TCL-6G | 8-12-0137 | G 1/8     | 6   | Úhlové | 6 | —    | 20.0 | 21 |

Uvedené typy se vztahují na standardní ochranu proti prachu. Typy pro jiné druhy těsnění na objednávku.

# Lineární vedení

## Příslušenství

### 4.2 Mazací lisý a maziva HIWIN

Tabulka 4.8 Mazací lisý HIWIN

| Mazací lis | Mazací nástavec a sada trysek GNZ-05-BOX | Přímé plnění | Zásobník |
|------------|--|--------------|----------|
| GN-080M    | Bez                                      | ●            | 70 g     |
| GN-080M    | Včetně                                   | ●            | 70 g     |
| GN-400C    | Bez                                      | ●            | 400 g    |
| GN-400C    | Včetně                                   | ●            | 400 g    |

Table 4.9 Maziva HIWIN řady G

| Typ maziva | Oblast použití                      | Označení     |               |                         |
|------------|-------------------------------------|--------------|---------------|-------------------------|
|            |                                     | Kartuše 70 g | Kartuše 400 g | Dóza 1 kg <sup>1)</sup> |
| G01        | Vysoká zátěž                        | G01-0070     | G01-0400      | G01-1000                |
| G02        | Čisté prostředí                     | G02-0070     | G02-0400      | G02-1000                |
| G03        | Čisté prostředí<br>Vysoké rychlosti | G03-0070     | G03-0400      | G03-1000                |
| G04        | Vysoké rychlosti                    | G04-0070     | G04-0400      | G04-1000                |
| G05        | Standardní použití                  | G05-0070     | G05-0400      | G05-1000                |

<sup>1)</sup> Dodací lhůta na poptávku

Table 4.10 Mazivo HIWIN PLO

| Typ maziva | Oblast použití     | Označení      |             |
|------------|--------------------|---------------|-------------|
|            |                    | Kartuše 400 g | Dóza 1 kg   |
| PLO-05     | Standardní použití | PLO-05-400    | PLO-05-1000 |

Table 4.11 Oleje HIWIN

| Popis   | Rozsah dodávky | Poznámka                             |
|---------|----------------|--------------------------------------|
| SH 1000 | Litrová láhev  | Olej na plnění mazacích zásobníků E2 |

 Další podrobnosti o mazivech HIWIN a mazání lineárních vedení jsou uvedeny na stránkách [www.hiwin.cz](http://www.hiwin.cz).












**HIWIN S.R.O.**  
MEDKOVA 888/11  
627 00 BRNO  
ČESKÁ REPUBLIKA  
TEL.: +420 548 528 238  
FAX.: +420 548 220 223  
EMAIL: INFO@HIWIN.CZ  
[WWW.HIWIN.CZ](http://WWW.HIWIN.CZ)

**HIWIN S.R.O.**  
MLÁDEŽNÍCKA 2101  
01701 POVAŽSKÁ BYSTRICA  
SLOVENSKO  
TEL.: +421 424 434 777  
FAX.: +421 424 262 306  
EMAIL: INFO@HIWIN.SK  
[WWW.HIWIN.SK](http://WWW.HIWIN.SK)